

دانشگاه شاهرود

دانشکده علوم زمین

گروه تکتونیک

تحلیل هندسی و حرکتی ساختارهای زمین شناسی در ناحیه تیل آباد - غزنوی  
(البرز شرقی)

امید باشم

اساتید راهنما :

دکتر رمضان رمضانی اومالی

استاد مشاور:

دکتر عزیزالله طاهری

پایان نامه جهت اخذ درجه کارشناسی ارشد

بهمن ۹۳

دانشگاه صنعتی شاهرود

دانشکده : علوم زمین

گروه : تکتونیک

پایان نامه کارشناسی ارشد آقای امید باشم

تحت عنوان: تحت عنوان تحلیل هندسی و حرکتی ساختارهای زمین شناسی در ناحیه تیل آباد - غزنوی (البرز شرقی)

در تاریخ ۹۳/۱۱/۲۷ توسط کمیته تخصصی زیر جهت اخذ مدرک کارشناسی ارشد مورد ارزیابی و با درجه ..... مورد پذیرش قرار گرفت.

امضاء	اساتید مشاور	امضاء	اساتید راهنمای
	نام و نام خانوادگی : دکتر عزیز الله طاهری		نام و نام خانوادگی : دکتر رمضان رمضانی اومالی

امضاء	نماينده تحصيلات تكميلي	امضاء	اساتيد داور
	نام و نام خانوادگی : دکتر فتحی پور		نام و نام خانوادگی : دکتر پرویز امیدی

امضاء	نماينده تحصيلات تكميلي	امضاء	اساتيد داور
	نام و نام خانوادگی : دکتر سعید الرضا اسلامی		نام و نام خانوادگی : دکتر سید



دانشگاه شهرورد

مدیریت تحصیلات تکمیلی

فرم شماره (۶)

شماره:

تاریخ:

ویرایش:

با اسمه تعالیٰ

## فرم صورت جلسه دفاع از پایان نامه تحصیلی دوره کارشناسی ارشد

با تأییدات خداوند متعال و با استعانت از حضرت ولی عصر (عج) نتیجه ارزیابی جلسه دفاع از پایان نامه کارشناسی ارشد آقای امید باشم رشته زمین شناسی گرایش تکتونیک تحت عنوان تحلیل هندسی و حرکتی ساختارهای زمین شناسی در ناحیه تیل آباد - غزنوی (البرز شرقی) که در تاریخ ۹۳/۱۱/۲۷ با حضور هیأت محترم داوران در دانشگاه صنعتی شاهرود برگزار گردید به شرح ذیل اعلام می گردد:

قبول (با درجه: امتیاز ۱۸,۵۵)  دفاع مجدد  مردود

۱- عالی (۲۰ - ۱۹) ۲- بسیار خوب (۱۸ - ۱۸,۹۹)

۳- خوب (۱۶ - ۱۷,۹۹) ۴- قابل قبول (۱۵ - ۱۴)

۵- نمره کمتر از ۱۴ غیر قابل قبول

امضاء	مرتبه علمی	نام و نام خانوادگی	عضو هیأت داوران
	استادیار	دکتر رمضان رمضانی اومالی	۱- استاد راهنمای
	استاد	دکتر عزیز الله طاهری	۲- استاد مشاور
	استادیار	دکتر  نماینده شورای تحصیلات تکمیلی	۳- نماینده شورای تحصیلات تکمیلی
	استادیار	دکتر سید سعید الرضا اسلامی	۴- استاد ممتحن
	استادیار	دکتر پرویز امیدی	۵- استاد ممتحن

رئیس دانشکده: دکتر پرویز امیدی

امضاء: ۹۳/۱۱/۲۷

## تقدیم به پدر و مادر عزیزم

خدای را بسی شاکرم که از روی کرم پدر و مادری فدایکار نصیبم ساخته تا در سایه  
درخت پر بار وجودشان بیاسایم و از ریشه آنها شاخ و برگ گیرم و از سایه وجودشان  
در راه کسب علم و دانش تلاش نمایم.

والدینی که بودنشان تاج افتخاری است بر سرم و نامشان دلیلی است بر بودنم چرا  
که این دو وجود پس از پروردگار مایه هستی ام بوده اند دستم را گرفتند و راه رفتن  
را در این وادی زندگی پر از فراز و نشیب آموختند.  
آموزگارانی که برایم زندگی؛ بودن و انسان بودن را معنا کردند  
حال این برگ سبزی است تحفه درویش تقدیم آنان...

به پاس تعبیر عظیم و انسانی شان از کلمه ایثار و از خودگذشتگان  
به پاس عاطفه سرشار و گرمای امیدبخش وجودشان که در این سردترین روزگاران بهترین پشتیبان است  
به پاس قلب‌های بزرگشان که فریاد رس است و سرگردانی و ترس در پناهشان به شجاعت می‌گراید  
و به پاس محبت‌های بی دریغشان که هرگز فروکش نمی‌کند.

تقدیم به پدر و مادر عزیزم

## قدردانی

نخستین سپاس و ستایش از آن خداوندی است که بنده کوچکش را در دریای بیکران اندیشه، قطره‌ای ساخت تا وسعت آن را از دریچه اندیشه‌های ناب آموزگارانی بزرگ به تماشا نشیند. لذا اکنون که در سایه سار بنده نوازی‌هایش پایان نامه حاضر به انجام رسیده است.

«من لم يشكermالملحق لم يشكرا الخالق» بر خود لازم می‌دانم تا مراتب سپاس را از بزرگوارانی به جا آورم که اگر دست یاریگرshan نبود، هرگز این پایان نامه به انجام نمی‌رسید. به خصوص از استاد فرزانه جناب آقای دکتر رمضان رمضانی اومالی که در کلیه مراحل انجام این پژوهش با خوشروئی، یاری و راهنمائی-ام نمودند و همچنین از استاد فرهیخته جناب آقای دکتر عزیزالله طاهری که وقت خود را بی‌شایبه در اختیار من گذاشت و با دقت نظر خاصی مشاوره لازم در این خصوص ارائه نمودند صمیمانه تشکر و قدردانی می‌نمایم. از آقای دکتر پرویز امیدی به خاطر راهنمایی‌های موثرشان در زمینه آشنایی با سبک ساختاری منطقه مورد مطالعه بی‌نهایت مشکر. از استاد داور جناب آقایان دکتر اسلامی و امیدی که قبول زحمت نموده و داوری این پایان نامه را بر عهده گرفتند و قطعاً نظرات این بزرگواران در هرچه بهتر شدن این پایان نامه مثمر خواهد بود. همچنین از آقای مهندس میرباقری و سرکار خانم سعیدی و فارسی به دلیل همکاری بی‌دریغشان نهایت سپاسگذاری را دارم. جا دارد در اینجا از کلیه معلمان و استاد دوران تحصیلم از ابتدا تا کنون صمیمانه تشکر و قدردانی نمایم.

همچنین از پدر و مادر عزیز، دلسوز و مهربانم که آرامش روحی و آسایش فکری فراهم نمودند، تا با حمایت‌های همه جانبه در محیطی مطلوب، مراتب تحصیلی و نیز پایان نامه درسی را به نحو احسن به اتمام برسانم، سپاسگزاری نمایم.

تشکر می‌نمایم از خواهران عزیزم و برادران مهربانم عبدالصمد، عبدالباسط و صلاح الدین و خواهرزاده‌های نازنینم حسیب، حسنا و آرمان که همواره در طول تحصیل متحمل زحماتم بودند و تکیه‌گاه من در مواجهه با مشکلات و وجودشان مایه دلگرمی من می‌باشد.

از همه دوستانم عزیزم بویژه آقایان تاشی، آرامش، هاشمی، عبدالله‌ی، بازار نویی، درویشی، آنه منگلی، انصاری‌نیا، مرادی، وکیلی، روح افزا، میریگی، خواجه‌ی، خوئیان و فرحدل همچنین از خانم‌ها بابایی، خلیلی، صمدی، کرمی، تاتار و خراسانی که به نحوی در به ثمر رسیدن این تحقیق مرا یاری نمودند و رنج کیلومترها پیاده‌روی را به دوش کشیده‌اند، تشکر نموده و برای همه این عزیزان آرزوی ساعت و سلامتی می‌نمایم.

## تعهد نامه

اینجانب امید باشام دانشجوی دوره کارشناسی ارشد رشته زمین‌شناسی - تکنولوژی دانشکده علوم زمین دانشگاه صنعتی شهرود نویسنده پایان نامه تحیل هندسی و حرکتی ساختارهای زمین‌شناسی در ناحیه تیل آباد - غزنوی تحت راهنمایی دکتر رمضان رمضانی

اومالی متعهد می‌شوم.

تحقیقات در این پایان نامه توسط اینجانب انجام شده است و از صحت و اصالت برخوردار است.

در استفاده از نتایج پژوهش‌های محققان دیگر به مرجع مورد استفاده استناد شده است.

مطلوب مندرج در پایان نامه تاکنون توسط خود یا فرد دیگری برای دریافت هیچ نوع مدرک یا امتیازی در هیچ جا ارائه نشده است.

کلیه حقوق ممنوعی این اثر متعلق به دانشگاه صنعتی شهرود می‌باشد و مقالات مستخرج با نام «دانشگاه صنعتی شهرود» و یا «Shahrood University of Technology» به چاپ خواهد رسید.

حقوق معنوی تمام افرادی که در به دست آمدن نتایج اصلی پایان نامه تأثیرگذار بوده اند در مقالات مستخرج از پایان نامه رعایت می‌گردد.

در کلیه مراحل انجام این پایان نامه، در مواردی که از موجود زنده (یا باقیت‌های آنها) استفاده شده است ضوابط و اصول اخلاقی رعایت شده است.

در کلیه مراحل انجام این پایان نامه، در مواردی که به حوزه اطلاعات شخصی افراد دسترسی یافته یا استفاده شده است اصل رازداری، ضوابط و اصول اخلاق انسانی رعایت شده است.

تاریخ ۱۳۹۳/۱۰/۱۰

امضا دانشجو

### مالکیت نتایج و حق نشر

کلیه حقوق معنوی این اثر و محصولات آن (مقالات مستخرج، کتاب، برنامه‌های رایانه‌ای، نرم افزارها و تجهیزات ساخته شده است) متعلق به دانشگاه صنعتی شهرود می‌باشد. این مطلب باید به نحو مقتضی در تولیدات علمی مربوطه ذکر شود.

استفاده از اطلاعات و نتایج موجود در پایان نامه بدون ذکر مرجع مجاز نمی‌باشد.

\* متن این صفحه نیز باید در ابتدای نسخه‌های تکثیر شده پایان نامه وجود داشته باشد.

## چکیده

محدوده مورد مطالعه در قسمت شمالی البرز شرقی قرار دارد. این منطقه در ۴۵ کیلومتری جنوب شرق شهرستان آزادشهر در استان گلستان واقع شده است. در این منطقه سازندهای پالئوزوئیک، مژوزوئیک و سنوزوئیک بر اثر فرآیند های تکتونیکی مختلف تحت تاثیر چین خورده و گسلش قرار گرفته اند. گسل های طولی منطقه با راستای شمال خاوری - جنوب باختり (گسل تیلآباد، زردابه، F1 و F2) دارای سازوکار مورب لغز چپبر با مولفه شبکه معکوس می باشند. گسل های عرضی موجود در منطقه نیز در دو گروه قرار دارند. گسل های با راستای تقريباً شمالی - جنوبی دارای سازوکار راستالغز چپبر و دسته گسل های با راستای شمال باختري - جنوب خاوری نیز سازوکار راستالغز راستبر دارند. هندسه و سازوکار گسل های منطقه مورد مطالعه با الگوی دگرشکلی ترافشارشی چپگرد مطابقت دارد. سطح محوری بيشتر چين های مطالعه شده در اين منطقه در راستای شمال خاوری - جنوب باختري می باشند، طبق رده بندی فلوتی بر مبنای زاویه بين دو يال، بشتر در رده باز (Open) و تعداد محدودتری نیز در رده های ملائم (Gentle)، بسته (Close)، فشرده (Tight) قرار می گيرند. بر اساس شبکه سطح محوری و ميل لولا نيز چين های اين منطقه بيشتر در رده ايستاده و با ميل ملائم (Upright – Gently Plunging) و چين های پرشيب با ميل ملائم (Steeply Inclined - Gently Plunging) قرار می گيرند. تقسيم بندی چين های اين منطقه بر اساس ريكارد نيز در دو رده چين های ايستاده (Upright Fold) و كج شده (Inclined Fold) قرار مي گيرند. سيمای زمين ريختي منطقه مورد مطالعه تا حد زيادي تحت تاثير عناصر ساختاري (چين ها و گسل ها) قرار دارد.

واژه های کلیدی: البرز خاوری، تیلآباد، غزنوی، زردابه، گسل های عرضی،

## مقالات مستخرج شده از این پایان نامه

\* "تحلیل میدان تنش با استفاده از چین خوردگی‌ها در ناحیه تیل‌آباد - غزنوی (البرز شرقی)"، سی و دومین گردهمایی و نخستین کنگره بین‌المللی علوم زمین، سازمان زمین‌شناسی و اکتشافات معدنی کشور، بهمن ۱۳۹۲.

\* "بررسی هندسه چین خوردگی‌ها در ناحیه تیل آباد - غزنوی (البرز شرقی)"، هشتمین همایش ملی تخصصی زمین‌شناسی دانشگاه پیام نور اراک، آبان ۱۳۹۳.

\* "تحلیل ساختاری گسل‌های منطقه تیل آباد- غزنوی (البرز شرقی)"، همایش ملی علمی دانشجویان زمین‌شناسی دانشگاه اصفهان، آبان ۱۳۹۳.

## فهرست مطالب

عنوان	صفحه
فصل اول : کلیات	
۱-۱- تعریف مساله و اهداف مطالعه :	۲
۱-۲- موقعیت جغرافیایی و راههای دسترسی به منطقه :	۳
۱-۳- آب و هوای پوشش گیاهی	۴
۱-۴- زمین ریخت شناسی (ژئومورفولوژی)	۵
۱-۵- مطالعات پیشین	۸
۱-۶- روش پژوهش	۱۰
۱-۶-۱- مطالعات کتابخانه ای	۱۰
۱-۶-۲- مطالعات صحرایی :	۱۰
۱-۶-۳- تحلیل داده های ساختاری و تدوین پایان نامه	۱۱
فصل دوم : زمین شناسی عمومی	
۲-۱- زمین ساخت البرز	۱۴
۲-۲- چینه شناسی منطقه :	۲۰
۲-۲-۱- واحدهای سنگی پالئوزوئیک	۲۱
۲-۲-۱-۱- سازند سلطان میدان	۲۱
۲-۲-۱-۲- سازند پادها	۲۲
۲-۲-۱-۳- سازند خوش بیلاق:	۲۴

۲۵	..... سازند مبارک: ۴-۱-۲-۲
۲۷	..... سازند دورود: ۵-۱-۲-۲
۲۸	..... سازند روته: ۶-۱-۲-۲
۲۹	..... واحدهای سنگی مزوژوئیک ۲-۲-۲
۳۰	..... سازند الیکا: ۱-۲-۲-۲
۳۱	..... سازند شمشک: ۲-۲-۲-۲
۳۲	..... سازند فارسیان: ۳-۲-۲-۲
۳۳	..... سازند لار: ۴-۲-۲-۲
۳۴	..... آهکهای کرتاسه بالایی: ۵-۲-۲-۲
۳۵	..... واحدهای سنگی سنوژوئیک ۳-۲-۲
۳۶	..... نهشته های پلیوسن: ۱-۳-۲-۲
۳۶	..... رسوبات کواترنری: ۲-۳-۲-۲
۳۷	..... نهشته های آبرفتی کهن ( $Q^{t1}$ ): ۳-۳-۲-۲
۳۷	..... نهشته های آبرفتی جوان ( $Q^{t2}$ ): ۴-۳-۲-۲
۳۷	..... رسوبات آبرفتی رودخانهای ( $Q^{al}$ ): ۵-۳-۲-۲
	فصل سوم : زمین شناسی ساختمانی
۴۲	..... گسل ها: ۱-۳
۴۳	..... گسل تیل آباد: ۱-۱-۳
۵۳	..... گسل زردابه: ۲-۱-۳
۶۱	..... F1 ۳-۱-۳

۶۷	F۲	-۴-۱-۳	گسل
۶۸		-۵-۱-۳	غزنوی : گسل
۷۶	F۳	-۶-۱-۳	گسل
۷۸	F۴	-۷-۱-۳	گسل
۷۹		-۲-۳	چین خوردگی ها
۸۳		-۱-۲-۳	تاقدیس سرچشمہ
۸۴	T <sub>۱</sub> T <sub>۲</sub>	-۲-۱-۱-۱	تاقدیس سرچشمہ در پیمایش
۸۵	T <sub>۳</sub> T <sub>۴</sub>	-۲-۱-۲-۱	تاقدیس سرچشمہ در پیمایش
۸۷	T <sub>۵</sub> T <sub>۶</sub>	-۲-۲-۱-۱	تاقدیس تیل آباد
۸۸	T <sub>۷</sub> T <sub>۸</sub>	-۲-۲-۲-۲	تاقدیس تیل آباد در پیمایش
۹۱		-۳-۲-۳	ناودیس تیل آباد
۹۲		-۴-۲-۳	ناودیس غزنوی
۹۳	A	-۳-۲-۴-۱	ناودیس غزنوی در برش
۹۴	B	-۳-۲-۴-۲-۲	ناودیس غزنوی در برش
۹۵		-۳-۲-۵-۵	تاقدیس غزنوی
۹۵	T <sub>۱۱</sub> T <sub>۱۲</sub>	-۳-۲-۵-۱	تاقدیس غزنوی در پیمایش
۹۷	T <sub>۱۳</sub> T <sub>۱۴</sub>	-۳-۲-۵-۲	تاقدیس غزنوی در پیمایش
۱۰۲		-۳-۲-۶	سازند پادها
۱۰۲		-۳-۲-۷	سازند خوش بیلاق

- ۱۰۳.....FO<sub>۲</sub>-۲-۳-۷-۱-چین
- ۱۰۴.....FO<sub>۳</sub>-۲-۳-۷-۲-چین
- ۱۰۶.....: سازند مبارک - ۳-۲-۸
- ۱۰۷.....A-۳-۲-۸-۱- تاقدیس غزنوی در برش
- ۱۰۹.....B-۳-۲-۸-۲- تاقدیس غزنوی در برش
- ۱۱۰.....C-۳-۲-۸-۳- تاقدیس غزنوی در برش
- ۱۱۱.....D-۳-۲-۸-۴- تاقدیس غزنوی در برش
- ۱۱۳.....E-۳-۲-۸-۵- تاقدیس غزنوی در برش
- ۱۱۵.....: سازند روته - ۳-۲-۹
- ۱۱۶.....FO<sub>۴</sub>-۳-۲-۹-۱- تاقدیس
- ۱۱۷.....FO<sub>۵</sub>-۳-۲-۹-۲- تاقدیس
- ۱۱۹.....: سازند الیکا - ۳-۲-۱۰
- ۱۱۹.....FO<sub>۶</sub>-۳-۲-۱۰-۱- تاقدیس
- ۱۲۱.....FO<sub>۷</sub>-۳-۲-۱۰-۲- ناودیس
- ۱۲۲.....FO<sub>۸</sub>-۳-۲-۱۰-۳- تاقدیس
- ۱۲۳.....FO<sub>۹</sub>-۳-۲-۱۰-۴- تاقدیس
- ۱۲۶.....: سازند شمشک - ۳-۲-۱۱
- ۱۲۶.....: سازند خوردگی فارسیان - ۳-۲-۱۲
- ۱۲۷.....: آهک های کرتاسه بالای - ۳-۲-۱۳
- ۱۲۸.....: پلیوسن - ۳-۲-۱۴- نهشته های

## فصل چهارم : بحث و نتیجه گیری

۱۳۲.....	۴-۱- الگوی گسلش در منطقه
۱۳۱.....	۴-۱-۱- گسل تیل آباد
۱۳۱.....	۴-۱-۲- گسل زردابه
۱۳۲.....	۴-۱-۳- گسل F <sub>۱</sub>
۱۳۲.....	۴-۱-۴- گسل F <sub>۲</sub>
۱۳۴.....	۴-۱-۵- گسل غزنوی:
۱۳۳.....	۴-۱-۶- گسل F <sub>۳</sub>
۱۳۳.....	۴-۱-۷- گسل F <sub>۴</sub>
۱۳۷.....	۴-۲- الگوی چین خودگی و گسلش در منطقه مورد مطالعه:
۱۴۰.....	۴-۳- الگوی چین خودگی
۱۴۵.....	۴-۴- پیشنهادات
۱۴۷.....	پیوست
۱۵۸.....	منابع

# فهرست اشکال

عنوان	صفحه
شكل ۱-۱- تصویر منطقه مورد مطالعه	۴
شكل ۲-۱- تصویر پوشش گیاهی موجود در منطقه	۵
شكل ۳-۱- تصویر SARTM منطقه مورد مطالعه	۷
شكل ۱-۲- تصویر SRTM از رشته کوه البرز	۱۴
شكل ۲-۲- موقعیت جغرافیایی بلوک عربی و ایران در پالئوزوئیک و مژوزوئیک	۱۶
شكل ۳-۲- تکامل ساختاری البرز در اوآخر دوران سنوزوئیک	۲۰
شكل ۴-۲- سازند سلطان	۲۲
شكل ۵-۲- سازند پادها	۲۳
شكل ۶-۲- سازند خوش بیلاق	۲۵
شكل ۷-۲- سازند مبارک	۲۶
شكل ۸-۲- سازند دورود	۲۷
شكل ۹-۲- سازند روته	۲۸
شكل ۱۰-۲- ستون چینه شناسی مربوط به سازندهای دوران پالئوزوئیک	۲۹
شكل ۱۱-۲- سازند الیکا	۳۱
شكل ۱۲-۲- سازند شمشک	۳۲
شكل ۱۳-۲- سازند فارسیان	۳۳
شكل ۱۴-۲- سازند لار	۳۴
شكل ۱۵-۲- واحد آهک های کرتاسه بالایی	۳۴
شكل ۱۶-۲- ستون چینه شناسی مربوط به سازندهای دوران مژوزوئیک	۳۵
شكل ۱۷-۲- نهشته های پیلوسین	۳۶

..... ۳۷	شکل ۱۸-۲ - نهشته های آبرفتی کهن ( $Q^{t^1}$ )
..... ۳۸	شکل ۱۹-۲ - رسوبات آبرفتی رودخانه ای ( $Q^{t^2}$ ) و رسوبات آبرفتی رودخانه ای ( $Q^{a^1}$ )
..... ۳۸	شکل ۲۰-۲ - ستون چینه شناسی مربوط به سازنده های دوران سنوزوئیک
..... ۳۹	شکل ۲۱-۲ - نقشه زمین شناسی تهیه شده از منطقه مورد مطالعه
..... ۴۴	شکل ۲۱-۳ - بخشی از نقشه زمین شناسی منطقه که گسل تیل آباد بر روی آن مشخص شده است
..... ۴۴	شکل ۲۲-۳ - تصویر صحرا ای رانده شدن سازند مبارک بر روی رسوبات کواترنری
..... ۴۵	شکل ۲۳-۳ - نمای نزدیک از سطح گسل تیل آباد در ایستگاه اول
..... ۴۶	شکل ۲۴-۳ - نمایی از گسل تیل آباد در ایستگاه دوم
..... ۴۷	شکل ۲۵-۳ - تصویر صحرا ای از گسل تیل آباد در ایستگاه سوم
..... ۴۸	شکل ۲۶-۳ - نمایی از سطح گسل تیل آباد و شکستگی 'R در ایستگاه سوم
..... ۴۹	شکل ۲۷-۳ - تصویر صحرا ای از گسل تیل آباد در ایستگاه چهارم
..... ۵۰	شکل ۲۸-۳ - نمایی صحرا ای از سطح گسل تیل آباد در ایستگاه چهارم
..... ۵۱	شکل ۲۹-۳ - استریوگرام مربوط به داده های برداشت شده از سطح گسل تیل آباد
..... ۵۲	شکل ۳۰-۳ - نمودار گلسرخی شبیه وامتدادی مربوط به داده های برداشت شده از سطح گسل تیل آباد
..... ۵۲	شکل ۳۱-۳ - تصویر سه بعدی از ترکیب داده های SRTM و نقشه زمین شناسی منطقه
..... ۵۳	شکل ۳۱-۳ - بخشی از نقشه زمین شناسی منطقه مورد که گسل زردابه بر روی آن مشخص شده است
..... ۵۴	شکل ۳۱-۳ - نمای صحرا ای رانده شدن سازند الیکا بر روی آهک های کرتاسه بالایی
..... ۵۵	شکل ۳۱-۳ - تصویر صحرا ای از گسل زردابه در ایستگاه اول
..... ۵۶	شکل ۳۱-۳ - نمایی از سطح گسل زردابه در ایستگاه اول
..... ۵۷	شکل ۳۱-۳ - تصویری از سطح گسل زردابه در ایستگاه دوم
..... ۵۸	شکل ۳۱-۳ - رخنمون سطح گسل زردابه در ایستگاه دوم
..... ۵۹	شکل ۳۱-۳ - استریوگرام مربوط به داده های برداشت شده از سطح گسل زردابه
..... ۵۹	شکل ۳۱-۳ - نمودار گلسرخی شبیه وامتدادی مربوط به داده های برداشت شده از سطح گسل زردابه
..... ۶۰	شکل ۳۱-۳ - تصویر سه بعدی از ترکیب داده های SRTM و نقشه زمین شناسی منطقه

..... شکل ۲۱-۳ - دره گسلی ایجاد شده توسط گسل زردابه	۶۱
..... شکل ۲۲-۳ - بخشی از نقشه زمین شناسی منطقه که گسل $F_1$ بر روی آن مشخص شده است	۶۲
..... شکل ۲۳-۳ - تصویر صحرايی رانده شدن سازند دورود بر روی سازند خوش ييلاق	۶۲
..... شکل ۲۴-۳ - تصویر گسل $F_1$ در ايستگاه اول	۶۴
..... شکل ۲۵-۳ - نمایی از سطح گسل $F_1$ در ايستگاه دوم	۶۵
..... شکل ۲۶-۳ - استريوگرام مربوط به داده های برداشت شده از سطح گسل $F_1$	۶۶
..... شکل ۲۷-۳ - نمودار گلسري خيبي و اميدادي مربوط به داده های برداشت شده از سطح گسل $F_1$	۶۶
..... شکل ۲۸-۳ - تصویر سه بعدی از ترکيب داده های SRTM و نقشه زمین شناسی منطقه مورد مطالعه	۶۷
..... شکل ۲۹-۳ - بخشی از نقشه زمین شناسی منطقه که گسل $F_2$ بر روی آن مشخص شده است	۶۸
..... شکل ۳۰-۳ - بخشی از نقشه زمین شناسی منطقه که گسل غزنوي بر روی آن مشخص شده است	۶۹
..... شکل ۳۱-۳ - نمای صحرايی دور از زون گسلی در ايستگاه اول	۷۰
..... شکل ۳۲-۳ - نمایی از سطح گسل ايستگاه اول	۷۱
..... شکل ۳۳-۳ - نمایي صحرايی از ايستگاه دوم بر روی گسل غزنوي	۷۲
..... شکل ۳۴-۳ - نمایی از سطح گسل غزنوي در ايستگاه دوم	۷۲
..... شکل ۳۵-۳ - نمایی از گسل غزنوي در ايستگاه دوم	۷۳
..... شکل ۳۶-۳ - نمایی از چين کشیده در مجاورت گسل غزنوي	۷۴
..... شکل ۳۷-۳ - استريوگرام حاصل از داده های برداشت شده از چين کشیده	۷۴
..... شکل ۳۸-۳ - استريوگرام مربوط به داده های برداشت شده از سطح گسل غزنوي	۷۵
..... شکل ۳۹-۳ - نمودار گلسري خيبي و اميدادي مربوط به داده های برداشت شده از سطح گسل غزنوي	۷۶
..... شکل ۴۰-۳ - موقعیت ايستگاههای برداشت داده از گسل های عرضی	۷۷
..... شکل ۴۱-۳ - نمایي صحرايی از ايستگاه اول بر روی گسلهای عرضی	۷۸
..... شکل ۴۲-۳ - نمای صحرايی دور از گسل عرضی در ايستگاه دوم	۷۸
..... شکل ۴۳-۳ - گسل $F_4$ بر روی تصویر ماهوارهای لندست	۷۹
..... شکل ۴۴-۳ - نامگذاري چينها بر پایه زاویه بین يالی آنها	۸۱

.....	شکل ۴۵-۳- رده بندی چینها با توجه به وضعیت صفحه محوری و خط لولا	۸۲
.....	شکل ۴۶-۳- رده بندی چینها از دیدگاه ریکارد	۸۳
.....	شکل ۴۷-۳- تصویر ماهواره‌ای لنdest	۸۳
.....	شکل ۴۸-۳- استریوگرام حاصل از داده‌های برداشت شده از تاقدیس سرچشم در برش $T_1 T_2$	۸۵
.....	شکل ۴۹-۳- مقطع نمادین از تاقدیس سرچشم در برش $T_1 T_2$	۸۵
.....	شکل ۵۰-۳- استریوگرام حاصل از داده‌های برداشت شده از تاقدیس در برش $T_3 T_4$	۸۶
.....	شکل ۵۱-۳- مقطع نمادین از تاقدیس سرچشم در برش $T_3 T_4$	۸۶
.....	شکل ۵۲-۳- تصویر ماهواره‌ای لنdest تاقدیس و ناودیس تیل آباد در پیمایش $T_5 T_6$ و $T_9 T_{10}$	۸۷
.....	شکل ۵۳-۳- مقطع نمادین از تاقدیس و ناودیس تیل آباد در برش $T_9 T_{10}$	۸۸
.....	شکل ۵۴-۳- استریوگرام حاصل از داده‌های برداشت شده از چین	۸۹
.....	شکل ۵۵-۳- مقطع نمادین از تاقدیس تیل آباد در برش $T_5 T_6$	۸۹
.....	شکل ۵۶-۳- تصویر ماهواره‌ای لنdest از تاقدیس تیل آباد در پیمایش $T_7 T_8$	۹۰
.....	شکل ۵۷-۳- استریوگرام حاصل از داده‌های برداشت شده از چین	۹۰
.....	شکل ۵۸-۳- مقطع نمادین از تاقدیس تیل آباد در برش $T_7 T_8$	۹۱
.....	شکل ۵۹-۳- تصویر ماهواره‌ای لنdest از ناودیس تیل آباد	۹۱
.....	شکل ۶۰-۳- استریوگرام حاصل از داده‌های برداشت شده از چین	۹۲
.....	شکل ۶۱-۳- تصویر ماهواره‌ای لنdest از تاقدیس و ناودیس غزنوی در برش A	۹۳
.....	شکل ۶۲-۳- استریوگرام حاصل از داده‌های برداشت شده از چین	۹۴
.....	شکل ۶۳-۳- تصویر ماهواره‌ای لنdest از تاقدیس و ناودیس غزنوی در برش B	۹۴
.....	شکل ۶۴-۳- استریوگرام حاصل از داده‌های برداشت شده از چین	۹۵
.....	شکل ۶۵-۳: تصویر ماهواره‌ای لنdest از تاقدیس غزنوی در برش $T_{11} T_{12}$	۹۶
.....	شکل ۶۶-۳- استریوگرام حاصل از داده‌های برداشت شده از چین	۹۷
.....	شکل ۶۷-۳- مقطع نمادین از تاقدیس غزنوی در برش $T_{11} T_{12}$	۹۷
.....	شکل ۶۸-۳: تصویر ماهواره‌ای لنdest از تاقدیس غزنوی در برش $T_{13} T_{14}$	۹۸

..... ۹۹	شکل ۶۹-۳ - استریوگرام حاصل از دادههای برداشت شده از چین.
..... ۹۹	..... شکل ۷۰-۳ - مقطع نمادین از تاقدیس غزنوی در برش $T_{۱۳}T_{۱۴}$
..... ۱۰۲	..... شکل ۷۱-۳ - تصویر صحرابی چین $FO_1$ در سازند پادها
..... ۱۰۳	..... شکل ۷۲-۳ - تصویر صحرابی چین $FO_2$
..... ۱۰۴	..... شکل ۷۳-۳ - استریوگرام حاصل از دادههای برداشت شده از چین $FO_2$
..... ۱۰۵	..... شکل ۷۴-۳ - تصویر صحرابی چین $FO_2$
..... ۱۰۵	..... شکل ۷۵-۳ - استریوگرام حاصل از دادههای برداشت شده از چین $FO_2$
..... ۱۰۷	..... شکل ۷۶-۳ - مدل سه بعدی تاقدیس غزنوی و پهنه گسلی غزنوی.
..... ۱۰۷	..... شکل ۷۷-۳ - نمایی صحرابی از برشهای تاقدیس غزنوی و پهنه گسلی غزنوی.
..... ۱۰۸	..... شکل ۷۸-۳ - استریوگرام حاصل از دادههای برداشت شده از تاقدیس غزنوی در مقطع A
..... ۱۰۸	..... شکل ۷۹-۳ - تصویر ماهوارهای لندست از تاقدیس و ناودیس غزنوی در برش A
..... ۱۰۹	..... شکل ۸۰-۳ - تصویر صحرابی تاقدیس غزنوی در برش B
..... ۱۱۰	..... شکل ۸۱-۳ - استریوگرام حاصل از دادههای برداشت شده از تاقدیس غزنوی در مقطع A
..... ۱۱۰	..... شکل ۸۲-۳ - تصویر صحرابی تاقدیس غزنوی در برش C
..... ۱۱۱	..... شکل ۸۳-۳ - استریوگرام حاصل از دادههای برداشت شده از چین.
..... ۱۱۲	..... شکل ۸۴-۳ - تصویر صحرابی تاقدیس غزنوی در برش D
..... ۱۱۲	..... شکل ۸۵-۳ - استریوگرام حاصل از دادههای برداشت شده از چین.
..... ۱۱۳	..... شکل ۸۶-۳ - تصویر صحرابی تاقدیس غزنوی در برش E
..... ۱۱۴	..... شکل ۸۷-۳ - استریوگرام حاصل از دادههای برداشت شده از چین.
..... ۱۱۶	..... شکل ۸۸-۳ - تصویر صحرابی تاقدیس $FO_4$
..... ۱۱۷	..... شکل ۸۹-۳ - استریوگرام حاصل از دادههای برداشت شده از تاقدیس $FO_4$
..... ۱۱۷	..... شکل ۹۰-۳ - تصویر صحرابی تاقدیس $FO_5$
..... ۱۱۸	..... شکل ۹۱-۳ - استریوگرام حاصل از دادههای برداشت شده از تاقدیس $FO_5$
..... ۱۲۰	..... شکل ۹۲-۳ - تصویر صحرابی تاقدیس $FO_6$

۱۲۰.....	شکل ۹۳-۳ - استریوگرام حاصل از دادههای برداشت شده از تاقدیس $FO_6$
۱۲۱.....	شکل ۹۴-۳ - تصویر صحرایی ناودیس $7$
۱۲۲.....	شکل ۹۵-۳ - استریوگرام حاصل از دادههای برداشت شده از ناودیس $7$
۱۲۲.....	شکل ۹۴-۳ - تصویر صحرایی ناودیس $8$
۱۲۲.....	شکل ۹۵-۳ - استریوگرام حاصل از دادههای برداشت شده از ناودیس $8$
۱۲۴.....	شکل ۹۶-۳: نمایی از تاقدیس $FO_9$ در سازند الیکا
۱۲۵.....	شکل ۹۷-۳ - استریوگرام حاصل از دادههای برداشت شده از تاقدیس $FO_9$
۱۲۷.....	شکل ۹۸-۳ - تصویر صحرایی چین $10$ .
۱۲۸.....	شکل ۹۹-۳ - تصویر صحرایی چین $11$
۱۲۹.....	شکل ۱۰۰-۳ - تصویر صحرایی چین $12$
۱۲۹.....	شکل ۱۰۱-۳ - تصویر صحرایی چین $13$
۱۲۹.....	شکل ۱۰۲-۳ - تصویر صحرایی چین $14$
۱۳۵.....	شکل ۱-۴: تکامل ساختاری البرز در اواخر دوران سنوزئیک.
۱۳۶.....	شکل ۲-۴: نتایج بررسیهای ورنانت و همکاران
۱۳۷.....	شکل ۳-۴ - طرح شماتیک تجزیه بردار حرکتی در زون رسوبی - ساختاری البرز خاوری و کپه داغ
۱۳۸.....	شکل ۴-۴ - مدل پیشنهادی برای تشکیل چین ها، گسل های معکوس و امتدادلغز در منطقه البرز خاوری
۱۳۹.....	شکل ۵-۴ - شکل گیری ساختهای فشارشی در بخشهایی از گسله های راستالغز که حالت همگرا دارند
۱۴۰.....	شکل ۶-۴ - نقشه ساختاری تهیه شده از منطقه مورد مطالعه
۱۴۱.....	شکل ۷-۴ - نمودار گل سرخی مربوط به سطح محوری چینها
۱۴۲.....	شکل ۸-۴ - رده بندی چینها بر اساس شب سطح محوری و میل لوای چین
۱۴۳.....	شکل ۹-۰ - طبقه بندی چینها از دیدگاه ریکارد در منطقه مورد مطالعه
۱۴۴.....	شکل ۱۰-۴ - تلفیق نقشه مغناطیس هوایی گرگان نقشه زمین شناسی
۱۴۴.....	شکل ۱۱-۴ - تلفیق نقشه مغناطیس هوایی و نقشه زمین شناسی محدوده مورد مطالعه

## فهرست جداول

عنوان	صفحه
جدول ۱-۳- خصوصیات هندسی چین‌های ماکروسکوپی برداشت شده در محدوده مورد مطالعه.....	۱۰۰
جدول ۲-۳- جایگاه چین خورده‌گی‌های ماکروسکوپی برداشت شده در محدوده مورد مطالعه.....	۱۰۱
جدول ۳-۳- خصوصیات هندسی چین‌های برداشت شده در سازند خوش بیلاق.....	۱۰۵
جدول ۴-۳- جایگاه چین خورده‌گی‌های سازند خوش بیلاق در تقسیم بندی.....	۱۰۶
جدول ۵-۳- خصوصیات هندسی چین‌های برداشت شده در سازند مبارک.....	۱۱۴
جدول ۶-۳- جایگاه چین خورده‌گی‌های سازند مبارک در تقسیم بندی.....	۱۱۵
جدول ۷-۳- خصوصیات هندسی چینهای برداشت شده در سازند دورود.....	۱۱۸
جدول ۸-۳- جایگاه چین خورده‌گی‌های سازند دورود در تقسیم بندی‌های.....	۱۱۹
جدول ۹-۳- خصوصیات هندسی چین‌های برداشت شده در سازند الیکا.....	۱۲۵
جدول ۱۰-۳- جایگاه چین خورده‌گی‌های سازند الیکا در تقسیم بندی.....	۱۲۶
جدول ۱-۴ - طبقه بندی چینها بر اساس زاویه بین يالها.....	۱۴۱
جدول ۲-۴ - مقدار فراوانی چین‌ها بر اساس شب سطح محوری و میل لولای چین در منطقه مورد مطالعه....	۱۴۲
جدول ۳-۴ - مقدار فراوانی چین‌ها از دیدگاه ریکارد در منطقه مورد مطالعه.....	۱۴۳

فصل اول

کلیات

## ۱-۱- تعریف مساله و اهداف مطالعه :

منظومه کوهستانی البرز در شمال ایران بخشی از سلسله جبال آلپ - هیمالیا می‌باشد، که تقریباً به طول ۲۰۰۰ کیلومتر، از سمت باختر به کوههای قفقاز در ارمنستان و جمهوری آذربایجان و از سمت خاور به کوههای پاراپامسیوس در شمال افغانستان کشیده شده است (علوی، ۱۹۹۶).

سرزمین البرز از نگاه ریخت شناسی و نیز سرگذشت چینهای در همه جا یکسان نیست و پیچیدگی‌های ساختاری این رشته کوه باعث شده است که بخش‌های مختلف البرز به طور جداگانه مورد بررسی قرار گیرد. در شکل‌گیری ساختارهای این رشته کوه عواملی مانند برخورد صفحه ایران و توران، عملکرد گسل-های راندگی و امتدادلغز نقش دارند.

منطقه مورد مطالعه بخش کوچکی از دامنه جنوبی زون رسوی - ساختاری البرز خاوری است و از نظر موقعیت جغرافیایی در جنوب خاوری استان گلستان قرار دارد. واحدهای سنگی - رسوی که در منطقه تحت تاثیر چین‌خوردگی و گسلش قرار گرفته‌اند، متعلق به دوران‌های پالتوزوئیک، مزوژوئیک و سنوزوئیک می‌باشند. چین‌خوردگی‌ها و گسلش‌های رخ داده در منطقه همانند البرز خاوری، بیشتر دارای روند شمال خاوری - جنوب باختری می‌باشند. همچنین گسل‌های عرضی در منطقه قابل شناسایی می‌باشند، که تقریباً دارای روند شمالی - جنوبی و شبیب به سمت خاور هستند، که در نقشه‌های موجود چندان به آن توجه نکرده‌اند و تنها به صورت یک خطواره نشان داده‌اند.

۱ - تحلیل هندسی تاقدیس‌های تیل آباد، غزنوی و چین‌خوردگی‌های موجود در منطقه مورد مطالعه

۲ - هندسه و سازوکار گسل‌های محدوده مورد مطالعه و ارتباط آنها با یکدیگر

۳ - ارتباط بین گسل‌ها و چین‌ها محدوده مورد مطالعه

۴ - ارتباط بین گسل‌های طولی و عرضی منطقه

## فصل اول : کلیات

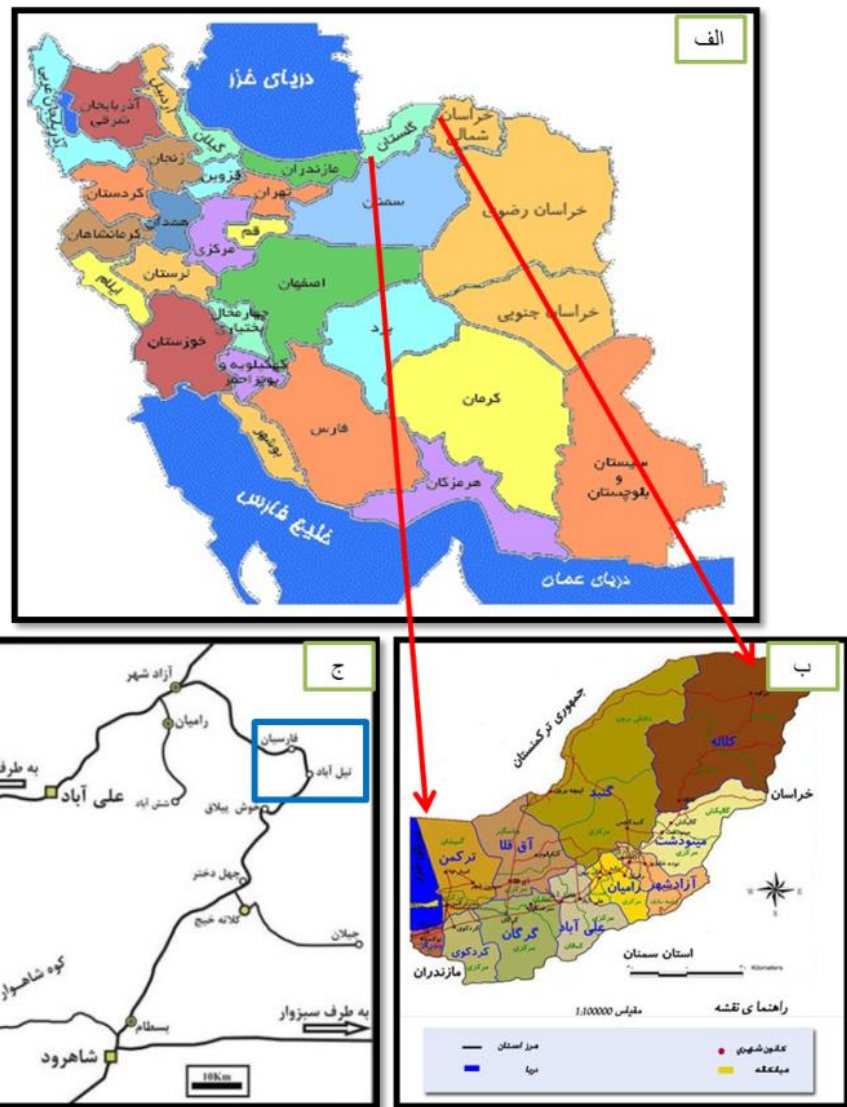
۵ - تهیه نقشه زمین شناسی محدوده مورد مطالعه در مقیاس مناسب

### ۱-۲- موقعیت جغرافیایی و راههای دسترسی به منطقه :

منطقه مورد مطالعه در پهنه رسوبی - ساختاری البرز، در حاشیه جنوبی البرز خاوری در بین طولهای جغرافیایی  $24^{\circ} 55'$  الی  $30^{\circ} 55'$  شرقی و عرض جغرافیایی  $52.8^{\circ}$  الی  $57.6^{\circ}$  شمالی قرار گرفته است. این منطقه از نظر تقسیم‌بندی کشوری در جنوب شرق استان گلستان و در فاصله ۴۵ کیلومتری شهرستان آزادشهر در دهستان چشمہ ساران قرار دارد. فاصله این شهرستان از مرکز استان گلستان (گرگان) حدود ۱۲۰ کیلومتر می‌باشد. روستاهای تیل آباد، محمدعلی آباد، غزنوی و فارسیان در منطقه مورد مطالعه قرار گرفته‌اند. مساحت منطقه مورد مطالعه تقریباً ۸۱ کیلومتر مربع ( ۹ کیلومتر طول و ۹ کیلومتر عرض ) می‌باشد.

اصلی‌ترین راه دسترسی به این منطقه راه آسفالتی آزادشهر - شاهرود است. این راه دقیقاً از وسط منطقه مورد مطالعه می‌گذرد. دیگر راههای دسترسی به منطقه میتوان به راه ارتباطی روستای تیل آباد به پامنار و فارسیان نام برد. و برای ورود به درون منطقه مورد مطالعه نیز باید از دره‌های عرضی و راههای خاکی که منتهی به زمین‌های کشاورزی و دامداری‌ها است استفاده کرد. تا به سهولت به نقاط دسترسی پیدا کرد (شکل ۱-۱).

فصل اول : کلیات



شکل ۱-۱ - الف- منطقه مورد مطالعه نسبت به نقشه ایران ب) منطقه مورد مطالعه نسبت به استان ج) منطقه مورد  
طالعه نسبت به شهرستان

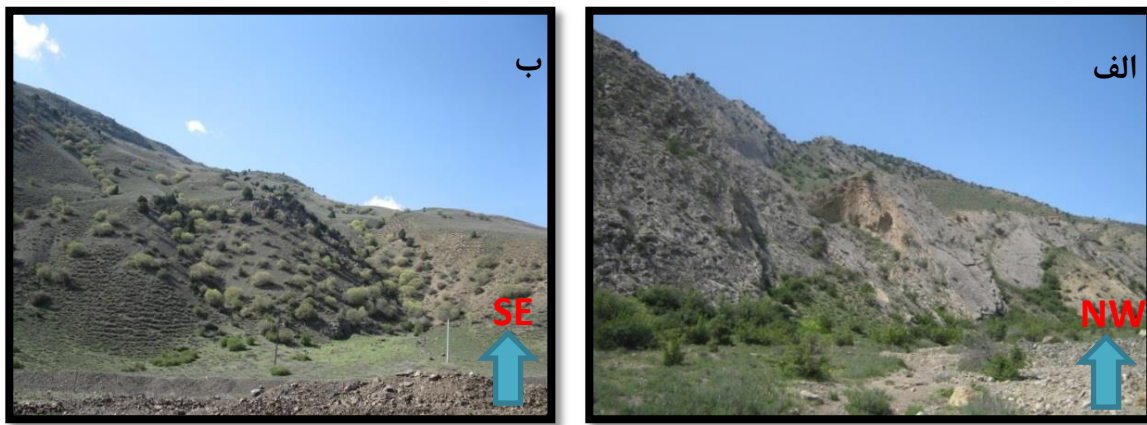
## ۱-۳- آپ وہوا و پوشش گپاھی

این منطقه از لحاظ آب و هوایی جزء مناطق کوهستانی، سرد و خشک می باشد و به سمت آزادشهر بر رطوبت هوا بخاطر نزدیک شدن به دریای خزر افزوده می شود. در فصل پاییز و بهار متوسط حالت بین زمستان و تابستان برقرار می باشد. که دارای زمستان های بسیار سرد طولانی و تابستان های معتدل و کوتاه می باشد میانگین دما در گرمترین ماه سال (تیر ماه)  $30-35$  درجه سانتی گراد و در سردترین ماه سال

## فصل اول : کلیات

(بهمن) تا ۱۰ - درجه سانتی گراد می‌رسد. بارش در این منطقه بنا به فصل بارش بصورت برف و باران متغیر هست، که در زمستان بیشتر بارش‌ها بصورت برف و در فصل‌های بهار و پاییز بصورت باران می‌باشد. میزان بارندگی در این منطقه ۴۰۰-۱۰۰ میلی متر در سال است.

هر چه از قسمت‌های شمالی به سمت جنوب حرکت می‌کنیم، از میزان دمای هوای پوشش گیاهی کاسته می‌شود. پوشش گیاهی در کنار رودخانه تیل‌آباد بیشتر گردو و هلولی در کوهستان‌ها درختان کوهستانی مثل گز، زرشک و ... می‌باشد (شکل ۱-۲).



شکل ۱-۲- پوشش گیاهی موجود در منطقه، الف - جنوب روستای غزنوی (دید به سمت شمال باختری)، ب - جنوب غرب منطقه مورد مطالعه (دید به سمت جنوب خاوری).

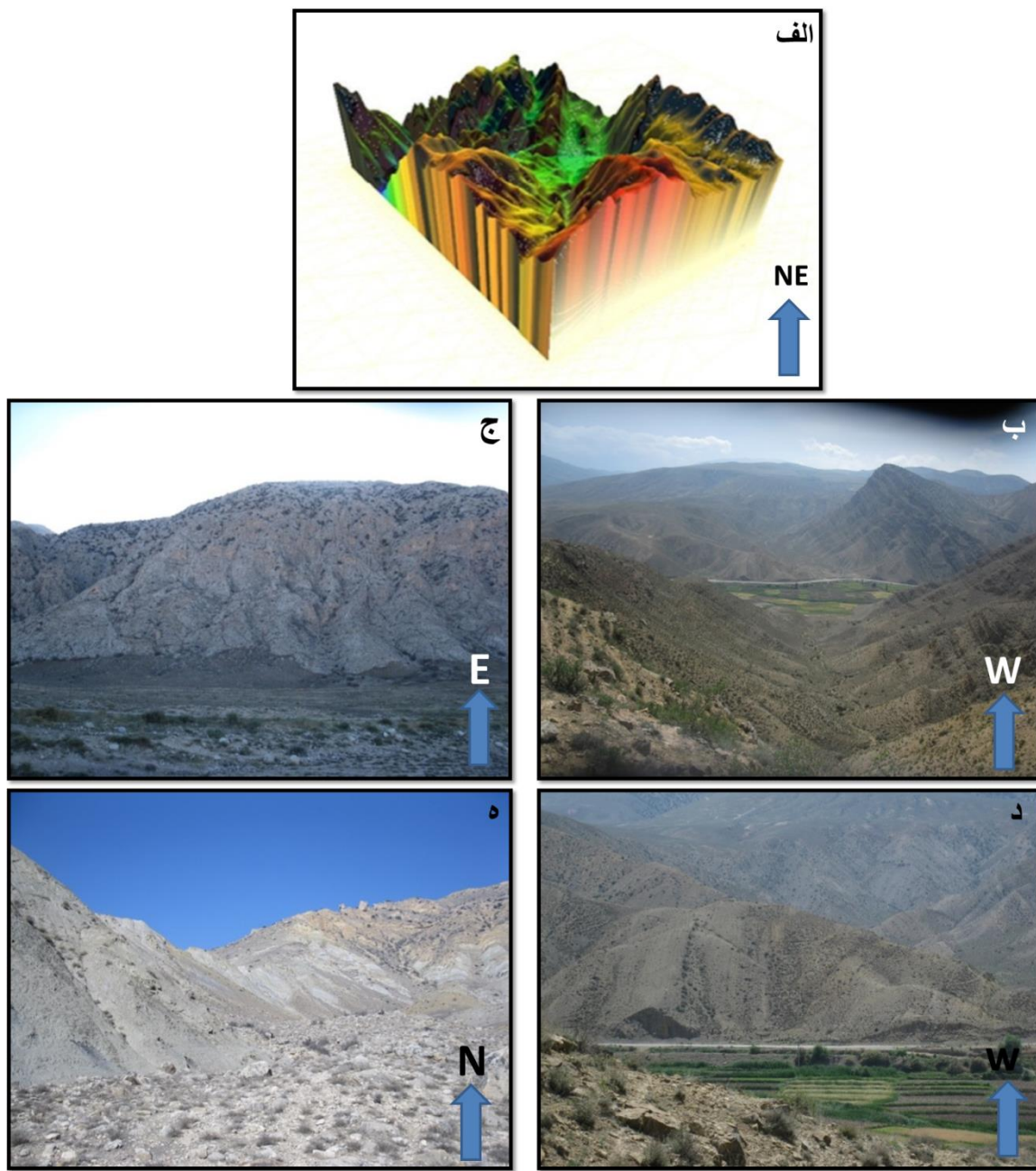
### ۱-۴- زمین ریخت شناسی (ژئومورفولوژی)

زمین ریخت شناسی کمربند البرز تغییرات بسیار زیادی را نشان می‌دهد، البته با بررسی این رشته کوه از سمت البرز باختری به البرز خاوری شاهد تغییرات منظمی مطابق با روند ساختاری هر بخش هستیم (قرشی، ۱۳۸۹). از شاهرود به سمت تیل‌آباد - غزنوی، تا قبل گردنی خوش‌بیلاق منطقه حالت فلات گونه دارد و بعد از آن به دلیل ارتفاعات متعدد چهره‌ی کوهستانی پیدا می‌کند. ژئومورفولوژی منطقه تابعی از آب و هوا و با توجه به گوناگونی در ترکیب سنگ‌ها و نهشته‌ها و نوع فرسایش ژئومورفولوژی خاصی دارد. گسل خورده‌ها و چین خورده‌ها نیز در طول زمان زمین شناسی یکی از عوامل اصلی در ایجاد

سیماهای مورفولوژیکی در منطقه می باشند. در محدوده مورد بررسی خط الراس کوهها و درهها بطور کلی دارای روند شمال خاوری - جنوب باختری، موازی با روند ساختارهای اصلی منطقه بوده است. بطور کلی در منطقه سازندهای خوش بیلاق، دورود، شمشک و نهشته های کواترنری به علت نامقاوم بودن بیشتر تحت تاثیر فرسایش قرار گرفته و ریخت شناسی ملایم و تپه های مدور با شیب کم را ایجاد کرده اند. ولی سازندهای آهکی و سخت همانند مبارک، روته، الیکا، لار و آهک های کرتاسه به علت مقاومت بیشتر در مقابل فرسایش مناطق ستیغ و بلندی های منطقه را ایجاد کرده اند (شکل ۱-۳). از نظر توپوگرافی میانگین ارتفاع محدوده مورد مطالعه از سطح دریا ۱۶۰۰ متر می باشد. حداکثر ارتفاع محدوده یاد شده مربوط به قله کوههای قسمت جنوبی و جنوب خاوری منطقه مورد مطالعه در سازند لار با ارتفاع ۱۹۰۰ متر از سطح دریا و حداقل ارتفاع ۸۰۰ متر از سطح دریا مربوط به قسمت شمال باختری در بستر رودخانه خرمالو (تیل آباد) قرار دارد (نقشه ۱:۱۰۰۰۰۰ خوش بیلاق).

از رودهای مهم منطقه میتوان به رودخانه خرمالو (تیل آباد) و وامنان نام برد که آب این رودها از چشمهای و کوههای اطراف تامین می شود و در محل پل تاریخی روستای غزنوی به هم می پیوندند و با پیوستان به گرگان رود به دریای خزر می ریزد.

## فصل اول : کلیات



شکل ۳-۱- الف - تصویر منطقه مورد مطالعه برای نشان دادن توپوگرافی منطقه مورد مطالعه، ب - نمایی از توپوگرافی خشن سازند مبارک(دید به سمت غرب)، ج - نمایی از توپوگرافی خشن سازند آهکهای کرتاسه بالایی(دید به سمت شرق)، د- نمایی از توپوگرافی ملایم بخش بالایی سازند خوش بیلاق کنار جاده شاهرود - آزادشهر(دید به سمت غرب)، ه- نمایی از توپوگرافی ملایم سازند شمشک در نزدیکی روستای غزنوی(دید به سمت شمال).

## ۱-۵- مطالعات پیشین

اگرچه مطالعات انجام شده بر روی رشته کوه البرز شرقی نسبتاً زیاد می‌باشد، اما این مطالعات در منطقه مورد مطالعه به صورت کلی بوده و به جزئیات ساختاری کمتر پرداخته شده است. اولین مطالعات ساختاری مربوط به منطقه برای تهیه نقشه‌های زمین‌شناسی ۱:۲۵۰۰۰۰ گرگان توسط علوی و همکاران (۱۳۶۹)، ۱:۱۰۰۰۰۰ خوش‌بیلاق توسط جعفریان و همکاران (۱۳۸۳) صورت پذیرفته است. بیشتر مطالعات صورت گرفته در این منطقه مربوط به مباحث چینه شناسی و رسوب شناسی بوده است. برخی از این مطالعات به شرح زیر می‌باشد.

شهربازی و همکاران (۱۳۹۳)، به تحلیل هندسی و جنبشی چین‌خوردگی در ناحیه تیل‌آباد پرداخته‌اند. وضعیت اکثر چین‌ها، در رده چین‌های کم میل تا متوسط میل و پر شیب قرار می‌گیرند، بر حسب زاویه بین دو یال اکثر چین‌های منطقه در رده چین‌های باز و بر اساس تقسیم بندی رمزی، اکثر چین‌ها در رده ۱ و بخصوص در رده ۱B که چین‌های موازی هستند قرار می‌گیرند. در کل روند سطح محوری چین‌ها شمال خاوری – جنوب باختری می‌باشد.

نورافکن و همکاران (۱۳۹۱)، در جنوب منطقه مورد مطالعه، به تحلیل ساختاری چین‌خوردگی‌ها و گسل‌شیش در ناحیه چهل دختر (شمال خاوری شهرود) پرداخته‌اند، که طی مطالعات آنها در این منطقه، گسل‌های با راستای شمال خاوری – جنوب باختری همچون گسل ابر، میقان، خیج و کلاته بن، دارای سازوکار معکوس چپبر و گسل‌های با راستای شمالی – جنوبی دارای سازوکار راستبر می‌باشند. چین‌های مطالعه شده، در این منطقه بر مبنای زاویه بین دو یال به طور عمده در رده باز و تعداد محدودی از آنها در رده ملایم قرار می‌گیرد. و بر اساس شیب سطح محوری و میل لولا بیشتر در دو رده ایستاده و تقریباً افقی، ایستاده با میل ملایم قرار می‌گیرند.

## فصل اول : کلیات

جاویدفخر و همکاران (۲۰۱۱)، برای مطالعه زمین ساخت فعال در البرز خاوری، به بررسی سازوکار گسل-های ابر و خیج پرداخته‌اند، این دو گسل دارای راستای شمال خاوری جنوب باختی و سازوکار چپبر می‌باشد. این دو گسل تقریباً به صورت موازی و با فاصله تقریباً ۲۰ کیلومتری نسبت با یکدیگر قرار دارند، ولی در نزدیکی روستای تیلآباد این فاصله به ۲ کیلومتر می‌رسد.

درخشن و همکاران (۱۳۹۱) به مطالعه محیط رسوی سازند الیکا در برش تیلآباد پرداخته‌اند. محیط رسوی سازند الیکا در منطقه تیلآباد با ظهور رخساره‌های مناطق نیمه عمیق مانند رمپ میانی شروع می‌شود و تا پهنه‌های جذر و مدب، و در نهایت محیط قاره‌ای ادامه می‌یابد، که این تفاوت رخساره‌ها نشان دهنده‌ی تغییرات سطح آب دریا در محدوده زمانی تریاس به شکل یک پسروی در البرز شرقی است.

سعیدی و همکاران (۱۳۹۱) به تحلیل رخساره‌های رسوی سازند مبارک در برش تیل آباد پرداخته‌اند. سازند مبارک در این برش در یک پلاتفرم کربناته نوع رمپ هموکلینال نهشته شده است.

حسنی و همکاران (۱۳۸۹) به بررسی رخساره‌ها، محیط رسویگذاری و چینه نگاری سکانسی توالی رسوی پرمین در ناحیه تیلآباد - غزنوی پرداخته است. توالی رسوی در این ناحیه در یک سیستم مختلط آواری-کربناته نهشته شده است. سازند دورود(پرمین پیشین) با حاکمیت محیط آواری نهشته شده و در یک سیستم رودخانه‌ای - ساحلی تشکیل شده است. شرایط در زمان تشکیل سازند روته(پرمین میانی) همزمان با بالا آمدن سطح آب دریا و کاهش ورود آواری‌ها به حوضه، شرایط محیط رسویگذاری از آواری به کربناته تحول یافته و یک پلاتفرم کربناته از نوع رمپ در منطقه گسترش یافته است.

حاجی پور (۱۳۸۸)، به مطالعه ماکروفسیل‌های سازند شمشک در ناحیه غزنوی - فارسیان پرداخته است. که قاعده سازند شمشک در منطقه از رتین (تریاس پیشین) آغاز می‌شود و شرایط آب و هوایی نیمه استوایی و مرطوب و محیط رسویگذاری دلتایی که با نوسانات شدید سطح آب حوضه رسوی همراه بوده است.

میرباقری و همکاران (۱۳۸۶)، به بررسی مشخصات سنگ شناسی، محیط رسوبی و سکانس استراتیگرافی سازند شمشک در روستای غزنوی پرداخته است. در این منطقه شانزده سکانس را از این سازند شناسایی و محیط تشکیل آن را دلتایی پیشنهاد کرده است.

لامی و همکاران (۱۳۷۹) به بررسی رخساره‌ها، محیط‌های رسوبی و چینه نگاری سکانسی سازند الیکا در ناحیه غزنوی پرداخته‌اند. رخساره‌های بخش زیرین در دوره‌های آرام و طوفانی و رخساره‌های بخش بالایی در دوره‌های آرام در پلاتفرم کربناتی نوع رمپ تشکیل شده است.

## ۱-۶- روش پژوهش

برای انجام پژوهش مورد نظر و رسیدن به اهداف از پیش تعیین شده آن از روش‌های پژوهشی مختلف زیر به شرح زیر استفاده شده است.

### ۱-۶-۱- مطالعات کتابخانه‌ای

- جمع آوری اطلاعات علمی موجود در رابطه با موضوع و محل پژوهش از منابع علمی مختلف از جمله کتب و مجلات علمی معتبر و گزارش‌های سازمان زمین شناسی، با مطالعه و بررسی این منابع جهت دست یابی به اطلاعات اولیه لازم برای انجام پژوهش‌های دیگر و آشنایی با سوابق پژوهش‌های مربوطه.

- تهیه نقشه‌های زمین شناسی و توپوگرافی و عکس‌های هوایی و ماهواره‌ای منطقه مورد پژوهش و بررسی آنها به منظور آشنایی با موقعیت جغرافیایی، توپوگرافی و زمین شناسی منطقه.

- پیدا کردن بهترین راه دسترسی به منطقه برای برداشت‌های صحرایی.

### ۱-۶-۲- مطالعات صحرایی :

- نمونه برداری از سنگ‌ها و تهیه مقاطع نازک به منظور تشخیص سازندها

## فصل اول : کلیات

---

- اندازه گیری وضعیت استقرار (شیب و جهت بزرگترین شیب) ساختارهای زمین شناسی در صحراء، جهت تهیه استریوگرام‌های مختلف و تفسیر آنها.

- شناسایی آثار گسلش سطحی و ساختارهای مرتبط با آن

لازم بر ذکر است که نحوه بیان موقعیت عناصر ساختاری صفحه‌ای بصورت شیب و جهت بزرگترین شیب (Azimuth , Plunge) و عناصر خطی به صورت میل و جهت میل (Dip,DipDirection ) می باشد.

### ۱-۶-۳- تحلیل داده‌های ساختاری و تدوین پایان نامه

- تحلیل داده‌های ساختاری، که برگرفته از مطالعات قبلی، داده‌ها و اطلاعات بدست آمده از برداشت‌های صحرایی می‌باشد. که پارامترهای ساختاری برداشت شده چین‌ها برای تقسیم بندی براساس زاویه بین یالی و سطح محوری (فلوتی)، شیب و پلانژ (ریکارد) صورت گرفته است. داده‌های برداشت شده گسل برای تعیین وضعیت هندسی، سازوکار و مدل جنبشی صورت گرفته است. به این منظور از نرم افزارهای استریوگرافیک مانند: Georient ، Dips ، Tectonic FP و ... استفاده شده است.

- تدوین پایان نامه و تهیه نقشه‌های زمین شناسی و ساختاری از منطقه مورد مطالعه که از طریق اطلاعات بدست آمده از تصاویر ماهواره‌ای، عکس‌های هوایی و برداشت‌های صحرایی با استفاده از نرم افزارهای مرتبط مانند: Global Mapper ، Arc Gis و ... به انجام رسیده است. در آخر برای تهیه نقشه زمین شناسی منطقه مورد مطالعه، از نقشه زمین شناسی خوش بیلاق با مقیاس ۱:۱۰۰۰۰۰ به عنوان نقشه پایه استفاده شده و یافته‌های جدید این پژوهش در محیط Arc Gis بر روی آن اضافه شده است.

## فصل اول : کلیات

---

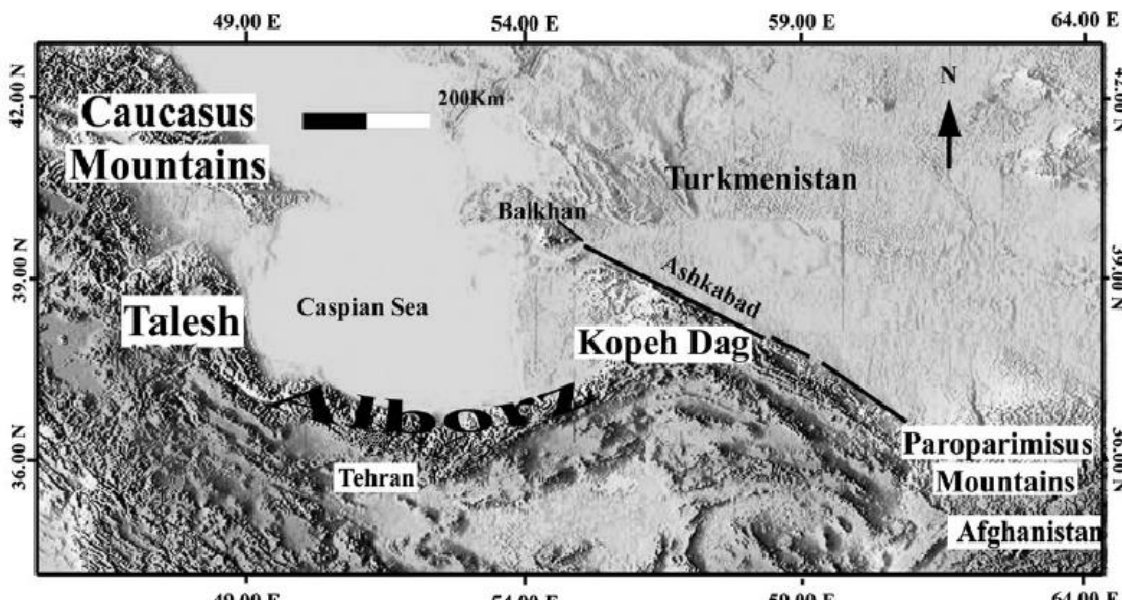
فصل دوم

زمین شناسی عمومی

منطقه مورد مطالعه برای این پژوهش از دیدگاه زمین شناسی ایران، در زون رسوی - ساختاری البرز و در حاشیه جنوبی البرز خاوری قرار دارد. به همین لحاظ در این فصل تاریخچه مختصری از زمین ساخت البرز و چینه شناسی محدوده مورد مطالعه مورد بحث قرار می‌گیرد.

### ۱-۱- زمین ساخت البرز

به اعتقاد علوی<sup>۱</sup> (۱۹۹۶) سرزمین ایران در میان کمرندهای کوهستانی آلپ - هیمالیا، بصورت زون قاره‌ای با همگرایی بین اوراسیا در شمال و بلوک عربی در جنوب قرار دارد. به اعتقاد علوی منظومه کوهستانی البرز در شمال ایران بخشی از سلسله جبال آلپ - هیمالیا می‌باشد که تقریباً به طول ۲۰۰۰ کیلومتر، از سمت باختر به کوههای قفقاز در ارمنستان و جمهوری آذربایجان و از سمت خاور به کوههای پاراپامسیوس در شمال افغانستان کشیده شده است (شکل ۱-۲).



شکل ۱-۲- تصویر SRTM از رشته کوه البرز (برگرفته از احتمامی و یساقی<sup>۲</sup>، ۲۰۰۶)

<sup>۱</sup> Alavi

<sup>۲</sup> Ehteshami and Yassaghi

## فصل دوم : زمین شناسی عمومی

به اعتقاد جکسون رشته کوه البرز بصورت کمان مرفوعی در شمال ایران، که از انتهای تالش در باخته تا تقاطع آن با کپه داغ در خاور گستردگی شده است (جکسون و همکاران<sup>۱</sup>، ۲۰۰۲). پهنه رسوبی - ساختاری البرز شامل بلندهای شمال ایران، ناحیه‌ای با دگرشکلی فعال در زون برخوردی اوراسیا - عربی می‌باشد که بصورت رشته کوه‌هایی به شکل ۷ باز در حاشیه جنوبی حوضه خزر، در یک راستای عمومی خاوری - باخته و نسبتاً پر پیچ خمدار از آذربایجان تا خراسان امتداد دارد (آفانباتی، ۱۳۸۳).

پوسته البرز ضخامتی در حدود ۳۵ کیلومتر دارد و شامل ردیفهای ضخیمی از سنگ‌های پرکامبرین پسین تا عهد حاضر می‌باشند (تاتار<sup>۲</sup>، ۲۰۰۱). رشته کوه البرز مثال بارزی از تغییر شکل فشارشی و امتدادلغز است (آلن و همکاران<sup>۳</sup>، ۲۰۰۳). گسل خورددگی به صورت راندگی مهم‌ترین شکل دگریختی در البرز محسوب می‌گردد. این نوع گسل‌ها موجب جابجایی ورقه‌های ساختاری بیشماری و تشکیل سیستم‌های دوپلکسی گردیده است (علوی، ۱۹۹۶).

ساختمان البرز نتیجه دو کوهزایی مهم است، اولین کوهزایی مربوط به پرکامبرین، دومین کوهزایی مربوط به کوهزایی آلپین که مربوط به دوران مژوزوئیک می‌باشند. که باعث چین خورددگی در البرز، سخت شدن و به هم پیوستگی پی سنگ را به دنبال داشته است. اگر چه مجموعه البرز از آذربایجان تا خراسان ادامه می‌یابد، ولی از نظر چینه شناسی و تکتونیک اختصاصات یکنواخت نداشته و به همین دلیل به واحدهای کپه داغ، آذربایجان، البرز باخته، البرز مرکزی و البرز خاوری تقسیم شده است (درویش زاده، ۱۳۷۰).

در زمان پرکامبرین، نواحی البرز، ایران مرکزی، سنتدج سیرجان و زاگرس در حاشیه شمالی قاره گندوانا قرار داشته و به وسیله اقیانوس تتیس کهن (پالتوتیس) از پهنه کپه داغ و به تبع آن از قاره اوراسیا جدا بوده‌اند (بربریان و کینگ<sup>۴</sup>، ۱۹۸۱). در اواخر دوران پالتوزوئیک تا ابتدای مژوزوئیک، البرز و ایران مرکزی

<sup>۱</sup> Jackson

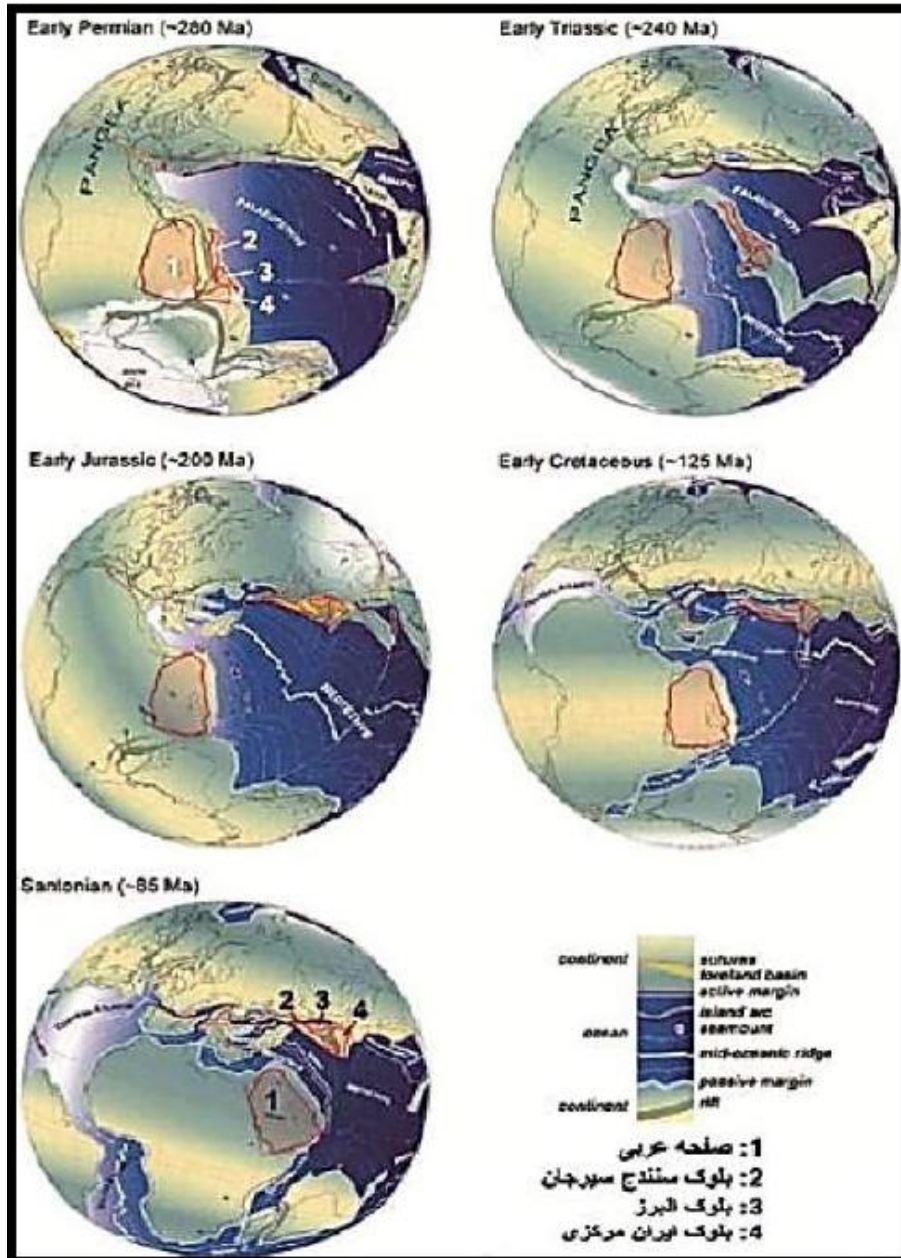
<sup>۲</sup> Tatar

<sup>۳</sup> Allen

<sup>۴</sup> Berberian & King

## فصل دوم : زمین شناسی عمومی

گندوانا جدا شده و با حرکت تدریجی به سمت شمال، طی تریاس پسین (حدود ۲۱۰ میلیون سال قبل) به ورقه شمالی (اورازیا) بخورد کرده است (شکل ۲-۲). البرز و ایران مرکزی به اورازیا متصل شد و اقیانوس پالئوتیس به طور کامل بسته شد.



شکل ۲-۲- موقعیت جغرافیایی بلوك عربی و ایران در پالئوزوئیک و میozوئیک (بر گرفته از اشتامفلی و بول، ۲۰۰۲).

## فصل دوم : زمین شناسی عمومی

بسیاری از محققان، البرز را از اینفراکامبرین تا تریاس میانی، به صورت یک پلتفرم پایدار در نظر می-گیرند، فازهای کالدونین و هرسی نین را تنها به صورت خشکی زایی قبول دارند (اشتابملی، ۱۹۷۸، اشتوكلین<sup>۱</sup>، ۱۹۶۸). البرز از زمان تریاس تا به امروز توسط کوهزایی‌های سیمرین و آلپ تکامل یافته است (علوی، ۱۹۹۶). در زمان تریاس پسین، همزمان با رویداد کوهزایی سیمرین پیشین، اگرچه رویدادهای ناشی از برخورد حاشیه قاره‌ای فعال و پویای توران با حاشیه قاره‌ای ناپویای البرز موجب شکل‌گیری گسل‌های راندگی و فروزانش مجموعه‌های اقیانوسی تیس کهن بر روی لبه شمالی البرز شده است (آقانباتی، ۱۳۸۳).

وبیژگی‌های سنگی و زیستی ژوراسیک البرز، پیوند نزدیک با رویدادهای زمین‌ساختی دارد، به گونه‌ای که می‌توان همه سنگ‌های ژوراسیک البرز را در دو دوره رسوبی جدا جای داد. سنگ‌های نخستین چرخه نشانگر حوضه‌های مردابی - رودخانه‌ای و گاه دریایی کم ژرف و بخشی از واحد سنگی « گروه شمشک » است. رسوب‌های چرخه رسوبی دوم، بیشتر ردیفهای دریایی شامل مارن و سنگ‌آهک‌های مارنی « سازند دلیچای » به سن ژوراسیک میانی و سنگ‌آهک‌های « سازند لار » به سن ژوراسیک پسین است حدهای چرخه رسوبی و حتی مرز سازندهای ژوراسیک، در بیشتر نواحی البرز ناهمzman(Diachronous) است (آقانباتی ۱۳۸۳).

نوار کوهزایی البرز بر حاشیه شمالی ایران، در اواخر ژوراسیک پیشین لیتوسفر قاره‌ای برای رسیدن به تعادل ایزوفستاتیک در زیر بار وزن نوار کوهزایی البرز فرونشنینی کرده است. این فرونشنینی که با کاهش شدت فرسایش همراه بوده است با همراهی افزایش سطح جهانی آبها، پیش روی مجدد محیط دریایی به سمت نوار کوهزایی و برقراری محیط دریایی در حوضه فورلند را سبب شده است. در این مرحله که با

<sup>۱</sup> Stocklin

## فصل دوم : زمین شناسی عمومی

شروع یک دوره آرامش تکتونیکی همراه بوده است، توالی رسوبات آهکی ژوراسیک میانی تا کرتاسه پسین در حوضه فورلند را سبب شده‌اند (شهریاری و همکاران، ۱۳۸۲).

بررسی دیرینه جغرافیایی البرز نشان می‌دهد که رسوبات پالئوزوئیک دامنه شمالی ستبرتراند و در پاره‌ای نقاط همچون آمل، کندوان ناپیوستگی رسوبی میان سنگ‌های پرمین و تریاس در کمترین اندازه است. در ضمن، ستبرای رسوبات زغالدار تریاس بالا – ژوراسیک میانی در دامنه شمالی، چندین برابر دامنه جنوبی است. این نکته‌ها نشان می‌دهد که در زمان‌های پالئوزوئیک – مزوژوئیک حوضه رسوبی دامنه شمالی البرز عمیق‌تر از دامنه جنوبی بوده است (آقانباتی، ۱۳۸۳).

اولین حرکات واقعی که منجر به چین‌خوردگی البرز شد، در ماستریشتین پایانی و پالئوسن اتفاق افتاد (فاز لارامید) و در اثر آن، محدوده فرورفتگی در شمال به خشکی مبدل شده است و موجب تشکیل جبال البرز در اوایل دوران سنوزوئیک گردید. دومین فاز کوهزایی در اوایل - اواسط الیگوسن اتفاق افتاد (فاز پیرنه). این حرکات موجب مرتفع شدن بیشتر، و فرسایش بعدی قسمت مرکزی کمربند البرز شد. آخرین فرایند کوهزایی مهم در البرز در اواخر پلیوسن یا اوایل پلئیستوسن اتفاق افتاده است (فاز پاسادنین). پی آمد این حرکات، گسل خوردگی‌ها، روراندگی‌های ملایم و مرتفع شدن البرز بوده است (خسروتهرانی، ۱۳۶۴).

با شروع نئوژن در نتیجه حرکات کوهزایی آلپ پسین، بالاً‌مدگی در فلات ایران و نیز افت سطح جهانی آبهای (Vail et al, ۱۹۹۷) حوضه فورلند دریایی به یک حوضه غیر دریایی تبدیل شده است (شهریاری و همکاران، ۱۳۸۲).

توالی رسوبات از نئوژن تا عهد حاضر در این پهنه، به طور عمدۀ از نوع آواری و پلایایی است. رسوبات متعلق به این بازه از چندین سیکل از رسوبات آواری ضخیم شونده و درشت شونده به سمت بالا تشکیل شده است. این سیکل‌های آواری توسط مجموعه‌های از رسوبات پلایایی از یکدیگر جدا می‌شوند. سیکل-

## فصل دوم : زمین شناسی عمومی

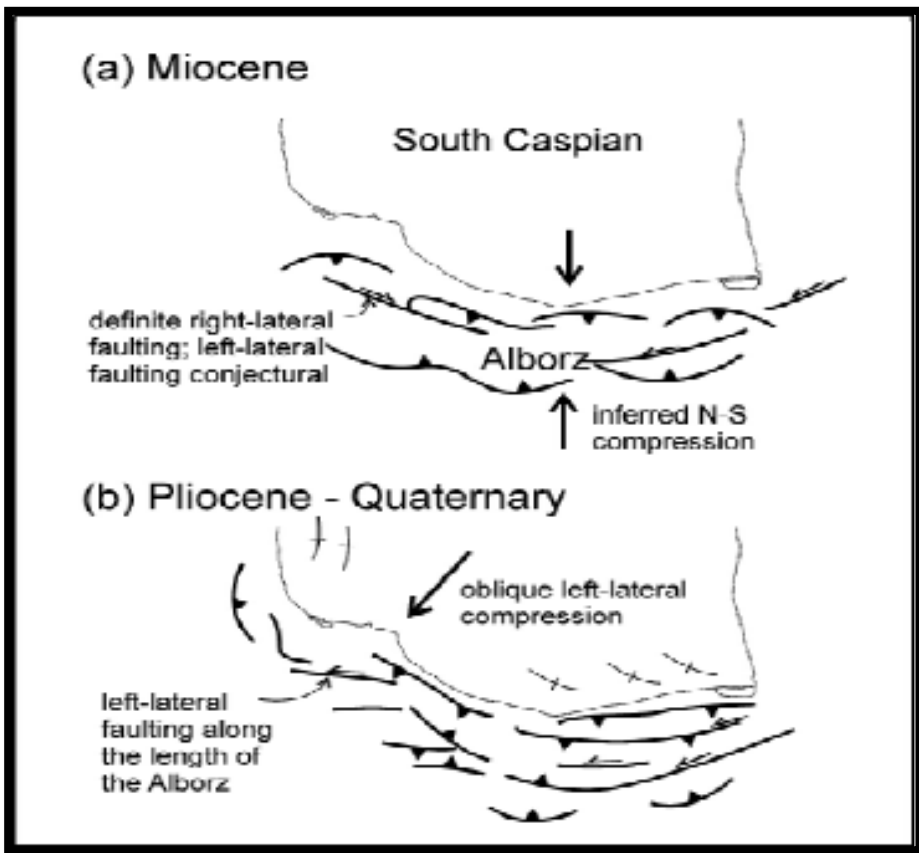
های آواری، مجموعه‌های همزمان با کوهزایی هستند که در نتیجه فعالیت نوار چین خورده – گسلیده البرز، پیوستن ورقه‌های جدید از پوشش رسوبی فورلند، بالآمدگی، و متعاقب آن تجدید حیات فرسایش، تشکیل شده‌اند (رحیمی، ۱۳۸۱).

آخرین فرایند زمین ساختی بزرگ در شمال ایران و جنوب دریای خزر که باعث تغییر شکل گسترده شده است، مربوط به آخرین برخورد فشردگی در میوسن میانی می‌باشد (بربریان و کینگ، ۱۹۸۱). خط ساحلی جنوب دریای خزر با سرعتی حدود ۵ میلی متر در سال به سمت شمال غرب نسبت ایران حرکت می‌کند و برشی‌های چپ‌گرد را در البرز حدود ۴ میلی‌متر در سال حساب شده است (ورنانت<sup>۱</sup>، ۲۰۰۴). همگرایی شمالی – جنوبی از ایران مرکزی با حالت حرکت از سوی جنوب غرب به سوی شمال شرق جنوب دریای خزر باعث بوجود آوردن تکتونیک ترافشارشی در منطقه البرز شده است. این تکتونیک ترافشارشی زمان شروعش بین ۳ تا ۷ میلیون سال می‌باشد (ریتز<sup>۲</sup>، ۲۰۰۶). این بالا آمدگی خمی که باعث بالا رفتن البرز و کوههای تالش در جنوب دریای خزر باعث افزایش ضخامت پوسته در اوخر سنوزوئیک شده است (آلن و همکاران، ۲۰۰۳).

آلن و همکاران (۲۰۰۳) تکامل پوسته در البرز در اوخر دوران سنوزوئیک را اینگونه بیان کرد که در میوسن تغییر شکل احتمالاً فشارشی و همراه با حرکت عموماً راستالغز بوده است. حرکت فشارشی بعد میوسن، که تا کنون نیز ادامه دارد، سبب جابجایی چپ‌لغز شده است. حرکت به سمت غرب پی سنك خزر جنوبی، نسبت به ایران مسیب این جابجایی چپ‌لغز می‌باشد (شکل ۳-۲).

<sup>۱</sup> Vernant

<sup>۲</sup> Ritz



شکل ۳-۲- تکامل ساختاری البرز در اوایل دوران سنوزوئیک، تغییر شکل در میوسن بیشتر به صورت فشارشی همراه با حرکات راستالغز و بعد از میوسن به سبب جابجایی به سمت باختر خزر جنوبی، حرکات به طور عمدۀ از نوع چپبر می‌باشد (برگرفته از آلن و همکاران، ۲۰۰۳).

## ۱-۲- چینه شناسی منطقه :

با توجه به نتایج مطالعات پیشین در این ناحیه مثل تهیه نقشه زمین شناسی ۱:۲۵۰۰۰ گرگان (صالحی راد و همکاران، ۱۳۶۹)، نقشه زمین شناسی ۱:۱۰۰۰۰۰ خوش بیلاق (جعفریان و همکاران، ۱۳۸۳)، پایان نامه‌های و مقالات مربوط به این منطقه و برداشت‌های صحراوی نگارنده در این منطقه رخنمون سازندهای دوران پالئوزوئیک، مزوژوئیک و سنوزوئیک مشاهده گردیده است.

سازندهای دوران پالئوزوئیک که در منطقه رخنمون و گسترش دارند از قدیم به جدید عبارتند از سلطان میدان، پادها، خوش بیلاق، مبارک، دورود و روتله، سازندهای دوران مزوژوئیک شامل الیکا، شمشک،

## فصل دوم : زمین شناسی عمومی

فارسیان، لار و آهک‌های کرتاسه بالایی هستند. واحدهای سنگی دوران سنوزوئیک بیشتر رسوبات و نهشته‌های آبرفتی به سن کواترنری می‌باشند.

### ۱-۲-۱- واحدهای سنگی پالئوزوئیک

#### ۱-۱- سازند سلطان میدان

این سازند اولین بار توسط ژنی<sup>۱</sup> (۱۹۷۷) معرفی و مشخص شده است. مقطع نمونه این سازند در ۳۰ کیلومتری شمال شاهروود قرار داشته و ضخامت آن ۶۰۰ متر می‌باشد. این سازند شامل روانه‌های بازالتی ضخیمی است. این روانه‌ها حالت ماسیو (توده‌ای) داشته و گهگاه به وسیله شیل‌ها و توفیت‌های قرمز تا سبز رنگ از هم جدا می‌شوند. سازند سلطان میدان به طور هم شیب روی شیل‌های سبز سازند شیرگشت قرار می‌گیرد و خود به وسیله ماسه سنگ‌های سازند پادها پوشیده می‌شود.

در منطقه خوش بیلاق در پایین و بالای این سازند، لایه‌هایی کنگلومرایی یافت می‌شود که ضخامت آن گاهی به ۲۰ متر هم می‌رسد. بر اساس سن ماسه سنگ‌های سازند پادها که به دونین زیرین تعلق دارند (بزرگ نیا، ۱۹۷۳) باید سن بازالت‌های سلطان میدان به سیلورین یا اردویسین فوقانی محدود باشد. سن مطلق سازند سلطان میدان با روش پتاسیم – آرگون بین ۱۷۳ تا ۵۰۱ میلیون سال به دست آمده است (ژنی، ۱۹۷۷).

این سازند در گردنۀ خوش بیلاق و در حد فاصل روستای خوش بیلاق تا تیل‌آباد گسترش زیادی داشته و گاهی در آن گدازه‌های بالشی نیز مشاهده می‌شود (درویش زاده، ۱۳۷۰). تنها سازند غیر رسوبی در محدوده مورد مطالعه است که در قسمت جنوب غربی در نزدیکی روستای خوش بیلاق در دو بخش رخنمون دارد (شکل ۲-۴).

<sup>۱</sup>Jenny



شکل ۲-۴- سازند سلطان میدان کنار امامزاده محمد آباد حدفاصل روستای خوش بیلاق- تیل آباد (دید به سمت جنوب باختری).

### ۲-۱-۲-۱- سازند پادها

مقطع تیپ سازند پادها در ناحیه ازبک کوه طبس به وسیله روتner و دیگران انتخاب و تعیین شده است (روتنر و دیگران<sup>۱</sup>، ۱۹۶۸ و اشتوكلین<sup>۲</sup>، ۱۹۷۲). این سازند در مقطع تیپ شامل ۵۰۰ متر ماسه سنگ، دولومیت و گچ تقریبا کم فسیل است که بدون دگرشیب بر روی سازند نیور قرار داشته و خود به همین ترتیب به وسیله سازند دولومیتی سیب زار پوشیده می شود (در ویش زاده، ۱۳۷۰).

اهری پور و همکاران<sup>۳</sup> (۲۰۱۰) این سازند را به سه بخش تقسیم کردند:

بخش ۱: با یک مرز ناپیوسته بر روی بازالت‌های سلطان میدان قرار گرفته است. این بخش در ناحیه خوش بیلاق، به طور عمده شامل ارتو تا پارا کنگلومراهای قرمز می باشد. قطعات آتشفسانی فراوان‌ترین اجزاء آن می باشد.

بخش ۲: متشکل از ماسه سنگ‌های کوارتز آرنایتی سفید رنگ می باشد. این بخش حاوی تناوبی از ماسه سنگ‌های کوارتز آرنایتی سفید، آركوزی و گری و کی با شیل‌های قرمز می باشد.

<sup>۱</sup> Rootner

<sup>۲</sup> Aharipour

## فصل دوم : زمین شناسی عمومی

بخش ۳: علاوه بر سنگ‌های سیلیکاته آواری، دارای میان لایه‌های کربناته نیز می‌باشد. قسمت کربناته

بخش ۳ شامل واحد‌های زیر می‌باشد:

۱ - کالکریت‌های فراوان با رنگ مایل به زرد و دولوکریت‌های حاوی ریشه‌های آهکی (ریزوولیت)

۲ - سنگ آهک‌های نازک لایه حاوی دوکفه‌ای واستراکودهای بسیار کوچک

۳ - سنگ آهک و دولومیت برشی شده

۴ - دولومیت با لامیناسیون خیلی ظریف

در بخش کربناته برخی ساختمان‌های رسوی از قبیل ترک‌های گلی و ساخت‌های تی‌پی (Tepee) نیز

وجود دارند. در ناحیه مورد مطالعه، سازند پادها با ناپیوستگی هم شیب توسط سنگ‌های آواری قرمز رنگ

سازند خوش بیلاق پوشیده می‌شود.

این سازند در قسمت‌های جنوب غرب منطقه در دو محل رخنمون یافته است. این سازند در محدوده مورد

مطالعه نسبت به سازندهای موجود در منطقه از رخنمون کمتری برخوردار است (شکل ۲-۵).



شکل ۲-۵- سازند پادها جنوب باختری روستای تیل‌آباد ( دید به سمت جنوب خاوری).

### ۱-۲-۳- سازند خوش بیلاق:

مقطع اصلی این سازند در کنار جاده آزادشهر به شهرکرد، در ۲ کیلومتری جنوب غربی دهکده خوش بیلاق قرار دارد. این مقطع اولین بار توسط ح. بزرگ نیا برداشت شد و به وسیله ف. بزرگ نیا (۱۹۷۳)، به تفصیل مورد بررسی قرار گرفت. علاوه بر نامبردگان، دولاضاران و اشتامپلی (۱۹۷۸) از نظر فسیل شناسی و چینه شناسی به مطالعه این سازند پرداخته‌اند. ضخامت این سازند بیشتر از ۱۳۰۰ متر است که به طور همшиб بر روی سازند پادها قرار دارد. ( درویش زاده، ۱۳۷۰).

به طور کلی رسوبات این سازند از قاعده به سمت راس مقطع شامل:

واحد ۱: کنگلومرا، سیلتستون توفی، ماسه سنگ و حاوی دیابازهای فرسوده است.

واحد ۲: تناب آهک سیلتی، ماسه سنگ و دولومیت

واحد ۳: آهک رسی، آهک بیوکلاستیک و شیل

واحد ۴: آهک رسی، ماسه سنگ کوارتزیتی قرمز قهوه‌ای

واحد ۵: آهک بیوکلاستیک و شیل

واحد ۶: شیل‌های کربناته و آهک‌های لایه ضخیم بیوکلاستیک

سازند خوش بیلاق با فسیلهای فراوان، برآکیوپدا، تریلوبیت، مرجان، تانتاکولیتس، ماهیهای دونین، ارتوسراتیده و غیره مشخص است که سن دونین میانی تا بالایی را تعیین می‌کند. این سازند روی سازند پادها و به طور همшиб قرار گرفته و روی آن را آهک‌های کرنیفر زیرین ( معادل آهک مبارک ) می‌پوشاند ( درویش زاده، ۱۳۸۳ ).

سازند خوش بیلاق در محدوده غرب روستای تیل‌آباد رخنون یافته است. از نظر وسعت بیشترین مساحت را نسبت به دیگر سازندها در این منطقه دارد سازند فوق الذکر در منطقه مورد مطالعه دارای مورفولوژی

## فصل دوم : زمین شناسی عمومی

نسبتاً پست می‌باشد و ارتفاعات متوسطی را تشکیل می‌دهد. لیتولوژی غالب این سازند در منطقه، آهک سرشار از برآکیوپود با میان لایه‌های مارن و آهک مارنی است (شکل ۲-۶).



شکل ۲-۶- سازند خوش ییلاق در حدفاصل روستاهای تیلآباد- غزنوی (دید به سمت جنوب باختری).

### ۱-۴-۱- سازند مبارک:

سازند مبارک را آهک مبارک هم می‌گویند. نام آن را از دهکده مبارک آباد سر راه تهران به آعلیٰ انتخاب شده است (آسرتو ۱۹۶۳). این سازند شامل ۴۵۰ متر آهک سیاه رنگ پر فسیل همراه با میان لایه‌هایی از مارن در زیر سازند جیروود قرار دارد و خود با A بخش زیرین است. سطح قاعده این سازند با دگرشیبی فرسایش بر ممبر سازند D,C,B دگر شیبی زاویه‌دار به وسیله سازند دورود (پرمین زیرین) پوشیده می‌شود. در ضمن ممبرهای سازند جیروود معادل همین سازند در البرز مرکزی است. با توجه به رخسارهای لیتولوژی یکنواختی که سازند مبارک در سرتاسر البرز دارد می‌توان چنین تصور کرد که این رسوبات در شرایط تکتونیکی یکنواختی ته نشین شده‌اند. مطالعات رسوب شناسی حاکی از آن است که این رسوبات در محیطی با آب ساکن و فقیر از اکسیژن ته نشین شده و میزان گوگرد در حوضه رسوبی بیش از حد لازم بوده است، و چون رسوبات تخریبی اندک دارد لذا در سرزمین‌های دور از ارتفاعات قابل توجه ته نشین شده است (درویش زاده، ۱۳۸۳).

## فصل دوم : زمین شناسی عمومی

سازند مبارک در منطقه مورد مطالعه عمدتاً از تناوب آهک‌های نازک تا ضخیم لایه با میان لایه شیل و آهک شیلی تیره رنگ تشکیل شده است. در این منطقه سازند مبارک به صورت همثیب بر روی سازند خوش‌بیلاق و با ناپیوستگی فرسایشی زیر سازند دورود قرار دارد و لایه‌های قرمز رنگ بوکسیت نشانگر ناپیوستگی مرز فوقانی سازند مذکور می‌باشد. ضخامت سازند مبارک در این منطقه ۲۸۲ متر می‌باشد. سازند مبارک به صورت سیکل‌های کم عمق شونده به طرف بالاست که در یک پلاتفرم کربناته نوع رمپ هموکلینال نهشته شده است (سعیدی و همکاران، ۱۳۹۱).

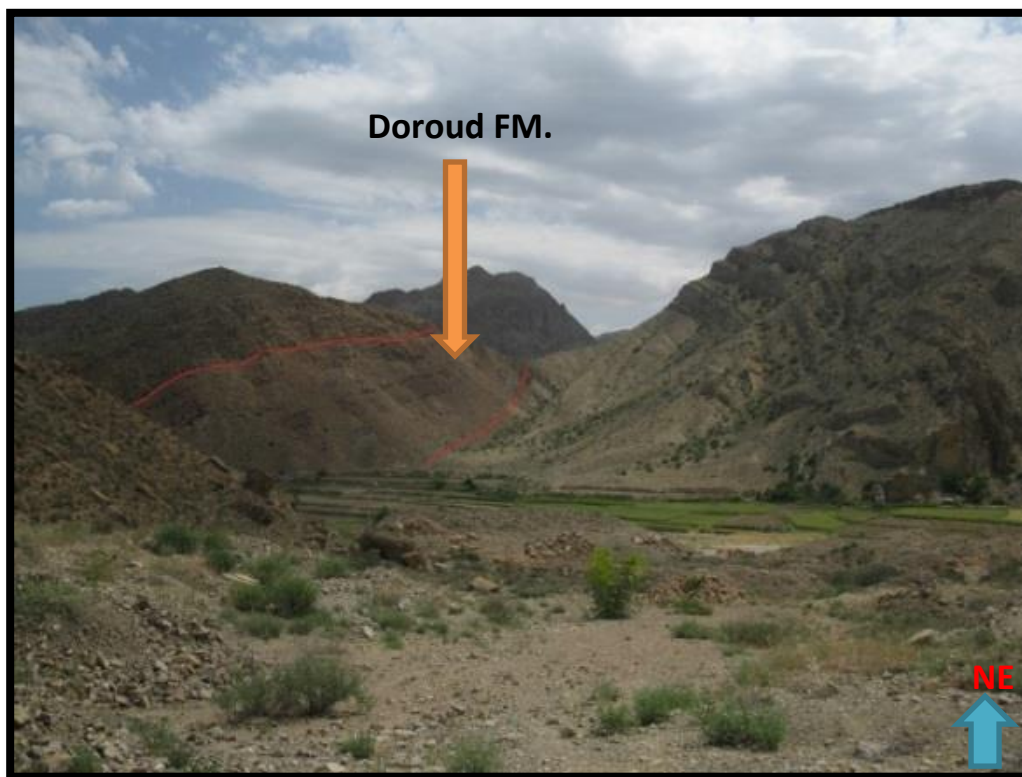
سازند مبارک در محدوده مورد مطالعه بیشتر در مرکز منطقه رخنمون دارد. از نظر وسعت مساحت بیشتری نسبت به دیگر سازندها دارد. سازند فوق الذکر دارای مورفولوژی نسبتاً مرتفعی را می‌سازد (شکل ۷-۲).



شکل ۷-۲- سازند مبارک در کنار روستای تیلآباد (دید به سمت شمال باختی).

### ۱-۲-۵- سازند دورود:

مقطع اصلی سازند دورود توسط آسرتو (۱۹۶۳) مشخص شده است. نام این سازند از روستای دورود (واقع در سردوراهی دورود به شمشک) انتخاب شده، ضخامت آن  $15^{\circ}$  متر و از چهار واحد تشکیل یافته است. سازند دورود در منطقه تیلآباد-غزنوی با رخساره آواری و کربناته مشخص می‌گردد. همبری زیرین آن در آن در این ناحیه با سنگ‌های آهکی نازک لایه همراه با میان لایه‌های شیلی مربوط به کربنیفر (سازند مبارک) به صورت ناپیوستگی فرسایشی مشخص می‌شود. ضخامت سازند دورود در این منطقه  $100$  متر تعیین شده است. سازند دورود در این منطقه با دو واحد سنگی مشخص می‌شود که واحد اول آن تخریبی بوده و تناوبی از کنگلومرا، ماسه سنگ و شیل‌های قرمز و خاکستری می‌باشد و واحد دوم سنگ‌های کربناته تخریبی می‌باشد (مختارپور و همکاران، ۱۳۷۶). این سازند به سن پرمین زیرین می‌باشد. این سازند در دو قسمت بین روستای تیلآباد و غزنوی رخنمون دارد (شکل ۸-۲).



شکل ۸-۲- سازند دورود در کنار جاده شاهرود - آزادشهر (دید به سمت شمال خاوری).

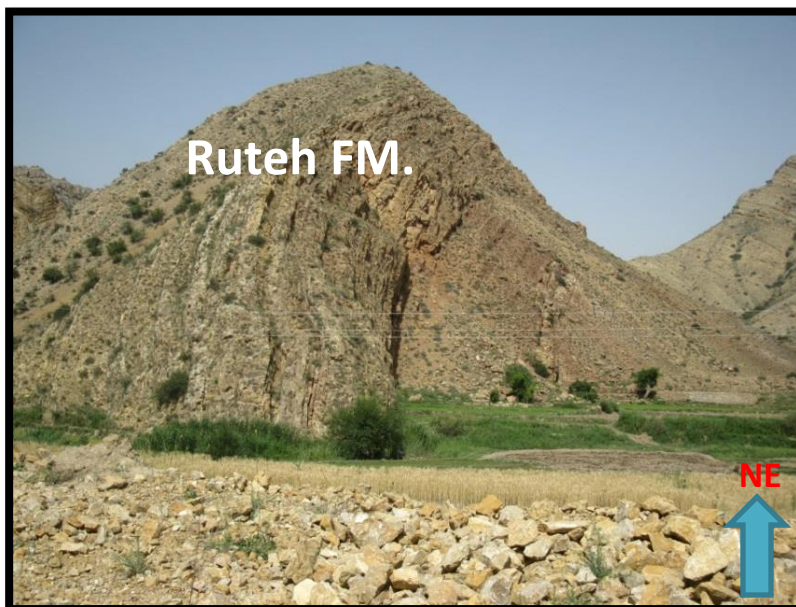
## فصل دوم : زمین شناسی عمومی

### ۱-۲-۶- سازند روته:

مقطع اصلی این سازند به وسیله آسرتو در دره روته (بالای جاجرود) مطالعه و معرفی شده است. بین سازند درود و روته در بعضی نقاط یک لایه هوازده لاتریتی و گاه بوکسیتی وجود دارد که خود نشانه یک دوره فرسایش و خروج از آب است. ضخامت این سازند بیش از ۲۰۰ متر گزارش شده و اساساً از آهک خاکستری تا تیره تشکیل شده که در آن تنابوی از لایه‌های نازک مارنی وجود دارد و در آهک‌های آن فسیل مرجان‌ها، بازوبایان، فوزولین و بریزوئر یافت می‌شود که سن پرمین میانی را محرز می‌سازد) درویش زاده، (۱۳۸۸).

سازند روته در این منطقه ۱۷۹ متر از آهک ضخیم تا نازک لایه خاکستری تا کرم رنگ با میان لایه‌های آهک مارنی تشکیل شده است. فسیل‌های یافت شده در این منطقه شامل براکیوپودا، گاستروپود، مرجان‌ها و جلبک‌های آهکی هستند (حسنی و همکاران، ۱۳۹۱).

رخنمون سازند روته را در این منطقه در دو مکان حدفاصل روستای تیلآباد و غزنوی مشاهده نمود (شکل ۹-۲).



شکل ۹-۲- سازند روته شمال خاوری روستای تیلآباد (دید به سمت شمال خاوری)

## فصل دوم: زمین‌شناسی عمومی

Paleozoic		Silurian		Devonian		Carboniferous		Permian		Lithology		Description	
												System	
												Formation	
Erathem		Soltan Meidan	Padeha	Khoshyeilagh	Mobark	Doroud	Ruteh	Lower	Middle	Lower	Middle	Seri	
													Medium to thick bedded light limestone
													Red and brown conglomerate – sandstone – shale and oncoidal limestone
													Thin to medium bedded bituminous Limestone and shaly limestone
													Conglomerate – Sandestone – Shale and limestone
													Sandestone and limestone with conglomerate at the base
													Porphyritic basalt and tuff

شکل ۲-۱۰- ستون چینه شناسی مربوط به سازندهای دوران پالئوزوئیک (بدون مقیاس)

### ۱-۲-۲-۲- واحدهای سنگی مزوژوئیک

#### ۱-۲-۲-۱- سازند الیکا :

نام آن از دهکده الیکا واقع در بالای دره چالوس گرفته شده است ( گلوس<sup>۱</sup> ، ۱۹۶۵). سازند الیکا در ناحیه غزنوی با یک افق ضخیم لاتریتی روی سازند روته قرار گرفته است. مرز بالایی این سازند با سازند شمشک نیز ناپیوستگی مشخص می شود. ضخامت سازند الیکا در ناحیه غزنوی ۳۲۲ متر است و مشابه مقطع تیپ ۱۲۳ از دو بخش زیرین و بالایی تشکیل شده است. بخش زیرین سازند الیکا (تریاس پیشین) به ضخامت ۱۲۳ متر که به طور عمدۀ در برگیرنده تنابوی از شیل، سنگ آهک‌های نازک تا متوسط لایه دارای آثار زیستی فراوان (سنگ آهک ورمیکوله) با رنگ‌های متنوع است. لایه‌های کنگلومرای درون سازندی (به طور عمدۀ وابسته به نهشتۀ‌های طوفانی) از ویژگی‌های بارز این بخش به شمار می‌رود. بخش بالایی سازند الیکا (به سن تریاس میانی) نیز به ضخامت ۱۹۹ متر است و با یک افق ضخیم ماسه سنگی از بخش زیرین خود تفکیک می‌شود. این بخش شامل تنابوی از شیل، سنگ آهک دولومیتی و دولومیت متوسط تا ضخیم لایه است (در خشان و همکاران، ۱۳۹۱ و لاسمی و همکاران، ۱۳۷۹).

این سازند در نزدیکی روستای غزنوی و جنوب روستای تیلآباد رخمنون دارد. یکی از سازندهای صخره ساز در منطقه بخارط جنس آهک آن می‌باشد (شکل ۱۱-۲).

<sup>۱</sup> Glaus



شکل ۱۱-۲ - سازند الیکا در جنوب خاوری روستای غزنوی (دید به سمت شمال خاوری).

### ۱-۲-۲-۲-۱ - سازند شمشک :

مقطع نمونه این سازند در شمال گردنه لاسم در دره علیای روته، بخش شرقی منطقه معدنی شمشک انتخاب شده است (آسرتو، ۱۹۹۶؛ اشتوكلين، ۱۹۷۲). اين سازند يكى از گسترده‌ترین رسوباتی است که در ايران ته نشين شده است و قسمت اعظم آن از رس - ماسه‌اي تشکيل شده است، لذا بر جستگى های کم ارتفاعی به وجود می‌آورند و در روی زمین به آسانی قابل تشخيص است. اين سازند از نظر اقتصادي برای کشور ما پر اهمیت است زیرا که تقریبا تمام زغال سنگ‌های کشور ما در این سازند ذخیره یافته اند. اين سازند شامل مجموعه‌ای از ماسه سنگ، سیلیستون و شیل است و آن را می‌توان به عنوان مولاس سلسله کوههای سیمرین پیشین دانست که بین پلاتفرم توران و ایران - افغانستان به وجود آمده است. اشتامفلی (۱۹۷۸) سازند شمشک را حدفاصل شاهروود تا آزادشهر از نظر مشخصات سنگ شناسی مطالعه نموده و آن را به سه بخش زیرین، میانی و بالایی تقسیم کرده است و اظهار می‌دارد که این سازند با یک

## فصل دوم : زمین شناسی عمومی

افق بوکسیتی بر روی سازند الیکا قرار گرفته و توسط آهک‌های کربناتیدار سازند فارسیان (معادل دلیچای) پوشیده می‌شود. سازند شمشک در منطقه‌ی مورد بررسی اطراف روستای غزنوی دارای گسترش زیادی است. ضخامت آن بیش از ۲۰۰۰ متر است، که از ماسه سنگ، شیل به رنگ خاکستری تیره و سیاه، کنگلومرا همراه با افق‌های زغال‌سنگی تشکیل شده است. سازند شمشک در ناحیه مورد مطالعه از پایین به بالا به سه بخش زیر قابل تقسیم است (میرباقری و همکاران، ۱۳۸۶).

بخش زیرین: دارای ضخامت ۶۰ متر می‌باشد، که تناوبی از ماسه سنگ، سیلتستون و شیل به رنگ خاکستری تشکیل شده است.

بخش میانی: از شیل خاکستری تیره تا سیاه، سیلتستون و ماسه سنگ تشکیل شده است. این بخش دارای آثاری از فسیلهای گیاهی، کنکرسیون‌های آهنی و سیلیسی است. این بخش ۱۱۶۰ متر ضخامت دارد.

بخش بالایی: این بخش حدوداً ۷۰۰ متر ضخامت دارد. از ماسه سنگ، شیل، کنگلومرا و زغال سنگ تشکیل شده است (شکل ۱۲-۲).



شکل ۱۲-۲ - سازند شمشک شمال روستای غزنوی (دید به سمت شمال خاوری).

### ۱-۲-۲-۳- سازند فارسیان :

این سازند را اشتامفلی (۱۹۷۸) در سه کیلومتری شمال باختری روستای فارسیان معرفی کرده است. سازند فارسیان در این ناحیه و در حد فاصل خوشیلاق و آزادشهر گسترش دارد و شامل لایه‌های آهکی و مارنی قرمز می‌باشد. اشتامفلی این لایه‌های قرمز رنگ را گذر تدریجی بین نهشته‌های گروه شمشک و سازند لار می‌داند، به دلیل داشتن رنگ گراینده به قرمز، داشتن واریزه‌هایی از سخت پوستان و کرینوئیدها و نیز داشتن لایه‌بندی متغیر، به آسانی از سنگ آهکهای سازند لار قابل جدایش است (آقانباتی، ۱۳۷۷). لیتوژوژی این سازند در شمال باختری غزنوی دارای ۴ بخش است، که به ترتیب از پایین به بالا ماسه سنگ آهکی، مارن، ماسه سنک آهکی و آهک قرمز رنگ نازک لایه است (شکل ۱۳-۲).



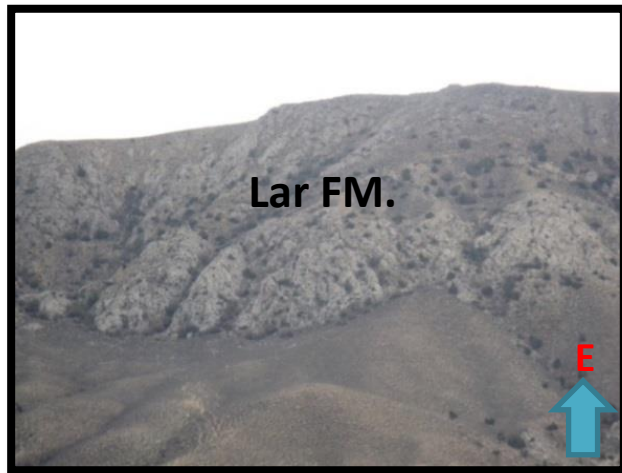
شکل ۱۳-۲ - سازند فارسیان شمال روستای غزنوی (دید به سمت شمال باختری).

### ۱-۲-۴- سازند لار :

مقطع تیپ این سازند در دره لار (شمال شرقی گربادر) قرارا دارد و ضخامت آن ۳۵۰ تا ۲۵۰ متر و از آهکهای ضخیم لایه تا توده ای حاوی چرت یا نوارهای سیلیسی است. فسیل آمونیت پرسیفتکس سن این آهکها را ژوراسیک بالایی (آکسفوردین - کیمریجین) تعیین می‌کند و آهکهای لار روی سازند دلیچای و زیر ژیپس و ملافیر ها یا آهکهای کرتاسه زیرین قرار می‌گیرند (درویش زاده، ۱۳۸۳).

## فصل دوم : زمین شناسی عمومی

این سازند بنا به جنس خود که آهک می‌باشد باعث بوجود آوردن ارتفاعات در این منطقه شده است. میانگین ارتفاعات بوجود آورنده این سازند ۱۷۰۰ متر می‌باشد که در قسمت جنوب شرق ناحیه مورد مطالعه قرار گرفته است (شکل ۱۴-۲).



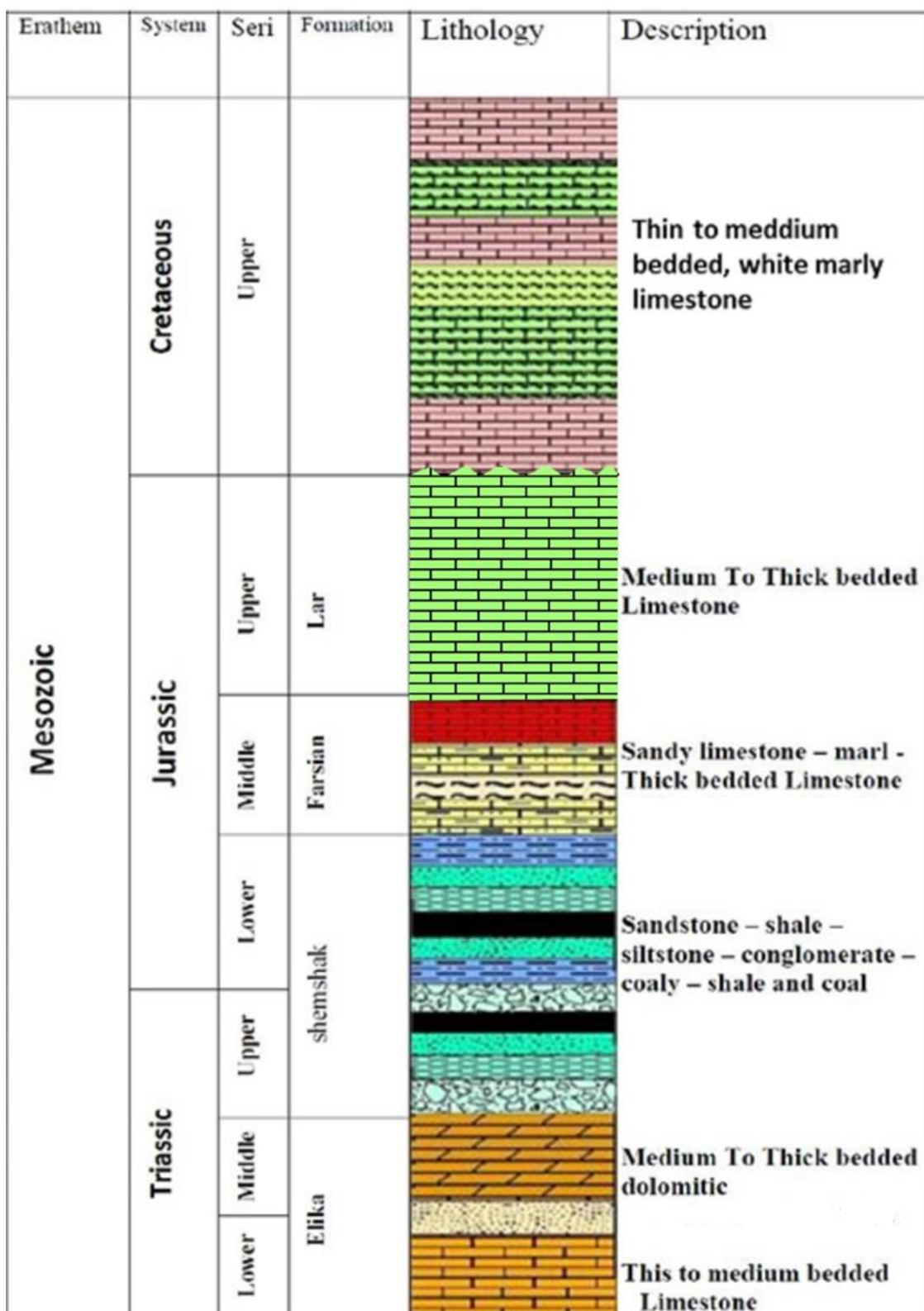
شکل ۱۴-۲ - سازند لار جنوب روستای تیلآباد (دید به سمت شرق).

### ۱-۲-۲-۵- آهک‌های کرتاسه بالایی:

این واحد در مجموع از آهک‌های سفید رنگ نازک تا متوسط لایه تشکیل شده و بطور معمول ارتفاعات بلند را در قسمت جنوب خاوری منطقه مورد مطالعه می‌سازد (شکل ۱۵-۲). (نقشه زمین شناسی ۱:۱۰۰۰۰ خوش بیلاق، ۱۳۸۳).



شکل ۱۵-۲ - واحد آهک‌های کرتاسه بالایی شرق روستای تیلآباد (دید به سمت شرق).



شکل ۲-۱۶- ستون چینه شناسی مربوط به سازندهای دوران مزوزوئیک (بدون مقیاس)

### ۱-۲-۳-۳- واحدهای سنگی سنوزوئیک

#### ۱-۲-۳-۱- نهشته‌های پلیوسن:

نهشته‌های پلیوسن با جنس کنگلومرا با بین لایه‌های ماسه سنگی می‌باشد. که در شمال روستای غزنوی بر روی سازند فارسیان قرار گرفته است (شکل ۲-۱).



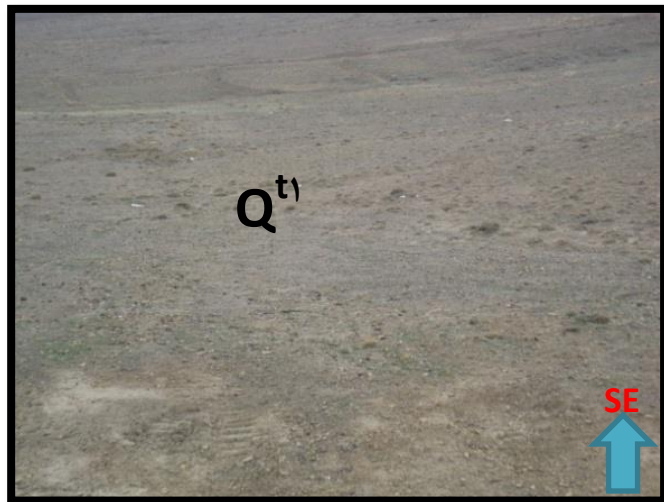
شکل ۲-۱- نهشته‌های پلیوسن در شمال روستای غزنوی (دید به سمت شمال خاوری).

#### ۱-۲-۳-۲- رسوبات کواترنری:

جوانترین رسوبات موجود در منطقه مورد مطالعه، نهشته‌های کواترنری می‌باشند که بصورت رسوبات سخت نشده و یا با فشردگی اندک می‌باشند. در بین نهشته‌های کواترنری، نهشته‌های آبرفتی بیشترین سهم را دارند. اینها مواد فرسایشی هستند که از دامنه ارتفاعات تا نواحی پست دشت‌ها گسترده‌اند و با دور شدن از ارتفاعات، درشتی دانه‌ها کاهش می‌یابد (آقانباتی، ۱۳۸۹).

۳-۲-۳-۳- نهشته های آبرفتی کهن ( $Q^{t1}$ ):

پادگان های آبرفتی کنگلومرا بی نسبتاً مسطح، قدیمی تر و بلندتر با عنوان  $Q^{t1}$  که در قسمت جنوبی منطقه مورد مطالعه قرار دارد، که در بعضی افق ها، کنگلومرا مذکور دارای سیمانی سست می باشد (شکل ۲-۲).



شکل ۲-۱۸- نهشته های آبرفتی کهن ( $Q^{t1}$ ) در شمال خاوری پاسگاه حفاظت محیط زیست زردابه (دید به سمت جنوب خاوری)

۴-۳-۲-۱- نهشته های آبرفتی جوان ( $Q^{t2}$ ):

رسوبات آبرفتی جوان بیشتر زمین های کشاورزی را تشکیل می دهند و معمولاً دانه ریزتر از نهشته های آبرفتی کهن می باشند و تقریباً فاقد سیمان می باشند. و بیشتر در مرکز و شرق محدوده مورد مطالعه اطراف روستای تیلآباد رخنمون دارد (شکل ۲-۱۹-الف).

۵-۳-۲-۱- رسوبات آبرفتی رودخانه ای ( $Q^{al}$ ):

رسوبات آبرفتی بستر رودخانه ها در حقیقت جوانترین رسوبات آبرفتی است که بصورت  $Q^{al}$  در نقشه آورده شده است (شکل ۲-۱۹-ب).

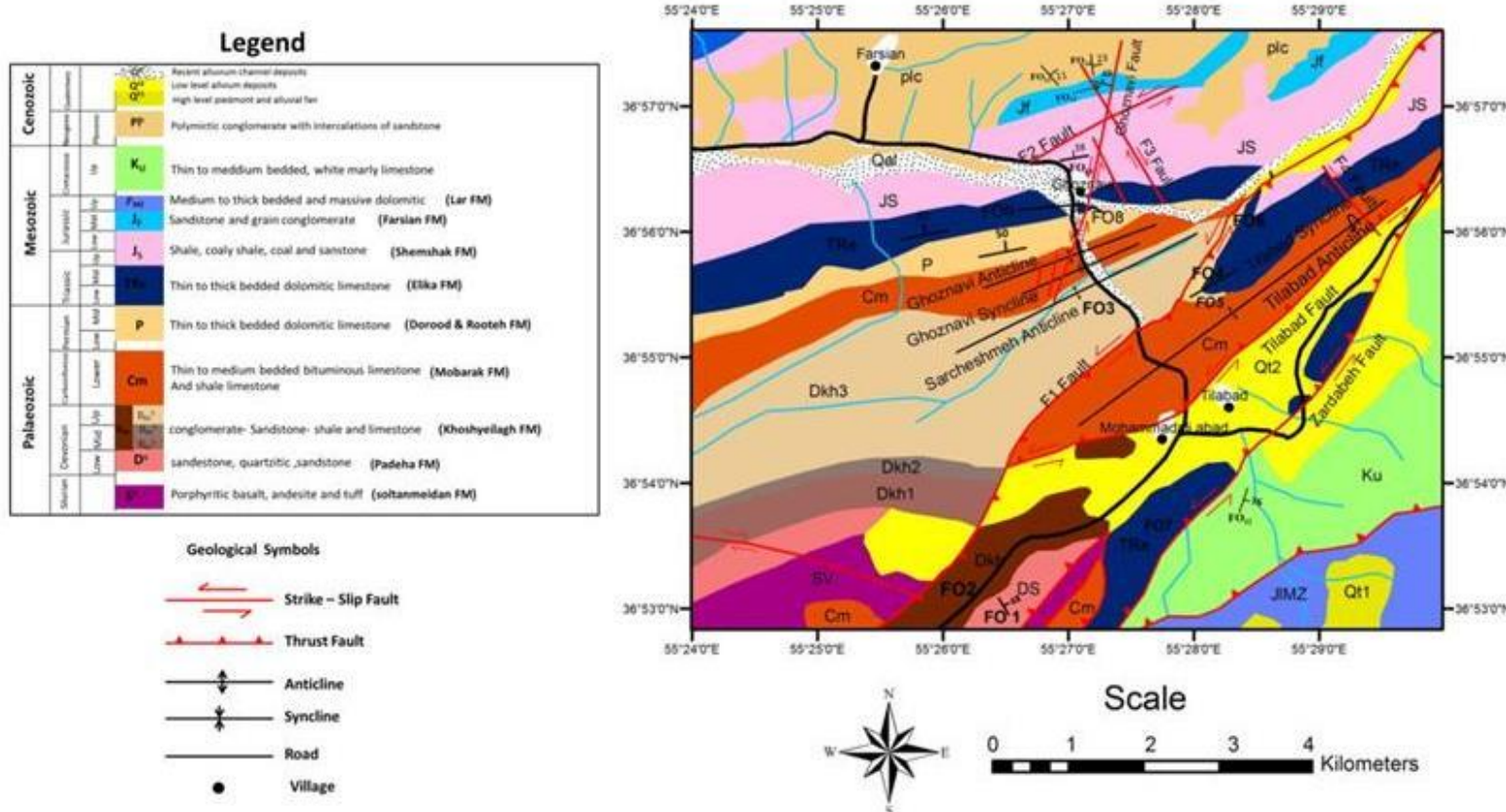


شکل ۲-۱۹-الف - رسوبات آبرفتی رودخانه‌ای ( $Q^{t2}$ ) در جنوب روستای تیلآباد (دید به سمت جنوب خاوری). ب- رسوبات آبرفتی رودخانه‌ای ( $Q^{al}$ ) در شمال روستای تیلآباد (دید به سمت شمال خاوری).

Erathem	System	Sen	Lithology	Description
Cenozoic	Quaternary		Yellowish-green textured area	Recent alluvial channel deposits
	Neogene	Pliocene	Dark brown textured area	Polymictic Conglomerate With Intercalation of Sandstone

• شکل ۲-۲۰-ستون چینه شناسی مربوط به سازندهای دوران سنوزوئیک (بدون مقیاس)

## Geological map of Tilabad – Ghoznavi (Eastern Alborz)



شكل ۲-۲- نقشه زمین شناسی تهیه شده از منطقه مطالعه بر پایه نقشه زمین شناسی ورقه خوش بیلاق با مقیاس ۱:۱۰۰۰۰ (باشام، ۱۳۹۳)



## فصل سوم

زمین شناسی ساختمانی

تحلیل عناصر ساختاری موجود در یک ناحیه (گسلش، چین خوردگی و ...) ابزار توانمندی برای دستیابی به الگوی دگرگشکلی در آن منطقه می‌باشد. واحدهایی سنگی – رسوبی که در منطقه تحت تاثیر چین خوردگی و گسلش قرار گرفته‌اند، متعلق به دوران‌های پالئوزوئیک، میزوزوئیک و سنتروزوئیک می‌باشند. چین خوردگی‌ها و گسلش‌های رخ داده در منطقه همانند البرز خاوری، بیشتر دارای روند شمال‌خاوری – جنوب باختری می‌باشند. همچنین گسل‌های عرضی در منطقه قابل شناسایی می‌باشند، که تقریباً دارای روند شمالی – جنوبی و شمال باختری – جنوب خاوری هستند، که در نقشه‌های موجود چندان به آن توجه نکرده‌اند و تنها به صورت یک خطواره نشان داده‌اند.

### ۱-۱- گسل‌ها

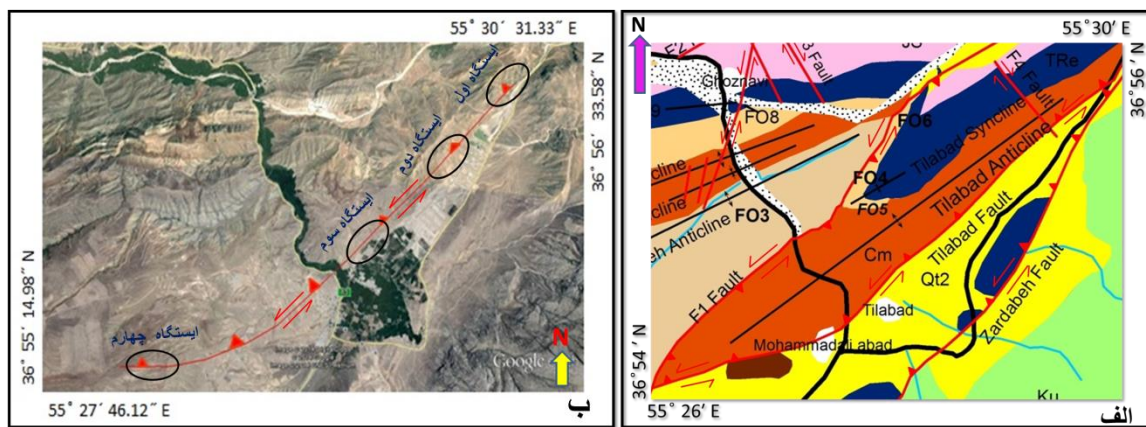
گسل، به شکستگی‌هایی اطلاق می‌شود که سنگ‌های دو طرف صفحه شکستگی نسبت به یکدیگر حرکت کرده باشند. این جابه‌جایی می‌تواند از چند میلی‌متر تا صدها متر باشد و به کمک همین مشخصه، می‌توان آنها را از درزهای تشخیص داد. در واقع حضور گسل در یک منطقه نشان می‌دهد که در یک زمان گذشته، در طول آن جابه‌جایی رخ داده است. گسل‌های اصلی منطقه هم راستا با ساختارهای البرز خاوری (شمال خاوری – جنوب باختری) می‌باشند، که به این نوع گسل‌ها، گسل طولی و به گسل‌های که با روند تقریباً شمالی – جنوبی و شمال باختری – جنوب خاوری که ساختارهای زمین شناسی را به صورت عرضی قطع کرده‌اند و نسبت به گسل‌های طولی از نظر اندازه کوچک بوده، به عنوان گسل‌های عرضی نام نهاده شده است. گسل‌های تیلآباد، زردابه، غزنوی و ... از گسل‌های شاخص منطقه مورد مطالعه می‌باشند. نامگذاری گسل‌ها به طور عمده برگرفته از نقشه زمین شناسی خوش‌بیلاق با مقیاس ۱:۱۰۰۰۰ (جعفریان و همکاران، ۱۳۸۳) می‌باشد. لازم به ذکر است که گسل‌های عرضی برای اولین بار در این پژوهش مورد مطالعه و نامگذاری قرار گرفته است.

### ۱-۱-۱- گسل تیلآباد

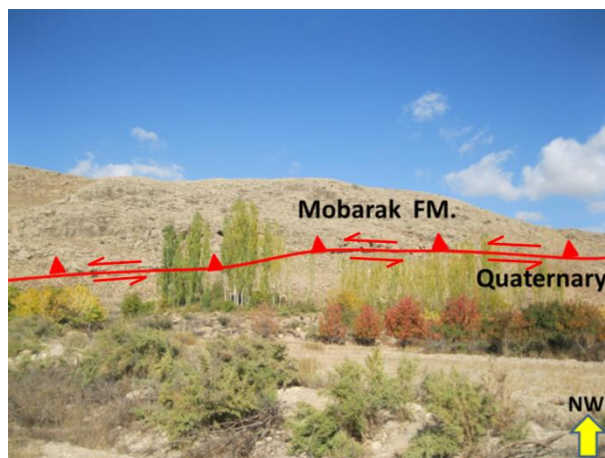
این گسل در شمال روستای تیلآباد قرار دارد. این گسل اولین بار توسط علوی و همکاران (۱۳۶۹) در نقشه زمین شناسی گرگان با مقیاس ۱:۲۵۰۰۰۰ به صورت یک خطواره نشان داده شده است. جعفریان و همکاران (۱۳۸۳) در نقشه زمین شناسی خوش ییلاق با مقیاس ۱:۱۰۰۰۰۰ این گسل را با توجه به همجاوار بودن با روستای تیلآباد، نام گسل را تیلآباد نامیده‌اند. این گسل تقریباً به طول ۷ کیلومتر می‌باشد، که بیشتر مرز بین آهک‌های مبارک (کربنیفر زیرین) و رسوبات کواترنری و در قسمتی از جنوب باختری روستای تیلآباد، نیز مرز بین سازندهای مبارک و خوش ییلاق را تشکیل می‌دهد (شکل ۳-۱).  
الف). این گسل یکی از گسل‌های اصلی منطقه و دارای امتدادی تقریباً شمال خاوری – جنوب باختری و شبیب به سمت شمال باختری می‌باشد، با توجه به قرار گرفتن روستای محمد علی‌آباد بر روی زون گسلی دارای اهمیت خاصی می‌باشد. با استفاده از شواهد چینه‌نگاری یعنی رانده شده سازند مبارک (کربنیفر زیرین) بر روی نهشته‌های کواترنری می‌توان به سازوکار مولفه شبیل‌لغزی گسل که معکوس می‌باشد، پی برد. خطواره این گسل در تصویر ماهواره‌ای (شکل ۳-۱- ب) به خوبی قابل مشاهده است.

### هندسه و سازوکار گسل تیلآباد

این گسل در محدوده مطالعاتی در ۴ ایستگاه برداشت و مورد مطالعه قرار گرفته است. در همه ایستگاه‌ها فرادیواره گسل، سازند مبارک (کربنیفر زیرین) و فرودیواره رسوبات کواترنری می‌باشد. موقعیت گسل تیلآباد و ایستگاه‌های برداشت صحرایی بر روی تصویر ماهواره‌ای (برگرفته از Google earth) قابل مشاهده می‌باشد(شکل ۳-۱- ب). در شکل ۳-۲ تصویر صحرایی رانده شدن سازند مبارک بر روی رسوبات کواترنری را مشاهده نمود.



شکل ۳-۱-الف-بخشی از نقشه زمین شناسی منطقه مورد مطالعه که گسل تیل آباد بر روی آن مشخص شده است (تهییه شده بر پایه نقشه زمین شناسی چهار گوش خوش بیلاق با مقیاس ۱:۱۰۰۰۰۰ با اضافات و تغییرات). ب- موقعیت ایستگاه‌های برداشت داده از گسل تیل آباد بر روی تصویر ماهواره‌ای لندست بر گرفته از (Google earth).



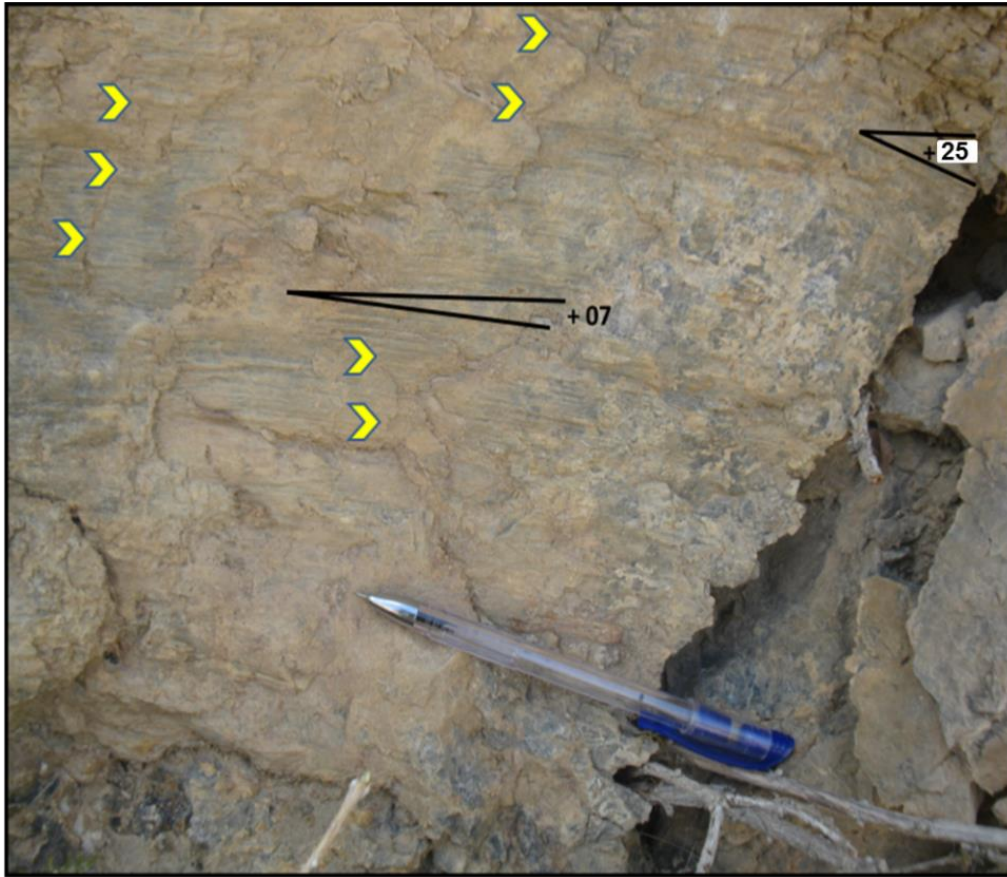
شکل ۲-۳- تصویر صحراوی رانده شدن سازند مبارک (کربنیفر زیرین) بر روی رسوبات کواترنری دید به سمت شمال باختری

ایستگاه اول:

موقعیت جغرافیایی این ایستگاه  $15^{\circ}10' 55''$  شمالي و  $56^{\circ}29' 51.0''$  خاوری می‌باشد. در اين ایستگاه رخنمونی از سطح گسل تیل آباد با موقعیت میانگین  $68^{\circ}N\ 40^{\circ}E$  برداشت گردیده است (شکل ۳-۳). در این ایستگاه می‌توان دو دسته خراش گسلی که به ترتیب ریک ۲۵ درجه ساعتگرد و ۷۰ درجه ساعتگرد را مشاهده نمود. در شکل ۳-۳ سطح گسل تیل آباد با روند شمال خاوری - جنوب باختری و شیب به سمت شمال باختری را نشان می‌دهد، پله‌های گسلی و دو نسل خراش گسلی با زاویه ریک ۲۵

## فصل سوم : زمین شناسی ساختمانی

و ۷۰ درجه بر روی آن مشخص شده است آخرین فاز حرکتی مربوط به این گسل به صورت مورب-لغز چپ بر با کمی مولفه شبکه معکوس می‌باشد.

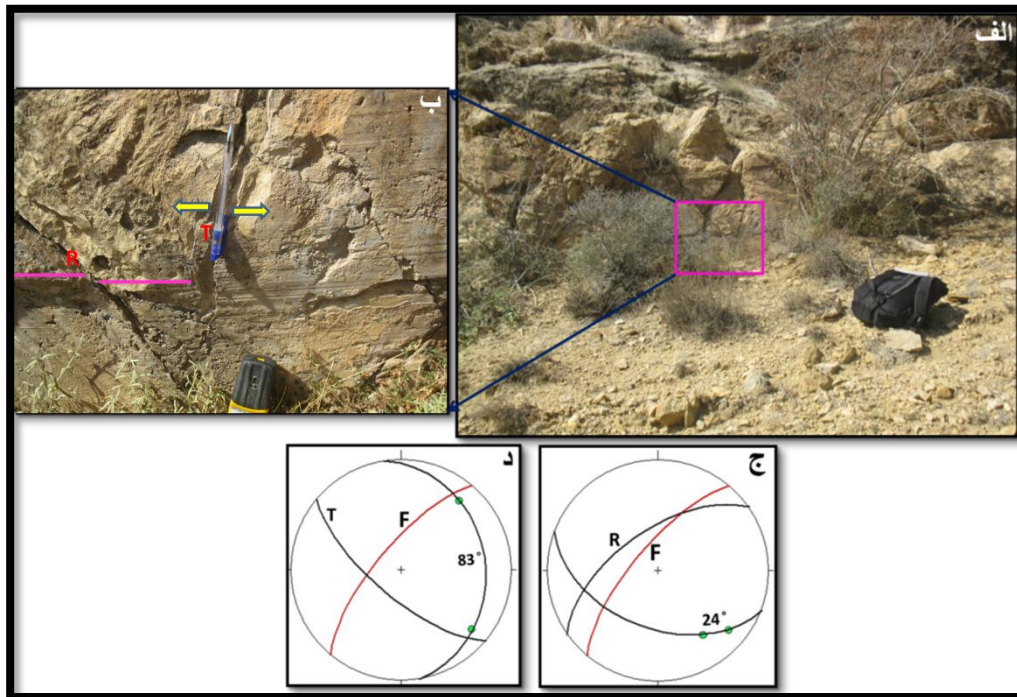


شکل ۳-۳- نمای نزدیک از سطح گسل تیلآباد در ایستگاه اول، وجود دو دسته خشن لغز و پلهای گسل با جهت نشان داده شده است

ایستگاه دوم:

در موقعیت جغرافیایی "۴۶.۸° E, ۵۵' N" ۳۶° شمالی و "۰۷.۸° E, ۵۵' N" خاوری می‌باشد، در این ایستگاه رخنمونی از سطح گسل با موقعیت NW, ۷۲° E برداشت شده است (شکل ۳-۴-الف). با توجه به خراش‌های گسلی افقی نشان دهنده سازوکار امتداد لغز برای این ایستگاه می‌باشد، وجود برشی‌های ریدل مولفه راستالغزی چپ بر را تایید می‌نماید. برشی R با موقعیت NW, ۶۰° E با سطح گسل زاویه ۲۴ درجه می‌سازد. وجود شکستگی‌های T با موقعیت SW, ۷۰° W که به صورت بازشدگی عمود بر

خراش‌های افقی در سطح گسل ایجاد شده‌اند و با سطح گسل زاویه ۸۳ درجه‌ای می‌سازد، نوک گوهای که شکستگی T با سطح گسل می‌سازد در جهت خلاف حرکت بلوک گم شده می‌باشد. در نتیجه سازوکار گسل بصورت چپبر می‌باشد.



شکل ۴-۳- نمایی از گسل تیل آباد در ایستگاه دوم الف- نمایی از سطح گسل با موقعیت N $40^{\circ}$ E, ۷۲NW (دید به سمت شمال باختری)، ب- نمایی نزدیک از کادر بنفش رنگ در تصویر الف برای نشان دادن شکستگی‌های R، T (برداشت بر روی بلوک فراديواره)، ج و د - برای نشان دادن استریوگرام و زاویه بین شکستگی‌های ریدل با سطح گسل.

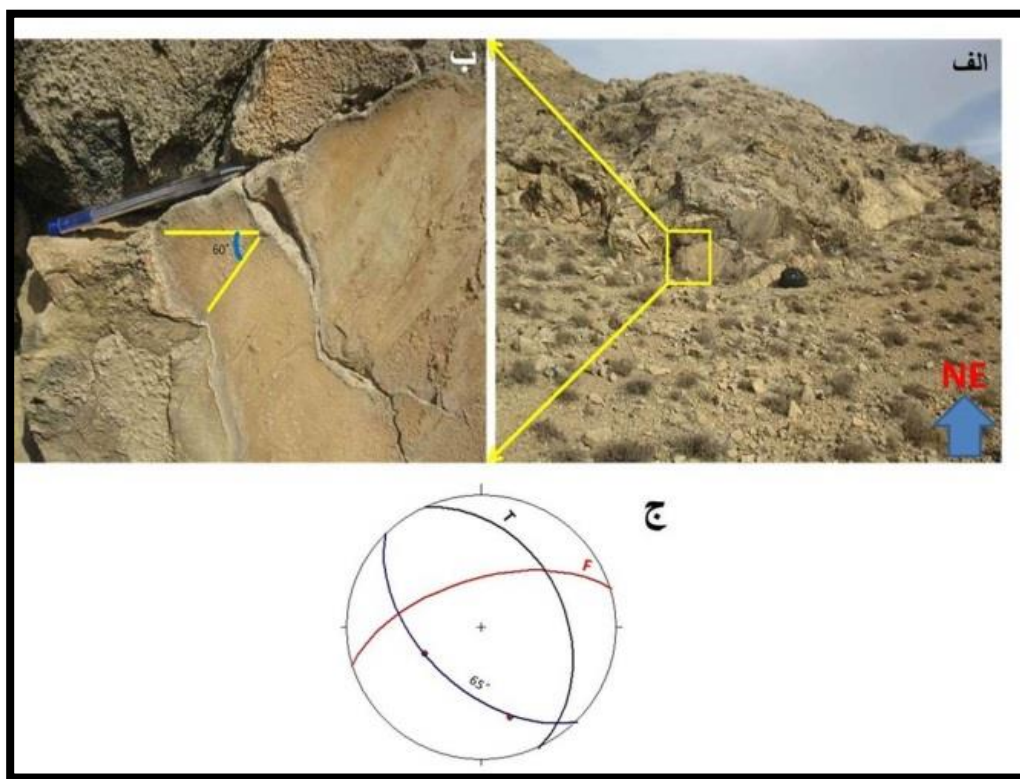
### ایستگاه سوم:

در موقعیت جغرافیایی "۱۷° ۰' ۵۵° ۳۶' شمالی و "۱۸° ۰' ۵۵° ۲۸' خاوری می‌باشد، در این ایستگاه رخنمونی از سطح گسل تیل آباد با موقعیت میانگین NW $60^{\circ}$ E, ۶۵NW برداشت گردیده است ( شکل ۳-۵).

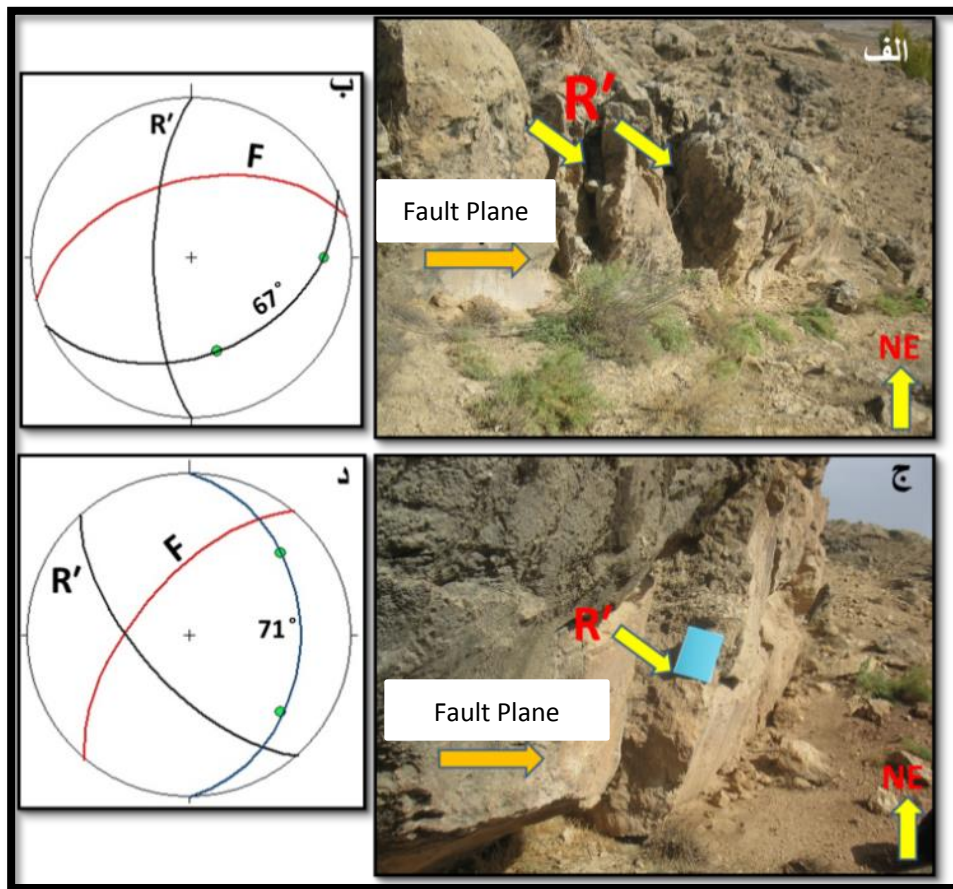
الف). در این ایستگاه تعیین سازوکار شبکه لغز گسل بوسیله چینه نگاری، با توجه به قرار گیری سازند مبارک بر روی نهشته های کواترنری معکوس تشخیص داده شده است. حضور برشی‌های ریدل نیز مولفه امتدادی این گسل را چپبر نمایان می‌کند. وجود شکستگی‌های T با موقعیت NE $40^{\circ}$ , ۴۵W که از آن

### فصل سوم : زمین شناسی ساختمانی

در سطح گسل به صورت عمود بر خراش‌های گسلی می‌باشد و با سطح گسل زاویه ۶۵ درجه می‌سازد. در شکستگی‌های کششی جهت حرکت بلوک گم شده در جهت شیب شکستگی T می‌باشد، که با توجه به این قاعده و شکستگی هلالی موجود در شکل که نوک گوه خلاف جهت حرکت بلوک کم شده را نشان می‌دهد، مولفه امتدادی این گسل چپبر می‌باشد. علاوه بر این وجود برشی‌های R' که در سطح گسل بصورت مانعی در مقابل حرکت بلوک گم شده می‌باشند و حرکت بلوک گم شده را سخت‌تر می‌کنند در این ایستگاه در دو قسمت مشاهده و برداشت شده است که به ترتیب دارای موقعیت‌های N<sub>۷۱</sub>E, W<sub>۷۱</sub> و N<sub>۶۵</sub>W, W<sub>۶۴</sub> و با سطح گسل نیز زاویه‌ای به ترتیب ۶۷ و ۷۱ درجه می‌سازد. شکستگی‌های R' مولفه امتدادی گسل را چپبر نشان می‌دهد (شکل ۳-۶).



شکل ۳-۵-الف - تصویر صحرایی از گسل تیل آباد در ایستگاه سوم در شمال روستای تیل آباد با موقعیت N<sub>۶۰</sub>E, W<sub>۶۵</sub>NW (دید به سمت شمال خاوری)، ب - نمای نزدیک از کادر زرد رنگ که در قسمت الف برای نشان دادن شکستگی T، خش-لغز و شکستگی هلالی، ج - استریوگرام نشان دهنده زاویه بین سطح گسل و شکستگی T.



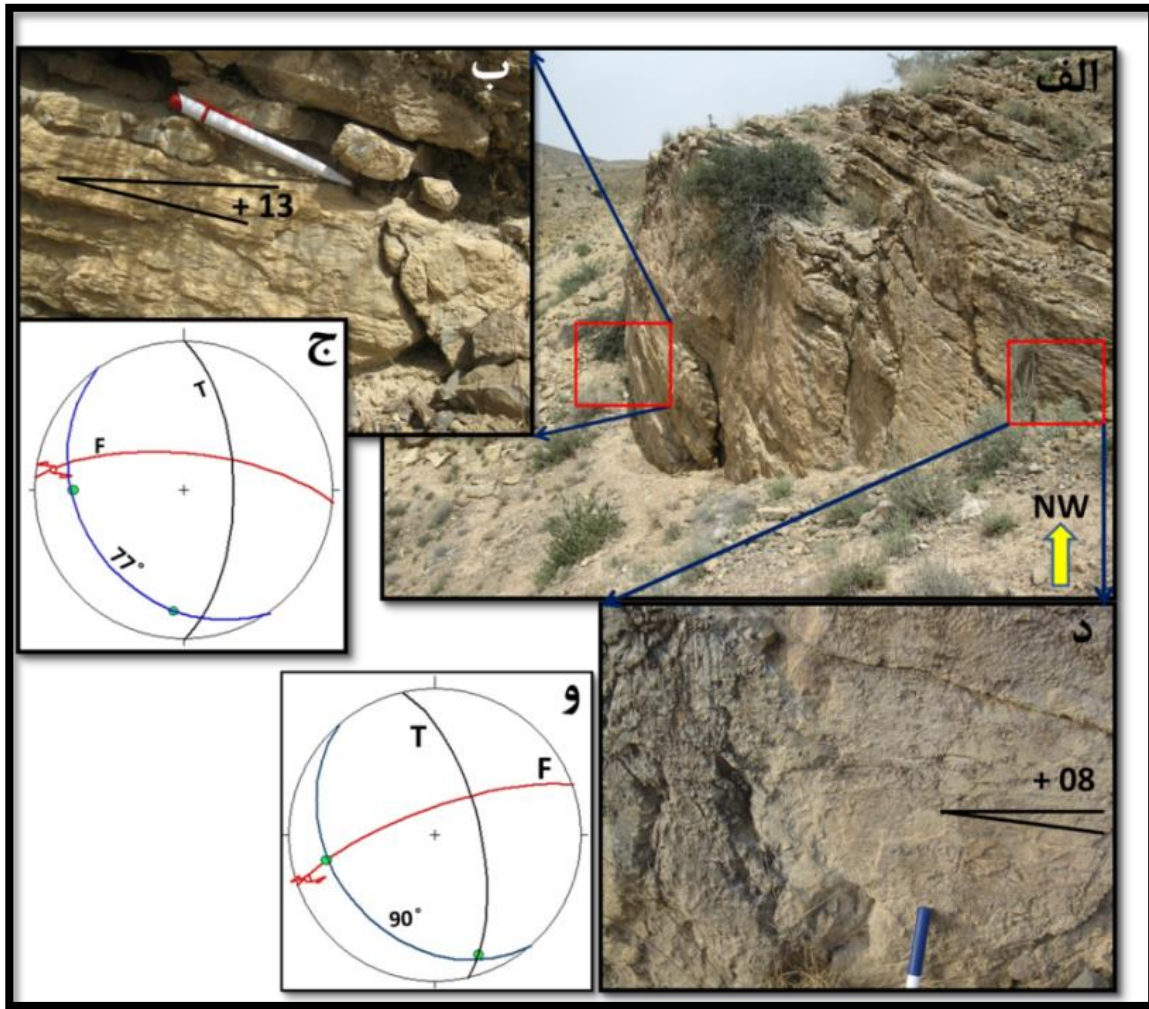
شکل ۳-۶- نمایی از سطح گسل (دید به سمت شمال خاوری) برای نشان دادن شکستگی  $R'$  در ایستگاه سوم، الف – تصویر صحراخی از سطح گسل تیلآباد و شکستگی  $R'$  ، ب - برای نشان دادن استریوگرام و زاویه بین شکستگی های ریدل  $R'$  با سطح گسل، ج - نمایی از سطح گسل و شکستگی  $R'$  ، د - استریوگرام نشان دهنده زاویه بین سطح گسل و شکستگی  $R'$ .

#### ایستگاه چهارم:

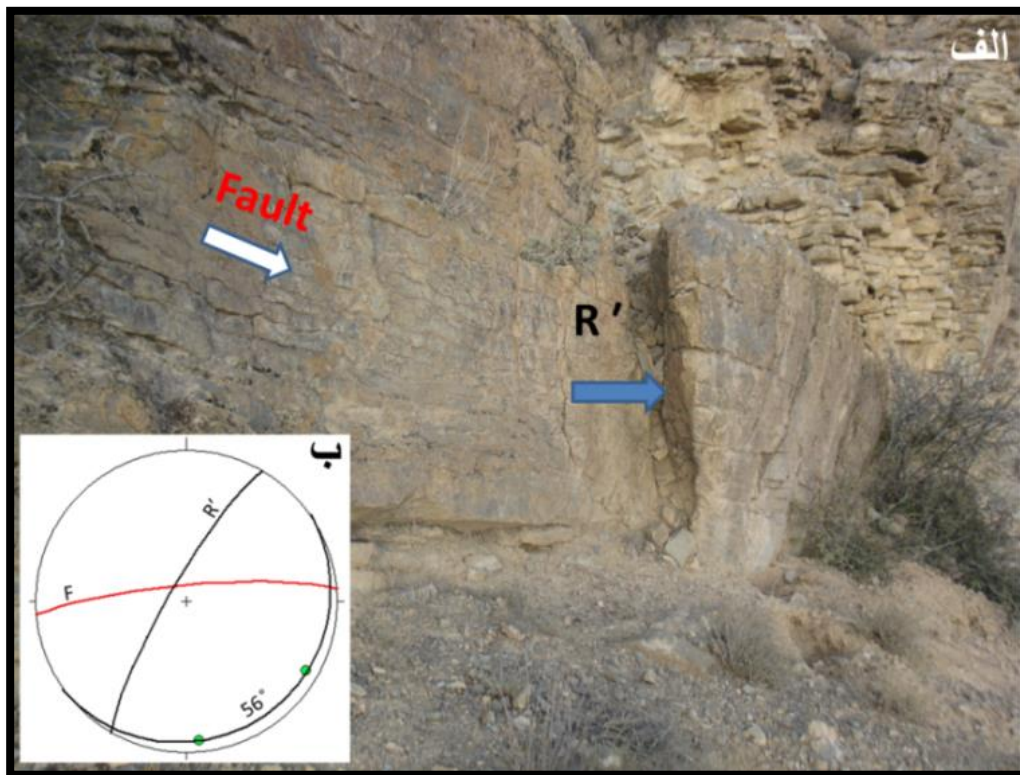
در موقعیت جغرافیایی  $30^{\circ} 54' 36''$  شمالی و  $58.7^{\circ} 26' 55''$  خاوری میباشد، در این ایستگاه رخنمونی از سطح گسل تیلآباد با موقعیت میانگین  $N73^{\circ}E, 81^{\circ}N$  برداشت گردیده است ( شکل ۳-۷). با وجود شکستگی های برشی T در دو مکان با موقعیت، که این شکستگی ها به ترتیب  $E-S, 63^{\circ}E$  و  $N13^{\circ}W, 70^{\circ}E$  و با خراش های گسلی به صورت عمود میباشند. با سطح گسل نیز این شکستگی ها با زاویه  $77$  و  $90$  درجه قرار گرفته اند. برشی ریدل دیگری که در این ایستگاه برداشت شده شکستگی  $R'$  بود که با موقعیت  $N30^{\circ}E, 80^{\circ}NW$  میباشد (شکل ۳-۸)، که بصورت ناسازگار در مقابل حرکت بلوك گم شده،

### فصل سوم : زمین شناسی ساختمانی

حرکت گسل را سخت کرده است و با سطح گسل زاویه ۵۶ درجه می‌سازد. با توجه به برشی‌های ریدل برداشت شده، مولفه راستالغزی این گسل در این ایستگاه بصورت چپبر می‌باشد.

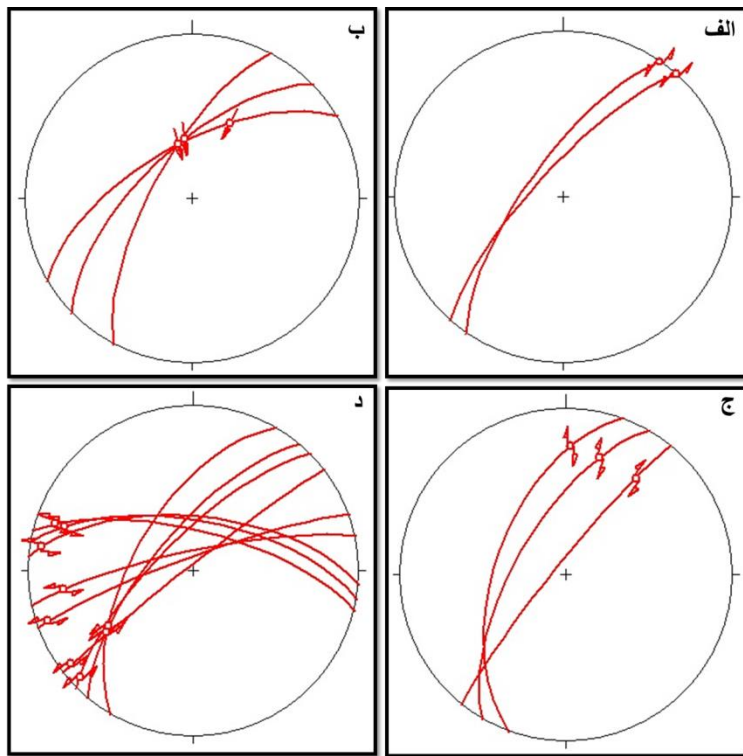


شکل ۷-۳- تصویر صحرا ای از گسل تیل آباد در ایستگاه چهارم در جنوب روستای تیل آباد (دید به سمت شمال باختری)، الف - نمای کلی گسل در ایستگاه و محل برداشت سطح گسل و شکستگی‌های کشنشی در شکل با کادر قرمز نشان داده شده است، ب - نمای نزدیک از گسل با موقعیت  $N^{85}W, 70^{\circ}$  و شکستگی T که عمود بر خشن لغز می‌باشد، ج - استریوگرام نشان دهنده زاویه بین سطح گسل و شکستگی T، د - نمای نزدیک از گسل با موقعیت  $N^{70}E, 80^{\circ}$  NW و شکستگی T که عمود بر خشن لغز می‌باشد، و - استریوگرام نشان دهنده زاویه بین سطح گسل و شکستگی T.



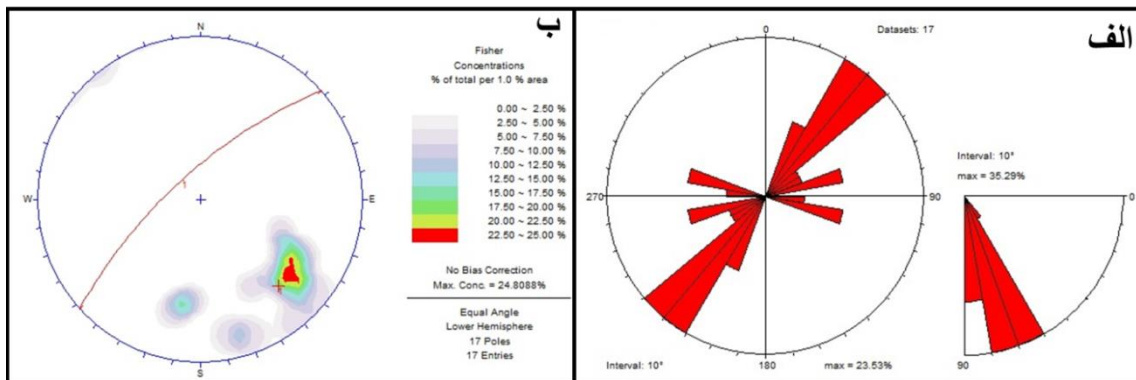
شکل ۳-۸- نمایی صحرایی از سطح گسل تیلآباد در ایستگاه چهارم با موقعیت N<sup>۸۱</sup>E, E<sup>۸۵</sup>N (دید به سمت شمال خاوری) الف – تصویر صحرایی از سطح گسل تیلآباد و شکستگی 'R' با موقعیت NW, E<sup>۸۰</sup>, N<sup>۳۰</sup>، ب - برای نشان دادن استریوگرام و زاویه بین شکستگی ریدل 'R' با سطح گسل.

استریوگرام‌های مربوط به داده‌های برداشت شده (پیوست ۱) از سطوح گسل تیلآباد در ایستگاه‌های مختلف، که استریوگرام هر کدام از فازهای رخ داده بر روی گسل بصورت جداگانه همراه با خش لغز نشان داده شده است (شکل ۳-۹)، که موقعیت میانگین این خراش‌های گسلی به ترتیب ۰۰/۰۳۸، ۰۰/۰۴۰ و ۱۰/۲۷۰ و ۱۲,۵۸/۰۰۰ می‌باشند.



شکل ۳-۹- استریوگرام مربوط به داده‌های برداشت شده از سطح گسل تیل آباد همراه با موقعیت خراش‌های گسلی، الف - سطوح گسلی دارای خراش‌های افقی مربوط به اولین فاز رخ داده بر روی گسل تیل آباد با مولفه راستالغز چپبر، ب - سطوح گسلی دارای خراش‌های با ریک پاد ساعتگرد مربوط به دومین فاز رخ داده بر روی گسل تیل آباد با مولفه شیبلغز معکوس و کمی مولفه امتدادی، ج - سطوح گسلی دارای خراش‌های با ریک پاد ساعتگرد مربوط به سومین فاز رخ داده بر روی گسل تیل آباد با مولفه مورب‌لغز راستبر با کمی مولفه شیبلغز معکوس ۵ - سطوح گسلی دارای خراش‌های با ریک ساعتگرد مربوط به جدیدترین فاز رخ داده بر روی گسل تیل آباد با مولفه مورب‌لغز چپبر با کمی مولفه شیبلغز معکوس. با توجه به ترسیم نمودار گل سرخی امتدادی و شبیه برای داده‌های برداشت شده از سطح گسل تیل آباد

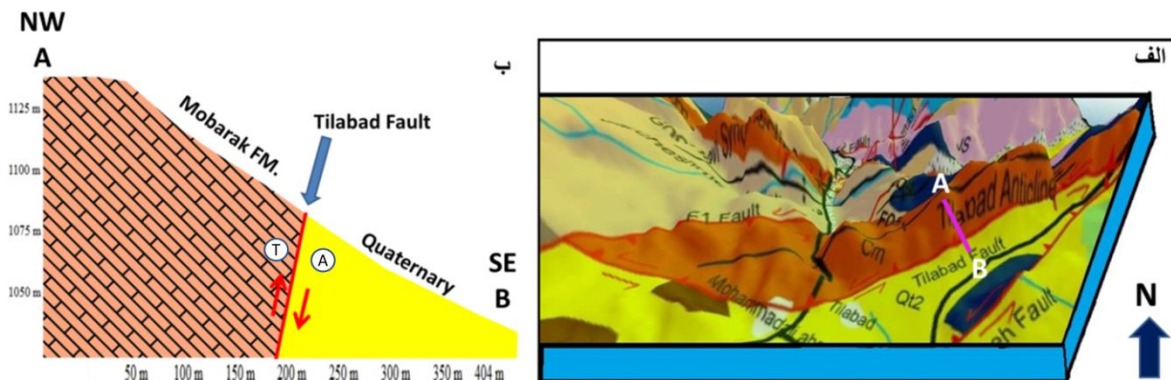
(شکل ۳-۱۰- الف) نشان می‌دهد که  $23.5^{\circ}$  درصد داده‌های اندازه‌گیری شده از سطح گسل دارای امتدادی  $30-50$  درجه می‌باشند، همچنین  $35.29$  درصد داده‌ها شبیه بین  $80-60$  درجه دارند. بنابراین گسل تیل آباد، یک گسل با روند شمال خاوری - جنوب باختری و با شبیه به سمت شمال باختری است. در نتیجه با ترسیم نمودار همتراز قطب داده‌های برداشت شده از سطح گسل در ۴ ایستگاه، وضعیت این گسل از نظر هندسی دارای موقعیت میانگین NW<sub>73E</sub>, E<sub>47N</sub> می‌باشد (شکل ۳-۱۰- ب).



شکل ۱۰-۳ - نمودار گل سرخی شبیه و امتدادی مربوط به داده‌های برداشت شده از سطح گسل تیل آباد در چهار ایستگاه برداشت شده، ب - کنتور دیاگرام تراکم قطب صفحات گسلی و بدست آوردن موقعیت غالب  $N47E, 73NW$  برای گسل تیل آباد.

با توجه به شواهد چینه‌شناسی و نیز ریخت‌شناسی سطوح گسلی برداشت شده، می‌توان به این نکته پی-برد که گسل مورد بحث در طول زمان زمین شناسی حداقل چهار فاز حرکتی مختلف را تحمل نموده است. ولی نکته‌ای که بر روی این گسل قابل توجه می‌باشد، این است که در هیچ کدام از ایستگاه‌ها خراش‌های گسلی مشاهده شده هم‌دیگر را بصورت پیوسته قطع نکرده‌اند، تا بتوانیم به ترتیب زمانی فازهای رخ داده پی‌بریم.

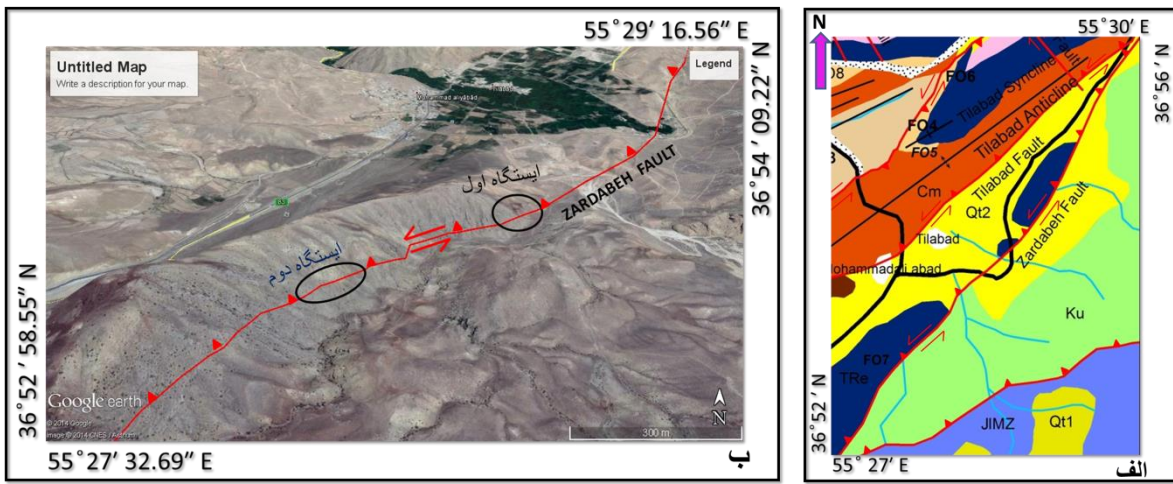
عملکرد گسل تیل آباد در این منطقه باعث برخاستگی سازند مبارک بر روی رسوبات کواترنری شده است. می‌توان در (شکل ۱۱-۳) مقطع عرضی این گسل را مشاهده نمود.



شکل ۱۱-۳ - الف- تصویر سه بعدی از ترکیب داده‌های SRTM و نقشه زمین شناسی منطقه. ب- مقطع عرضی نمادین ترسیم شده از گسل تیل آباد که در راستای AB بر روی شکل الف مشخص شده است (اغراق در جهت قائم).

### ۱-۲-۱-۱- گسل زردابه

اولین بار گسل زردابه توسط علوی و همکاران (۱۳۶۹) در نقشه زمین شناسی گرگان با مقیاس ۱:۲۵۰۰۰ به صورت یک خطواره نشان داده شده است. جعفریان و همکاران (۱۳۸۳) در نقشه زمین شناسی خوش ییلاق با مقیاس ۱:۱۰۰۰۰۰ این گسل را با توجه به همچوar بودن با روستای زردابه نام گسل را زردابه نامیده‌اند. گسل زردابه دارای ۲۰ کیلومتر طول می‌باشد، ۸.۵ کیلومتر این گسل در محدوده مورد مطالعه قرار داشته که در نقشه زمین شناسی تهیه شده از منطقه (شکل ۱۲-۳-الف) و تصویر ماهواره‌ای Google earth (شکل ۱۲-۳-ب) دیده می‌شود، این گسل با راستای شمال خاوری - جنوب باختり امتداد می‌یابد. یکی از معیارهای تشخیص گسل‌های فعال قطع رسوبات کواترنری توسط گسل می‌باشد که در شرق روستای تیلآباد بخشی از گسل، رسوبات کواترنری قطع کرده است. در نتیجه می‌توان این گسل را در رده گسل‌های کواترنری حساب کرد. در شکل ۱۲-۳-ب تصویر صحراوی رانده شدن سازند الیکا بر روی واحدهای کرتاسه بالایی را مشاهده نمود.



شکل ۱۲-۳- الف- بخشی از نقشه زمین شناسی منطقه مورد مطالعه که گسل زردابه بر روی آن مشخص شده است (تهیه شده بر پایه نقشه زمین شناسی چهار گوش خوش ییلاق با مقیاس ۱:۱۰۰۰۰۰ با اضافات و تغییرات)، ب- موقعیت ایستگاه‌های برداشت داده از گسل زردابه بر روی تصویر ماهواره‌ای لندست بر گرفته از (Google earth).



شکل ۳-۱۳- نمای صحرایی رانده شدن سازند الیکا (تریاس زیرین) بر روی آهکهای کرتاسه بالایی دید به سمت جنوب باختری

### هندسه و سازوکار گسل زردابه

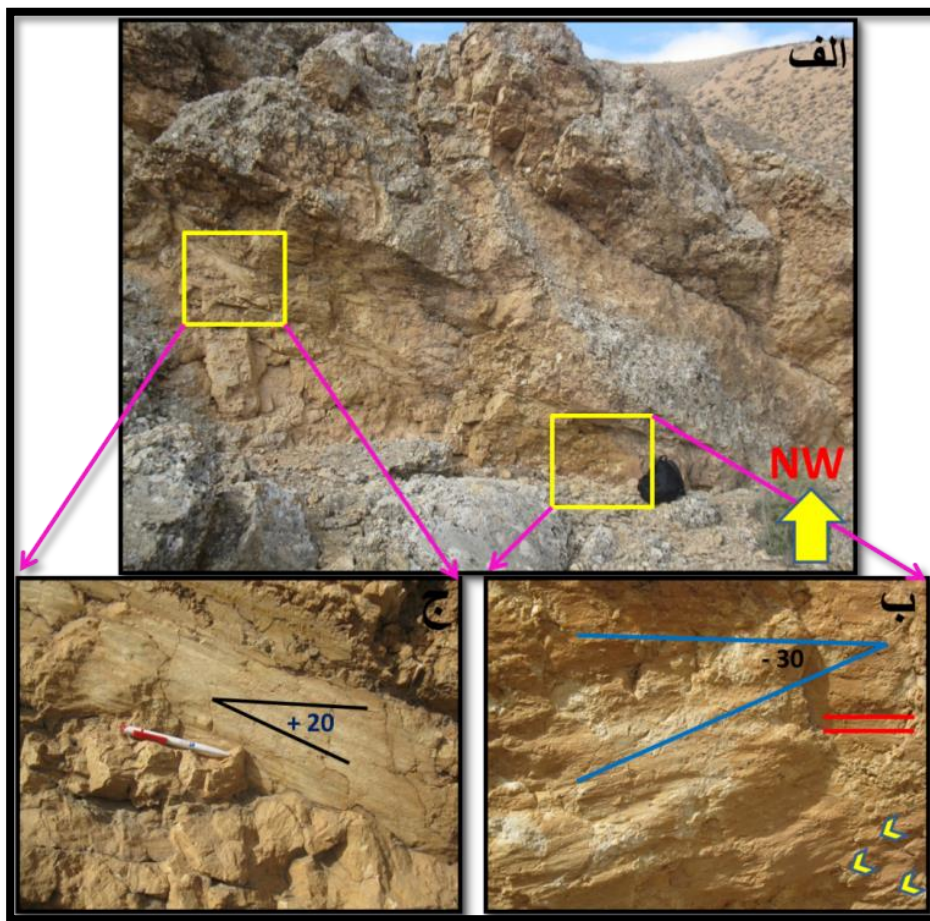
هندسه و سازوکار گسل زردابه در دو ایستگاه قابل برداشت و مطالعه بود. موقعیت گسل زردابه و ایستگاه-های برداشت شده بر روی این گسل در تصاویر دورسنجی (بر گرفته از Google earth) در (شکل ۳-۱۲-۳-الف) قابل مشاهده می باشد.

#### ایستگاه اول:

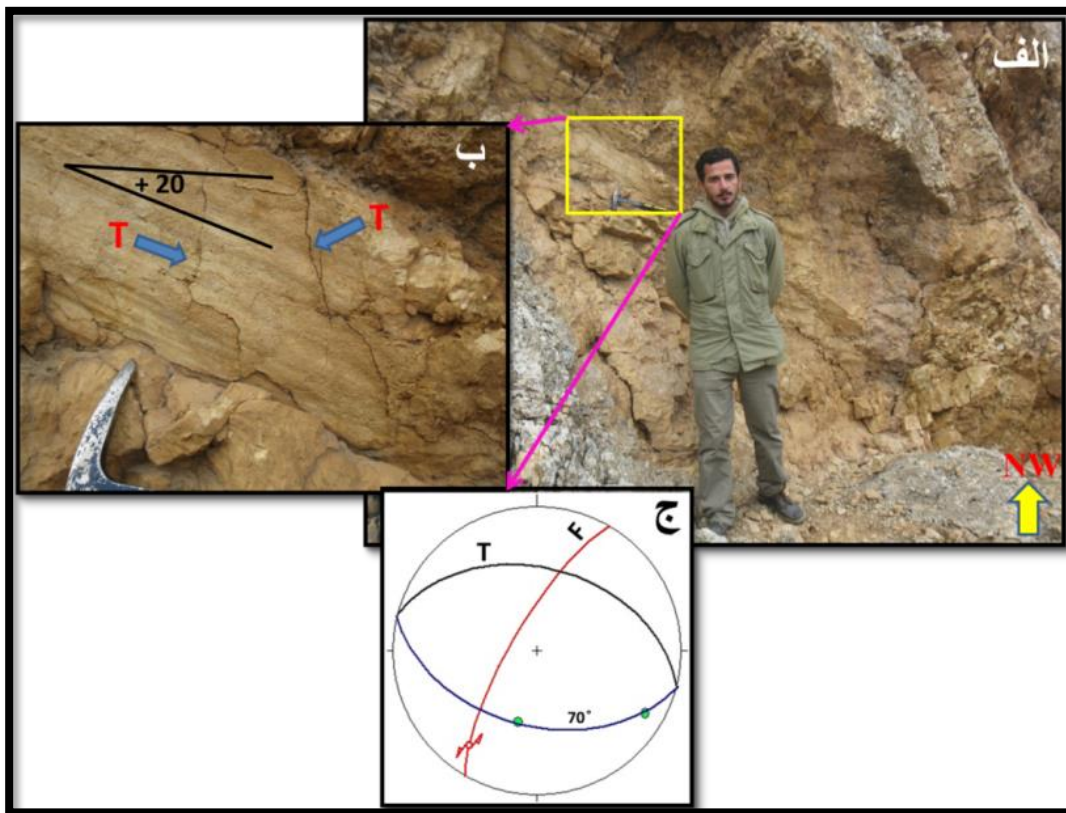
در موقعیت جغرافیایی  $48.1^{\circ}$  E و  $36^{\circ} 53' 55''$  N (شمالی تا  $16.2^{\circ}$  S خاوری) این گسل مرز بین سازندهای الیکا (تریاس زیرین) در فرادیواره و آهکهای کرتاسه بالایی در فرو Dionar را تشکیل داده است. با توجه به شواهد چینه نگاری، مولفه شیب لغز گسل از نوع معکوس می باشد. در این ایستگاه، ۳ دسته خراش گسلی

### فصل سوم : زمین شناسی ساختمانی

در فراديواره به ترتیب با ریک افقی،  $30^{\circ}$  درجه پاد ساعتگرد و  $20^{\circ}$  درجه ساعتگرد قابل مشاهده می‌باشد. که با توجه به قاعده برش قدیمی‌ترین فاز با ریک افقی و جدیدترین فاز نیز با زاویه ریک  $20^{\circ}$  درجه ساعتگرد می‌باشد (شکل ۱۴-۳). در این ایستگاه رخنمون سطح گسل زردابه با موقعیت میانگین NW $40^{\circ}$ E, NW $75^{\circ}$  می‌باشد، وجود شکستگی‌های ریدل از نوع T با موقعیت NW $42^{\circ}$ NE می‌باشد که به صورت بازشدگی عمود بر خراش‌های گسلی می‌باشد (شکل ۱۵-۳)، که زاویه‌ای  $70^{\circ}$  درجه با سطح گسل می‌سازد. نوک گوهای که شکستگی T با سطح گسل می‌سازد در جهت خلاف حرکت بلوک گم شده می‌باشد. که با توجه به این قاعده مولفه این گسل به صورت مورب‌لغز چپ‌بر با کمی مولفه شیب‌لغز معکوس می‌باشد.



شکل ۱۴-۳ - الف - تصویر صحراوی از گسل زردابه اول در ایستگاه اول در جنوب روستای تیل آباد با موقعیت NW $40^{\circ}$ E, NW $75^{\circ}$  (دید به سمت شمال باختری)، ب - نمای نزدیک از کادرهای زرد رنگ مشخص شده در قسمت الف برای نشان دادن تقاطع خش‌لغزهای موجود در سطح گسل.



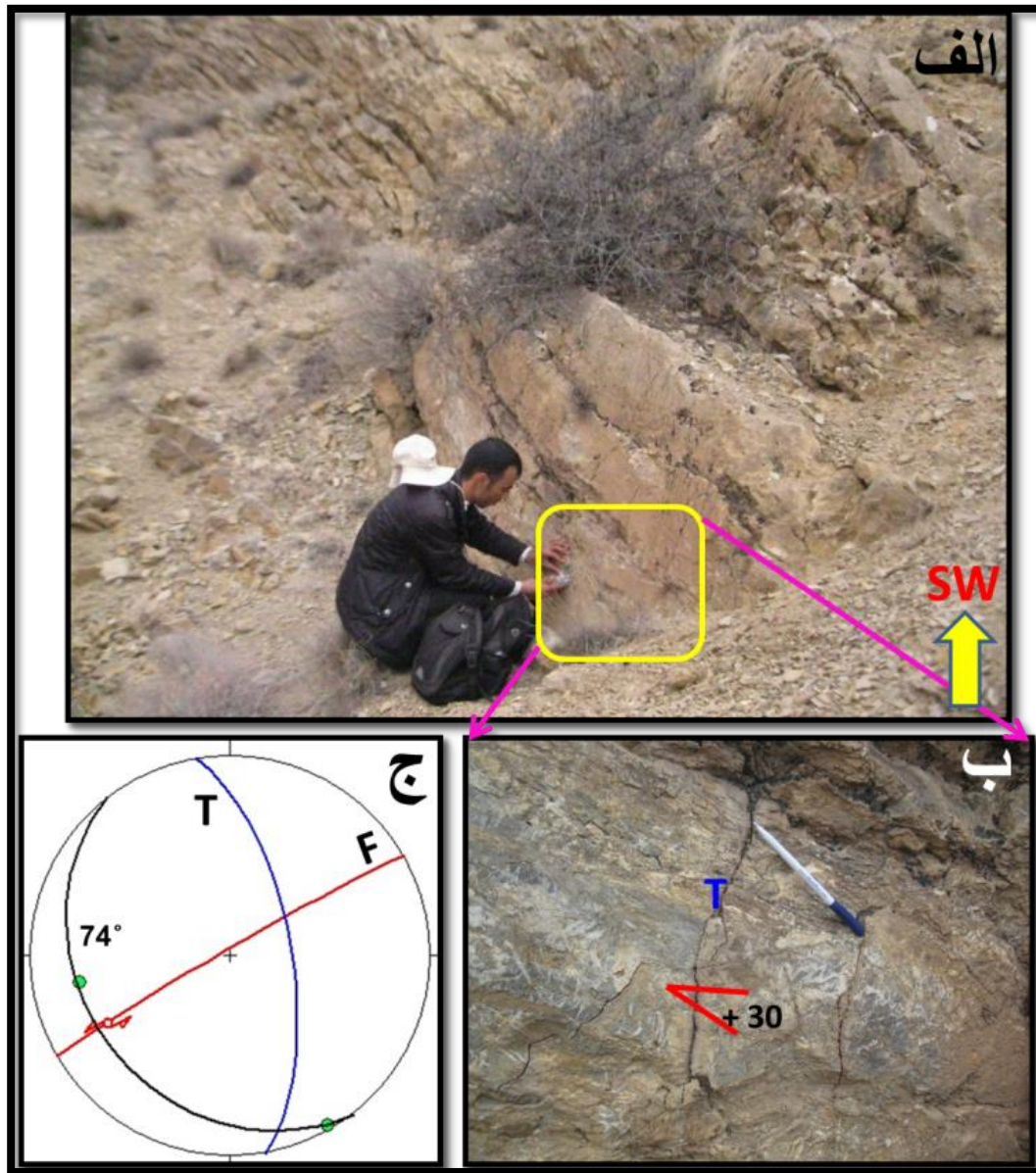
شکل ۳-۱۵-۳ - نمایی از سطح گسل (دید به سمت شمال باختری) ایستگاه اول، الف - تصویر صحراوی از سطح گسل زردابه با موقعیت NW $75^{\circ}$ E, N $40^{\circ}$ , ب - تصویر نزدیک از گسل برای نشان دادن خراش گسلی، شکستگی T، ج - استریوگرام نشان دهنده زاویه بین سطح گسل و شکستگی T.

#### ایستگاه دوم:

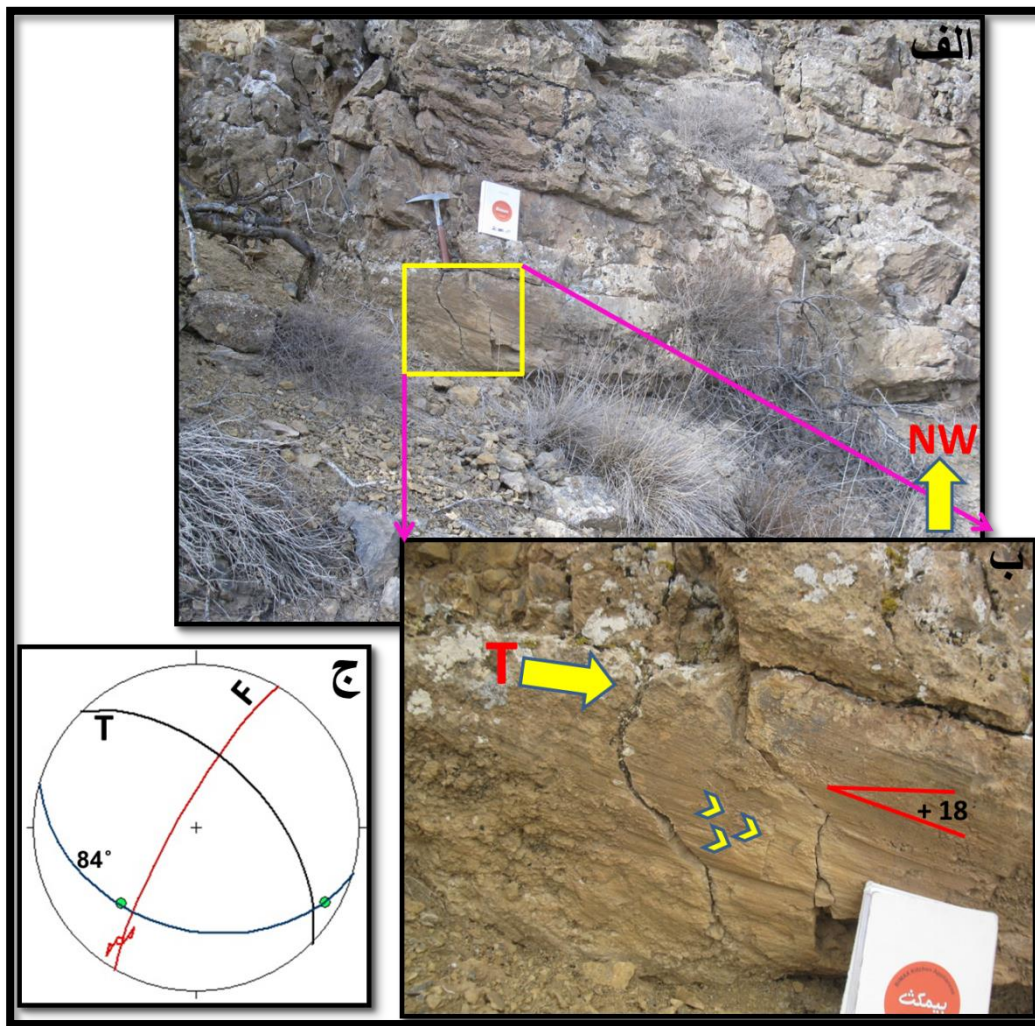
در این ایستگاه رخنمون سطح گسل در دو موقعیت جغرافیایی برداشت شده است. اولین نقطه در موقعیت جغرافیایی "۱۹.۴' ۵۳' ۳۶' شمالی تا "۴۳.۳' ۲۷' ۵۵' خاوری با موقعیت گسل NW $87^{\circ}$ E, N $60^{\circ}$  باشد و وجود شکستگی T که عمود بر خشلغز با موقعیت W $65^{\circ}$ E, N $10^{\circ}$  و با سطح گسل زاویه ۷۴ درجه می-سازد. با توجه به جهت شیب شکستگی‌های T نحوه حرکت این گسل را چپبر نشان می‌دهد (شکل ۳-۱۶). دومین نقطه در موقعیت جغرافیایی "۲۱.۷' ۵۳' ۳۶' شمالی تا "۴۶.۲' ۲۷' ۵۵' خاوری با موقعیت گسل NW $80^{\circ}$ E, N $30^{\circ}$  و وجود شکستگی T که عمود بر خشلغز با موقعیت NE $55^{\circ}$ W, N $45^{\circ}$  و با سطح گسل زاویه ۸۴ درجه می‌سازد. نوک گوهای که شکستگی T با سطح گسل می‌سازد در جهت خلاف

### فصل سوم : زمین شناسی ساختمانی

حرکت بلوک گم شده می‌باشد. نوک گوهای که شکستگی T با سطح گسل می‌سازد در جهت خلاف حرکت بلوک گم شده می‌باشد. و علاوه بر این وجود پله‌های گسلی نحوه حرکت این گسل را به صورت چپبر نشان می‌دهد (شکل ۱۷-۳).

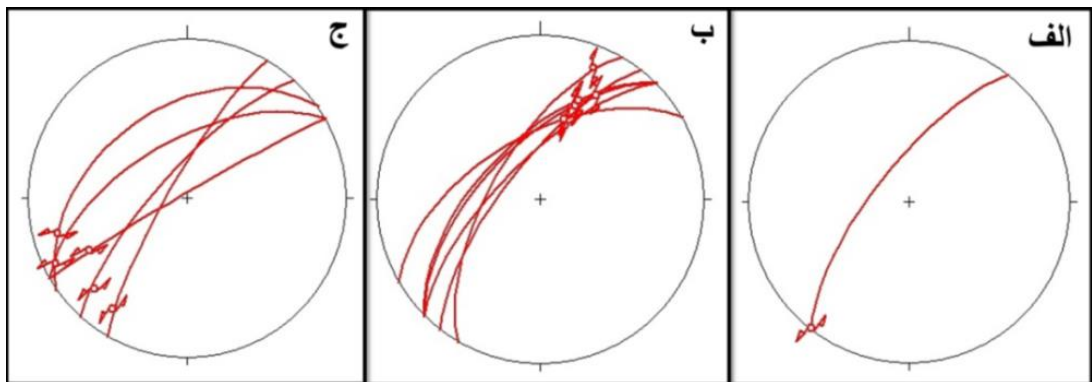


شکل ۱۶-۳ - الف - تصویری از سطح گسل زردابه در ایستگاه دوم با موقعیت  $N^{60}E, 87^{\circ}NW$  (دید به سمت جنوب باختری)، ب - نمای نزدیک از گسل زردابه شکستگی هلالی، خشلغز و شکستگی T، ج - استریوگرام نشان دهنده زاویه بین سطح گسل و شکستگی T.



شکل ۱۷-۳-الف - رخنمون سطح گسل زردابه با موقعیت N $4^{\circ}0'E$ , ۸۰ NW در سازند الیکا در ایستگاه دوم (دید به سمت شمال باختری)، ب - تصویر نزدیک از کادر زرد رنگ مشخص شده در شکل الف برای نشان دادن شکستگی T، خش لغز و پله‌های گسل، تلفیق این داده‌ها سازوکار گسل امتداد لغز چپبر با کمی مولفه شبیه لغز معکوس می‌باشد، ج - استریوگرام نشان دهنده زاویه بین سطح گسل و شکستگی T.

برداشت داده‌های ساختاری از گسل زردابه در پیوست ۲ آورده شده است. استریوگرام‌های مربوط به این داده‌ها برای هر کدام از فازهای رخ داده بر روی گسل بصورت جداگانه همراه با خش لغز نشان داده شده است (شکل ۱۸-۳)، که موقعیت میانگین این خراش‌های گسلی از قدیمی‌ترین به جدیدترین فاز به ترتیب ۱۷/۲۳۸ و ۴۰/۰۱۷ و ۴۰/۰۱۷ می‌باشند.



شکل ۱۸-۳ - استریوگرام مربوط به داده‌های برداشت شده از سطح گسل زردابه همراه با موقعیت خراش‌های گسلی، الف - سطوح گسلی دارای خراش‌های افقی مربوط به اولین فاز رخ داده بر روی گسل زردابه با مولفه راستالغز چپبر، ب - سطوح گسلی دارای خراش‌های با ریک پاد ساعتگرد مربوط به دومین فاز رخ داده بر روی گسل زردابه با مولفه مورب‌لغز راستبر با کمی مولفه شیب‌لغز معکوس، ج - سطوح گسلی دارای خراش‌های با ریک ساعتگرد مربوط به جدیدترین فاز رخ داده بر روی گسل زردابه با مولفه مورب‌لغز چپبر با کمی مولفه شیب‌لغز معکوس.

با توجه به ترسیم نمودار گل سرخی امتدادی و شبیه برای داده‌های برداشت شده از سطح گسل زردابه

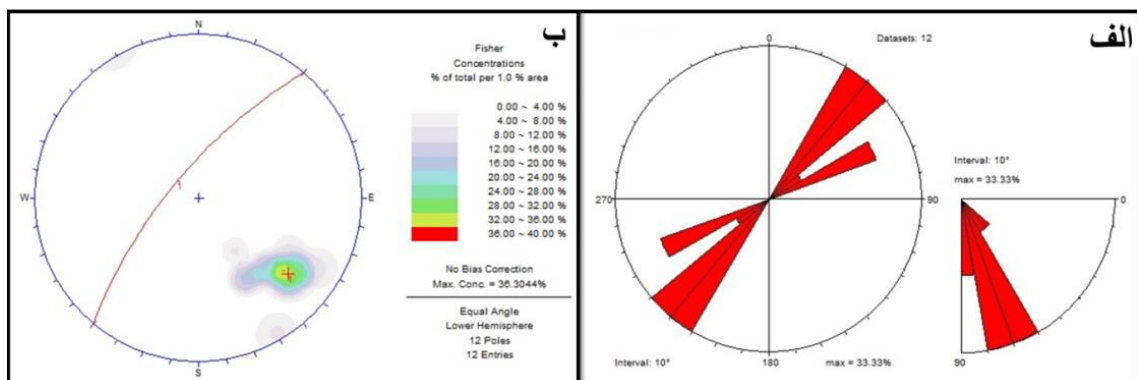
(شکل ۱۹-۳-الف) نشان می‌دهد که ۳۳.۳۳ درصد داده‌های اندازه‌گیری شده از سطح گسل دارای امتدادی

۳۰-۵۰ درجه می‌باشند، همچنین ۳۳.۳۳ درصد داده‌ها شبیه بین ۸۰ - ۶۰ درجه دارند. بنابراین گسل

زردابه، یک گسل با روند شمال خاوری - جنوب باختری و با شبیه به سمت شمال باختری است. در

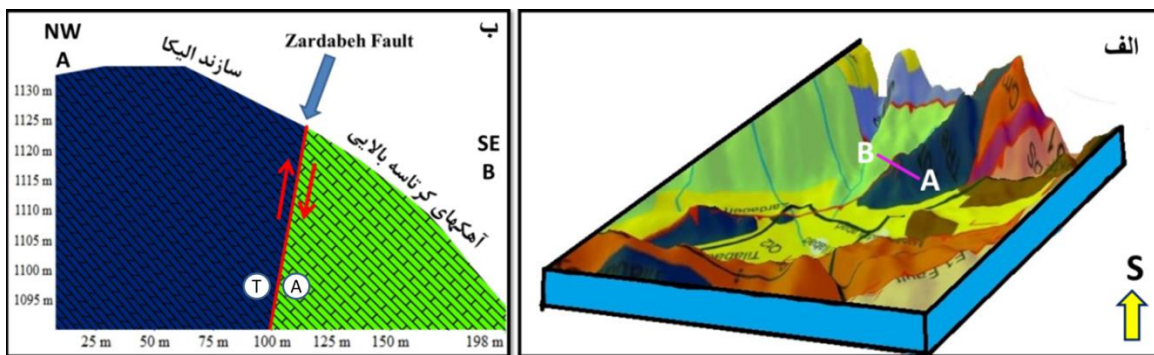
نتیجه با ترسیم نمودار همتراز قطب داده‌های برداشت شده از سطح گسل، وضعیت این گسل از نظر

هندسی دارای موقعیت میانگین NW $_{70}^{\circ}$ E, NW $_{40}^{\circ}$ E می‌باشد (شکل ۱۹-۳-ب).



شکل ۱۹-۳ - نمودار گل سرخی شبیه امتدادی مربوط به داده‌های برداشت شده از سطح گسل زردابه در دو ایستگاه برداشت شده، ب - کنتوردیاگرام تراکم قطب صفحات گسلی و بدست آوردن موقعیت غالب NW $_{70}^{\circ}$ E, NW $_{40}^{\circ}$ E برای گسل زردابه.

با توجه به شواهد ریخت شناسی سطح گسل و چینه‌شناسی در ایستگاه‌های مختلف، در برداشت‌های صحرایی وجود سه دسته خراش گسلی بر روی گسل زردابه را نمایان می‌کنند. این فازهای رخ داده بر روی گسل عبارتند از: راستالغز چپبر، مورب‌لغز راستبر با کمی مولفه شیب‌لغز معکوس و مورب‌لغز چپبر با کمی مولفه شیب‌لغز معکوس می‌باشند. با توجه به قاعده برش که خراش‌هایی که خراش‌های دیگر را قطع کرده است، جدیدترین فاز رخ داده بر روی گسل می‌باشد، با این حساب جدیدترین فاز مورب‌لغز چپبر با کمی مولفه شیب‌لغز معکوس می‌باشد. عملکرد گسل زردابه در این منطقه باعث برخاستگی سازند الیکا بر روی واحدهای کرتاسه بالایی شده است. گسل زردابه در امتداد خود در جنوب روستای تیل‌آباد سبب ایجاد دره گسلی شده است که در نتیجه فرسایش صورت گرفته، بر اثر جريان یافتن آب به دره نسبتاً عریضی تبدیل شده است (شکل ۲۰-۳). می‌توان در (شکل ۲۱-۳) مقطع عرضی این گسل را مشاهده نمود.



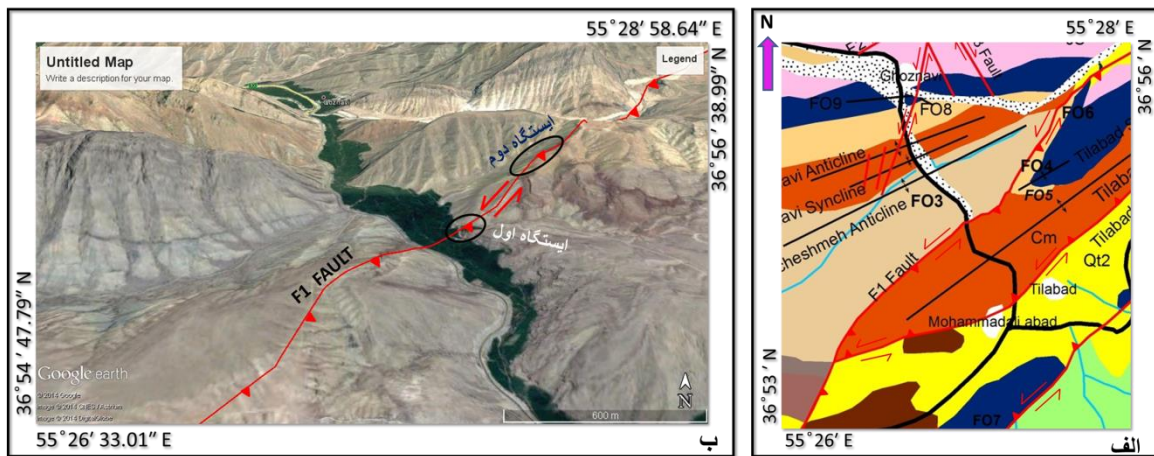
شکل ۲۰-۳-الف- تصویر سه بعدی از ترکیب داده‌های SRTM و نقشه زمین شناسی منطقه. ب- مقطع عرضی نمادین ترسیم شده از گسل زردابه که در راستای AB بر روی شکل الف مشخص شده است (اغراق در جهت قائم).



شکل ۳-۲۱-۳- دره گسلی ایجاد شده توسط گسل زردابه در جنوب روستای تیل آباد و قرار گیری سازندهای الیکا (تریاس زیرین) و آهکهای کرتاسه بالایی در کنار هم (دید به سمت شمال خاوری).

#### ۱-۱-۳- گسل F<sub>1</sub>

گسل F<sub>1</sub> تقریباً در مرکز محدوده مورد مطالعه و به طول ۱۲ کیلومتر با روند شمال خاوری - جنوب باختری و شیب به سمت جنوب خاوری می‌باشد. بخش اعظم گسل مرز بین سازندهای خوش ییلاق (دونین میانی) در قسمت فرودیواره، سازند مبارک (کربنیفر زیرین) و سازند دورود (پرمین زیرین) فرادیواره را تشکیل می‌دهد (شکل ۳-۲۲-الف). در برخی قسمت‌های گسل بطور متناوب در فرادیواره و فرودیواره سازندهای سلطان میدان، خوش ییلاق، مبارک، الیکا و رسوبات کواترنری قرار می‌گیرد. با توجه به بریده شدن رسوبات کواترنری توسط گسل می‌توان، این گسل را گسل فعل نامید. در شکل ۳-۲۳-۳ تصویر صحرا ای رانده شدن سازند دورود بر روی سازند خوش ییلاق را مشاهده نمود.



شکل ۲۲-۳-الف-بخشی از نقشه زمین شناسی منطقه مورد مطالعه که گسل  $F_1$  بر روی آن مشخص شده است (تھیه شده بر پایه نقشه زمین شناسی چهار گوش خوش بیلاق با مقیاس ۱:۱۰۰۰۰۰ با اضافات و تغییرات). ب-موقعیت ایستگاه-های برداشت داده از گسل  $F_1$  بر روی تصویر ماهواره‌ای لندست بر گرفته از (Google earth).



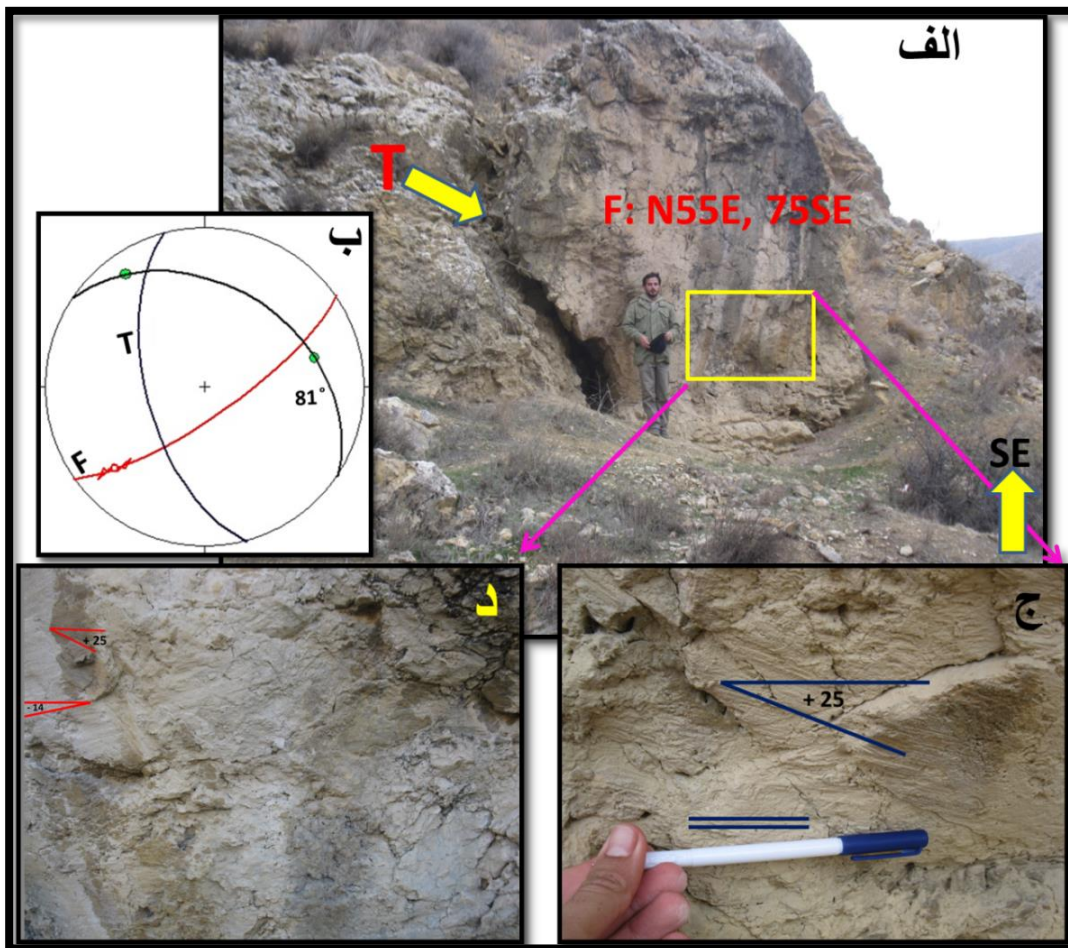
شکل ۲۳-۳- تصویر صحرایی رانده شدن سازند دورود (پرمین زیرین) بر روی سازند خوش بیلاق (دونین زیرین) دید به سمت شمال خاوری

### هندسه و سازوکار گسل F<sub>1</sub>

بررسی ویژگی‌های هندسی و جنبشی گسل F<sub>1</sub> در ۲ ایستگاه مورد مطالعه و بررسی قرار گرفته است که در تصویر ماهواره‌ای (Google earth) نشان داده شده است (شکل ۲۲-۳-ب).

ایستگاه اول، در موقعیت جغرافیایی " ۳۷.۳° ۵۵' ۲۵.۸" شمالی و " ۳۶° ۵۵' ۲۵.۸" خاوری می‌باشد. در این ایستگاه فرادیواره گسل را سازند مبارک (کربنیفر زیرین) و سازند خوش بیلاق (دونین میانی) فرودیواره گسل را تشکیل می‌دهند (شکل ۲۴-۳-الف). با توجه به قرار گرفتن این گسل در مرز سازندهای مبارک و خوش بیلاق سبب بهم ریختگی چینه شناسی نشده و ترتیب سنی سازندها تغییر نکرده است، قرار گرفتن سازند مبارک بر روی سازند خوش بیلاق از نظر ترتیب توالی چینه شناسی در منطقه مرز طبیعی بین این دو سازند است. برای بررسی سازوکار گسل در ایستگاه نمی‌توان از شواهد چینه نگاری استفاده کرد، با توجه به مشاهده سطح گسل و خراش‌های گسلی می‌توان به گسلی بودن این مرز پی برد. در این ایستگاه رخنمونی از سطح گسل F<sub>1</sub> با موقعیت میانگین N<sup>۵۵</sup>E, SE<sup>۷۵</sup> برداشت گردیده است (شکل ۲۴-۳-الف).

وجود ۳ دسته خراش گسلی که به ترتیب ریک افقی، ۱۴ درجه پاد ساعتگرد و ۲۵ درجه ساعتگرد را مشاهده نمود(شکل ۲۴-۳-ج،د). با توجه به قطع شدگی خراش‌های گسلی با ریک افقی و ۱۴ درجه پاد ساعتگرد توسط خراش گسلی با ریک ۲۵ درجه ساعتگرد بر روی این سطح طبق قاعده برش، خراش گسلی قطع کننده خراش‌های گسلی با ریک دیگر از نظر سنی جوانتر است. با توجه به این قاعده آخرین فاز حرکتی مربوط به خراش گسلی با ریک ۲۵ درجه می‌باشد. با توجه به وجود شکستگی T با موقعیت N<sup>۱۵</sup>W, SW<sup>۶۰</sup> که عمود بر خراش گسلی با ریک ۲۵ درجه می‌باشد و با سطح گسل زاویه ۸۰ درجه می-سازد(شکل ۲۴-۳-ب). از آنجا که نوک گوهای که شکستگی T با سطح گسل می‌سازد در جهت خلاف حرکت بلوك گم شده می‌باشد. بنابراین سازوکار گسل مورب‌لغز چپ بر با کمی مولفه شیب‌لغزی معکوس می‌باشد.



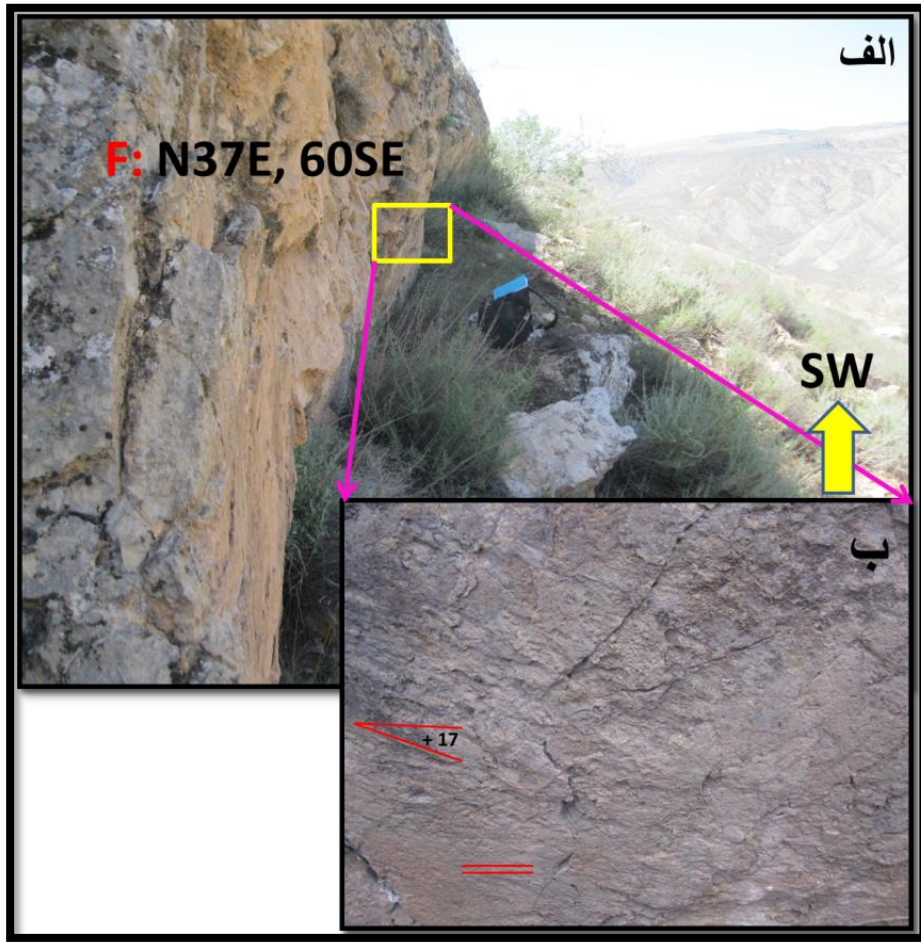
شکل ۲۴-۳- تصویر دیواره گسل ۱ با موقعیت  $N55E, 75SE$  بر روی سازند مبارک در ایستگاه اول و شکستگی  $T$  که عمود بر خش لغز ۲۵ درجه می‌باشد(دید به سمت جنوب خاوری)، ب - استریوگرام نشان دهنده زاویه بین سطح گسل و شکستگی  $T$ ، ج و د - نمایی نزدیک از تقاطع خراش‌های گسلی موجود در سطح گسل.

ایستگاه دوم:

ایستگاه دوم، در موقعیت جغرافیایی  $"25.8^{\circ} 55' 25.8'$  شمالی و  $"37.3^{\circ} 27' 55'$  خاوری می‌باشد. در این ایستگاه فرادیواره گسل سازند دورود (پرمین زیرین) و سازند خوش بیلاق (دونین میانی) فرو迪واره گسل را تشکیل می‌دهد. حضور دو نسل خش لغز بر روی سطحی با موقعیت  $N37E, 60SE$  با زاویه ریک ۱۷ درجه ساعتگرد و افقی می‌توان مشاهده نمود (شکل ۲۵-۳-ب). از آنجا که خراش‌های با ریک افقی توسط خراش‌های ۱۷ درجه قطع گردیده است، بنابراین طبق قاعده برش خراش گسلی که خراش دیگر را قطع

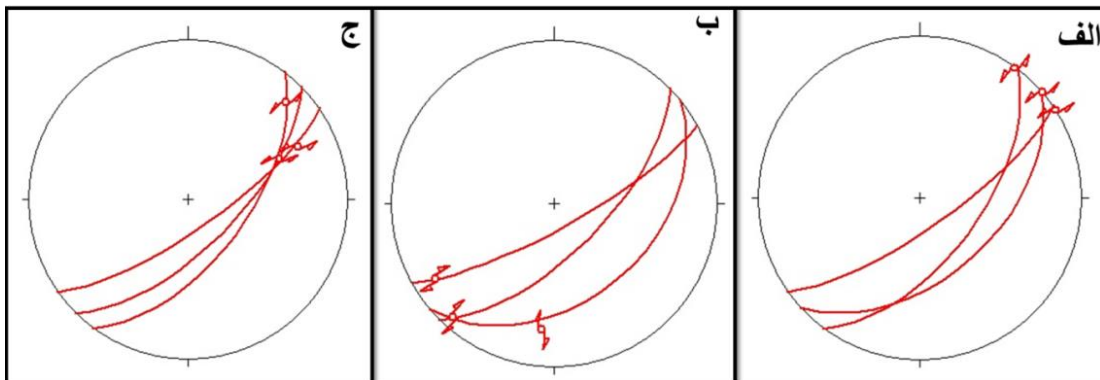
## فصل سوم : زمین شناسی ساختمانی

کرده است از نظر سنی جوانترین فاز می‌باشد. با توجه به این قاعده جدیدترین فاز رخ داده بر روی این گسل از نوع مورب لغز چپ بر با کمی مولفه شیب لغز معکوس می‌باشد.



شکل ۳-۲۵-الف- نمایی از سطح گسل  $F_1$  در ایستگاه دوم با موقعیت N $37^{\circ}$ E, ۶۰SE بر روی سازند دورود برداشت بر روی فرادیواره می‌باشد (دید به سمت جنوب باختری)، ب - نمایی نزدیک از تقاطع خراش‌های گسلی موجود در سطح گسل و پله‌های گسلی.

استریوگرام‌های مربوط به داده‌های برداشت شده (پیوست ۳) از سطوح گسل  $F_1$  در ایستگاه‌های مختلف، استریوگرام هر کدام از فازهای رخ داده بر روی گسل بصورت جداگانه همراه با خشن‌لغز نشان داده شده است، که موقعیت میانگین این خراش‌های گسلی از قدیمی‌ترین به جدیدترین فاز به ترتیب ۰۰/۰۴۷، ۰۰/۰۴۸ و ۰۵۸/۲۰۷ می‌باشند (شکل ۳-۲۶).



شکل ۳-۲۶-۳- استریوگرام مربوط به داده‌های برداشت شده از سطح گسل  $F_1$  همراه با موقعیت خراش‌های گسلی، الف - سطوح گسلی دارای خراش‌های افقی مربوط به اولین فاز رخ داده بر روی گسل  $F_1$  با مولفه راستالغز چپبر، ب - سطوح گسلی دارای خراش‌های با ریک پاد ساعتگرد مربوط به دومین فاز رخ داده بر روی گسل  $F_1$  با مولفه مورب‌لغز راستبر با کمی مولفه شبی‌لغز معکوس، ج - سطوح گسلی دارای خراش‌های با ریک ساعتگرد مربوط به جدیدترین فاز رخ داده بر روی گسل  $F_1$  با مولفه مورب‌لغز چپبر با کمی مولفه شبی‌لغز معکوس.

با توجه به ترسیم نمودار گل سرخی امتدادی و شبیی برای داده‌های برداشت شده از سطح گسل  $F_1$

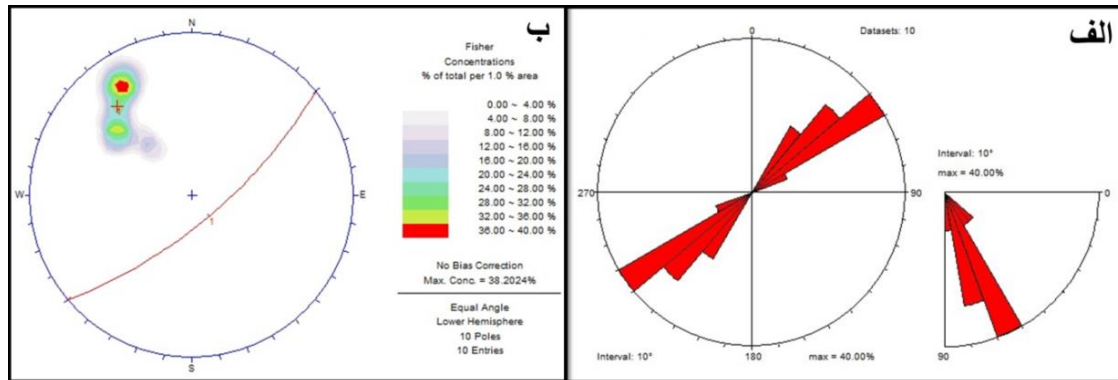
(شکل ۳-۲۷-۳- الف) نشان می‌دهد که  $40^{\circ}$  درصد داده‌های اندازه‌گیری شده از سطح گسل  $F_1$  دارای

امتدادی  $50^{\circ}$ - $60^{\circ}$  درجه می‌باشند، همچنین  $40^{\circ}$  درصد داده‌ها شبیی بین  $70^{\circ}$  -  $60^{\circ}$  درجه دارند. بنابراین

گسل  $F_1$ ، یک گسل با روند شمال خاوری - جنوب باختری و با شبیی به سمت جنوب خاوری است. در

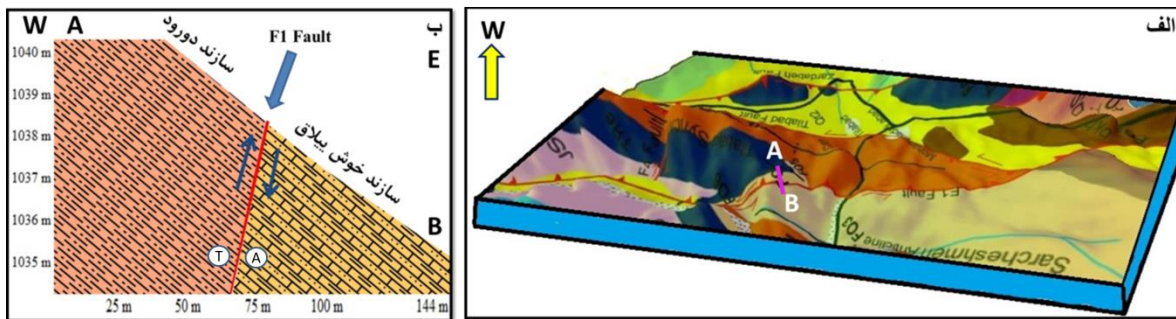
نتیجه با ترسیم نمودار همتراز قطب داده‌های برداشت شده از سطح گسل، وضعیت این گسل از نظر

هندسی دارای موقعیت میانگین  $N^{50}E, 70^{\circ}SE$  می‌باشد (شکل ۳-۲۷-۳- ب).



شکل ۳-۲۷-۳- نمودار گل سرخی شبیی و امتدادی مربوط به داده‌های برداشت شده از سطح گسل  $F_1$  در دو ایستگاه برداشت شده، ب - کنتوردیاگرام قطب صفحات گسلی و بدست آوردن موقعیت غالب  $N^{50}E, 70^{\circ}SE$  برای گسل  $F_1$ .

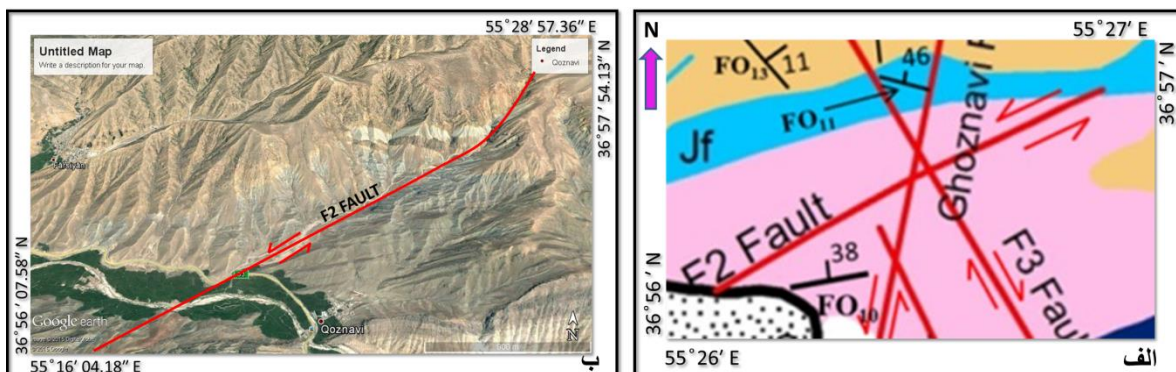
با توجه به شواهد ریخت شناسی سطح گسل در برداشت‌های صحرایی وجود سه دسته خراش گسلی بر روی گسل F<sub>1</sub> را نمایان می‌کنند. این فازهای رخ داده بر روی گسل عبارتند از: راستالغز چپبر، مورب‌لغز راستبر با کمی مولفه شیب‌لغز معکوس و مورب‌لغز چپبر با کمی مولفه شیب‌لغز معکوس می‌باشند. با توجه به قاعده برش که خراش‌های دیگر را قطع کرده است، جدیدترین فاز رخ داده بر روی گسل می‌باشند، با این حساب جدیدترین فاز رخ داده بر روی این گسل مورب‌لغز چپبر با کمی مولفه شیب‌لغز معکوس می‌باشد. می‌توان در (شکل ۱۱-۳) مقطع عرضی و تلفیق نقشه منطقه مورد مطالعه و ترکیب داده‌های SRTM برای این گسل را مشاهده نمود.



شکل ۱۱-۳-الف- تصویر سه بعدی از ترکیب داده‌های SRTM و نقشه زمین شناسی منطقه مورد مطالعه. ب- مقطع عرضی نمادین ترسیم شده از گسل F<sub>1</sub> که در راستای AB در روی شکل الف مشخص شده است (اغراق در جهت قائم).

#### F<sub>2</sub>- ۴-۱- گسل

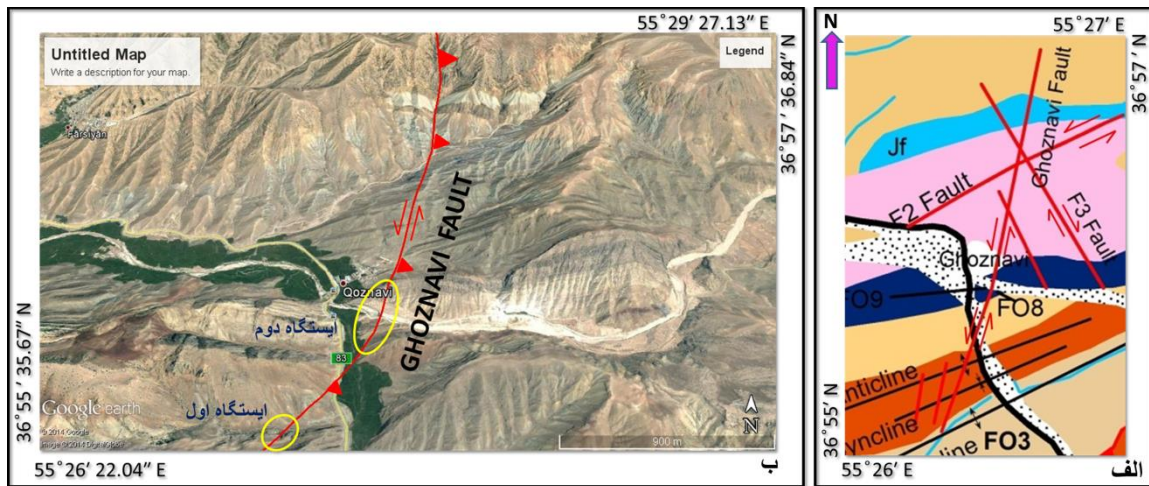
این گسل به طول تقریبی ۳ کیلومتر در شمال روستای غزنوی در داخل دره منتهی به معدن زغال سنگ غزنوی می‌باشد (شکل ۲۹-۳). با توجه به اینکه گسل F<sub>2</sub> در داخل سازندی با لیتولوژی فرسایش پذیر (سازند شمشک) می‌باشد، در مطالعات صحرایی سطح گسل قابل رخنمون نبود، با این شرایط ما در مورد مولفه شیب‌لغزی گسل با قاطعیت نمی‌توانیم اظهار نظر کنیم، ولی با توجه هم راستا و نزدیکی گسل F<sub>2</sub> با گسل‌های طولی محدوده مورد انتظار می‌رود که مولفه شیب‌لغزی مشابه داشته باشند. با جابجایی ایجاد شده در طرفین بلوك گسلی می‌توان به مولفه امتدادی گسل پی‌برد. در نتیجه سازوکار گسل F<sub>2</sub> انتظار می‌رود مورب‌لغز چپبر با مولفه شیب‌لغز معکوس باشد.



شکل ۳-۲۹-۳- بخشی از نقشه زمین شناسی منطقه مورد مطالعه که گسل  $F_2$  بر روی آن مشخص شده است (تهیه شده بر پایه نقشه زمین شناسی چهار گوش خوش بیلاق با مقیاس ۱:۱۰۰۰۰۰ با اضافات و تغییرات). ب - تصویر ماهواره‌ای گسل  $F_2$  بر روی تصویر ماهواره‌ای لندست بر گرفته از (Google earth).

### ۱-۵-۱-۱- گسل غزنوی :

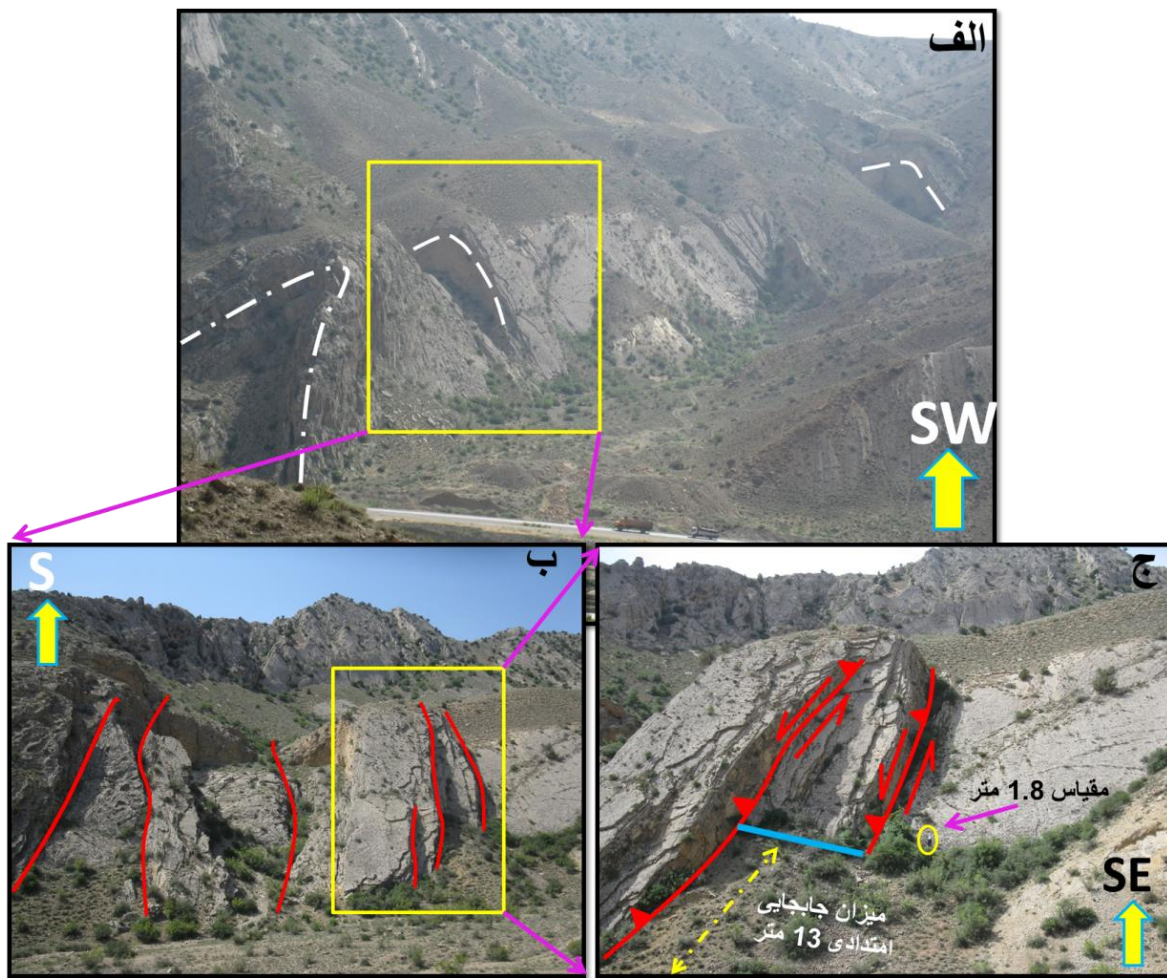
این زون گسلی اولین بار توسط جعفریان و همکاران (۱۳۸۳) در نقشه زمین شناسی خوش بیلاق با مقیاس ۱:۱۰۰۰۰۰ تنها به صورت یک خطواره کوچک در شمال روستای غزنوی نشان داده شده است. با بررسی تصاویر دورسنجی و بازدیدهای صحراوی می‌توان به این نکته پی‌برد که این منطقه یک گسل نیست بلکه بصورت یک زون گسله با عرض تقریباً ۲۰۰ متر می‌باشد. که دارای امتدادی تقریباً شمالی – جنوبی و به طول ۴ کیلومتر می‌باشد. زون گسله موجود برای اولین بار در این پژوهش شناسایی و نامگذاری شده است. با توجه به این که این زون گسله هم‌جوار با روستای غزنوی می‌باشد، نام گسل، غزنوی نامگذاری شده است. این زون گسلی باعث دگریختی سازندهای خوش بیلاق (دونین زیرین)، مبارک (کربنیفر زیرین)، دورود (پرمین زیرین)، روتله (پرمین میانی)، الیکا (تریاس زیرین)، شمشک (ژوراسیک)، فارسیان (ژوراسیک بالایی) و نهشته‌های پلیوسن گردیده است (شکل ۳-۳۰-۳-الف). با توجه به اینکه این گسل باعث دگریختی نهشته‌های پلیوسن شده است می‌توان استنباط کرد که در بازه نوزمین ساختی نیز فعالیتی داشته است. با توجه به جابجایی‌های طرفین سطح گسل در تصاویر دورسنجی، مشاهدات صحراوی و شاخص‌های زمین شناسی دیگر می‌توان به مولفه امتدادی این گسل به صورت چپ بر در منطقه پی‌برد (شکل ۳-۳۰-۳-ب).



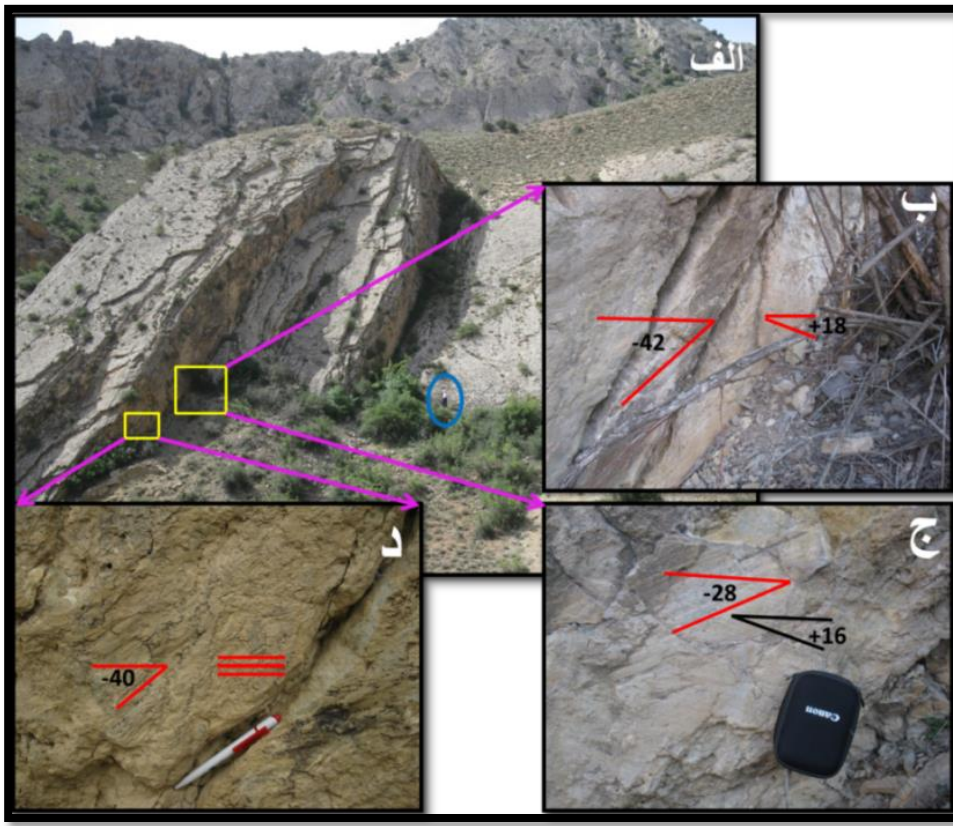
شکل ۳-۳-الف-بخشی از نقشه زمین شناسی منطقه مورد مطالعه که گسل غزنوی بر روی آن مشخص شده است ( تهیه شده بر پایه نقشه زمین شناسی چهار گوش خوش بیلاق با مقیاس ۱:۱۰۰۰۰۰ با اضافات و تغییرات). ب-موقعیت ایستگاه-های برداشت داده از گسل غزنوی بر روی تصویر ماهواره‌ای لندست بر گرفته از (Google earth)

#### هندسه و سازوکار گسل غزنوی

این گسل در محدوده مطالعاتی در ۲ ایستگاه برداشت و مورد مطالعه قرار گرفته است، محل ایستگاه‌های را می‌توان در تصویر ماهواره‌ای که از (Google earth) گرفته شده است، مشاهده نمود (شکل ۳-۴-ب). ایستگاه اول، در موقعیت جغرافیایی "۵۵°۵۵' ۴۲.۰۵' شمالي و "۵۵°۳۶' ۲۷.۰۰' خاوری می‌باشد. در این ایستگاه طرفین سطح گسل آهک‌های مبارک می‌باشند. در این ایستگاه می‌توان تعدادی زیادی گسل با فاصله نزدیک به هم مشاهده نمود که باعث دگریختی زیادی را در سازند مبارک شده است (شکل ۳-۴-۳). حضور سه نسل خشنگز بر روی سطحی با موقعیت  $E\text{ }80^{\circ}\text{W}, N\text{ }10^{\circ}$  که به ترتیب با زاویه ریک ۴۰ درجه پادساعتگرد، افقی و ۱۷ درجه ساعتگرد را مشاهده نمود (شکل ۳-۴-۳). یعنی این گسل حداقل سه فاز حرکتی را تحمل کرده است، با توجه به قاعده برش خراش گسلی قطع کننده خراش‌های گسلی دیگر از نظر سنی جوان‌تر بوده و در نتیجه خراش گسلی با زاویه ریک ۴۰ درجه پادساعتگرد قدیمی‌ترین فاز و جدیدترین حرکت نیز مربوط به خراش‌های ۱۷ درجه ساعتگرد می‌باشد. با توجه به جابجایی‌های طرفین سطح گسل که تقریباً ۱۳ متر می‌باشد، می‌توان به مولفه امتدادی چپ‌بر گسل پی‌برد.



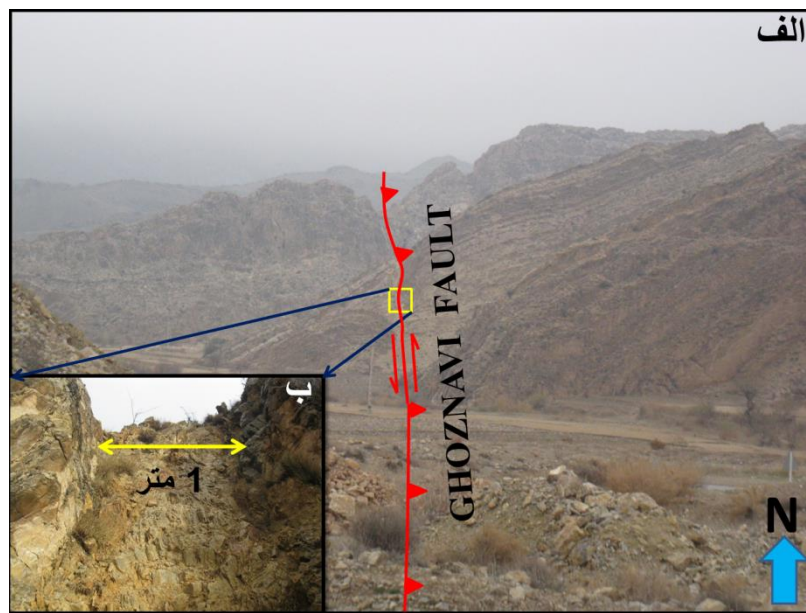
شکل ۳-۳۱-الف - نمای صحراوی دور از زون گسلی در ایستگاه اول در جنوب روستای غزنوی (دید به سمت شمال باختری)، ب - نمای نزدیک از کادر زرد رنگ مشخص شده در قسمت الف برای نشان دادن دگریختگی‌های ایجاد شده توسط گسل‌های موجود در این زون گسلی، ج - نمای نزدیک از کادر زرد رنگ مشخص شده در قسمت ب برای نشان دادن میزان جابجایی‌های ایجاد شده که به میزان ۱۳ متر می‌باشد و مولفه امتدادی این گسل چپبر می‌باشد.



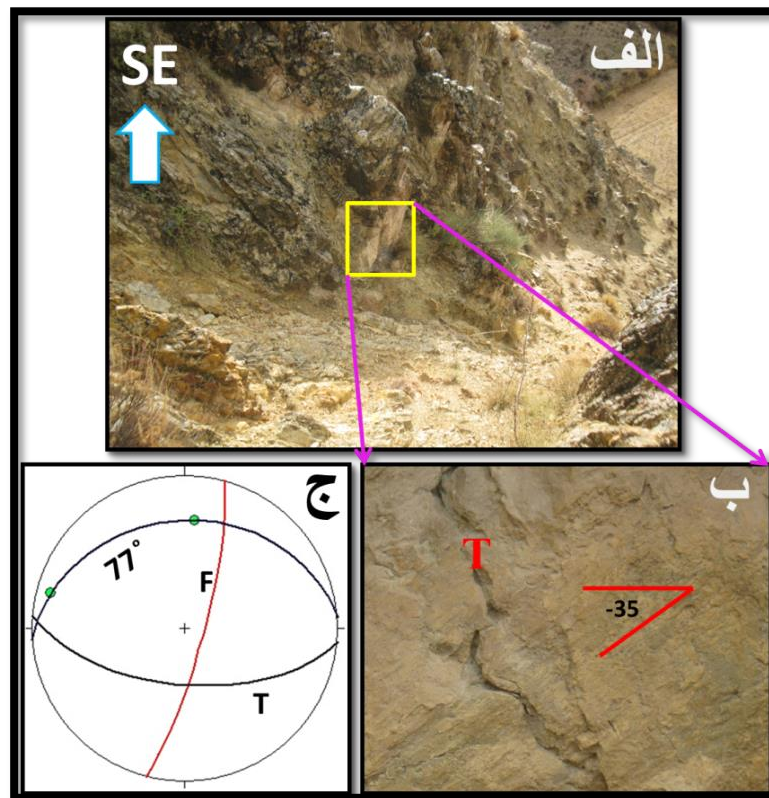
شکل ۳-۳۲-۳- نمایی از سطح گسل (دید به سمت شمال باختری) ایستگاه اول، الف - تصویر صحرایی از سطح گسل غزنوی با موقعیت  $N^{\circ} 80 E, W^{\circ} 110$ ، ب، ج، د- نمای نزدیک از سطح گسل برای نشان دادن خراش‌های موجود در گسل.

ایستگاه دوم، در موقعیت جغرافیایی  $13^{\circ} 03' 27''$  شمالی تا  $4^{\circ} 24' 56''$  میانگین و  $55^{\circ}$  خاوری در سمت خاوری پل تاریخی روستای غزنوی می‌باشد. در این ایستگاه هر دو بلوک گسلی از سازند الیکا (تریاس زیرین) تشکیل شده است. در این ایستگاه عملکرد گسل باعث ایجاد زون خرد شده‌ای در آهک‌های الیکا ایجاد کرده است، این منطقه گسلی (Fault Zone) با عرض حدود یک متر در شکل نشان داده شده است (شکل ۳-۳-۴- ب).

در این ایستگاه میانگین موقعیت سطح گسل  $N^{\circ} 78 SE, W^{\circ} 15 E$  می‌باشد و وجود شکستگی ریدل از نوع T که عمود بر خشنگ با موقعیت  $S^{\circ} 60 S, W^{\circ} 85$  و با سطح گسل زاویه ۷۷ درجه می‌سازد. با توجه به اینکه نوک گوهای که شکستگی T با سطح گسل می‌سازد در جهت خلاف حرکت بلوک گم شده می‌باشد. در نتیجه جهت حرکت گسل بصورت چپ بر می‌باشد(شکل ۳-۴-۳).



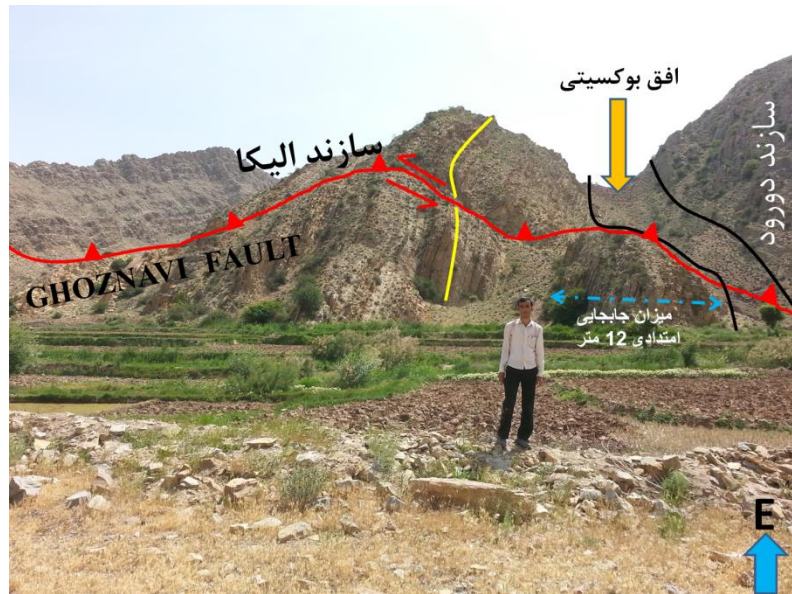
شکل ۳-۳-الف- نمایی صحرایی از ایستگاه دوم بر روی گسل غزنوی (دید به سمت شمال)، ب - نمای نزدیک از کادر مشخص شده در شکل الف، منطقه گسلی(Fault Zone) ایجاد شده توسط گسل غزنوی به میزان یک متر.



شکل ۳-۳-ج- الف- نمایی از سطح گسل غزنوی در ایستگاه دوم با موقعیت N $15^{\circ}$ E, ۷۸SE در داخل سازند الیکا (دید به سمت جنوب خاوری)، ب - نمایی نزدیک از کادر مشخص شده در شکل الف، شکستگی T و تقاطع خراش‌های گسلی موجود در سطح گسل، ج - استریوگرام نشان دهنده زاویه بین سطح گسل و شکستگی T.

### فصل سوم : زمین شناسی ساختمانی

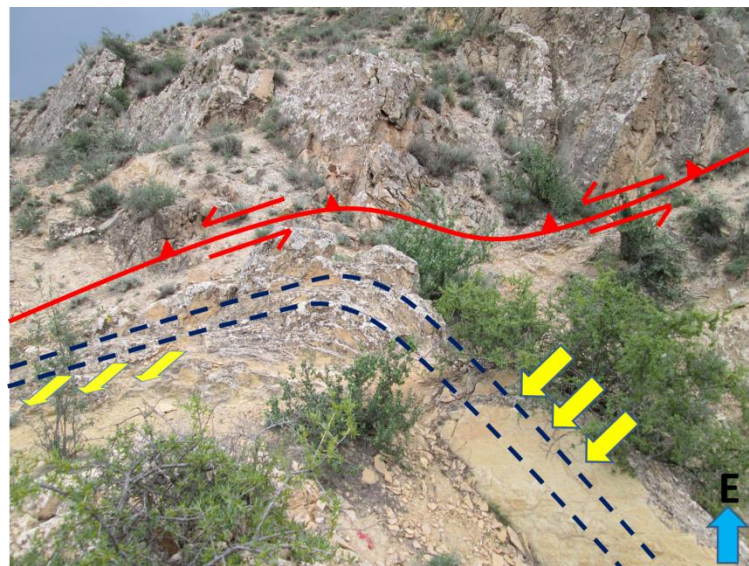
شاهد دیگری که مولفه چپبر بودن این گسل را تایید می‌نماید، جابجایی‌های اتفاق افتاده در دو طرف بلوك‌های گسلی در مرز بین سازند الیکا و دورود می‌باشد، که حداقل جابجایی اتفاق افتاده در سمت شرق جاده آسفالت شاهروд به آزادشهر در نزدیکی پل غزنوی به میزان ۱۲ متر می‌باشد (شکل ۳-۳۵).



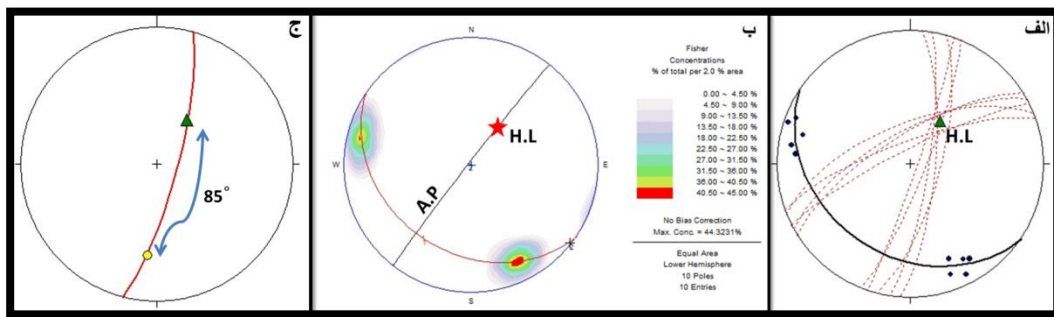
شکل ۳-۳۵- نمایی از گسل غزنوی در ایستگاه دوم (دید به سمت خاوری) میزان جابجایی‌های امتدادی در این ایستگاه به اندازه ۱۲ متر می‌باشد که در شکل نشان داده شده است.

موقعیت لایه‌بندی سازند الیکا در این ایستگاه در کنار گسل دچار چین‌خوردگی گردیده است. با برداشت موقعیت میانگین یال‌های این چین می‌توان به سازوکار این گسل پی‌برد. با توجه به فاصله اندک این چین‌خوردگی با گسل می‌توان این چین را نوعی چین کشیده (Drag fold) حساب کرد (شکل ۳-۳۶). از نشانه‌های هندسی چین‌های کشیده می‌توان به این استنتاج کرد که موقعیت لایه‌بندی واحدهای رسوی در نزدیکی گسل متفاوت‌تر از نواحی دورتر از گسل می‌باشد، موقعیت خط لولای چین نیز بر سطح گسل منطبق و با خشل‌لغز نیز زاویه ۹۰ درجه می‌سازد. با برداشت موقعیت لایه‌بندی سازند الیکا در نقاط دورتر از گسل به صورت میانگین NW<sub>60°</sub>E می‌باشد، در نزدیکی گسل موقعیت لایه‌بندی تغییر کرده و به صورت شمالی - جنوبی قرار گرفته است. داده‌های صحرایی برداشت شده از این چین (پیوست ۲۸)، استریوگرام‌های حاصل از این برداشت در (شکل ۳-۳۷-الف، ب) مشاهده می‌شود. بر اساس استریوگرام-

های حاصل، خط لولای این چین دارای موقعیت ۳۱۶/۸۴ و سطح محوری آن دارای موقعیت ۵۸/۰۳۴ می باشد. موقعیت خط لولا بر سطح گسل منطبق و با خش لغز که دارای موقعیت ۱۸۶/۳۴ است، زاویه ۸۵ درجه‌ای می‌سازد (شکل ۳-۳۷-ج). در چین‌های کشیده سمت خمیدگی چین جهت حرکت بلوک حامل را نشان می‌دهد، با توجه به این اصل نحوه حرکت در این ایستگاه بصورت چپ‌بر می‌باشد.



شکل ۳-۳۶-نمایی از چین کشیده (Drag fold) که تحت تاثیر گسل غزنوی با موقعیت N۱۵E, ۷۸SE ایجاد شده است(دید به سمت شرق)



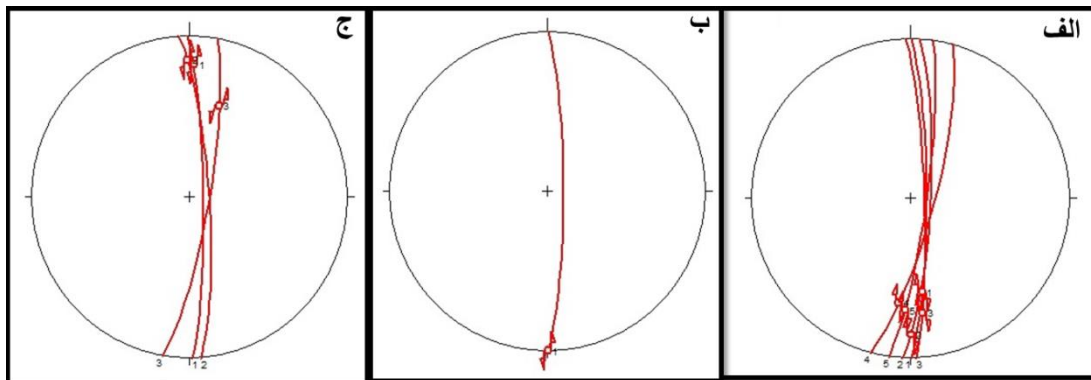
شکل ۳-۳۷-استریوگرام حاصل از داده‌های برداشت شده از چین کشیده، الف-نمودار  $\beta$  و نمودار  $\pi$  و تعیین خط لولا (H.L) با موقعیت (۵۸/۰۳۴). ب: نمودار کنتور یال های چین به منظور تعیین زاویه بین یالی (۵۹)، و تعیین موقعیت سطح محوری (A.P) با موقعیت (۳۱۶/۸۴)، ج - استریوگرام رسم شده از چین و سطح گسل غزنوی، موقعیت لولا، خش لغز و زاویه بین آنها که ۸۵ درجه می‌باشد در استریوگرام نشان داده شده است.

استریوگرام‌های مربوط به داده‌های برداشت شده (پیوست ۴) از سطح گسل غزنوی در ایستگاه‌های مختلف، که استریوگرام هر کدام از فازهای رخ داده بر روی گسل بصورت جداگانه همراه با خش لغز نشان

### فصل سوم : زمین شناسی ساختمانی

داده شده است (شکل ۳۸-۳)، که موقعیت میانگین این خراش‌های گسلی از قدیمی‌ترین به جدیدترین فاز

به ترتیب ۳۳/۱۷۹، ۰۰/۱۸۰ و ۲۷/۰۰۷ می‌باشند.



شکل ۳۸-۳ - استریوگرام مربوط به داده‌های برداشت شده از سطح گسل غزنوی همراه با موقعیت خراش‌های گسلی، الف- سطوح گسلی دارای خراش‌های با زاویه ریک پاد ساعتگرد مربوط به اولین فاز رخ داده بر روی گسل غزنوی با مولفه مورب‌لغز راست‌بر و کمی مولفه شیب‌لغز معکوس، ب - سطوح گسلی دارای خراش‌های افقی مربوط به دومین فاز رخ داده بر روی گسل غزنوی با مولفه راست‌لغز ، ج - سطوح گسلی دارای خراش‌های با ریک ساعتگرد مربوط به جدیدترین فاز رخ داده بر روی گسل غزنوی با مولفه مورب‌لغز چپ‌بر با کمی مولفه شیب‌لغز معکوس.

با توجه به ترسیم نمودار گل سرخی امتدادی و شیبی برای داده‌های برداشت شده از سطح گسل غزنوی

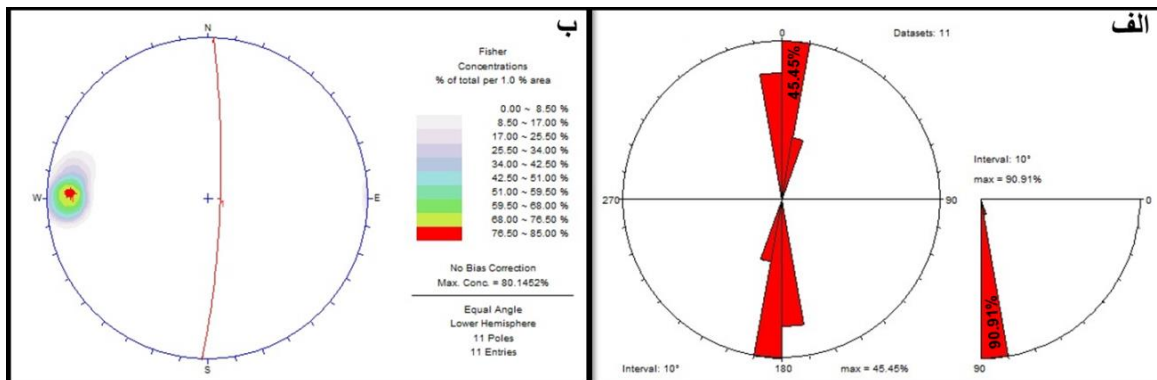
(شکل ۳۹-الف) نشان می‌دهد که ۴۵.۴۵ درصد داده‌های اندازه‌گیری شده از سطح گسل زردابه دارای

امتدادی ۱۰-۰ درجه می‌باشند، همچنین ۹۰.۹۱ درصد داده‌ها شیبی بین ۹۰ - ۸۰ درجه شیب دارند.

بنابراین گسل غزنوی، یک گسل با روند تقریباً شمالی - جنوبی و با شیبی به سمت خاوری است. در

نتیجه با ترسیم نمودار همتراز قطب داده‌های برداشت شده از سطح گسل، وضعیت این گسل از نظر

هندسی دارای موقعیت میانگین  $E, 81E, 3N$  می‌باشد (شکل ۳۹-ب).



شکل ۳-۳۹-الف- نمودار گل سرخی شبیه و امتدادی مربوط به داده‌های برداشت شده از سطح گسل غزنوی در دو ایستگاه برداشت شده، ب - کنتوردیاگرام تراکم قطب صفحات گسلی و بدست آوردن موقعیت غالب  $N 81^{\circ} E, S 81^{\circ} W$  برای گسل غزنوی.

### ۱-۶-۱- گسل

در منطقه غزنوی علاوه بر گسل‌های عرضی با راستای تقریباً شمالی – جنوبی گسل‌های دیگری نیز با راستای شمال باختری – جنوب خاوری وجود دارند. همانطور که در (شکل ۳-۴۰) برخی از این گسل‌ها را مشاهده می‌کنید، این گسل‌ها در سمت شمال خاوری روتاستا غزنوی با راستای شمال باختری – جنوب خاوری و شبی به سمت شمال خاوری قرار دارند. این دسته گسل‌ها با توجه به اینکه طول بیشتر آنها در سازند شمشک با جنس فرسایش پذیر می‌باشد، نمیتوان سطح گسل را مشاهده نمود. ولی امتداد این دسته گسل در سازند آهکی الیکا (تریاس زیرین) و نهشته‌های پلیوسن نیز رخنمون دارد. با توجه به این که این دسته گسل‌ها رسوبات نهشته‌های پلیوسن را قطع کرده‌اند، می‌توان استنباط کرد که این گسل‌ها در بازه نوزمین ساختی نیز فعالیت داشته‌اند. ما در این دسته گسل‌ها برای برداشت داده‌های سطح گسل بر روی سازند الیکا و نهشته پلیوسن ایستگاه‌هایی داشتیم که می‌توان موقعیت این ایستگاه‌ها را در (شکل ۳-۴۰) مشاهده نمود. در این ایستگاه‌ها میانگین موقعیت سطح گسل  $N 80^{\circ} NE, S 80^{\circ} W$  بدست آمده است. با توجه به جابه‌جایی‌های رخ داده در واحدهای سنگی طرفین سطح و جابه‌جایی آبراهه‌ها می‌توان به مولفه امتدادی راستبر برای این دسته گسل‌ها پی‌برد (شکل ۳-۴۰-ب). در ایستگاه دوم بر روی نهشته-

### فصل سوم : زمین شناسی ساختمانی

های پلیوسن در سطح گسل می‌توان شکستگی‌های قطعات کنگلومرا که توسط گسل ایجاد شده‌اند را

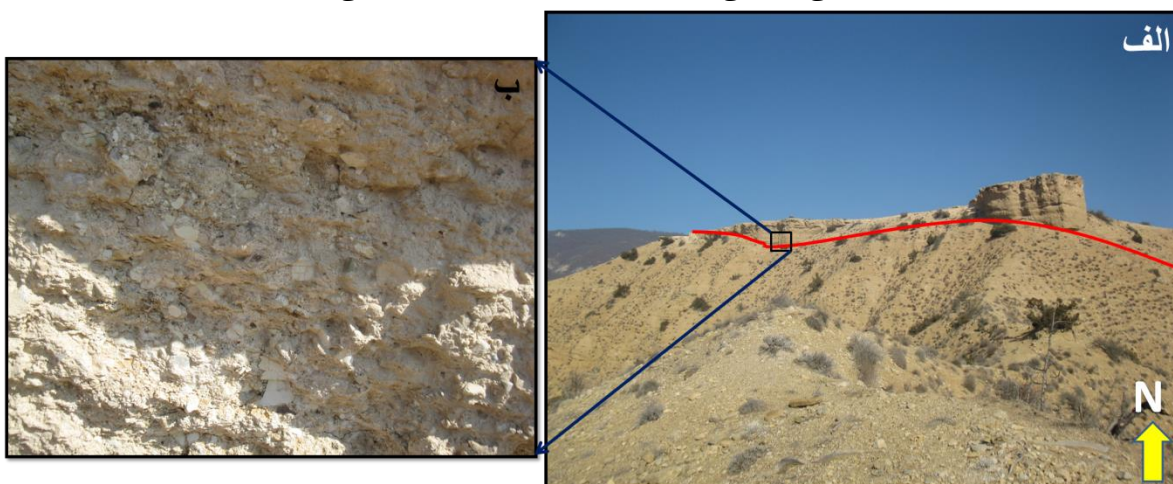
مشاهده نمود (شکل ۳-۴۲).



شکل ۳-۴۰- موقعیت ایستگاه‌های برداشت داده از گسل‌های بر روی تصویر ماهواره‌ای لندست بر گرفته از Google (earth)



شکل ۳-۴۱-۳- الف- نمایی صحرایی از ایستگاه اول بر روی گسل‌های عرضی(دید به سمت شمال)

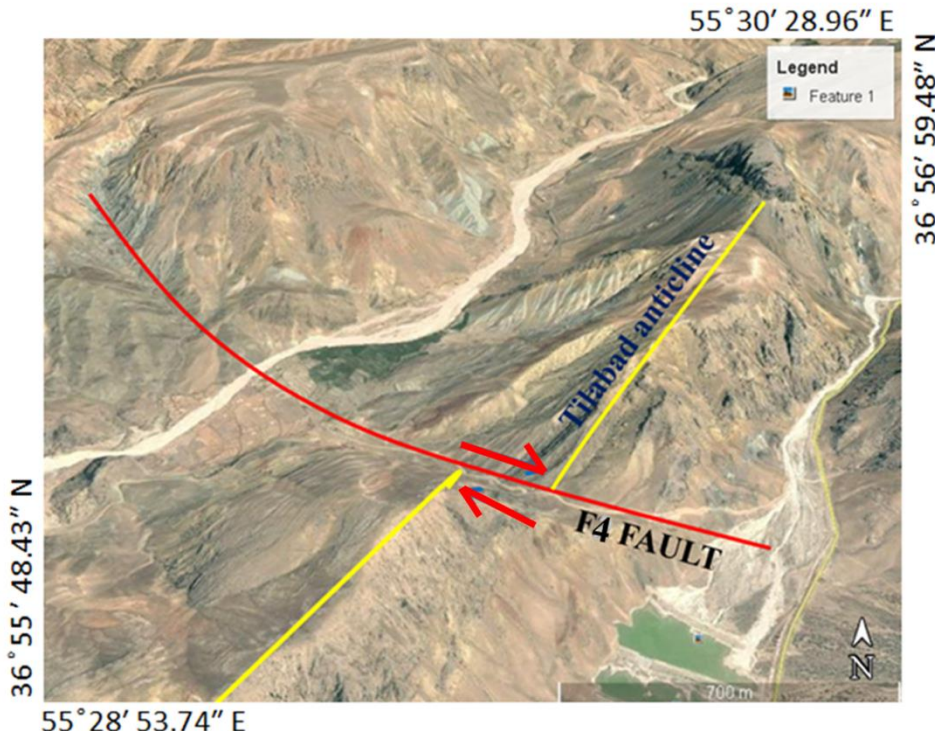


شکل ۳-۴۲-۳- الف - نمایی صحرایی دور از گسل عرضی در ایستگاه دوم شمال روستای غزنوی (دید به سمت شمال)، ب - نمای نزدیک از کادر مشخص شده در قسمت الف برای نشان دادن شکستگی قطعات کنگلومرا در سطح گسل.

### F<sub>3</sub>-۱-۱- گسل

این گسل یکی دیگر از گسل‌های عرضی محدوده مورد مطالعه در شمال خاوری روستای تیلآباد می‌باشد، به طول تقریبی ۲ کیلومتر می‌باشد. گسل F<sub>3</sub> تقریباً عمود بر تاقدیس تیلآباد و به صورت عرضی نسبت به

گسل‌های طولی منطقه ایجاد شده است. این گسل باعث دگریختی و ایجاد دره گسلی را در سازندهای مبارک، الیکا، شمشک با راستای شمال باختری - جنوب خاوری گشته است. در مطالعات صحرایی سطح گسل قابل رخنمون نبود، در مورد مولفه راستالغزی گسل با توجه به جابجایی‌های ایجاد شده در بلوک‌های طرفین گسل مثل سطح محوری تاقدیس تیلآباد و سازندهای مقابل به مولفه امتدادی این گسل بصورت راستبر می‌باشد (شکل ۴۳-۳).



شکل ۴۳-۳ - گسل F<sub>4</sub> بر روی تصویر ماهواره‌ای لندست بر گرفته از (Google earth)

### ۱-۲- چین خوردگی‌ها

چین‌ها به صورت اشکال موجی شکلی می‌باشند، که در طی دگرشكلي لایه‌های سنگی، مانند طبقات رسوبی توسعه می‌یابند. وقتی که طبقات سنگی تحت تاثیر نیروهای تکتونیکی قرار می‌گیرند، با گذشت زمان خمیده و از حالت اولیه خارج شده و چین می‌خورند (تویس و مور<sup>۱</sup>، ۱۹۹۲). ابعاد چین‌ها از چند

<sup>۱</sup> Twiss and Moores

میلیمتر تا چندین کیلومتر در تغییر بوده و یکی از پرجاذبه‌ترین ساختارهای زمین شناسی هستند، که در هر نوع سنگی، محیطی و عمقی قابل مشاهده می‌باشند. معنا و مفهوم چین خوردگی در طی گذشت زمان تغییرات زیادی را تجربه کرده است، از دهه ۱۹۶۰ به بعد شکل امروزی تئوری چین‌ها مطرح شده است. چین‌ها بصورت مهمترین پنجره‌ای هستند که سرگذشت دگریختی پوسته زمین را برای ما روشن می-کنند. چین‌ها از نظر اقتصادی برای شناسایی تله‌های نفتی و از نظر اکتشافات کانسارها و سایر کانی‌ها ارزش بسیار زیادی برخودار می‌باشند (فوزن، ۲۰۱۰).

مطالعات دورسنگی در منطقه مورد مطالعه وجود چین‌هایی با مقیاس بزرگ و کوچک را بصورت تاقدیس و ناویدیس و رخنمونی از لایه‌های تک شیب، در سازندهای با سن مختلف را نشان می‌دهد، مشاهدات صحرایی نیز این اطلاعات بدست آمده را تایید می‌نماید. برخی از این چین‌های بزرگ در مطالعات قبلی نامهایی از قبیل تاقدیس تیلآباد و غزنوی بر آنها نهاده شده است. برخی از این چین‌های بزرگ برای اولین بار در این پژوهش شناسایی و مورد مطالعه قرار گرفته است که اسم این چین‌ها در این پژوهش ناویدیس تیلآباد، ناویدیس غزنوی و تاقدیس سرچشمہ نامگذاری شده است.

اندازه‌گیری چین‌های منطقه مورد مطالعه با برداشت تقریباً ۴۳۲ بار موقعیت صفحه لایه‌بندی که نتیجه آن مربوط به ۲۸ چین بوده است. اطلاعات بدست آمده با استفاده از این چین‌ها با استفاده از نرم‌افزارهای استریوگرافیک مورد تجزیه و تحلیل قرار گرفته و جایگاه آنها بر اساس طبقه بندی فلوتی (۱۹۶۴) و ریکارد (۱۹۷۱) مشخص شده است. نتایج بدست آمده از این مطالعات روند غالب چین خوردگی در این ناحیه را شمال خاوری – جنوب باختری نشان می‌دهد.

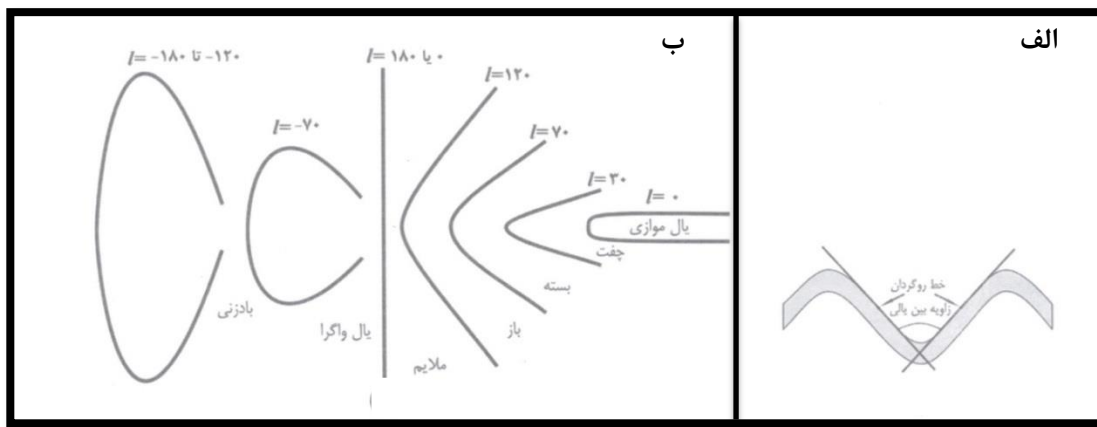
**طبقه بندی چین‌ها:**

## فصل سوم : زمین شناسی ساختمانی

چین‌ها را می‌توان از نظرهای گوناگون طبقه‌بندی کرد. در این پژوهش ما طبقه‌بندی چین‌ها را بر اساس زاویه بین یالی (فلوتوی، ۱۹۶۴)، در تقسیم‌بندی دیگر بر اساس شیب سطح محوری و میل لولای (فلوتوی، ۱۹۶۴) و طبقه‌بندی ریکارد (۱۹۷۱) استفاده شده است.

### تقسیم‌بندی بر اساس زاویه بین یالی:

زاویه بین یالی عبارت است از زاویه بین دو سطح که از محل خط روگردان (inflection line) بر دو یال متقابل چین منطبق می‌گردد (شکل ۴-۳). با کاهش طول موج چین (در حالی که دامنه چین متناسب با آن کاهش نیابد) یا افزایش دامنه چین (در حالی که طول موج متناسب با آن افزایش نیابد) زاویه بین یالی کاهش می‌یابد و به عکس. دسته‌بندی چین‌ها از دیدگاه زاویه بین یالی در شکل ۴-۳ خلاصه شده است. (قاسمی، ۱۳۷۸).

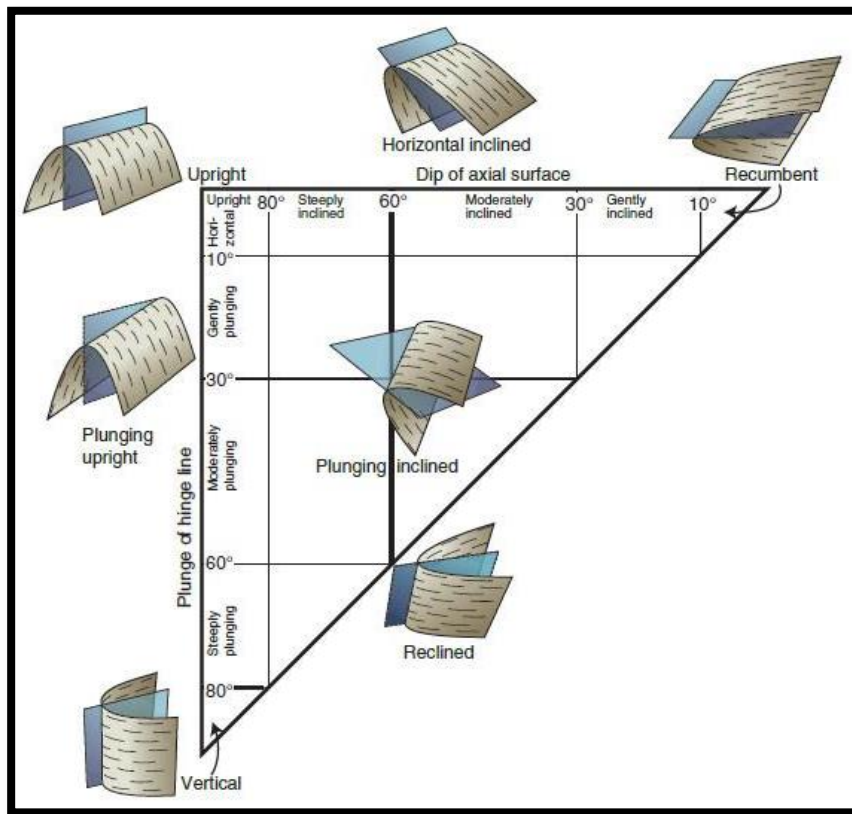


شکل ۴-۳- نامگذاری چین‌ها بر پایه زاویه بین یالی آنها.  $I$  زاویه بین یالی است. هم ارزی انگلیسی کلمات به شرح زیر می‌باشد: (isoclinai)- یال موازی، tight- چفت(فسرده)، close- بسته، open- باز، gentle- ملایم، fan- بادزنی، involute- یال واگرای (involute).

### رده بندی چین‌ها از دیدگاه هندسه :

یکی از روش‌های رده بندی چین‌ها بر پایه وضعیت سطح محوری و خط لولای آن‌ها می‌باشد (شکل ۴-۳). از معمولی‌ترین اصطلاحات این تقسیم‌بندی چین ایستاده (Upright folds)، دارای سطح محوری عمودی

و خط لولای افقی، چین‌های عمودی (Vertical folds)، دارای سطح محوری و خط لولای عمودی و چین‌های خوابیده (Recumbent folds)، دارای سطح محوری و خط لولای افقی می‌باشد (فلوتی، ۱۹۶۴).



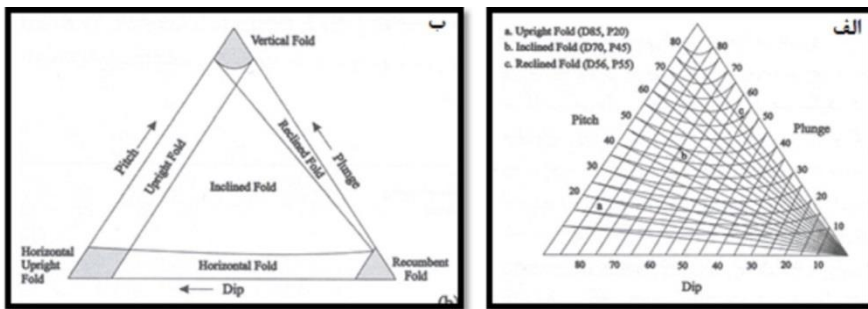
شکل ۳-۴۵-۴۵- رده بندی چین‌ها با توجه به وضعیت صفحه محوری و خط لولا (فلوتی، ۱۹۶۴) (برگرفته از فوزن، ۲۰۱۰،<sup>۳</sup>) طبقه بندی ریکارد:

ریکارد طبقه‌بندی فلوتی را بسط بیشتری داد و دیاگرام مثلثی (شکل ۳-۴۶-الف) را ارائه کرد (ریگن، ۲۰۰۹). این دیاگرام بر اساس شیب محور، سطح محوری و ریک (زاویه بین امتداد و خط روی صفحه مایل) محور روی سطح محوری طراحی شده است. با داشتن دو پارامتر، پارامتر سوم را می‌توان به دست آورد. پس از آنکه محل چین را روی دیاگرام مثلثی مشخص کردیم (شکل ۳-۴۶-الف) به کمک دیاگرام دیگر (شکل ۳-۴۶-ب) نام چین به راحتی معلوم خواهد شد.

<sup>۱</sup> Fleuty

<sup>۲</sup> Fossen

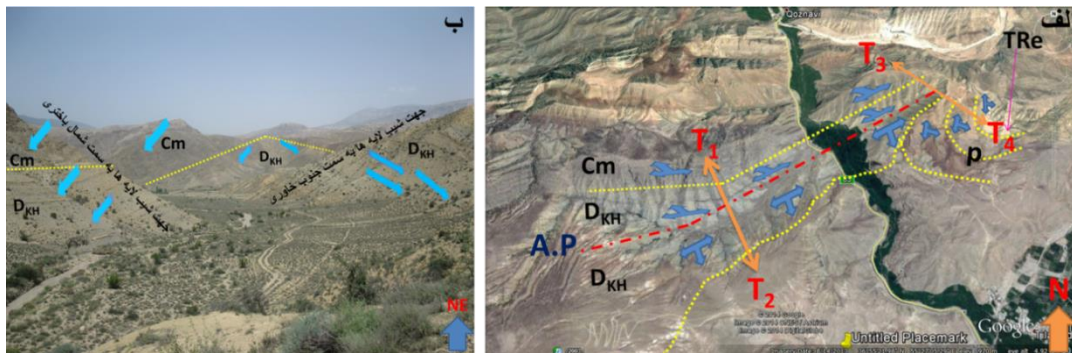
<sup>۳</sup> Ragan



شکل ۳-۴۶-۳- ردی بندی چین‌ها از دیدگاه ریکارد (۱۹۷۱)

#### ۱-۲-۱- تاقدیس سرچشم

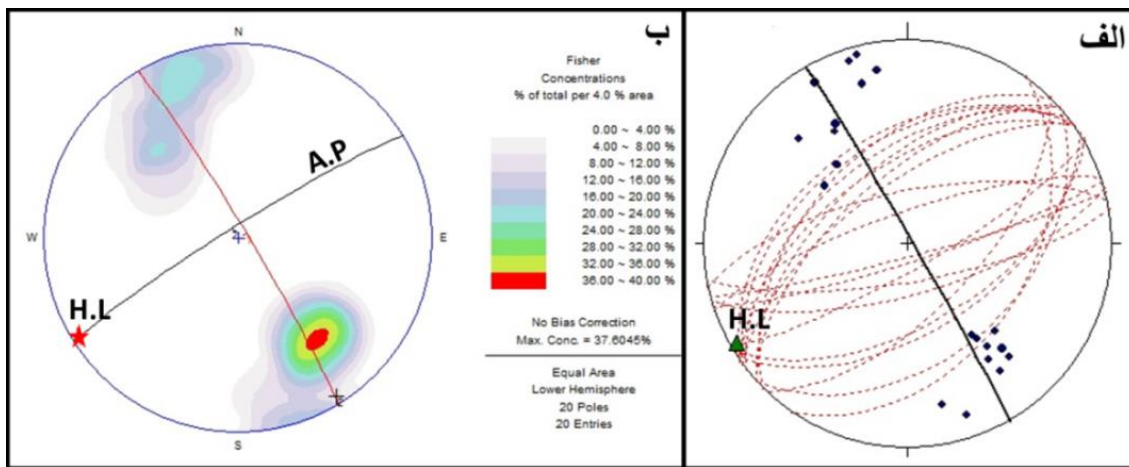
این تاقدیس در مرکز محدوده مورد مطالعه به طول ۳ کیلومتر، حدفاصل روستای تیل آباد - غزنوی برای اولین بار در این پژوهش شناسایی و نامگذاری شده است. این تاقدیس دارای محور شمال خاوری - جنوب باختری می‌باشد. برای مطالعه ویژگی‌های هندسی این تاقدیس دو پیمایش،  $T_1 T_2$  و  $T_2 T_4$  بر روی این تاقدیس صورت گرفته است (شکل ۳-۴۷-۳-الف). در پیمایش  $T_1 T_2$  واحدهای سنگی رخنمون یافته در یال شمال باختری سازند خوش ییلاق، مبارک و در یال جنوب خاوری فقط سازند خوش ییلاق می‌باشد. اما در پیمایش  $T_2 T_4$  در یال شمال خاوری سازندهای الیکا، روتله، دورود و خوش ییلاق و در یال شمال باختری نیز سازند خوش ییلاق و مبارک رخنمون دارد. هسته این تاقدیس در بخش بالایی سازند خوش ییلاق (شیل و آهک) می‌باشد (شکل ۳-۴۷-۳-ب).



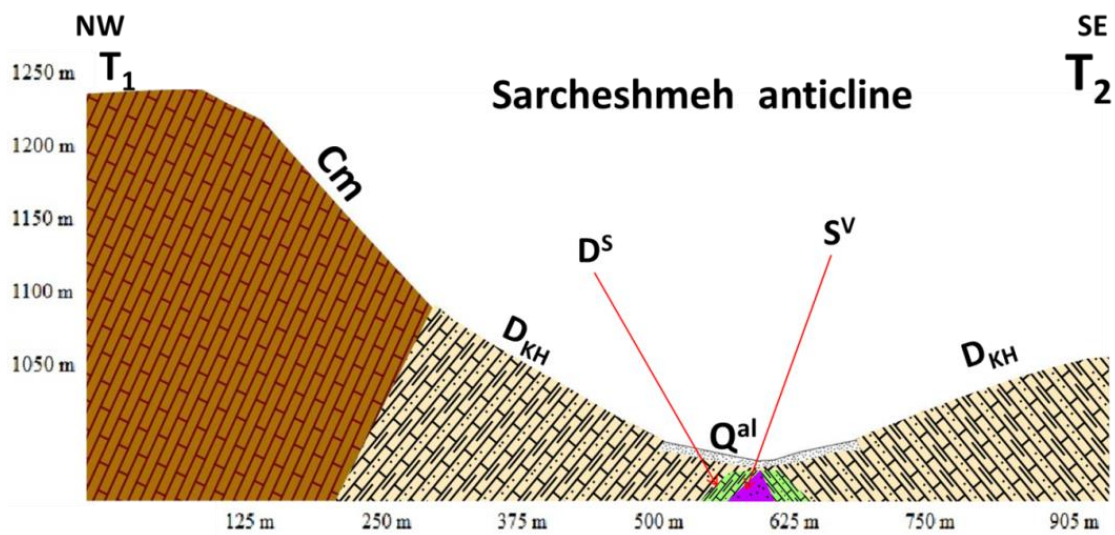
شکل ۳-۴۷-۳-الف: تصویر ماهواره‌ای لندست (Google earth) از تاقدیس سرچشم -  $T_1 T_2$  و  $T_2 T_4$  مسیر پیمایش‌ها جهت برداشت مشخصات هندسی لایه بندی تاقدیس و رسم مقطع شماتیک از تاقدیس (شکل ۳-۴۹-۳). A.P. سطح محوری،  $D_{KH}$  سازند خوش ییلاق (دونین میانی)، Cm سازند مبارک (کربنیفر بالایی)، p سازند دورود و روتله (پرمین) و TRe سازند الیکا (تریاس میانی). خط چین‌های زرد رنگ مرز چینه شناسی واحدهای سنگی می‌باشد، و در تصاویر با فلش‌هایی جهت شیب لایه بندی مشخص شده است. ب: تصویر صحراهای از تاقدیس روی سازند خوش ییلاق (دید به سمت شمال خاوری)

### ۱-۲-۱-۱- تاقدیس سرچشمه در پیمایش $T_1T_2$

این پیمایش در جنوب باختり این تاقدیس صورت گرفته است. با بررسی استریوگرامهای به دست آمده از موقعیت لایه‌بندی یال‌های این تاقدیس، موقعیت خط لولا به صورت  $04/240$  و سطح محوری آن نیز با موقعیت  $330/84$  به دست آمده است (شکل ۴۸-۳). زاویه بین دو یال این تاقدیس  $57$  درجه است و بنابر تقسیم‌بندی چین‌ها بر اساس زاویه بین دو یال در رده بسته (Close) و براساس شب سطح محوری و میل لولا در رده چین‌های ایستاده و خط لولا افقی (Upright – Horizontal) می‌باشد. در تقسیم‌بندی ریکارد در رده چین‌های ایستاده (Upright Horizontal Fold) قرار می‌گیرد. برش نمادین از این تاقدیس را می‌توان در (شکل ۴۹-۳) مشاهده نمود. داده‌های اندازه گیری شده در این پیمایش در (پیوست ۶) آورده شده است.



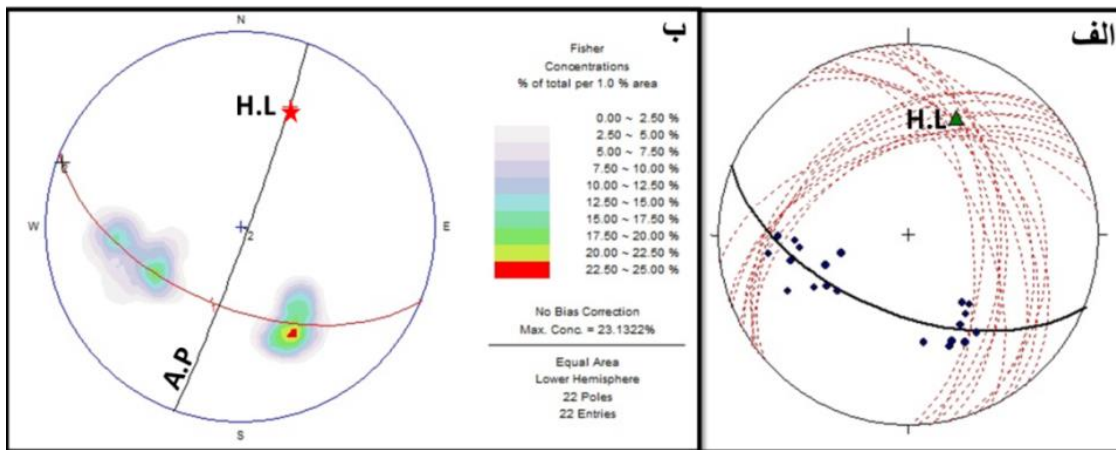
شکل ۴۸-۳- استریوگرام حاصل از داده‌های برداشت شده از تاقدیس سرچشمه در پیمایش  $T_1T_2$ : الف - نمودار  $\beta$  و نمودار  $\pi$  و تعیین خط لولا (H.L) با موقعیت ( $04/240$ ). ب: نمودار کنتور یال‌های چین به منظور تعیین زاویه بین یالی ( $57$ )، و تعیین موقعیت سطح محوری (A.P) با موقعیت ( $330/84$ ).



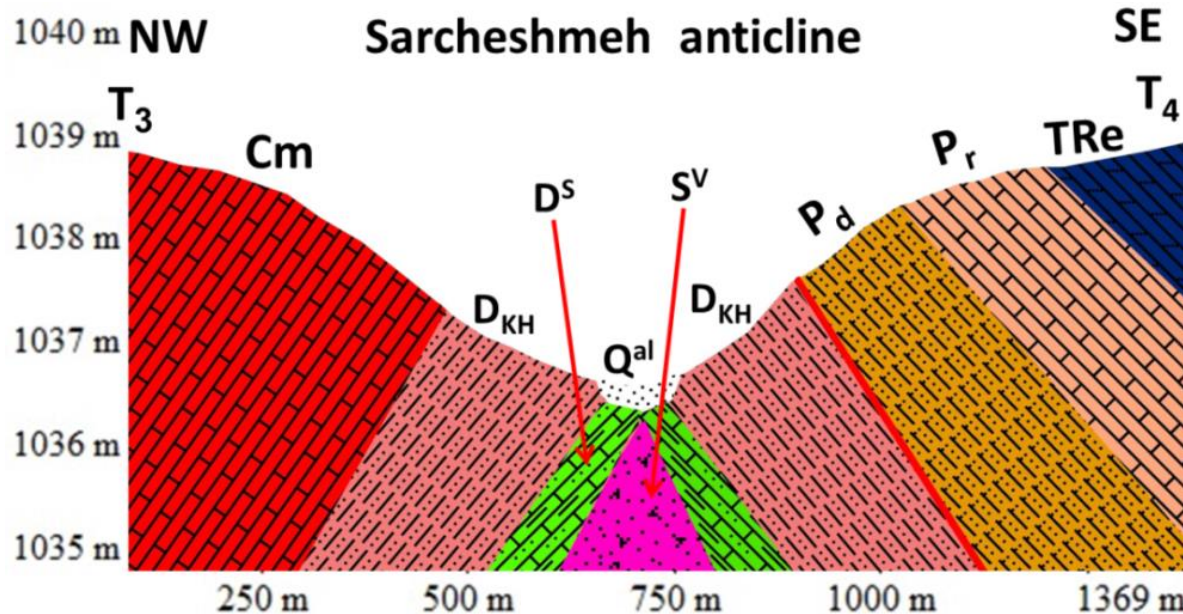
شکل ۳-۴۹-۳ - مقطع نمادین از تاقدیس سرچشمeh در برش  $T_1$ ,  $T_2$  بر روی تصاویر ماهواره‌ای لندست (Google earth) در (شکل ۳-۴۷-۳-الف) نشان داده شده است، جهت مقطع شمال باختری – جنوب خاوری می‌باشد (اغراق در جهت قائم).  
سازنده سلطان میدان،  $D^S$  سازنده خوش بیلاق (دونین میانی)،  $Cm$  سازنده مبارک (کربنیفر بالایی) و  $Q^{al}$  رسوبات آبرفتی رودخانه.

#### ۱-۲-۱-۲-۱- تاقدیس سرچشمeh در پیمايش؛ $T_2$ , $T_1$

این پیمايش در شمال خاوری این تاقدیس صورت گرفته است. استریوگرام‌های مربوط به داده‌های این پیمايش در (شکل ۳-۵۰) مشاهده می‌شود. بر اساس استریوگرام‌های حاصل، خط لولای این چین دارای موقعیت ۳۴/۰۲۲ و سطح محوری آن دارای موقعیت ۱۰۸/۸۷ می‌باشد. زاویه بین دویال این چین ۱۱۰ درجه می‌باشد. بر اساس تقسیم بندی چین‌ها بر اساس زاویه بین یالی (فلوتی، ۱۹۶۴) در رد چین‌های باز (Open) قرار دارد و در تقسیم بندی دیگر بر اساس شیب سطح محوری و میل لولا (فلوتی، ۱۹۶۴) در رد چین‌های ایستاده و با میل کم (Upright – Gently Plunging) قرار می‌گیرد. در تقسیم بندی دیگر بر اساس روش ریکارد در رد چین‌های ایستاده (Upright Fold) قرار دارد. داده‌های اندازه گیری شده در این پیمايش در (پیوست ۷) آورده شده است. برش نمادین از این پیمايش را می‌توان در (شکل ۳-۵۱) مشاهده نمود.



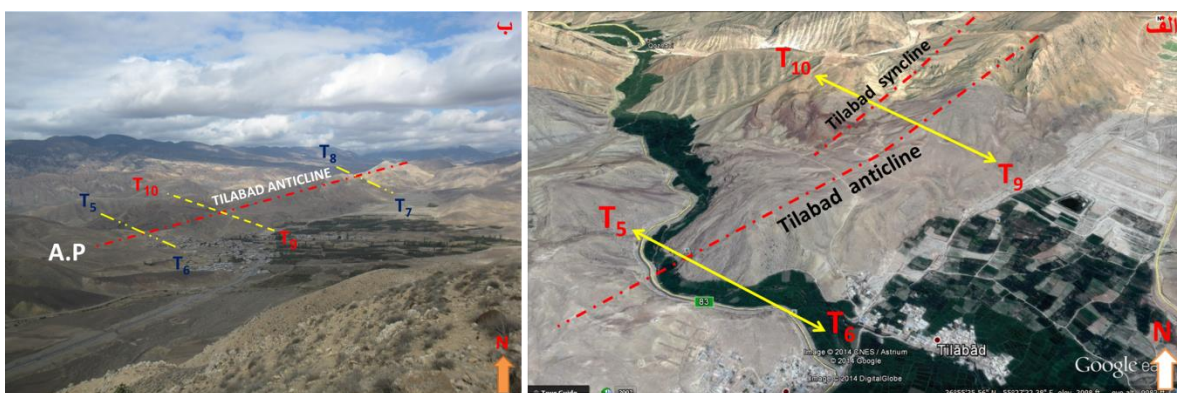
شکل ۳-۵۰-۳- استریوگرام حاصل از داده های برداشت شده از تاقدیس سرچشم در پیمایش  $T_3-T_4$  و نمودار  $\beta$  و نمودار  $\pi$  و تعیین خط لولا (H.L) با موقعیت ( $34^{\circ}0'22''$ ). ب: نمودار کنتور یال های چین به منظور تعیین زاویه بین یالی ( $110^{\circ}$ ), و تعیین موقعیت سطح محوری (A.P) با موقعیت ( $10^{\circ}8'47''$ ).



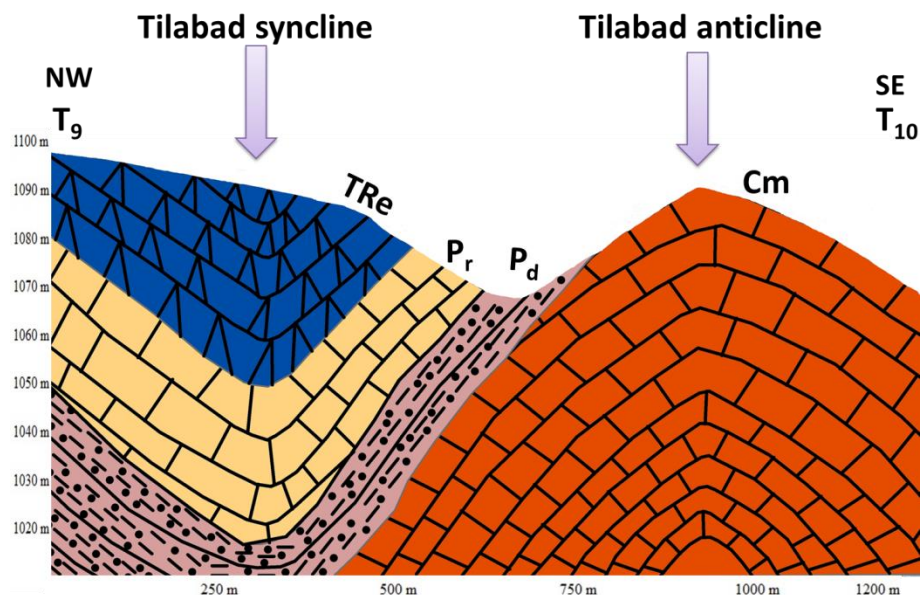
شکل ۳-۵۱-۳- مقطع نمادین از تاقدیس سرچشم در برش  $T_3-T_4$  خط پیمایش بر روی تصاویر ماهواره ای لندست (Google earth) در (شکل ۳-۴۷-۳-الف) نشان داده شده است، جهت مقطع شمال باختری - جنوب خاوری می باشد (اغراق در جهت قائم).  $S^v$  سازند سلطان میدان،  $D^s$  سازند پادها،  $D_{KH}$  سازند خوش بیلاق (دونین میانی)،  $Cm$  سازند مبارک (کربنیفر بالایی)،  $P_d$  سازند دورود (پرمین زیرین)،  $R_t$  روته (پرمین میانی)،  $TRe$  سازند الیکا (تریاس میانی) و  $Q^{al}$  رسوبات آبرفتی رودخانه.

### ۱-۲-۲- تاقدیس تیلآباد

نام تیلآباد برای این تاقدیس بر گرفته از نقشه زمین شناسی خوش بیلاق (جعفریان و همکاران، ۱۳۸۳) میباشد. تاقدیس تیلآباد دارای راستای شمال خاوری - جنوب باختری و دارای ۶ کلومتر طول میباشد، برای مطالعه ویژگی های هندسی این تاقدیس دو پیمایش،  $T_6T_7$  و  $T_8T_9$  بر روی تاقدیس صورت گرفته است (شکل ۳-۵۲). بررسی های صحرایی در پیمایش  $T_6T_7$  تنها واحد سنگی که در یال های این تاقدیس رخنمون یافته است، مربوط به آهک های مبارک (کربنیفر زیرین) میباشد. اما در پیمایش  $T_8T_9$  در یال جنوب خاوری فقط سازند مبارک ولی در یال شمال باختری علاوه بر سازند مبارک نیز میتوان رخنمون واحد های سنگی الیکا و شمشک را نیز مشاهده نمود. رخنمون این تاقدیس را میتوان از مرکز محدوده مورد مطالعه تا شمال خاوری منطقه دنبال کرد. در سمت شمال باختری این تاقدیس، ناویدیسی وجود دارد که در مطالعات قبلی هیچ اشاره ای به وجود این ناویدیس نشده است. برای اولین بار در این پژوهش شناسایی و با توجه به همچوar بودن با تاقدیس تیلآباد اسم این ناویدیس را تیلآباد نامگذاری شده است، که در (شکل ۳-۵۳) میتوانید مقطعی نمادین از این تاقدیس و ناویدیس را در پیمایش  $T_9T_{10}$  (شکل ۳-۵۲-ب) مشاهده نمایید.



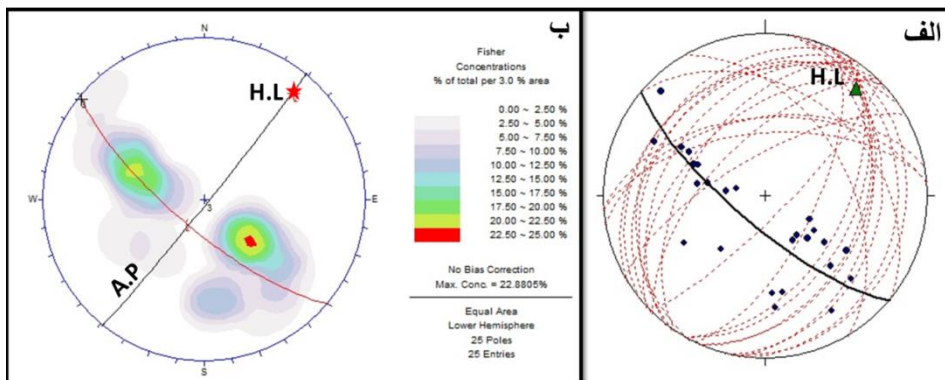
شکل ۳-۵۲-الف- تصویر ماهواره‌ای لندست (Google earth) از تاقدیس و ناویدیس تیلآباد در پیمایش  $T_6T_7$  و  $T_9T_{10}$ . جهت دید به سمت شمال میباشد. ب: تصویر صحرایی از تاقدیس تیلآباد بر روی سازند مبارک (دید به سمت شمال).



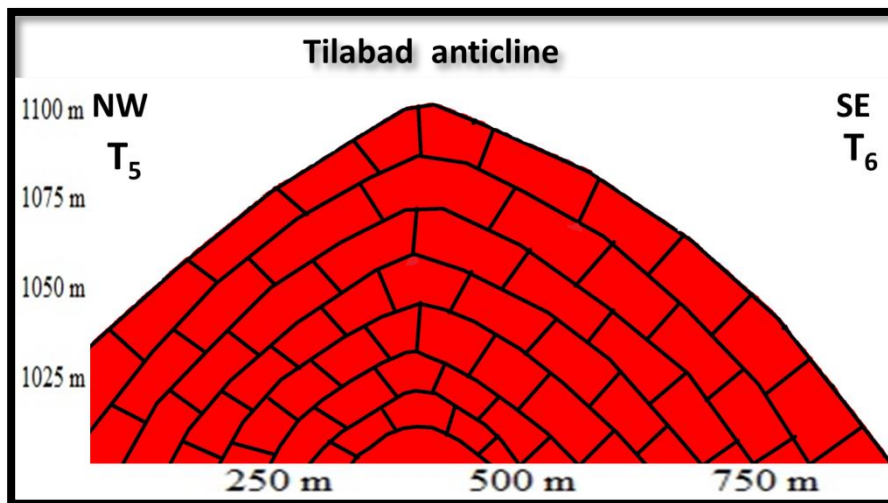
شکل ۵۳-۳- مقطع نمادین از تاقدیس و ناویدیس تیل آباد در برش T۹T۱۰ بر روی تصاویر ماهواره‌ای لندست Google Earth (در شکل ۵۲-۳-الف) نشان داده شده است، جهت مقطع شمال باختری - جنوب خاوری می‌باشد (اگرچه در جهت قائم). Cm سازند مبارک (کربنیفر بالایی)، Pd سازند دورود (پرمین زیرین)، Pr روتنه (پرمین میانی)، TRe سازند الیکا (تر پاس، میانی)، Js سازند شمشک (ژو، اسیک).

### ۱-۲-۲-۱- تاقدیس، تبل آباد در پیماش، T<sub>o</sub>T<sub>۱</sub>

استریوگرام‌های مربوط به داده‌های پیمایش  $T_6T_6$  (پیوست ۸) در (شکل ۳-۵۴) مشاهده می‌شود. بر اساس استریوگرام‌های حاصل، خط لولای این تاقدیس دارای موقعیت  $40/0.15$  و سطح محوری آن دارای موقعیت  $88/43$  می‌باشد. زاویه بین دویال این چین  $10^{\circ}$  درجه می‌باشد. که بر اساس تقسیم‌بندی چین‌ها بر اساس زاویه بین یالی (فلوتی، ۱۹۶۴) در رده چین‌های باز (Open) قرار دارد و در تقسیم‌بندی دیگر بر اساس شیب سطح محوری و میل لولا (فلوتی، ۱۹۶۴) در رده چین‌های ایستاده با تمایل کم (Upright) – قرار می‌گیرد. در تقسیم‌بندی دیگر بر اساس روش ریکارد در رده چین‌های ایستاده (Upright Fold) قرار دارد. برش نمادین از این تاقدیس در برش  $T_6T_6$  را می‌توان در (شکل ۳-۵۵) مشاهده نمود.



شکل ۳-۵۴-۳- استریوگرام حاصل از داده های برداشت شده از تاقدیس تیل آباد در برش  $T_6$ الف: الف - نمودار  $\beta$  و نمودار  $\pi$  و تعیین خط لولا (H.L) با موقعیت (۱۵/۰۴۰). ب: نمودار کنتور یال های چین به منظور تعیین زاویه بین یالی ( $110^\circ$ )، و تعیین موقعیت سطح محوری (A.P) با موقعیت (۱۳۴/۸۸).



شکل ۳-۵۵-۳- مقطع نمادین از تاقدیس تیل آباد در برش  $T_6$  بر روی تصاویر ماهواره ای لندست (Google earth) در (شکل ۳-۵۲-۳- الف) نشان داده شده است، جهت مقطع شمال باختری - جنوب خاوری می باشد (اغراق در جهت قائم).

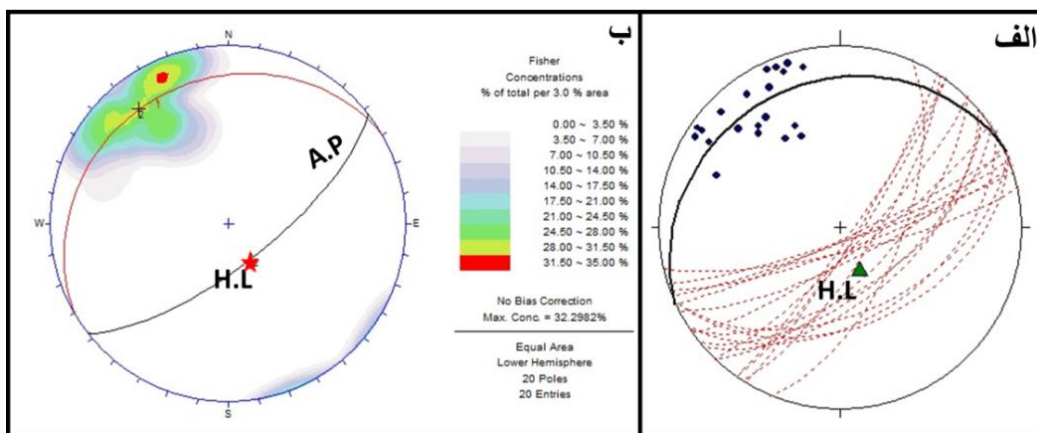
#### ۲-۲-۲-۱- تاقدیس تیل آباد در پیمایش $T_7-T_8$

تصویر ماهواره ای و صحرا یابی این برش را در (شکل ۳-۵۶-۳) و مقطع نمادین از این پیمایش را در (شکل ۳-۵۷-۳) مشاهده نمود. استریوگرام های مربوط به داده های پیمایش  $T_7-T_8$  (پیوست ۹) در (شکل ۳-۵۸) مشاهده می شود. بر اساس استریوگرام های حاصل، خط لولای این چین دارای موقعیت صورت  $155/150^\circ$  و سطح محوری آن دارای موقعیت  $71/143^\circ$  می باشد. زاویه بین دویال این چین  $25^\circ$  درجه می باشد. که بر اساس تقسیم بندی چین ها بر اساس زاویه بین یالی (فلوتی، ۱۹۶۴) در رده چین های فشرده (Tight) قرار

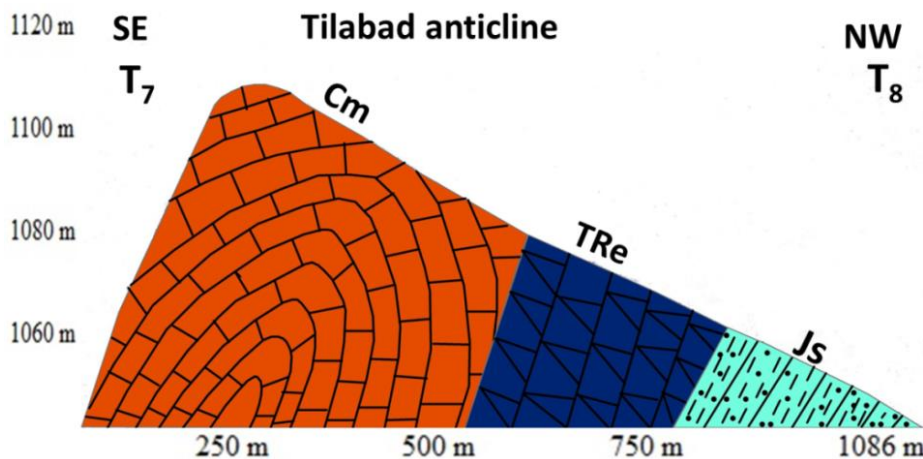
دارد و در تقسیم بندی دیگر بر اساس شیب سطح محوری و میل لولا (فلوتی، ۱۹۶۴) در رده چین های پرشیب با میل زیاد (Steeply inclined – Steeply Plunging) قرار می گیرد. در تقسیم بندی دیگر بر اساس روش ریکارد در رده چین های کج شده (Inclined Fold) قرار دارد.



شکل ۳-۵۶-الف- تصویر ماهواره‌ای لندست (Google earth) از تاقدیس تیلآباد در پیمایش  $T_7T_8$  جهت دید به سمت جنوب می‌باشد. A.P سطح محوری، Cm سازند مبارک (کربنیفر بالایی)، TRe سازند الیکا (تریاس میانی) و Js سازند شمشک (ژوراسیک). خط چین‌های زرد رنگ مرز چینه شناسی واحدهای سنگی می‌باشد، و در تصویر با فلش‌هایی جهت شیب لایه بندی مشخص شده است. ب: تصویر صحرایی از تاقدیس تیلآباد در پیمایش  $T_7T_8$



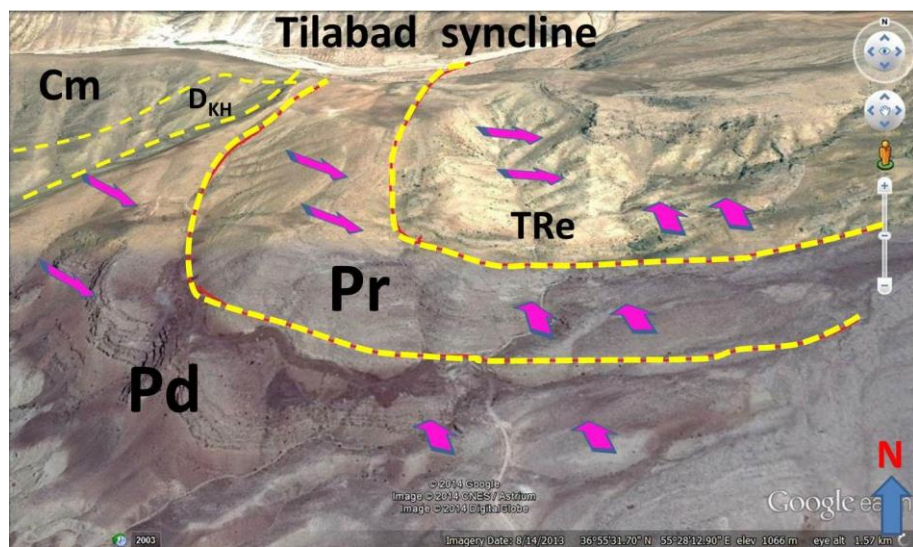
شکل ۳-۵۷- استریوگرام حاصل از داده‌های برداشت شده از تاقدیس تیلآباد در برش  $\beta$  و نمودار  $\pi$  و تعیین خط لولا (H.L) با موقعیت (۷۰/۱۵۵). ب: نمودار کنتور یال‌های چین به منظور تعیین زاویه بین یالی (۲۵)، و تعیین موقعیت سطح محوری (A.P) با موقعیت (۱۴۳/۷۱).



شکل ۳-۵۸-۳- مقطع نمادین از تاقدیس تیلآباد در برش  $T_7-T_8$  بر روی تصاویر ماهواره‌ای لندست Google earth در شکل ۳-۵۶-الف نشان داده شده است، جهت مقطع شمال باختری - جنوب خاوری می‌باشد (اغراق در جهت قائم).  $Cm$  سازند مبارک (کربنیفر بالایی)،  $TRe$  سازند الیکا (تریاس میانی) و  $Js$  سازند شمشک (ژوراسیک).

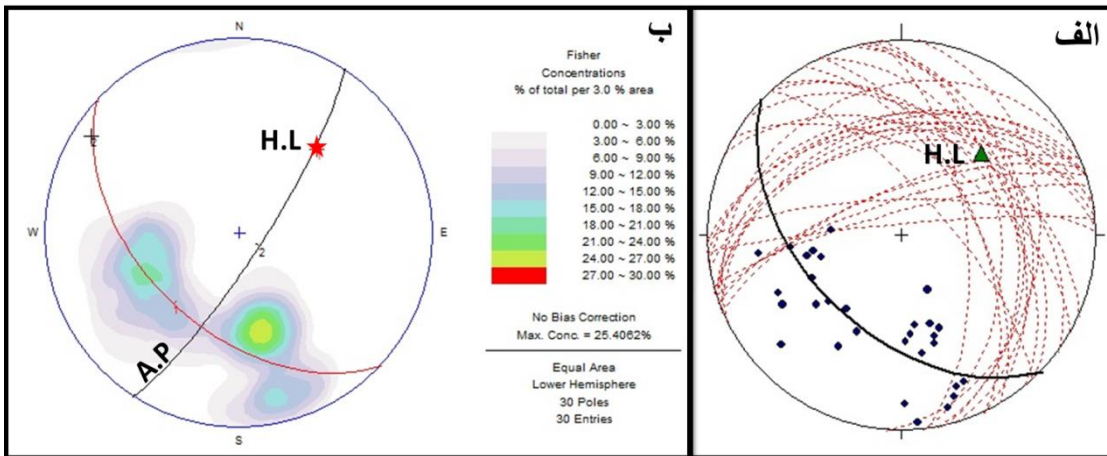
#### ۱-۲-۳- ناودیس تیلآباد

این ناودیس در شمال باختری تاقدیس تیلآباد قرار داشته، بررسی و مطالعات صحرایی نشان می‌دهد که واحدهای سنگی رخنمون یافته در یال‌های این چین از قدیم به جدید خوش‌بیلاق، سازند درود، روته و الیکا تشکیل شده است (شکل ۳-۵۹).



شکل ۳-۵۹-۳- تصویر ماهواره‌ای لندست (Google earth) از ناودیس تیلآباد جهت دید به سمت شمال می‌باشد.  $D_{KH}$  سازند خوش بیلاق (دونین میانی)،  $Cm$  سازند مبارک (کربنیفر بالایی)،  $Pd$  سازند درود (پرمین زیرین)،  $Pr$  سازند روته (پرمین میانی) و  $TRe$  سازند الیکا (تریاس میانی). خط چین‌های زرد رنگ مرز چینه شناسی واحدهای سنگی می‌باشد، و در تصویر با فلش‌هایی جهت شبیه لایه بندي مشخص شده است.

طبق نمودار  $\pi$ ، موقعیت خط لولای این ناودیس ۴۱/۰۴۴ می باشد، موقعیت سطح محوری به صورت ۱۲۷/۷۹ و زاویه بین یالی ۱۲۹ درجه است (شکل ۳-۶۰). بر اساس تقسیم بندی چین ها بر اساس زاویه بین دو یال در رده چین های ملایم (Gentle) قرار می گیرد. در تقسیم بندی دیگر که بر اساس شیب سطح محوری و میل لولا در رده چین های با شیب زیاد با میل متوسط (Steeply Inclined – Moderately Inclined Fold) قرار گرفته است. بر اساس طبقه بندی ریکارد در رده چین های کج شده (Plunging Fold) قرار می گیرد. داده های مربوط به این پیمایش را می توان در (پیوست ۱۰) مشاهده نمود.



شکل ۳-۶۰- استریوگرام حاصل از داده های برداشت شده از ناودیس تیل آباد: الف- نمودار  $\beta$  و نمودار  $\pi$  و تعیین خط لولا (H.L) با موقعیت (۴۱/۰۴۴). ب: نمودار کنتور یال های چین به منظور تعیین زاویه بین یالی (۱۲۹)، و تعیین موقعیت سطح محوری (A.P) با موقعیت (۱۲۷/۷۹).

#### ۱-۲-۴- ناودیس غزنوی

این ناودیس برای اولین بار در این پژوهش شناسایی و نامگذاری شده است. موقعیت جغرافیایی این ناودیس در جنوب روستای غزنوی قرار دارد، هسته و یال های این چین را آهک های سازند مبارک تشکیل می دهند. این ناودیس بین دو تاقدیس دیگر که یکی از آنها در سمت شمال باختری به نام تاقدیس غزنوی و تاقدیس دیگری به نام تاقدیس سرچشم در سمت جنوب خاوری این ناودیس قرار داشته، که حالت M را در پروفیل چین بوجود آورده اند. برای بررسی ویژگی های هندسی این ناودیس را در دو برش عرضی که

## فصل سوم : زمین شناسی ساختمانی

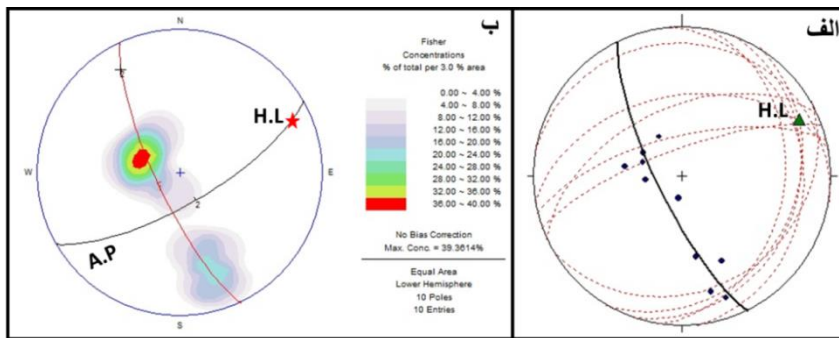
یکی از آنها سمت شرق جاده و دیگری سمت غرب جاده آسفالت شاهروド به آزادشهر می‌باشد، مورد مطالعه قرار گرفته است.

### ۱-۴-۲-۱- ناودیس غزنوی در برش A

داده‌های اندازه‌گیری شده ناودیس غزنوی در برش A (پیوست ۱۱)، تصویر صحرایی و ماهواره‌ای این ناودیس در برش A (شکل ۳-۶۱) و استریوگرام آن را در شکل (۳-۶۲) مشاهده می‌شوند. این برش در سمت شرق جاده آسفالت شاهروド به آزادشهر با موقعیت جغرافیایی  $47^{\circ}17'55''$  شمالی و  $18^{\circ}7'27''$  شرقی برداشت شده است (شکل ۳-۶۱). طبق نمودار  $\pi$ ، موقعیت خط لولای ناودیس  $0^{\circ}64'$  می‌باشد و موقعیت سطح محوری این ناودیس به صورت  $72/49/149$  به دست آمده است. زاویه بین یالی  $77^{\circ}$  درجه است. بر اساس تقسیم بندی چین‌ها بر اساس زاویه بین دو یال در رده چین‌های باز (Open) قرار می‌گیرد. در تقسیم بندی دیگر که بر اساس شیب سطح محوری و میل لولا در رده چین‌های با شیب زیاد با تمایل کم (Gently Plunging – Steeply Inclined) قرار گرفته است. بر اساس طبقه بندی ریکارد در رده چین‌های کج شده (Inclined Fold) قرار می‌گیرد.



شکل ۳-۶۱-الف - تصویر ماهواره‌ای لندست (Google earth) از تاقدیس و ناودیس غزنوی در برش A، در سمت شرق جاده آسفالت شاهروド به آزاد شهر و جهت شیب لایه‌بندی یال‌های چین با فلش‌های زرد رنگ نشان داده شده است (جهت دید به سمت شمال). ب: تصویر صحرایی از تاقدیس و ناودیس غزنوی در برش A بر روی سازند مبارک (دید به سمت شمال خاوری).



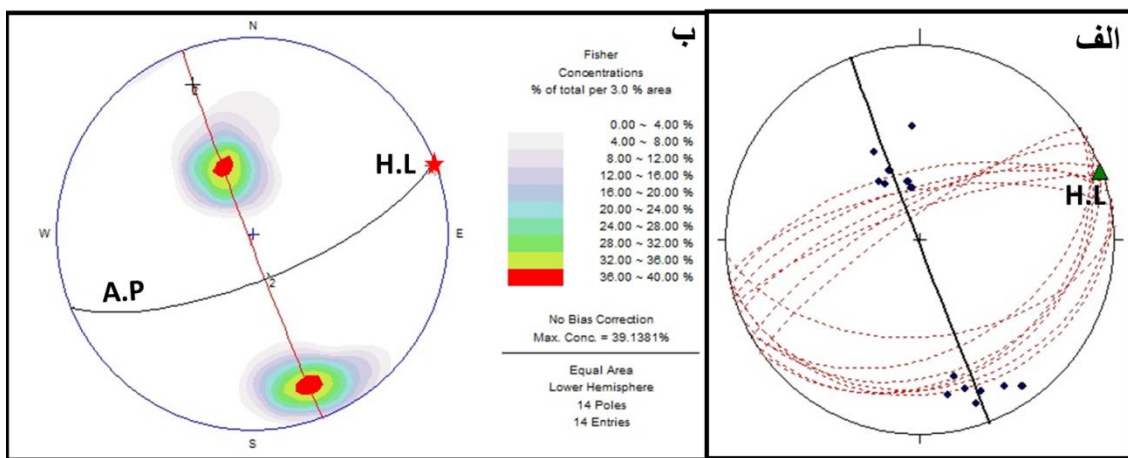
شکل ۳-۶۲-۳- استریوگرام حاصل از داده‌های برداشت شده از ناویدیس غزنوی در برش A: الف- نمودار  $\beta$  و نمودار  $\pi$  و تعیین خط لولا (H.L) با موقعیت (۱۴/۰۶۴). ب: نمودار کنتور یال‌های چین به منظور تعیین زاویه بین یالی (۷۷)، و تعیین موقعیت سطح محوری (A.P) با موقعیت (۱۴۹/۷۲).

#### ۱-۲-۴-۲- ناویدیس غزنوی در برش B

داده‌های اندازه‌گیری شده برای ناویدیس غزنوی در برش B (پیوست ۱۲)، تصویر ماهواره‌ای و صحراوی این ناویدیس در (شکل ۳-۶۳) و استریوگرام آن را در (شکل ۳-۶۴) مشاهده می‌شوند. بر اساس استریوگرام‌های حاصل، موقعیت خط لولای ناویدیس صورت  $0^{\circ}/0.69^{\circ}$  و موقعیت سطح محوری آن به صورت  $159/71^{\circ}$  به دست آمده است. زاویه بین یالی  $80^{\circ}$  درجه می‌باشد. بر اساس تقسیم بندی چین‌ها بر اساس زاویه بین دو یال در رده چین‌های باز (Open) قرار می‌گیرد. در تقسیم بندی دیگر که بر اساس شیب سطح محوری و میل لولا در رده چین‌های با شیب زیاد و افقی (Steeply Inclined - Horizontal) قرار گرفته است. بر اساس طبقه بندی ریکارد در رده چین‌های افقی (Horizontal Fold) قرار می‌گیرد.



شکل ۳-۶۳- الف - تصویر ماهواره‌ای لندست (Google earth) از تاقدیس و ناویدیس غزنوی در برش B، در سمت چپ جاده آسفالتی شاهروド به آزاد شهر و جهت شیب لایه‌بندی یال‌های چین با فلش‌های زرد رنگ نشان داده شده است (جهت دید به سمت باخته). ب: تصویر صحراوی از تاقدیس و ناویدیس غزنوی در برش B بر روی سازند مبارک (دید به سمت باخته).



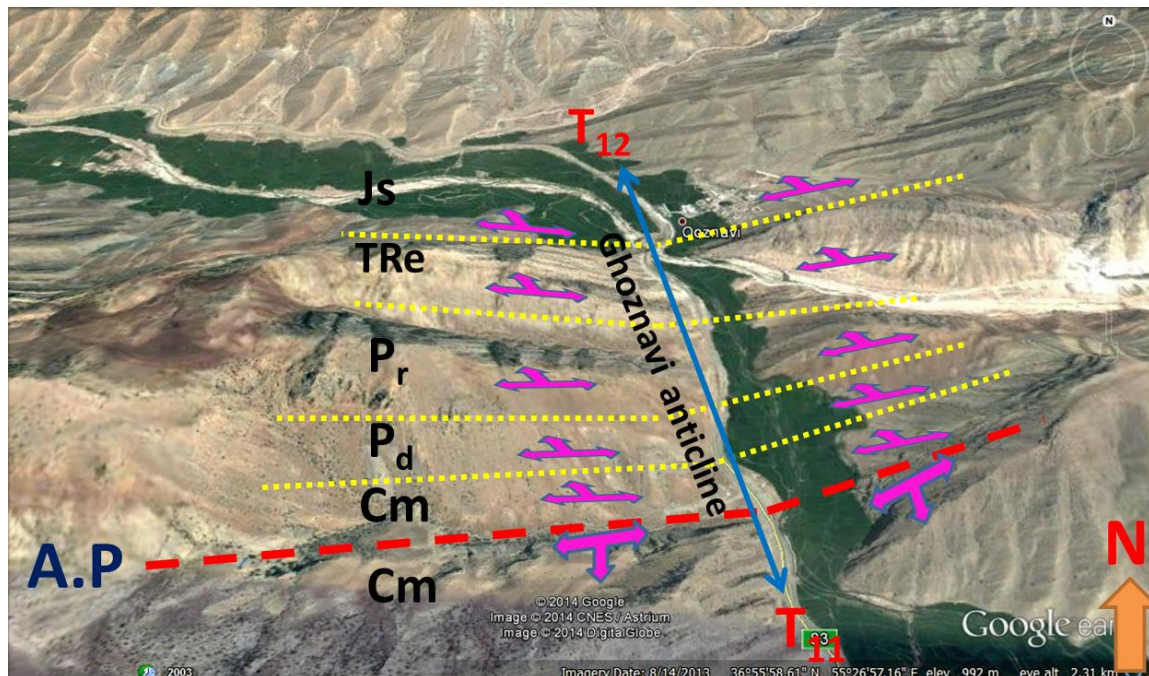
شکل ۶۴-۳- استریوگرام حاصل از داده‌های برداشت شده از ناویس غزنوی در برش B: الف- نمودار  $\beta$  و نمودار  $\pi$  و تعیین خط لولا (H.L) با موقعیت (۰۶۹/۰۲). ب: نمودار کنتور یال‌های چین به منظور تعیین زاویه بین یالی ( $80^\circ$ )، و تعیین موقعیت سطح محوری (A.P) با موقعیت (۷۱/۱۵۹).

### ۱-۲-۵- تاقدیس غزنوی

موقعیت جغرافیایی تاقدیس غزنوی در جنوب روستای غزنوی می‌باشد. هسته این تاقدیس در آهک‌های کربنیفر (سازند مبارک)، به طول تقریباً ۴ کیلومتر می‌باشد. ویژگی‌های هندسی این تاقدیس در دو پیماش  $T_{11}T_{12}$ ،  $T_{11}T_{14}$ ،  $T_{12}T_{14}$  مورد مطالعه قرار گرفته است. یکی از این پیماش‌ها در برش جاده آسفالته شاهروд به آزادشهر و دیگری در دره رودخانه وامنان می‌باشد. این تاقدیس دارای محور شمال خاوری – جنوب باختری می‌باشد.

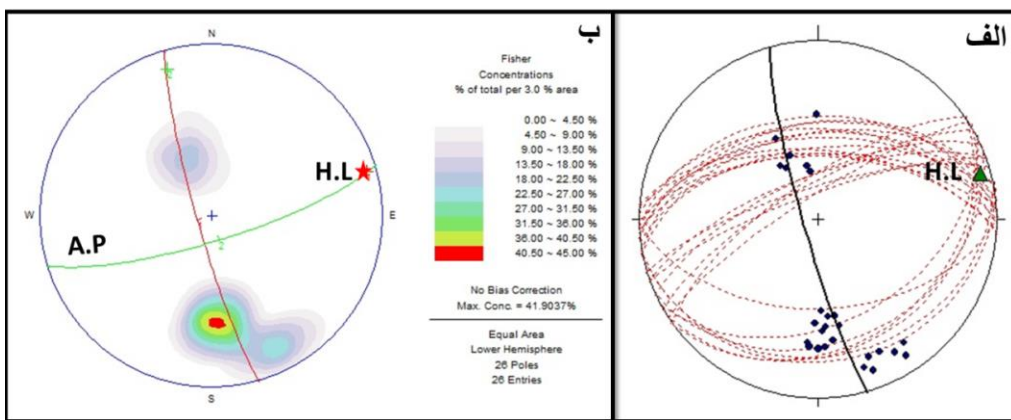
### ۱-۲-۵-۱- تاقدیس غزنوی در پیماش $T_{11}T_{12}$

این پیماش در کنار جاده آسفالته شاهرود به آزادشهر در سمت غرب جاده صورت گرفته است. در یال شمال باختری رخنمون سازندهای مبارک، دورود، روتله، الیکا و شمشک می‌باشد، ولی در یال جنوب خاوری فقط سازند مبارک رخنمون دارد (شکل ۶۵-۳).

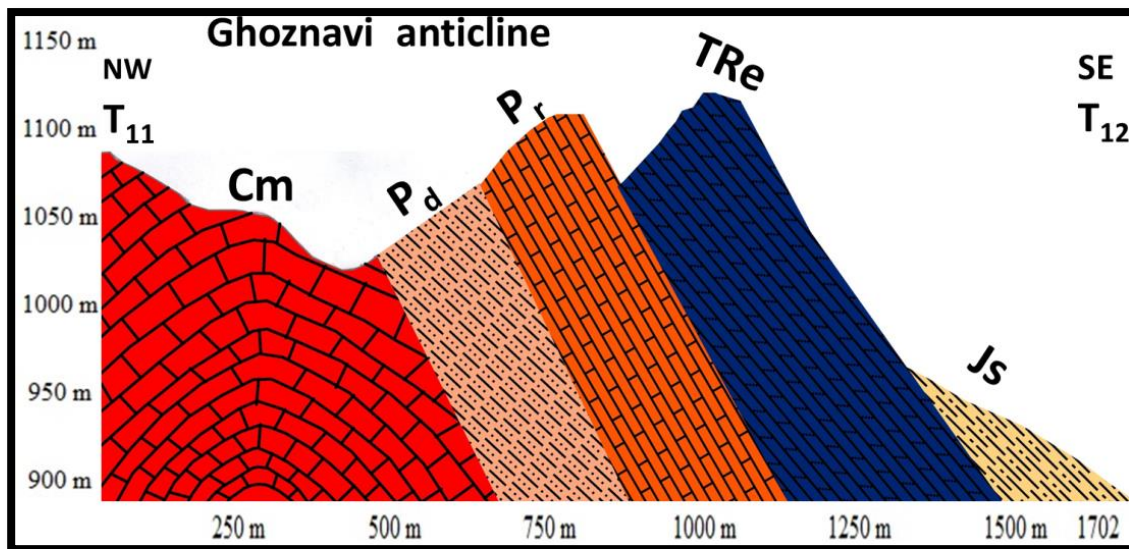


شکل ۳-۶۵- تصویر ماهواره‌ای لندست (Google earth) از تاقدیس غزنوی در برش  $T_{11}T_{12}$ ، جهت دید به سمت شمال می‌باشد. A.P سطح محوری، Cm سازند مبارک (کربنیفر بالایی)، Pd سازند دورود (پرمین زیرین)، Pr سازند روته (پرمین میانی)، TRe سازند الیکا (ترياس میانی) و Js سازند شمشک (ژوراسیک). خط چین‌های زرد رنگ مرز چینه شناسی واحد-های سنگی می‌باشند، در تصویر با فلش‌هایی با رنگ نارنجی جهت شیب و امتداد لایه بندی مشخص شده است. تصویر صحراخی هسته تاقدیس غزنوی در پیمایش  $T_{11}T_{12}$  مراجعه شود به (شکل ۳-۶۳-ب).

بر اساس استریووگرام‌های حاصل از این پیمایش، خط لوای این تاقدیس دارای موقعیت  $74^{\circ} / 074^{\circ}$  و سطح محوری آن دارای موقعیت  $78^{\circ} / 78^{\circ}$  می‌باشد. زاویه بین دویال این چین  $87^{\circ}$  درجه، که بر اساس تقسیم بندی چین‌ها بر اساس زاویه بین یالی (فلوتی، ۱۹۶۴) در ردی چین‌های باز (Open) قرار دارد (شکل ۳-۶۶). در تقسیم بندی دیگر بر اساس شیب سطح محوری و میل لولا (فلوتی، ۱۹۶۴) در ردی چین‌های پرشیب و افقی (Steeply Inclined –Horizontal) قرار می‌گیرد. در تقسیم بندی دیگر بر اساس روش ریکارد در ردی چین‌های افقی (Horizontal Fold) قرار دارد. داده‌های مربوط به این پیمایش را می‌توان در پیوست ۱۳ مشاهده نمود. برش نمادین از این پیمایش را می‌توان در (شکل ۳-۶۷) مشاهده نمود.



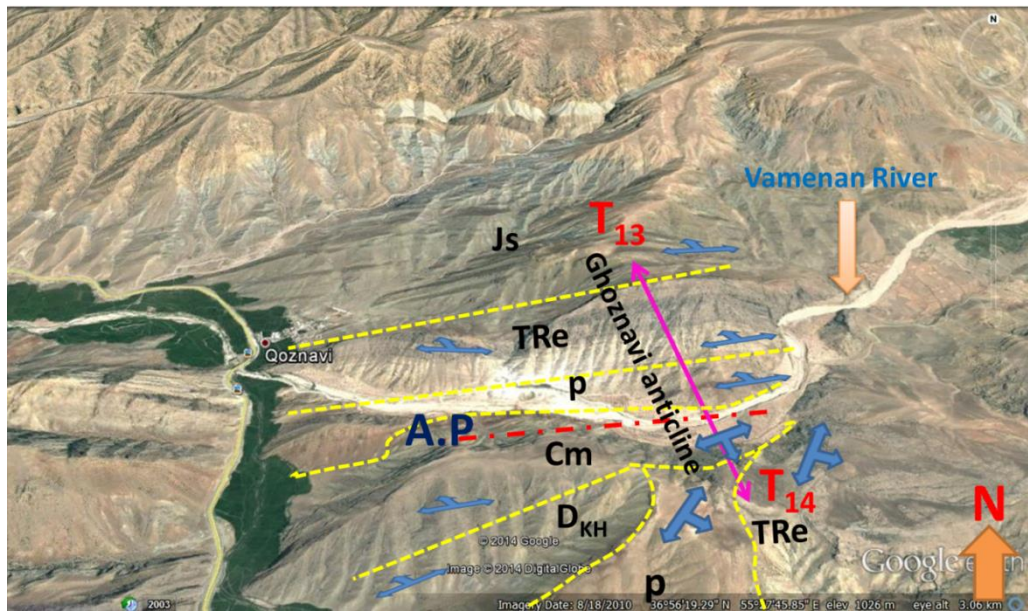
شکل ۳-۶۶- استریوگرام حاصل از داده های برداشت شده از تاقدیس غزنوی در برش  $T_{11}T_{12}$ : الف- نمودار  $\beta$ - نمودار  $\pi$  و نمودار تعیین خط لولا (H.L) با موقعیت (۰۷/۰۷۴). ب: نمودار کنتور یال های چین به منظور تعیین زاویه بین یالی (۸۷)، و تعیین موقعیت سطح محوری (A.P) با موقعیت (۱۶۴/۷۸).



شکل ۳-۶۷-۳- مقطع نمادین از تاقدیس غزنوی در برش  $T_{11}T_{12}$  بر روی تصاویر ماهواره‌ای لندست Google earth در (شکل ۳-۶۵) نشان داده شده است، جهت مقطع شمال باختری - جنوب خاوری می‌باشد (اغراق در جهت قائم). سازند مبارک (کربنیفر بالایی)،  $P_d$  سازند دورود،  $P_s$  سازند زیرین (میانی)،  $T_{Re}$  سازند الیکا (تریاس میانی)،  $Js$  سازند شمشک (ژوراسیک).

#### ۱-۲-۵-۲- تاقدیس غزنوی در پیمايش $T_{11}T_{12}$

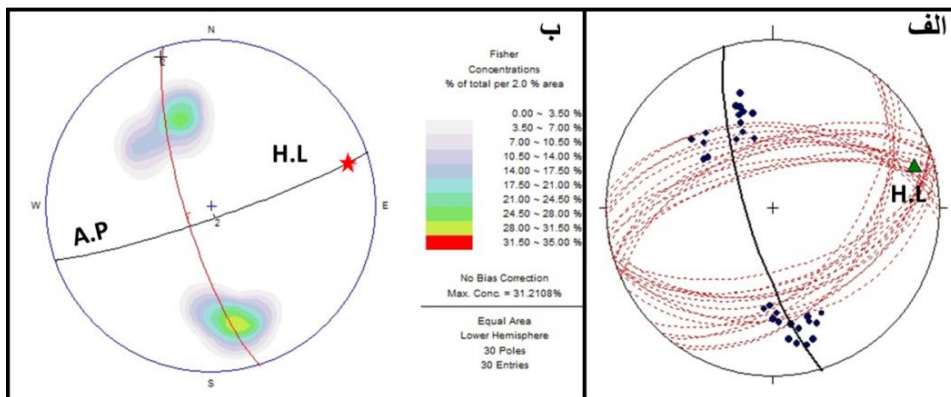
این پیمايش در شمال خاوری تاقدیس و در داخل دره رودخانه وامنان صورت گرفته است. در یال شمال باختری رخنمون سازندهای دورود، روتله، الیکا و شمشک، ولی در یال جنوب خاوری سازندهای مبارک، دورود، روتله و الیکا رخنمون دارد (۳-۶۸).



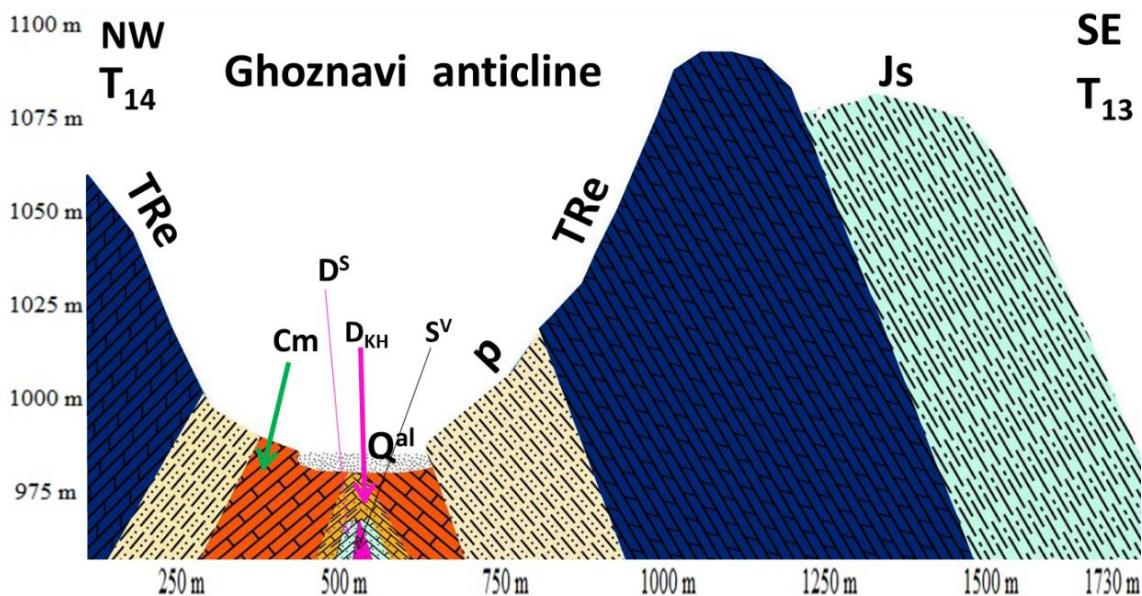
شکل ۳-۶۸- تصویر ماهواره‌ای لندست (Google earth) از تاقدیس غزنوی در برش  $T_{13}T_{14}$ . جهت دید به سمت شمال می‌باشد. A.P. سطح محوری،  $D_{KH}$  سازند خوش بیلاق (دونین میانی)، Cm سازند مبارک (کربنیفر بالایی)، P سازند دورود و روته (پرمین زیرین - میانی)، TRe سازند الیکا (تریاس میانی) و Js سازند شمشک (ژوراسیک). خط چین‌های زرد رنگ مرز چینه شناسی واحدهای سنگی می‌باشد، و در تصویر با فلش‌هایی با رنگ آبی جهت شیب و امتداد لایه بندی مشخص شده است

داده‌های اندازه‌گیری شده تاقدیس غزنوی در این پیمایش در (پیوست ۱۴) آورده شده است. بر اساس استریوگرام‌های حاصل از برداشت یال‌های این تاقدیس، موقعیت خط لولای این چین به صورت ۰/۷۳-۱۳ همچنین سطح محوری چین نیز با موقعیت ۸۴/۱۶۲ به دست آمده است. زاویه بین دو یال ۷۴ درجه است و بنابر تقسیم‌بندی چین‌ها بر اساس زاویه بین دو یال در رده باز (Open) قرار می‌گیرد (شکل ۳-۶۹). در تقسیم‌بندی دیگر براساس شیب سطح محوری و میل لولا در رده چین‌های ایستاده و خط لولا با میل ملایم (Upright – Gently Plunging) قرار می‌گیرد. در تقسیم‌بندی ریکارد در رده چین‌های ایستاده (Upright Fold) قرار می‌گیرد. در شکل ۳-۷۰ نیز می‌توان مقطعی نمادین از این پیمایش را مشاهده نمود.

### فصل سوم : زمین شناسی ساختمانی

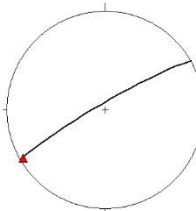
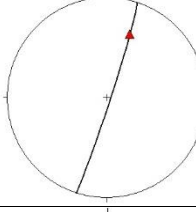
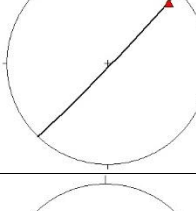
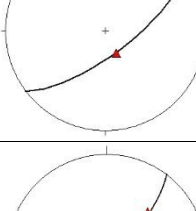
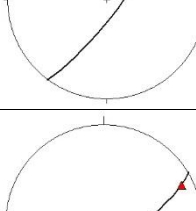
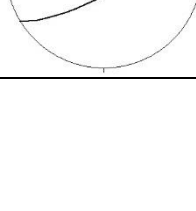


شکل ۳-۶۹-۳- استریوگرام حاصل از داده‌های برداشت شده از تاقدیس غزنوی در برش  $T_{14}T_{14}$ : الف- نمودار  $\beta$  و نمودار  $\pi$  و تعیین خط لولا (H.L) با موقعیت (۱۳۰/۷۳). ب: نمودار کنتور یال‌های چین به منظور تعیین زاویه بین یالی (۷۴)، و تعیین موقعیت سطح محوری (A.P) با موقعیت (۱۶۲/۸۴).



شکل ۳-۷۰-۳- مقطع نمادین از تاقدیس غزنوی در برش  $T_{14}T_{14}$  بر روی تصاویر ماهواره‌ای لندست (Google earth) در (شکل ۳-۶۸) نشان داده شده است، جهت مقطع شمال باختری - جنوب خاوری می‌باشد (افق در جهت قائم).  $S^V$ . سازند سلطان میدان،  $D^S$  سازند پادها،  $D_{KH}$  سازند خوش بیلاق (دونین میانی)،  $Cm$  سازند مبارک (کربنیفر بالایی)،  $P$  سازند دورود و روته (پرمین زیرین - میانی)،  $TRe$  سازند الیکا (تریاس میانی)،  $Js$  سازند شمشک (ژوراسیک) و  $Q^{al}$  رسوبات آبرفتی رودخانه.

جدول ۱-۳- خصوصیات هندسی چین‌های ماکروسکوپی برداشت شده در محدوده مورد مطالعه

نام چین	موقعیت خط لولا	موقعیت سطح محوری	زاویه بین یالی	پیمایش	استریوگرام
تاقدیس سرچشمہ	۰۴/۲۴۰	۳۳۰/۸۴	۸۴	T <sub>۱</sub> T <sub>۲</sub>	
تاقدیس سرچشمہ	۳۴/۰۲۲	۱۰۸/۸۷	۱۱۰	T <sub>۷</sub> T <sub>۸</sub>	
تاقدیس تیل آباد	۱۵/۰۴۰	۱۳۴/۸۸	۱۱۰	T <sub>۵</sub> T <sub>۶</sub>	
تاقدیس تیل آباد	۷۰ / ۱۵۵	۱۴۳ / ۷۱	۲۵	T <sub>۷</sub> T <sub>۸</sub>	
ناودیس تیل آباد	۴۱/۰۴۴	۱۲۷/۷۹	۱۲۹	-	
ناودیس غربنوي	۱۴/۰۶۴	۱۴۹/۷۲	۷۷	A	

### فصل سوم : زمین شناسی ساختمانی

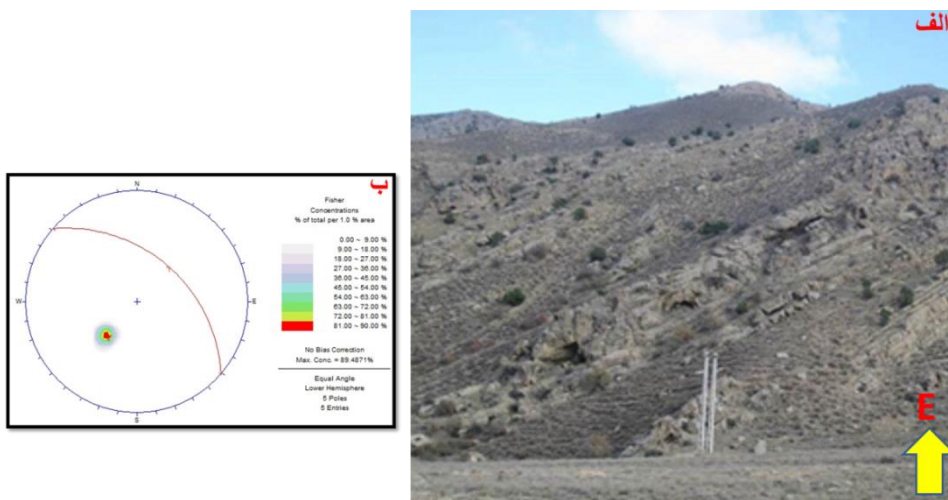
	B	۸۰	۱۵۹/۷۱	۰۲۰/۶۹	ناودیس غرنوی
	T <sub>۱۱</sub> T <sub>۱۲</sub>	۸۷	۱۶۴/۷۸	۰۷/۰۷۴	تاقدیس غرنوی
	T <sub>۱۳</sub> T <sub>۱۴</sub>	۷۴	۱۶۲/۸۴	۱۳/۰۷۳	تاقدیس غرنوی

جدول ۳-۲- جایگاه چین خوردگی‌های ماکروسکوپی برداشت شده در محدوده مورد مطالعه در تقسیم بندی‌های (فلوتی، ۱۹۶۴) و (ریکارد، ۱۹۷۱).

طبقه بندی بر اساس ریکارد	توصیف هندسی چین بر مبنای زاویه و سطح محوری (Fleuty ۱۹۶۴)	توصیف هندسی چین بر مبنای زاویه بین یالی (Fleuty ۱۹۶۴)	نام چین
Upright Horizontal Fold	Upright – Horizontal	Close	تاقدیس سرچشمه در پیمایش T <sub>۱</sub> T <sub>۲</sub>
Upright Fold	Upright – Gently Plunging	Open	تاقدیس سرچشمه در پیمایش T <sub>۲</sub> T <sub>۴</sub>
Upright Fold	Upright – Gently Plunging	Open	تاقدیس تیل آباد در پیمایش T <sub>۴</sub> T <sub>۶</sub>
Inclined Fold	Steeply Inclined - Steeply Plunging	Tight	تاقدیس تیل آباد در پیمایش T <sub>۷</sub> T <sub>۸</sub>
Inclined Fold	Steeply Inclined – Moderately Plunging	Gentle	ناودیس تیل آباد
Inclined Fold	Steeply Inclined – Gently Plunging	Open	ناودیس غرنوی در برش A
Horizontal Fold	Steeply Inclined –Horizontal	Open	ناودیس غرنوی در برش B
Horizontal Fold	Steeply Inclined –Horizontal	Open	تاقدیس غرنوی T <sub>۱۱</sub> T <sub>۱۲</sub>
Upright Fold	Upright – Gently Plunging	close	تاقدیس غرنوی T <sub>۱۳</sub> T <sub>۱۴</sub>

### ۶-۲-۱- سازند پادها:

سازند پادها با جنس ماسه سنگ قهوه‌ای و سفید، ماسه سنگ کوارتزیتی با کنگلومرا ای قاعده‌ای به سن دونین زیرین می‌باشد. با توجه به تنش‌های واردہ لایه‌بندی این سازند از حالت افقی خارج شده و به صورت شیبدار ظاهر گشته‌اند. طی برداشت‌های میدانی لایه‌های شیبدار این سازند را در موقعیت جغرافیایی "۱۹.۶۱' ۵۲' ۳۶° عرض شمالی و "۴۱.۹۲' ۵۵' ۲۵° طول خاوری اندازه گیری شده است. تصویر صحراوی از لایه‌های تک شیب سازند پادها را در منطقه مورد مطالعه نشان می‌دهد (شکل ۷۱-۳-الف). محل این رخنمون در نقشه زمین شناسی با عنوان FO<sub>1</sub> تعیین شده است (شکل ۷۱-۳-الف). داده‌های اندازه گیری شده از رخنمون این چین در (پیوست ۱۵) آورده شده است. استریوگرام (شکل ۷۱-۳-ب) موقعیت میانگین سطح لایه بندی این سازند را به صورت NE ۴۴W, N ۴۸W نشان می‌دهد.



شکل ۷۱-۳- تصویر صحراوی چین FO<sub>1</sub> در سازند پادها (دید به سمت خاور). ب: تصویر سیکلوجرافیک لایه‌بندی؛ میانگین سطوح لایه بندی سازند پادها به صورت NE ۴۴W, N ۴۸W می‌باشد.

### ۷-۲-۱- سازند خوش بیلاق

سازند خوش بیلاق به سن دونین میانی - بالایی، جنس این سازند در منطقه مورد مطالعه عمدتاً از تناوب کنگلومرا، ماسه سنگ، آهک بیوکلاستیک، ماسه سنگ کوارتزیتی قرمز و آهک‌های نازک لایه تا ضخیم لایه با میان لایه شیل و آهک‌های شیلی تیره رنگ تشکیل شده است. برای شناسایی و مطالعه چین‌های

### فصل سوم : زمین شناسی ساختمانی

موجود در این سازند در ۲ رخمنون برداشت شده است که موقعیت آنها در نقشه زمین شناسی تهیه شده

از منطقه (شکل ۲-۲۱) نشان داده شده است. این چین به ترتیب  $FO_2$  و  $FO_3$  نام گذاری شده اند.

#### ۱-۲-۷-۱- چین $FO_2$

این چین در کنار جاده ارتباطی شاهروود-آزادشهر، حدفاصل روستای تیلآباد- خوش بیلاق در موقعیت

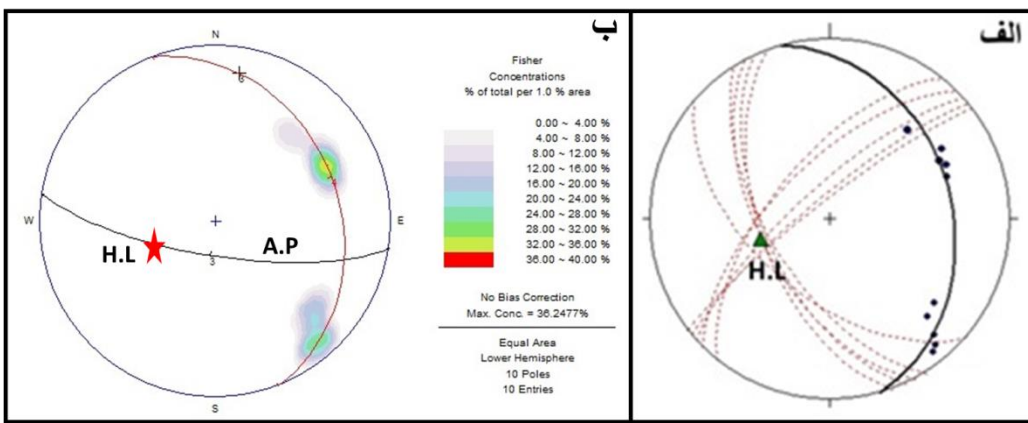
جغرافیایی "۳۶° ۵۴' ۵۸.۹" شمالی و "۳۹.۷' ۵۵ ۲۷'" شرقی قرار دارد(شکل ۳-۷۲). داده‌های اندازه گیری

این چین در(پیوست ۱۶) و استریوگرام داده‌های برداشت شده از آن را در (شکل ۳-۷۳) مشاهده می‌شوند.



شکل ۳-۷۲- تصویر صحراوی چین  $FO_2$  لایه بندی با خط چین‌های قمز رنگ و جهت شیب لایه‌بندی نیز با فلش نشان  
داده شده است (دید به سمت شمال باختری).

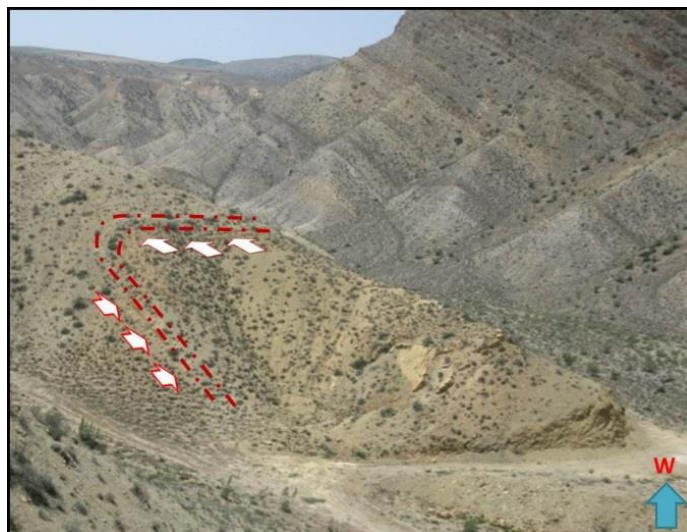
بر اساس استریوگرام‌های حاصل از برداشت لایه‌های این چین، خط لولای این چین دارای موقعیت  
۵۹/۲۵۲ و سطح محوری آن دارای موقعیت ۱۸۸/۷۴ می‌باشد. زاویه بین دویال این چین ۶۸ درجه، که بر  
اساس تقسیم بندی چین‌ها بر اساس زاویه بین یالی (فلوتی، ۱۹۶۴) در رده چین‌های بسته  
(Close) قرار می‌گیرد و در تقسیم بندی دیگر بر اساس شیب سطح محوری و میل لولا (فلوتی، ۱۹۶۴) در  
رده چین‌های با شیب زیاد و تمایل متوسط (Steeply Inclined- Moderately Plunging)، در تقسیم  
بندی بر اساس ریکارد در رده چین‌های کج شده (Inclined Fold) قرار دارد.



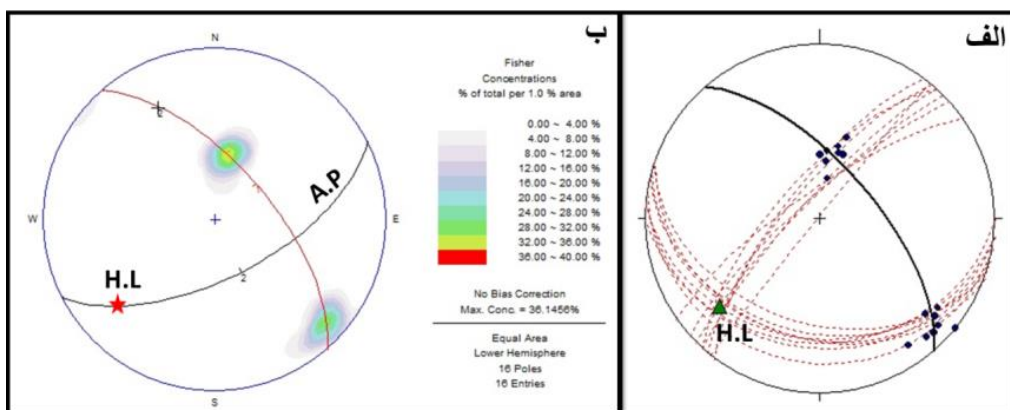
شکل ۷۳-۳- استریوگرام حاصل از داده‌های برداشت شده از چین FO<sub>۲</sub>: الف- نمودار  $\beta$  و نمودار  $\pi$  و تعیین خط لولا (H.L) با موقعیت (۵۷/۲۵۴). ب: نمودار کنتور یال‌های چین به منظور تعیین زاویه بین یالی (۶۸)، و تعیین موقعیت سطح محوری (A.P) با موقعیت (۲۸۰/۶۰).

### FO<sub>۲</sub>- چین ۱-۲-۷-۲-۱

این ناودیس در موقعیت جغرافیایی "۱۰.۹° ۵۵' ۳۶" شمالی و "۱۰.۹° ۲۷' ۵۵" شرقی در سازند خوش بیلاق شناسایی شده است (شکل ۷۴-۳). داده‌های صحرایی برداشت شده از این چین در (پیوست ۱۷) و استریوگرام حاصل از آن در (شکل ۷۵-۳) مشاهده می‌گردد. طبق نمودار  $\pi$  موقعیت خط لولای چین ۲۵/۲۲۹ می باشد و موقعیت سطح محوری این تاقدیس به صورت ۱۵۴/۶۲ به دست آمده است. زاویه بین یالی ۸۵ درجه است. بر اساس تقسیم بندی چین‌ها بر اساس زاویه بین دو یال در رده چین‌های باز (Open) قرار می‌گیرد. در تقسیم بندی دیگر که بر اساس شیب سطح محوری و میل لولا در رده چین‌های با شیب متوسط و با تمایل متوسط (Steeply Inclined – Gently Plunging)، و بر اساس طبقه بندی ریکارد در رده چین‌های کج شده (Inclined Fold) قرار می‌گیرد.



شکل ۳-۷۴-۳- تصویر صحرايی چين  $FO_2$  لایه بندی با خط چین های قمز رنگ و جهت شیب لایه بندی نیز با فلش نشان داده شده است (دید به سمت باخته).



شکل ۳-۷۵-۳- استريوگرام حاصل از داده های برداشت شده از چین  $FO_2$ : الف- نمودار  $\beta$  و نمودار  $\pi$  و تعیین خط لولا (H.L) با موقعیت (۲۵/۲۲۹). ب: نمودار کنتور یال های چین به منظور تعیین زاویه بین یالی (۸۵)، و تعیین موقعیت سطح محوری (A.P) با موقعیت (۱۵۴/۶۲).

جدول ۳-۳- خصوصیات هندسی چین های برداشت شده در سازند خوش بیلاق

استريوگرام	پیمایش	زاویه بین یالی	موقعیت سطح محوری	موقعیت خط لولا	نام چین
	-	۶۸	۱۸۸/۷۴	۵۹/۲۵۲	$FO_2$

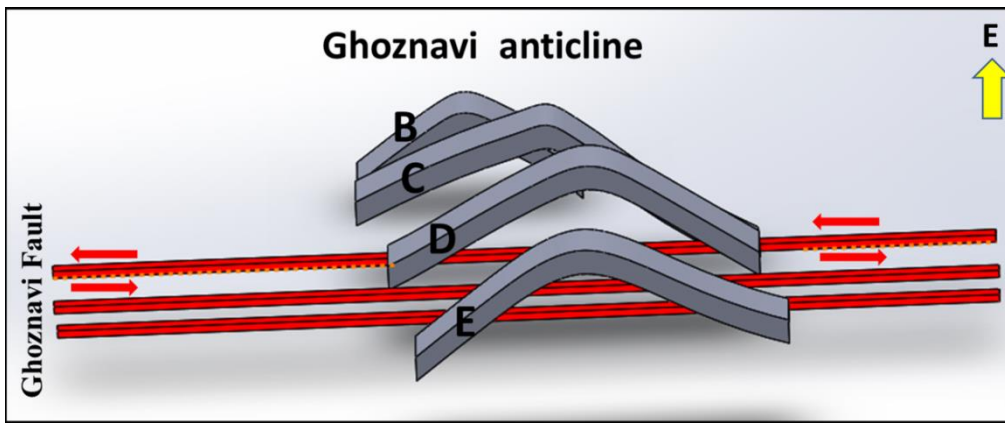
	-	۸۵	۱۵۴/۶۲	۲۵/۲۲۹	FO₃
--	---	----	--------	--------	-----

جدول ۳-۴- جایگاه چین خوردگی‌های سازند خوش بیلاق در تقسیم بندی (Fleuty, ۱۹۶۴) و (Rikard, ۱۹۷۱).

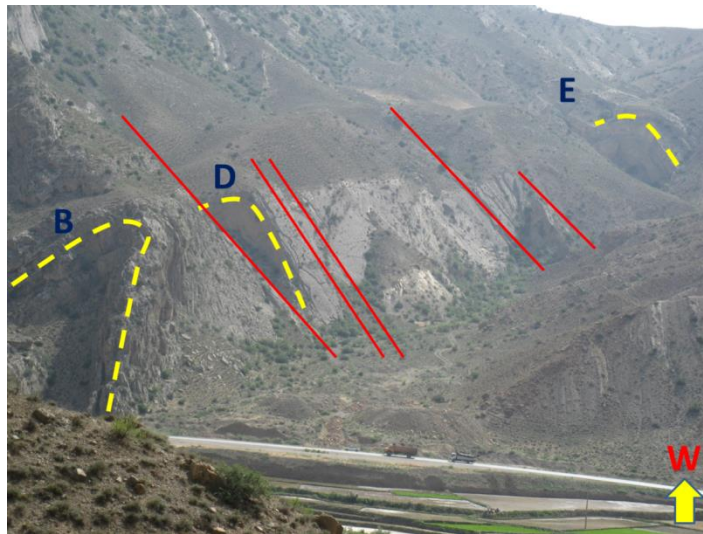
طبقه بندی بر اساس ریکارد	توصیف هندسی چین برمبنای وضعیت لولا و سطح محوری (Fleuty ۱۹۶۴)	توصیف هندسی چین برمبنای زاویه بین یالی (Fleuty ۱۹۶۴)	نام چین
Inclined Fold	Steeply Inclined- Moderately Plunging	Close	FO₁
Inclined Fold	Steeply Inclined – Gently Plunging	Open	FO₂

## ۱-۲-۸- سازند مبارک:

سازند مبارک به سن کربنیفر زیرین، جنس این سازند در منطقه مورد مطالعه عمده‌تا از تناوب آهک‌های نازک لایه تا ضخیم لایه با میان لایه شیل و آهک‌های شیلی تیره رنگ تشکیل شده است. سازند مبارک در این منطقه به صورت همشیب بر روی سازند خوش بیلاق و با ناپیوستگی فرسایشی زیر سازند درود قرار دارد و لایه‌های قرمز رنگ بوکسیت نشانگر ناپیوستگی مرز فوقانی سازند مذکور می‌باشد. برای شناسایی و مطالعه چین‌های موجود در این سازند در ۵ برش چین‌ها برداشت شده است. تاقدیس غزنوی را می‌توان بر روی سازند مبارک در چند مقطع عرضی مشاهده نمود (شکل ۳-۷۷). نکته قابل توجه در این مقاطع عرضی بر روی تاقدیس غزنوی هرچه از سمت شرق به غرب می‌رویم زاویه بین یالی افزایش می‌باید (شکل ۳-۷۶).



شکل ۳-۷۶-۳- مدل سه بعدی تاقدیس غزنوی و پهنه گسلی غزنوی

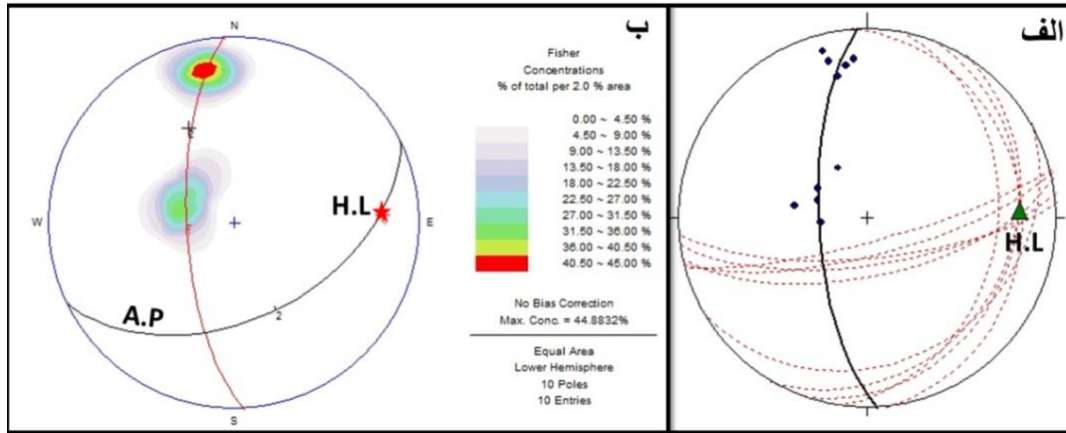


شکل ۳-۷۷-۳- نمایی صحرایی از برش های تاقدیس غزنوی و پهنه گسلی غزنوی (دید به سمت یاخته).

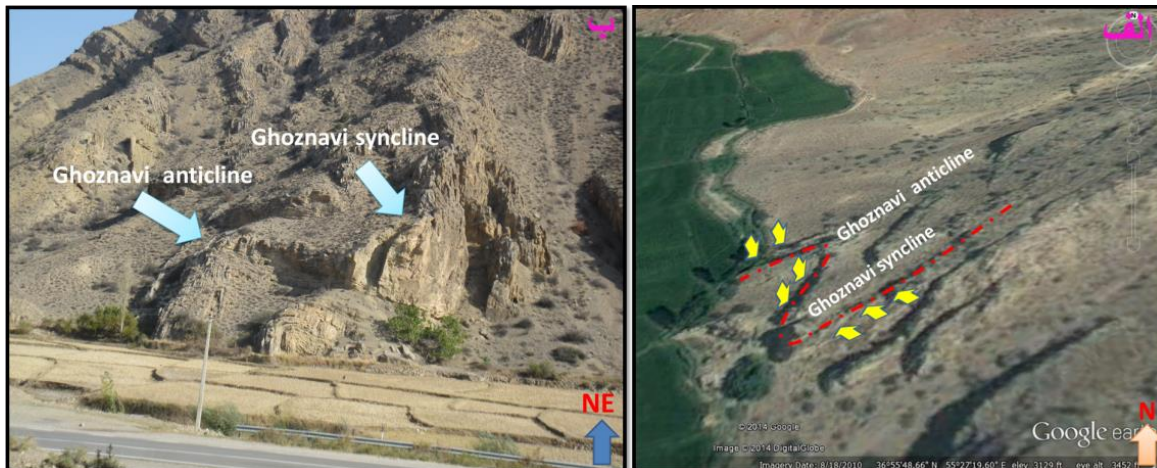
#### ۱-۲-۸-۱- تاقدیس غزنوی در برش A

این چین یک تاقدیس برگشته در سمت شرق جاده آسفالتیه شاهرود به آزادشهر با موقعیت جغرافیایی  $48^{\circ} 74' 55''$  شمالي و  $27^{\circ} 55' 18.76''$  شرقی برداشت شده است (شکل ۳-۷۹). داده های برداشت میداني مرتبط با این تاقدیس در (پیوست ۱۸) آورده شده است. بر اساس استریوگرام های حاصل از برداشت یال های این تاقدیس (شکل ۳-۷۸)، موقعیت خط لولای این چین به صورت  $21/087$  و سطح محوری آن دارای موقعیت  $46/45$  می باشد. زاویه بین دو یال این چین  $65$  درجه می باشد. که بر اساس تقسیم بندی چین ها بر اساس زاویه بین یالی (فلوتی، ۱۹۶۴) در ردیف چین های بسته (Close) قرار دارد و

در تقسیم بندی دیگر بر اساس شیب سطح محوری و میل لولا (Fleuty. ۱۹۶۴) در رده چینهای با شیب متوسط و با میل ملایم (Moderately Inclined – Gently Plunging) قرار می‌گیرد. در تقسیم بندی دیگر بر اساس روش ریکارد در رده چینهای کج شده (Inclined Fold) قرار دارد.



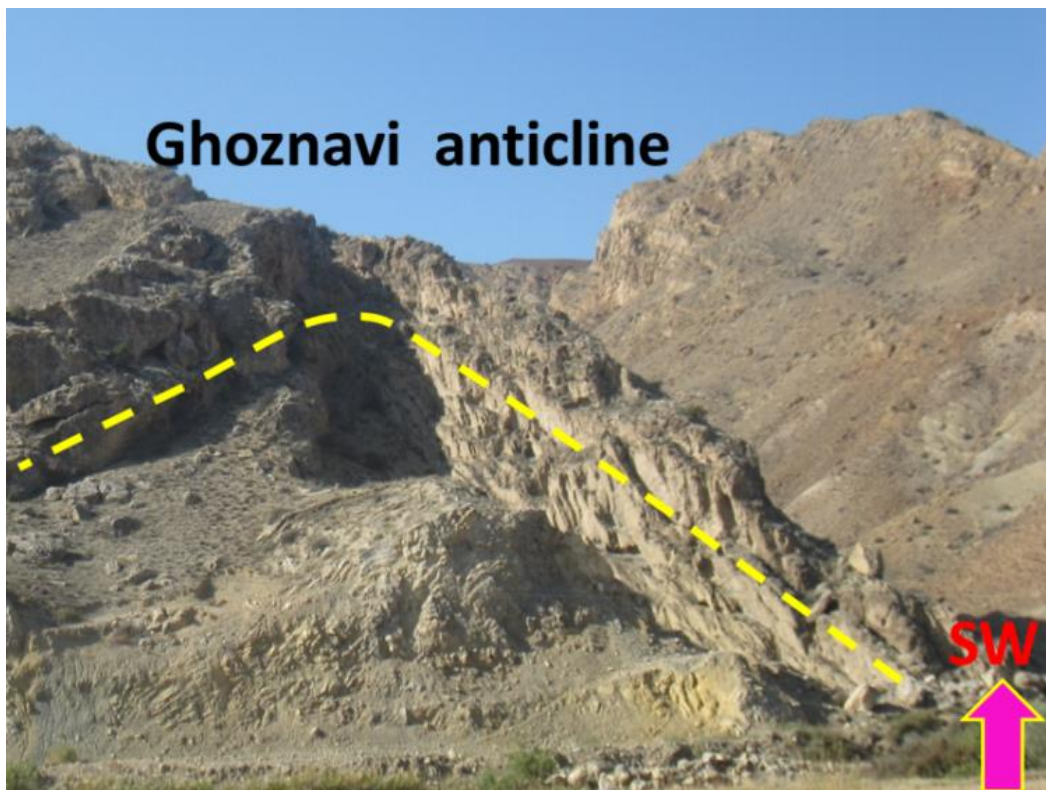
شکل ۳-۷۸-۳- استریوگرام حاصل از داده‌های برداشت شده از تاقدیس غزنوی در مقطع A : الف- نمودار  $\beta$  و نمودار  $\pi$  و تعیین خط لولا (H.L) با موقعیت (۲۱/۰۸۷). ب: نمودار کنتور یال‌های چین به منظور تعیین زاویه بین یالی (۶۵)، و تعیین موقعیت سطح محوری (A.P) با موقعیت (۱۵۴/۴۶).



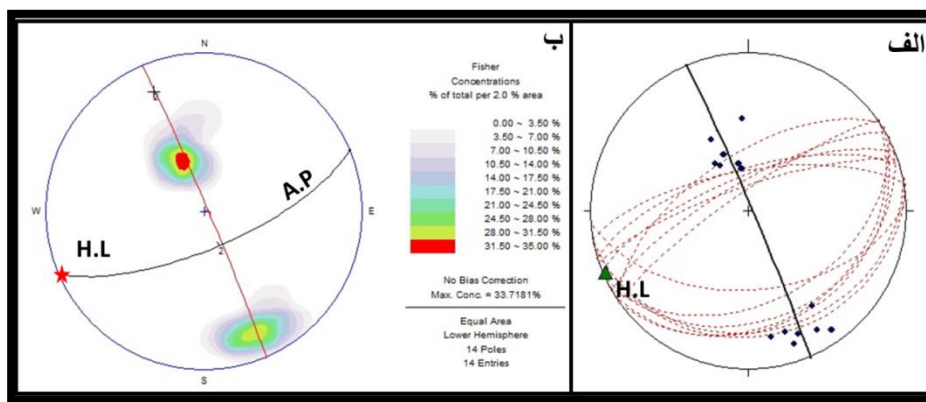
شکل ۳-۷۹-۳- الف - تصویر ماهواره‌ای لندست (Google earth) از تاقدیس و ناودیس غزنوی در برش A، در سمت راست جاده آسفالتی شاهرود به آزاد شهر و جهت شیب لایه‌بندی یال‌های چین با فلش‌های زرد رنگ نشان داده شده است (جهت دید به سمت شمال). ب: تصویر صحرایی از تاقدیس و ناودیس غزنوی در برش A بر روی سازند مبارک (دید به سمت شمال خاوری).

### ۱-۸-۲-۱- تاقدیس غزنوی در برش B

این برش در جنوب روستای غزنوی در موقعیت جغرافیایی "  $44.4^{\circ}$   $55' 36''$  شمالی و "  $27' 0.756^{\circ}$  شرقی قرار دارد(شکل ۳-۸۰). داده‌های اندازه گیری شده این چین در (پیوست ۱۹) و استریوگرام آن را در (شکل ۳-۸۱) مشاهده می‌شوند. با بررسی این استریوگرام‌ها، موقعیت خط لولای این تاقدیس به صورت  $0^{\circ} 76'$  می‌باشد. همچنین سطح محوری چین نیز با موقعیت  $163/67$  به دست آمده است. زاویه بین دو یال  $80^{\circ}$  درجه و بنابر تقسیم‌بندی چین‌ها بر اساس زاویه بین دو یال در رده باز (Open) قرار می‌گیرد. در تقسیم‌بندی دیگر براساس شب سطح محوری و میل لولا در رده چین‌های با سطح محوری پرشیب و خط لولای افقی (Steeply Inclined – Horizontal) قرار می‌گیرد. بر اساس تقسیم‌بندی ریکارد در رده چین‌های کج شده (Horizontal Fold) قرار می‌گیرد.



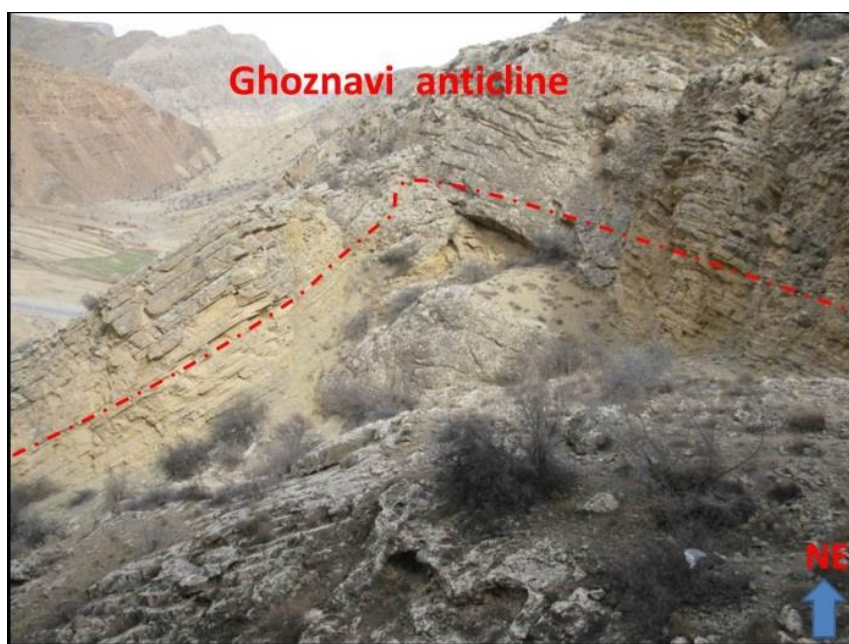
شکل ۳-۸۰- تصویر صحرایی تاقدیس غزنوی در برش B، لایه‌بندی با خط چین‌های زرد رنگ نشان داده شده است (دید به سمت شمال خاوری).



شکل ۳-۸۱-۳- استریوگرام حاصل از داده‌های برداشت شده از تاقدیس غزنوی در مقطع A: الف- نمودار  $\beta$  و نمودار  $\pi$  و تعیین خط لولا (H.L) با موقعیت (۰۵/۰۷۶). ب: نمودار کنتور یال‌های چین به منظور تعیین زاویه بین یالی (۸۰)، و تعیین موقعیت سطح محوری (A.P) با موقعیت (۶۷/۶۳).

۱-۲-۸-۳- تاقدیس غزنوی در پرش C

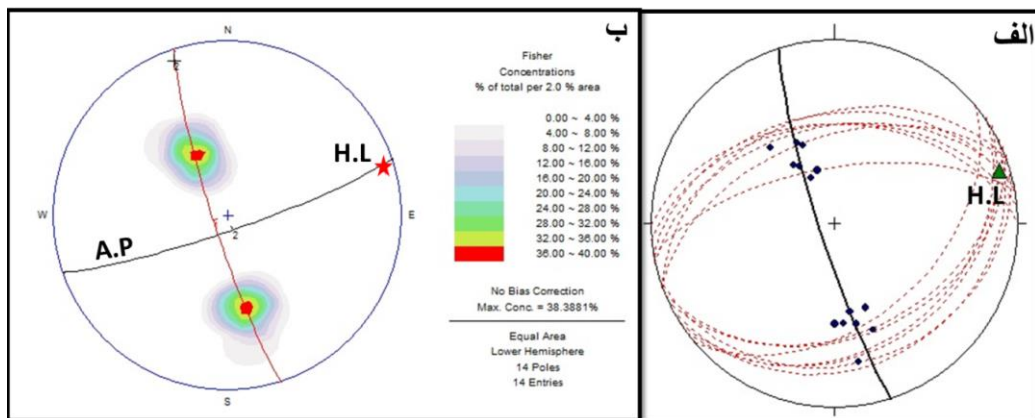
این مقطع در کنار جاده ارتباطی شهر شاهروود - آزادشهر در موقعیت جغرافیایی "۴۲.۱۸°، ۵۵' و ۳۶° شمالی و "۰۲.۲۵°، ۵۵' و ۲۷° شرقی در جنوب روستای غزنوی قرار دارد (شکل ۳-۸۲). داده‌های اندازه گیری این چیز در (پیوست ۲۰) و استریوگرام آن را در (شکل ۳-۸۳) مشاهده می‌شوند.



شکل ۸۲-۳- تصویر صحرایی تاقدیس غزنوی در برش C، لایه بندی با خط چین‌های قرمز رنگ نشان داده شده است (دید به سمت شمال خاوری).

## فصل سوم : زمین شناسی ساختمانی

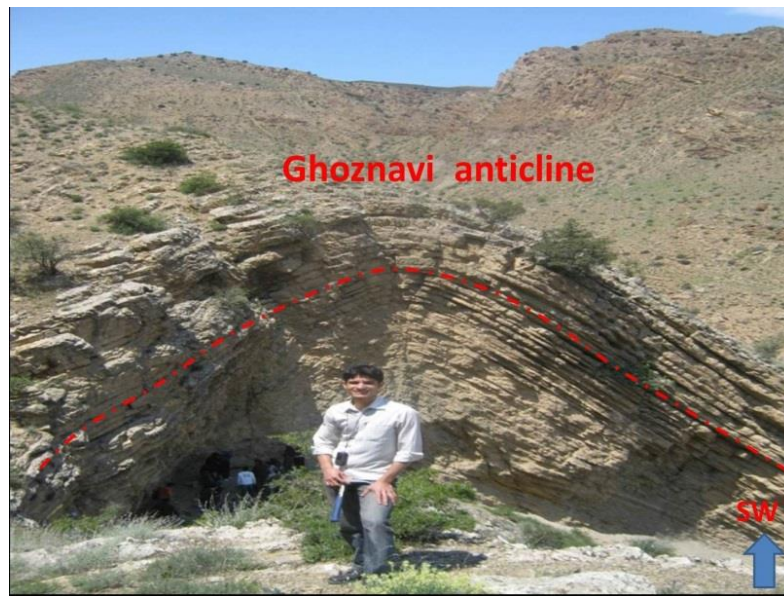
با بررسی این استریوگرام‌ها، موقعیت خط لولای این تاقدیس به صورت ۰۷/۰۷۲ می‌باشد. همچنین سطح محوری چین نیز با موقعیت ۱۶۶/۸۴ به دست آمده است. زاویه بین دو یال ۱۰۴ درجه است و بنابر تقسیم‌بندی چین‌ها بر اساس زاویه بین دو یال در رده باز (Open) قرار می‌گیرد. در تقسیم‌بندی دیگر براساس شیب سطح محوری و میل لولا در رده چین‌های با سطح محوری ایستاده و خط لولای افقی (Upright –Horizontal ) قرار می‌گیرد. و در تقسیم‌بندی ریکارد در رده چین‌های افقی ایستاده (Horizontal Upright Fold) قرار می‌گیرد.



شکل ۳-۸۳-۳- استریوگرام حاصل از داده‌های برداشت شده از چین: الف- نمودار  $\beta$  و نمودار  $\pi$  و تعیین خط لولا (H.L) با موقعیت (۰۷/۰۷۲). ب: نمودار کنتور یال‌های چین به منظور تعیین زاویه بین یالی (۱۰۴)، و تعیین موقعیت سطح محوری (A.P) با موقعیت (۱۶۶/۸۴).

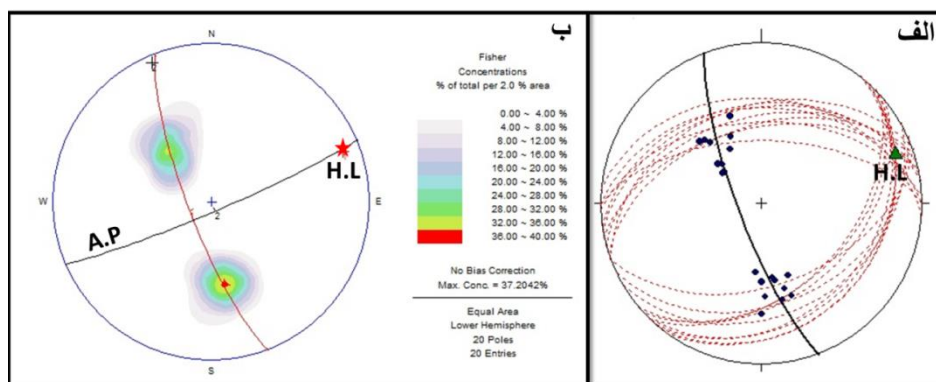
### ۴-۸-۲-۱- تاقدیس غزنوی در برش D

این برش در جنوب روستای غزنوی در موقعیت جغرافیایی "۴۱.۹۸° ۳۶° ۵۵' ۵۵'" شمالی و "۰۱۰.۲° ۲۷' ۰۵۵'" شرقی در سازند مبارک برداشت شده است (شکل ۳-۸۴). برداشت‌های میدانی مرتبط با این چین در (پیوست ۲۱)، استریوگرام‌های رسم شده از این برداشت‌ها که در نیمکره زیرین شبکه اشمیت می‌باشد(شکل ۳-۸۵).



شکل ۳-۸۴-۳- تصویر صحراوی تاقدیس غزنوی در برش D، لایه بندی با خط چین‌های قرمز رنگ نشان داده شده است (دید به سمت جنوب باختری).

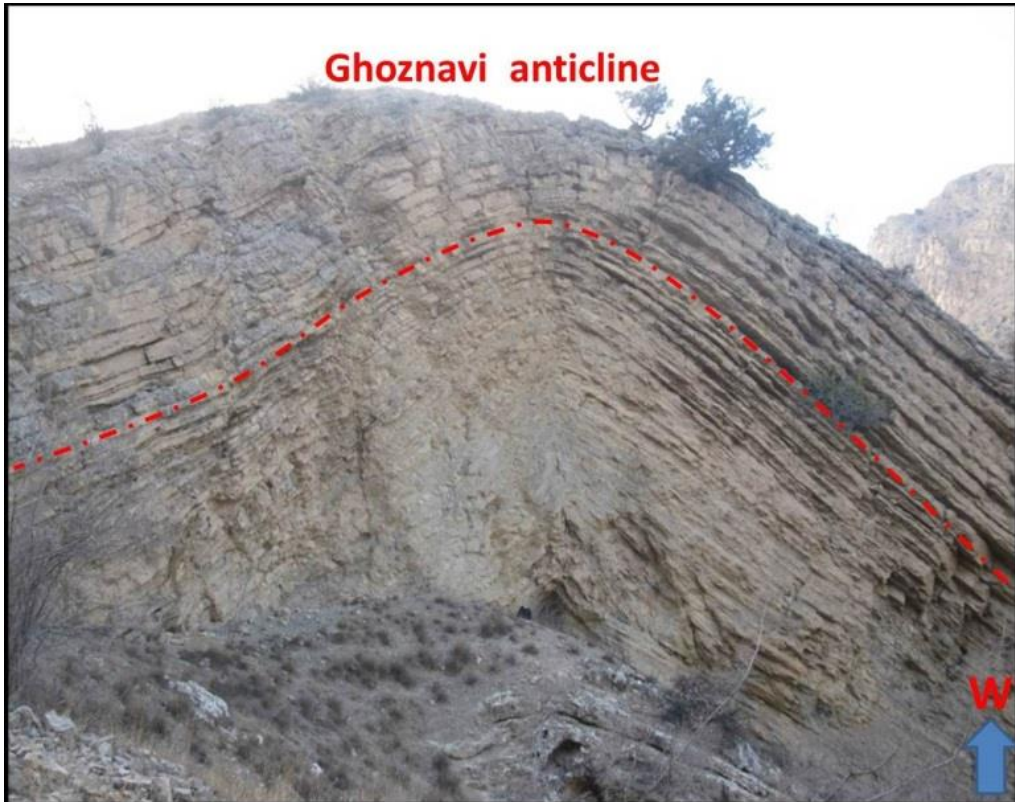
طبق نمودار  $\pi$ ، موقعیت خط لولای چین صورت  $12/069$  می‌باشد و موقعیت سطح محوری این تاقدیس به صورت  $158/85$  به دست آمده است. زاویه بین یالی  $106^\circ$  درجه است. بر اساس تقسیم بندی چین‌ها بر اساس زاویه بین دو یال در ردۀ چین‌های باز (Open)، در تقسیم بندی دیگر که بر اساس شب سطح محوری و میل لولا در ردۀ چین‌های ایستاده با میل ملایم (Upright – Gently plunging) قرار گرفته است. بر اساس طبقه بندی ریکارد در ردۀ چین‌های چین‌های ایستاده (Upright Fold) قرار می‌گیرد.



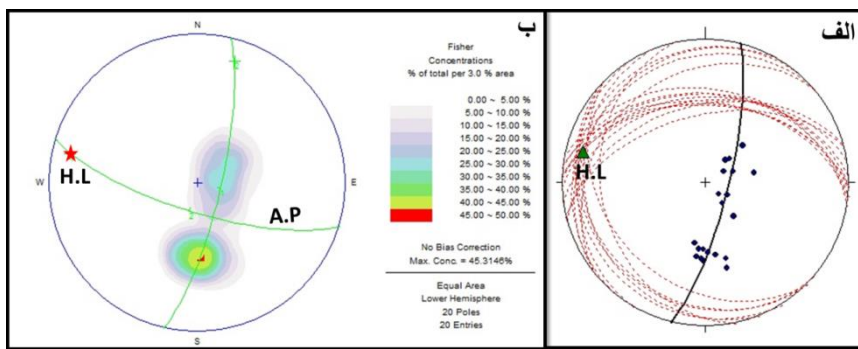
شکل ۳-۸۵-۳- استریوگرام حاصل از داده‌های برداشت شده از چین: الف- نمودار  $\beta$  و نمودار  $\pi$  و تعیین خط لولا (H.L) با موقعیت  $(12/069)$ . ب: نمودار کنتور یال‌های چین به منظور تعیین زاویه بین یالی( $106^\circ$ )، و تعیین موقعیت سطح محوری (A.P) با موقعیت  $(158/85)$ .

### ۱-۲-۵-۵- تاقدیس غزنوی در برش E

این برش در جنوب روستای غزنوی در موقعیت جغرافیایی "۳۸.۷۹' ۵۵' ۳۶' شمالی و "۴۰.۳۴' ۲۶' ۵۵' شرقی قرار دارد(شکل ۳-۸۶). داده‌های اندازه گیری شده این چین در (پیوست ۲۲) و استریوگرام آن را در (شکل ۳-۸۷) مشاهده می‌شوند. با بررسی این استریوگرام‌ها، موقعیت خط لولای این تاقدیس به صورت ۱۳/۲۸۴ می‌باشد. همچنین سطح محوری چین نیز با موقعیت ۱۹۵/۷۴ به دست آمده است. زاویه بین دو یالی ۱۲۸ درجه و بنابر تقسیم‌بندی چین‌ها بر اساس زاویه بین دو یال در رده ملایم قرار می‌گیرد. در تقسیم‌بندی دیگر براساس شیب سطح محوری و میل لولا در رده چین‌های سطح محوری پرشیب و خط لولا با میل ملایم (Steeply Inclined – Gently Plunging) قرار می‌گیرد. در تقسیم‌بندی ریکارد در رده چین‌های کج شده (Inclined Fold) قرار می‌گیرد.



شکل ۳-۸۶- تصویر صحرایی تاقدیس غزنوی در برش E، لایه‌بندی با خط چین‌های قرمز رنگ نشان داده شده است (دید به سمت باخته).



شکل ۳-۸۷-۳- استریوگرام حاصل از داده های برداشت شده از چین: الف- نمودار  $\beta$  و نمودار  $\pi$  و تعیین خط لولا (H.L) با موقعیت (۱۳/۲۸۴). ب: نمودار کنتور یال های چین به منظور تعیین زاویه بین یالی (۱۲۸)، و تعیین موقعیت سطح محوری (A.P) با موقعیت (۱۹۵/۷۴)

جدول ۳-۵- خصوصیات هندسی چین های برداشت شده در سازند مبارک

استریوگرام	پیمایش	زاویه بین یالی	موقعیت سطح محوری	موقعیت خط لولا	نام چین
	A	۶۵	۱۵۴/۴۶	۲۱/۰۸۷	تاقدیس غزنوی
	B	۸۰	۱۶۳/۶۷	۰۵/۰۷۶	تاقدیس غزنوی
	C	۱۰۴	۱۶۶/۸۴	۰۷/۰۷۲	تاقدیس غزنوی
	D	۱۰۶	۱۵۸/۸۵	۱۲/۰۶۹	تاقدیس غزنوی

## فصل سوم : زمین شناسی ساختمانی

	E	۱۲۸	۱۹۵/۷۴	۱۳/۲۸۴	تاقدیس غزنوی
--	---	-----	--------	--------	--------------

جدول ۳-۶- جایگاه چین خوردگی‌های سازند مبارک در تقسیم بندی (Rikard, ۱۹۷۱) و (Fleuty, ۱۹۶۴).

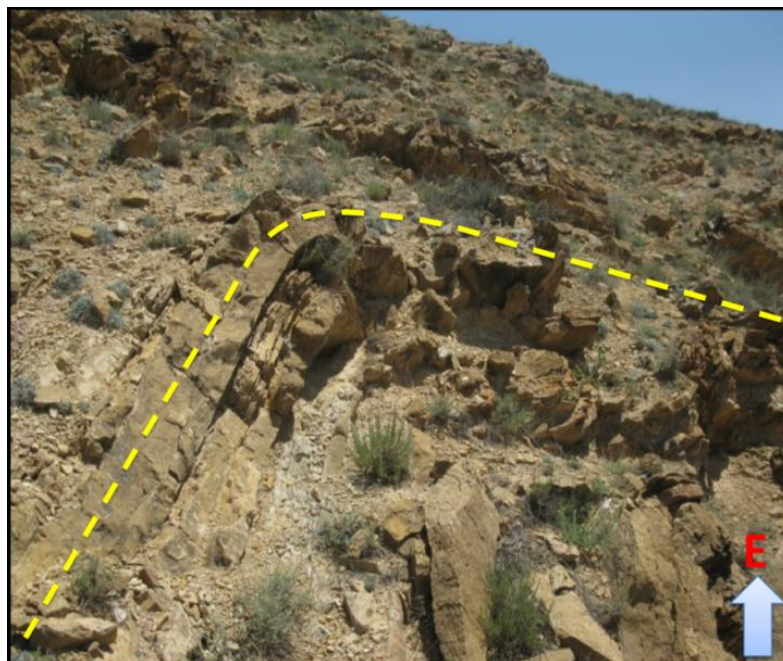
طبقه بندی بر اساس ریکارد	توصیف هندسی چین برمبنای وضعیت لولا و سطح محوری (Fleuty ۱۹۶۴)	توصیف هندسی چین برمبنای زاویه بین یالی (Fleuty ۱۹۶۴)	نام چین
Inclined Fold	Steeply Inclined – Gently Plunging	close	تاقدیس غزنوی برش A
Horizontal Fold	Steeply Inclined – Horizontal	Open	تاقدیس غزنوی برش B
Horizontal Upright Fold	Upright –Horizontal	Open	تاقدیس غزنوی برش C
Upright Fold	Upright – Gently plunging	Open	تاقدیس غزنوی برش D
Inclined Fold	Steeply Inclined – Gently Plunging	Gentle	تاقدیس غزنوی برش E

### ۱-۲-۹- سازند روته:

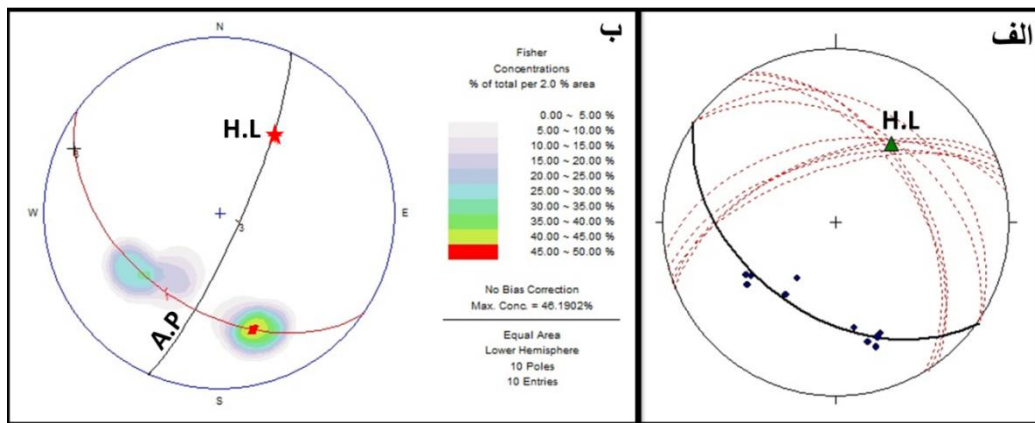
سازند روته با جنس آهک ضخیم لایه تا نازک لایه خاکستری تا کرم رنگ با میان لایه‌های آهک مارنی تشکیل شده است، که سن این سازند پر مین میانی می‌باشد که در منطقه مورد مطالعه بر روی سازند دورود (پر مین زیرین) و خود توسط آهک‌های ورمیکوله سازند الیکا پوشانده می‌شود. برای شناسایی و مطالعه چین‌های موجود در این سازند، در ۲ رخنمون چین‌ها برداشت شده است که موقعیت آنها در نقشه زمین شناسی تهیه شده از منطقه (شکل ۲-۲۱) نشان داده شده است. این چین به ترتیب  $FO_4$  و  $FO_5$  نام گذاری شده‌اند.

### ۱-۹-۲-۱- تاقدیس؛ FO؛

این تاقدیس حاصل چین خوردگی لایه‌های سازند روته در شمال باختری روستای تیل آباد در کنار معدن بوکسیت با موقعیت جغرافیایی " ۳۶° ۵۵' ۳۲.۴۲" شمالی و " ۵۵° ۲۸' ۱۱.۷۰" شرقی قرار دارد (شکل ۳-۸۸). برداشت‌های میدانی مرتبط با این چین در (پیوست ۲۳) آورده شده است، (شکل ۳-۸۹) نشان دهنده استریوگرام‌های رسم شده در نیمکره زیرین شبکه اشمیت برای این چین می‌باشد. طبق نمودار آ، موقعیت خط لولای چین به صورت  $44/035^{\circ}$  می‌باشد و موقعیت سطح محوری این تاقدیس به مقدار  $114/81^{\circ}$  به دست آمده است. زاویه بین یالی  $127^{\circ}$  درجه و بر اساس تقسیم بندی چین‌ها بر اساس زاویه بین دو یال در رده چین‌های ملایم (Gentle) قرار می‌گیرد. در تقسیم بندی دیگر که بر اساس شیب سطح محوری و میل لولا در رده چین‌های ایستاده با تمایل متوسط (Upright – Moderately Inclined Fold) قرار گرفته است. بر اساس طبقه بندی ریکارد در رده چین‌های کج شده (Plunging Fold) قرار می‌گیرد.



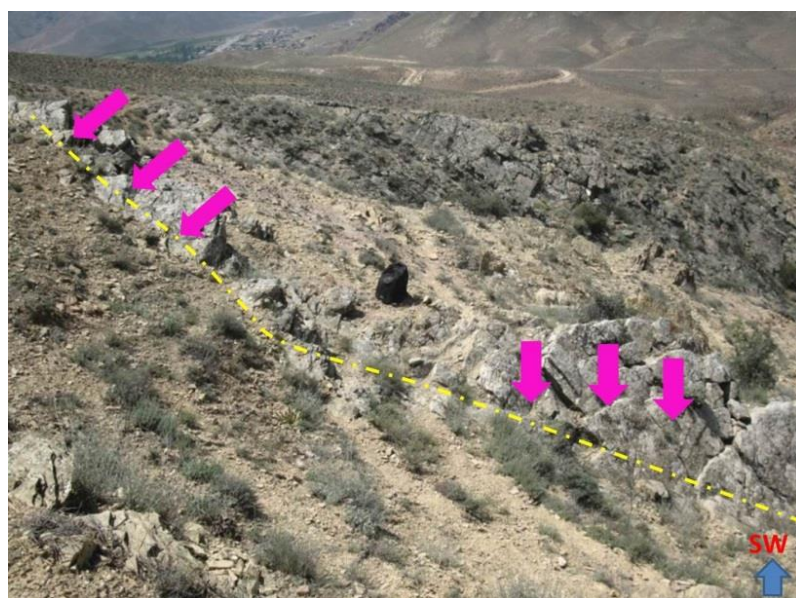
شکل ۳-۸۸-۱- تاقدیس؛ FO؛ لایه بندی با خط چین‌های زرد رنگ نشان داده شده است (دید به سمت شرق).



شکل ۳-۸۹-۳- استریوگرام حاصل از داده های برداشت شده از تاقدیس ۴ FO<sub>۵</sub> نمودار  $\beta$  و نمودار  $\pi$  و تعیین خط لولا (H.L) با موقعیت (۴۴/۰۳۵). الف: نمودار کنتور یال های چین به منظور تعیین زاویه بین یالی (۱۲۷)، و تعیین موقعیت سطح محوری (A.P) با موقعیت (۱۱۴/۸۱).

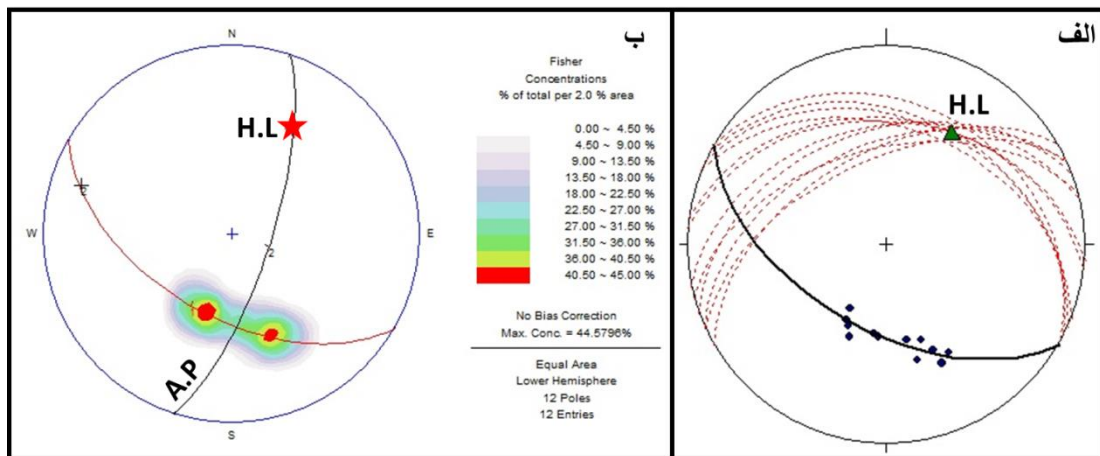
#### ۱-۲-۹-۲-۹- FO<sub>۵</sub> تاقدیس

این چین در شمال باختری تیل آباد در موقعیت جغرافیایی "۳۶° ۳۵.۹۲' ۵۵' ۲۸' ۲۳.۳۶' شمالی و "۵۵° ۵۵' ۳۵.۹۲' شرقی در سازند دروته برداشت شده است (شکل ۳-۹۰). می توان برداشت های میدانی مرتبط با این چین را در (پیوست ۲۴) مشاهده نمود، و (شکل ۳-۹۱) نشان دهنده استریوگرام های رسم شده مربوط با این چین می باشد.



شکل ۳-۹۰- تصویر صحرایی تاقدیس FO<sub>۵</sub> لایه بندی با خط چین های زرد رنگ و جهت شیب لایه ها نیز با فلش های نارنجی نشان داده شده است (دید به سمت جنوب باختری).

با بررسی استریوگرام‌های بدست آمده برای این چین، موقعیت خط لولا به صورت  $35/030$  و موقعیت سطح محوری این تاقدیس به صورت  $108/73$  می‌باشد. زاویه بین یالی این چین  $151$  درجه است. بر اساس تقسیم بندی چین‌ها بر اساس زاویه بین دو یال در رده چین‌های ملایم (Gentle) قرار می‌گیرد. در تقسیم بندی دیگر که بر اساس شیب سطح محوری و میل لولا در رده چین‌های با شیب زیاد و تمایل متوسط (Steeply Inclined – Moderately Plunging) قرار گرفته است. بر اساس طبقه بندی ریکارد در رده چین‌های چین‌های کج شده (Inclined Fold) قرار می‌گیرد.



شکل ۳-۹۱-۳- استریوگرام حاصل از داده‌های برداشت شده از تاقدیس  $\text{FO}$ : نمودار  $\beta$  و نمودار  $\pi$  و تعیین خط لولا (H.L.) با موقعیت  $(35/030)$ . ب: نمودار کنتور یال‌های چین به منظور تعیین زاویه بین یالی ( $151$ )، و تعیین موقعیت سطح محوری (A.P.) با موقعیت  $(108/73)$ .

جدول ۳-۷- خصوصیات هندسی چین‌های برداشت شده در سازند دورود

نام چین	موقعیت خط لولا	موقعیت سطح محوری	زاویه بین یالی	استریوگرام
$\text{FO}_\epsilon$	$44/035$	$114/81$	$127$	
$\text{FO}_\circ$	$35/030$	$108/73$	$151$	

## فصل سوم : زمین شناسی ساختمانی

جدول ۳-۸- جایگاه چین خوردگی های سازند دورود در تقسیم بندی های (Fleuty, ۱۹۶۴) و (Rikard, ۱۹۷۱).

طبقه بندی بر اساس ریکارد	توصیف هندسی چین بر مبنای وضعیت لولا و سطح محوری (Fleuty ۱۹۶۴)	توصیف هندسی چین بر مبنای زاویه بین یالی (Fleuty ۱۹۶۴)	نام چین
Upright Fold	Upright – Moderately Plunging	Gentle	FO <sub>4</sub>
Inclined Fold	Steeply Inclined – Moderately Plunging	Gentle	FO <sub>5</sub>

### ۱۰-۲-۱ - سازند الیکا :

سازند آهکی الیکا در این منطقه دارای دو بخش است. بخش زیرین این سازند با آهکهای نازک لایه ریزدانه شروع می شود و در بخش بالایی به سنگ آهک دولومیتی و دولومیت های ضخیخم لایه تبدیل می شود. تحت تاثیر فشرگی و کوتاه شدگی که قرار گرفته، چین های مختلفی در منطقه بوجود آورده است. برای شناسایی و مطالعه چین های موجود در این سازند در ۴ رخنمون چین ها برداشت شده است که موقعیت آنها در نقشه زمین شناسی تهیه شده از منطقه در (شکل ۲۱-۲) نشان داده شده است. این چین به ترتیب FO<sub>5</sub> تا FO<sub>1</sub> نام گذاری شده اند.

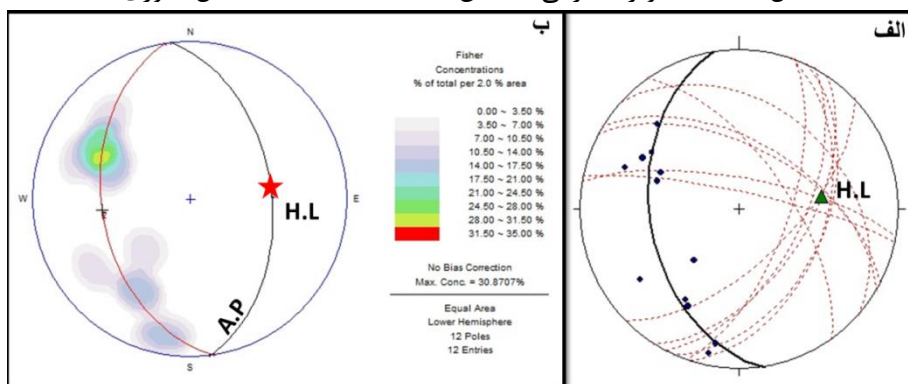
### ۱۰-۲-۱-۱ - تاقدیس FO<sub>6</sub>

این چین به صورت تاقدیس برگشته در شمال روستای تیلآباد در موقعیت جغرافیایی " ۵۵.۵۴' ۵۵° شمالي و " ۱۲.۴۸' ۲۸° شرقی در سازند الیکا برداشت شده است (شکل ۹۲-۳). برداشت های میداني مرتبط با این چین در (پیوست ۲۵) آورده شده است. (شکل ۹۳-۳) نشان دهنده استریوگرام های رسم شده مرتبط با این چین در نیمکره زیرین شبکه اشمیت می باشد. طبق نمودار  $\pi$ , موقعیت خط لولای چین ۴۷/۰۸۱ می باشد، موقعیت سطح محوری این تاقدیس به صورت  $83/47^{\circ}$  به دست آمده است. زاویه بین یالی ۸۱ درجه و بر اساس تقسیم بندی چین ها بر اساس زاویه بین دو یال در رده چین های باز (Open) قرار می گیرد. در تقسیم بندی دیگر که بر اساس شیب سطح محوری و میل لولا در رده چین های

با سطح محوری شیب متوسط و خط لولای با میل متوسط (Moderately Inclined– Moderately Plunging Fold) قرار گرفته است. بر اساس طبقه بندی ریکارد در رده چین‌های کج شده (Plunging Fold) قرار می‌گیرد.



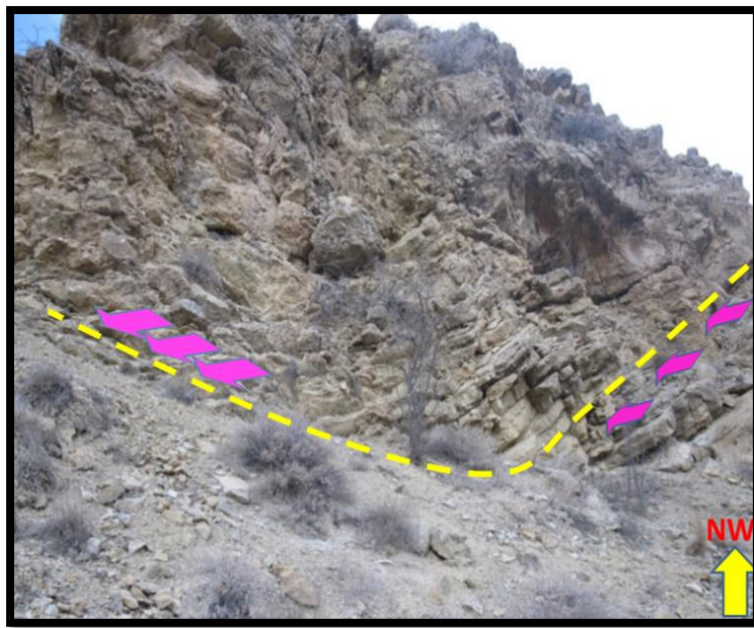
شکل ۳-۹۲-۳- تصویر صحراوی تاقدیس FO<sub>6</sub> (دید به سمت شمال خاوری).



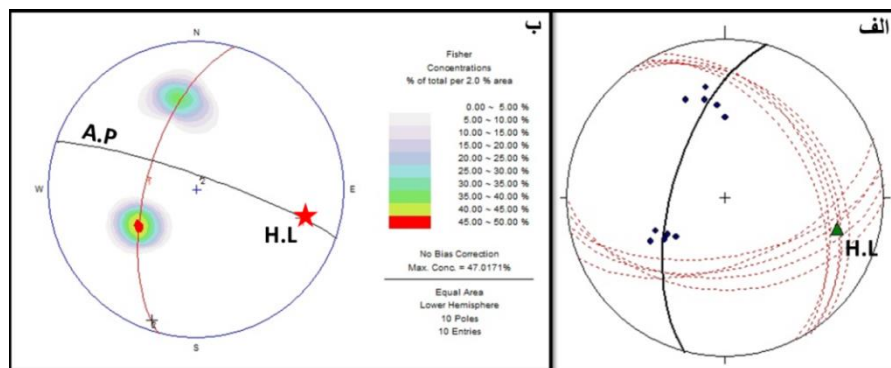
شکل ۳-۹۳-۳- استریوگرام حاصل از داده‌های برداشت شده از تاقدیس FO<sub>6</sub>: نمودار  $\beta$  و نمودار  $\pi$  و تعیین خط لولا (H.L) با موقعیت (۰۸۳/۴۷)، ب: نمودار کنتور یال‌های چین به منظور تعیین زاویه بین یالی (۸۱)، و تعیین موقعیت سطح محوری (A.P) با موقعیت (۰۸۳/۴۷).

### ۱۰-۲-۱- ناودیس FO<sub>7</sub>

این ناودیس در جنوب روستای تیلآباد در موقعیت جغرافیایی "۳۶°۵۳'۲۰.۲۵" شمالی و "۲۷'۴۳.۲۰" شرقی شناسایی شده است (شکل ۹۴-۳). داده‌های اندازه گیری این چین در (پیوست ۲۶) و استریوگرام آن را در (شکل ۹۵-۳) مشاهده می‌شوند. با بررسی این استریوگرام‌ها، موقعیت خط لولا این ناودیس به صورت ۱۰۵/۲۸ می‌باشد. همچنین سطح محوری چین نیز با موقعیت ۱۹/۸۲ به دست آمده است. زاویه بین دو یال ۱۰۷ درجه و بنابر تقسیم‌بندی چین‌ها بر اساس زاویه بین دو یال در رده باز (Open) قرار می‌گیرد. در تقسیم‌بندی دیگر براساس شیب سطح محوری و میل لولا در رده چین‌های (Upright – Gently Plunging) قرار می‌گیرد. در تقسیم‌بندی ریکارد ایستاده و خط لولا با میل ملائم (Upright Fold) قرار می‌گیرد.



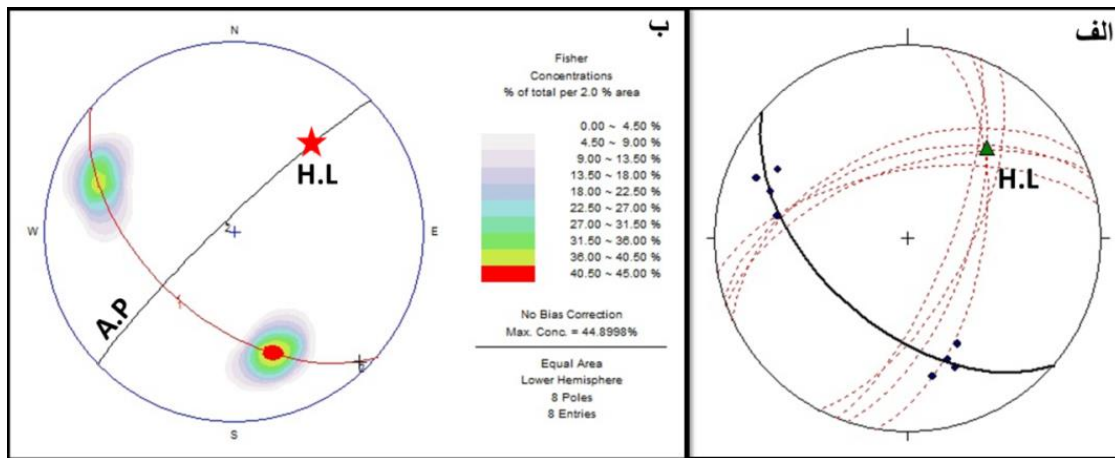
شکل ۹۴-۳- تصویر صحراوی ناودیس FO<sub>7</sub> لایه‌بندی با خط چین‌های زرد رنگ و جهت شیب لایه‌ها نیز با فلش‌های نارنجی نشان داده شده است (دید به سمت شمال باختری).



شکل ۳-۹۵- استریوگرام حاصل از داده‌های برداشت شده از ناویدیس FO<sub>۸</sub>: الف- نمودار  $\beta$  و نمودار  $\pi$  و تعیین خط لولا (H.L) با موقعیت (۲۸/۱۰۵). ب: نمودار کنتور یال‌های چین به منظور تعیین زاویه بین یالی (۱۰۷)، و تعیین موقعیت سطح محوری (A.P) با موقعیت (۰۱۹/۸۲).

### ۱-۲-۳-۱۰- تاقدیس

این تاقدیس در مرز بین سازند الیکا و روته در نزدیکی پل غزنوی در موقعیت جغرافیایی "۳۶° ۵۶' ۰.۳۵۲" شمالی و "۱۷.۸۸° ۲۷' ۵۵" شرقی در سازند الیکا شناسایی شده است (شکل ۳-۹۷). داده‌های صحرایی برداشت شده از این چین در (پیوست ۲۷) آورده شده است، و استریوگرام حاصل از این تاقدیس را در (شکل ۳-۹۶) مشاهده نمود. طبق نمودار  $\pi$ ، موقعیت خط لولا چین صورت ۳۸/۰۴۱ می‌باشد و موقعیت سطح محوری این تاقدیس به مقدار ۳۱۶/۸۴ به دست آمده است. زاویه بین یالی ۷۹ درجه و بر اساس تقسیم بندی چین‌ها بر اساس زاویه بین دو یال در رده چین‌های باز (Open) قرار می‌گیرد. در تقسیم بندی دیگر که بر اساس شیب سطح محوری و میل لولا در رده چین‌های ایستاده با میل متوسط (Upright) - قرار گرفته است. بر اساس طبقه بندی ریکارد در رده چین‌های ایستاده (Upright Fold) قرار می‌گیرد.



شکل ۳-۹۶-۳- استریوگرام حاصل از داده های برداشت شده از تاقدیس  $\text{FO}_8$ : الف- نمودار  $\beta$  و نمودار  $\pi$  و تعیین خط لولا (H.L) با موقعیت (۴۱/۰۸). ب: نمودار کنترول یال های چین به منظور تعیین زاویه بین یالی (۷۹)، و تعیین موقعیت سطح محوری (A.P) با موقعیت (۳۱۶/۸۶).



شکل ۳-۹۷-۳- تصویر صحراوی تاقدیس  $\text{FO}_8$  لایه بندی با خط چین های زرد رنگ و جهت شیب لایه ها نیز با فلش های نارنجی نشان داده شده است (دید به سمت شمال خاوری).

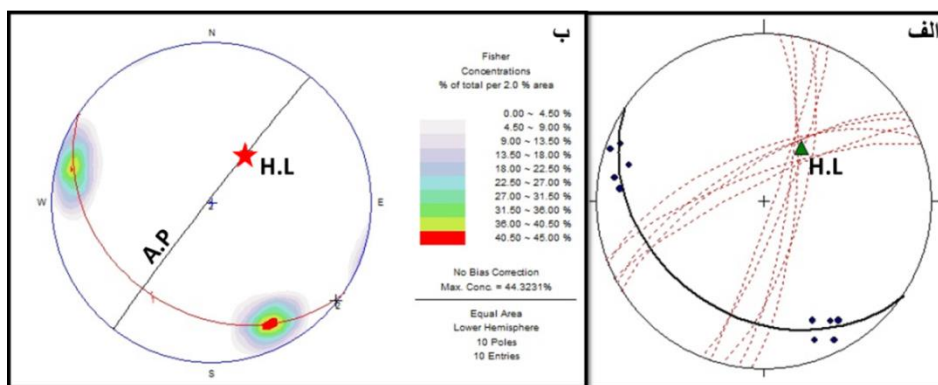
### ۱۰-۲-۱-۴- تاقدیس $\text{FO}_9$

این تاقدیس حاصل چین خوردگی لایه های سازند الیکا در جنوب روستای غزنوی در کنار پل غزنوی با موقعیت جغرافیایی "۱۴.۱۶° ۵۵' ۳۶' ۰.۶۷۱° شمالي و "۱۶' ۲۷' شرقی شناسایي شده است (شکل ۳-



شکل ۳-۹۸-۳- نمایی از تاقدیس  $FO_9$  در سازند الیکا (دید به سمت خاوری)

داده‌های صحراوی برداشت شده از این تاقدیس (پیوست ۲۸)، استریوگرام‌های حاصل از این برداشت در (شکل ۳-۹۹-۳) مشاهده می‌شوند. بر اساس استریوگرام‌های حاصل، خط لولای این چین دارای موقعیت ۵۸،۰۳۴ و سطح محوری آن دارای موقعیت ۳۰۹،۸۷ می‌باشد. زاویه بین دویال این چین ۵۹ و بر اساس تقسیم بندی چین‌ها بر اساس زاویه بین یالی (فلوتی، ۱۹۶۴) در رده چین‌های بسته (Close) قرار دارد، در تقسیم بندی دیگر بر اساس شیب سطح محوری و میل لولا (فلوتی، ۱۹۶۴) در رده چین‌های ایستاده با میل متوسط (Upright – Moderately Plunging) قرار می‌گیرد. در تقسیم بندی دیگر بر اساس ریکارد در رده چین‌های ایستاده (Upright Fold) قرار دارد.



شکل ۳-۹۹-۳- استریوگرام حاصل از داده‌های برداشت شده از تاقدیس  $FO_9$  : الف- نمودار  $\beta$  و نمودار  $\pi$  و تعیین خط لولا (H.L) با موقعیت (۵۸/۰۳۴). ب: نمودار کنتور یال‌های چین به منظور تعیین زاویه بین یالی (۵۹)، و تعیین موقعیت سطح محوری (P) با موقعیت (۳۱۶/۸۴).

### فصل سوم : زمین شناسی ساختمانی

جدول ۹-۳- خصوصیات هندسی چین‌های برداشت شده در سازند الیکا

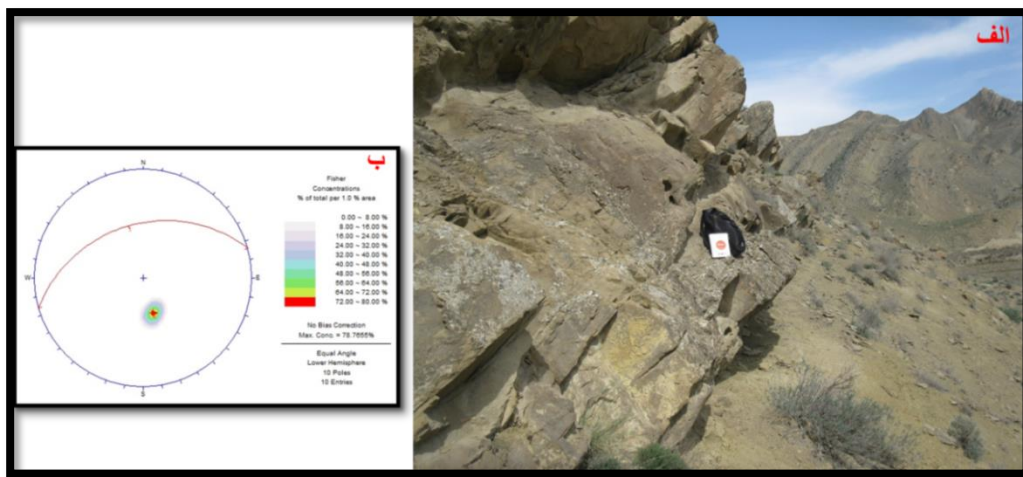
نام چین	موقعیت خط لولا	موقعیت سطح محوری	زاویه بین یالی	استریوگرام
FO <sub>۱</sub>	۴۷/۰۸۱	۰۸۳/۴۷	۸۱	
FO <sub>۷</sub>	۲۸/۱۰۵	۰۱۹/۸۲	۱۱۰	
FO <sub>۸</sub>	۳۹/۰۴۱	۳۱۶/۸۴	۷۹	
FO <sub>۹</sub>	۵۸/۰۳۴	۳۰۹/۸۷	۵۹	

جدول ۱۰-۳ - جایگاه چین خوردگی‌های سازند الیکا در تقسیم بندی (Rikard, ۱۹۷۱) و (Fleuty, ۱۹۶۴)

طبقه بندی بر اساس ریکارد	توصیف هندسی چین بر مبنای وضعیت لولا و سطح محوری (Fleuty ۱۹۶۴)	توصیف هندسی چین بر مبنای زاویه بین یالی (Fleuty ۱۹۶۴)	نام چین
Inclined Fold	Moderately Inclined– Moderately Plunging	Open	FO <sub>۱</sub>
Upright Fold	Upright – Gently Plunging	Open	FO <sub>۷</sub>
Upright Fold	Upright – Moderately Plunging	Open	FO <sub>۸</sub>
Upright Fold	Upright – Moderately Plunging	Close	FO <sub>۹</sub>

### ۱۱-۲-۱- سازند شمشک :

سازند شمشک در اطراف روستای غزنوی رخنمون داشته، دارای ۳ تا ممبر می‌باشد. لیتوژوژی این سازند تناوبی از ماسه سنگ، شیل و لایه‌های زغالدار می‌باشد. با توجه به تنش‌های واردہ از حالت افقی خارج شده و به صورت لایه‌های تک شیب در محدوده مورد مطالعه رخنمون دارد. طی برداشت‌های میدانی لایه‌های شیبدار این سازند را در موقعیت جغرافیایی "۳۶°۵۶'۲۴.۸۱" شمالی و "۰۳.۷۱°۲۷'۵۵" شرقی اندازه گیری شده است. تصویری از لایه‌های سازند شمشک را در منطقه مورد مطالعه نشان می‌دهد (شکل ۳-۱۰۰-الف). محل این رخنمون در نقشه زمین شناسی (شکل ۲۲-۲) آورده شده است. استریوگرام (شکل ۳-۱۰۰-ب) موقعیت میانگین سطح لایه بندی این سازند را به صورت NW, ۳۸NW N۷۴E نشان می‌دهد.



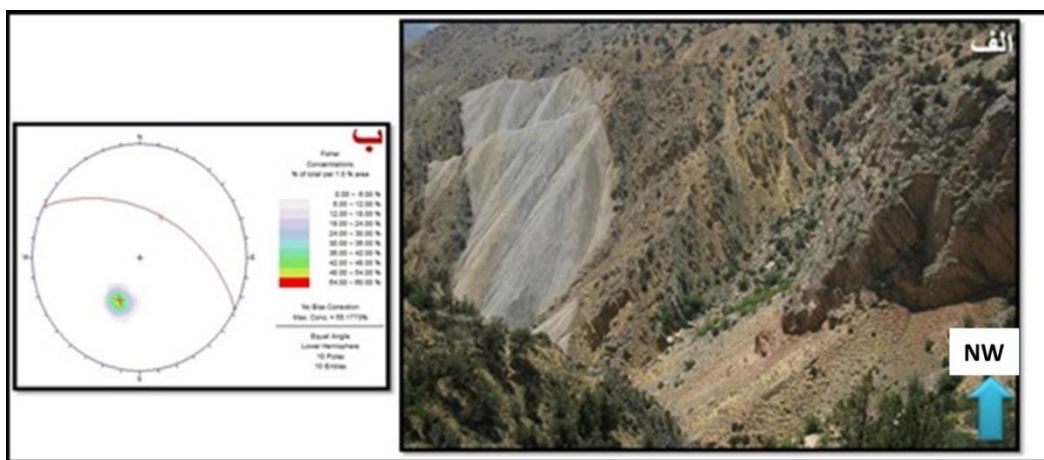
شکل ۳-۱۰۰-۱- تصویر صحراپی چین FO<sub>۱۰</sub> در سازند شمشک (دید به سمت شمال خاوری). ب: تصویر سیکلوگرافیک لایه بندی؛ میانگین سطوح لایه بندی سازند شمشک به صورت NW, ۳۸NW N۷۴E می‌باشد.

### ۱۲-۲-۱- چین خورده‌گی سازند فارسیان :

سازند فارسیان با جنس ماسه سنگ آهکی، مارن و آهک‌های قرمز رنگ به سن ژوراسیک می‌باشد. با توجه به تنش‌های واردہ از حالت افقی خارج شده و به صورت لایه‌های تک شیب در محدوده مورد مطالعه رخنمون دارد. طی برداشت‌های میدانی لایه‌های شیبدار این سازند را در موقعیت جغرافیایی "۱۸.۲۳'"

## فصل سوم : زمین شناسی ساختمانی

۳۶° ۵۷' شمالی و " ۳۳.۱۶' ۲۷' شرقی اندازه گیری شده است. (شکل ۳-۱-الف) تصویری از لایه‌های سازند فارسیان را در منطقه مورد مطالعه نشان می‌دهد. محل این رخنمون در نقشه زمین شناسی با عنوان FO<sub>۱۱</sub> تعیین شده است (شکل ۲-۲). داده‌های اندازه گیری شده از این رخنمون در (پیوست ۳۰) آورده شده است. استریوگرام (شکل ۳-۱-ب) موقعیت میانگین سطح لایه بندی این سازند را به صورت N۶۱W, ۴۶NE نشان می‌دهد.

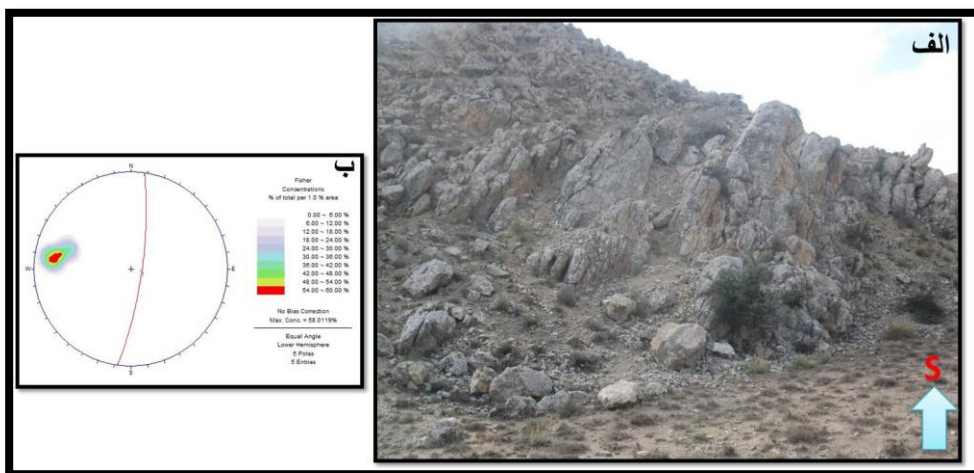


شکل ۳-۱-الف: تصویر صحرایی چین <sub>۱۱</sub> FO در سازند فارسیان (دید به سمت شمال باختی). ب: تصویر سیکلوگرافیک لایه‌بندی؛ میانگین سطوح لایه بندی سازند فارسیان به صورت N۶۱W, ۴۶NE می‌باشد.

### ۱۳-۲-۱- آهک‌های کرتاسه بالایی

این واحد در مجموع از آهک‌های سفید رنگ نازک تا متوسط لایه تشکیل شده است. با توجه به تنوعهای واردہ لایه بندی این واحد از حالت افقی خارج شده و به صورت تک شیب ظاهر گشته‌اند. طی برداشت‌های میدانی لایه‌های شیب دار این واحد در موقعیت جغرافیایی " ۴۷.۴۰' ۳۶° ۵۳' و " ۲۱.۱۰' ۲۸' شمالی و " ۵۵ شرقی اندازه گیری شده است. (شکل ۳-۱-الف) تصویری از لایه‌های آهک‌های کرتاسه بالایی را در محدوده مورد مطالعه نشان می‌دهد. محل این رخنمون در نقشه زمین شناسی (شکل ۲-۲) با عنوان FO<sub>۱۲</sub> تعیین شده است. داده‌های اندازه گیری شده از این رخنمون در (پیوست ۳۱) آورده شده است.

استریوگرام (شکل ۱۰۲-۳-ب) موقعیت میانگین سطح لایه بندی این واحد را به صورت N<sup>۰۹</sup>E, ۷۶E نشان می‌دهد.

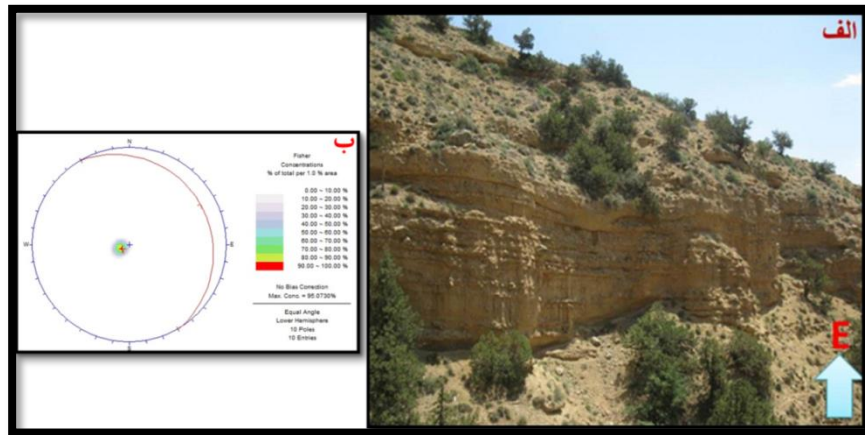


شکل ۱۰۲-۳- تصویر صحرایی چین FO<sub>۱۲</sub> در نهشته‌های پلیوسن ایستگاه دوم (دید به سمت جنوب). ب: تصویر سیکلوفرافیک لایه‌بندی؛ میانگین سطوح لایه بندی نهشته‌های پلیوسن به صورت N<sup>۰۹</sup>E, ۷۶E می‌باشد.

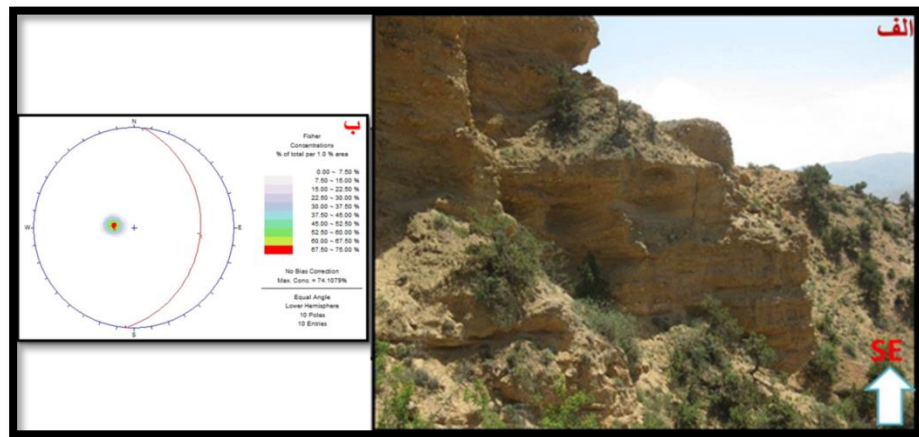
#### ۱۰۴-۲-۱ - نهشته‌های پلیوسن:

نهشته‌های پلیوسن با جنس کنگلومراتی با بین لایه‌های ماسه سنگی می‌باشد. با توجه به تنש‌های وارده لایه بندی این نهشته‌ها از حالت افقی خارج شده و به صورت شیبدار ظاهر گشته‌اند. طی برداشت‌های میدانی لایه‌های شیب دار این سازند را در دو ایستگاه با موقعیت‌های جغرافیایی " ۳۶° ۵۷' ۲۴.۹۸' شمالی و " ۳۳.۱۷' ۲۷' ۵۵° شرقی و " ۳۶° ۵۷' ۲۰.۸۴' شمالی و " ۳۶° ۲۷' ۱۵.۰۴' شرقی اندازه گیری شده است. (شکل ۱۰۳-۳-الف و ۱۰۴-۳-الف) تصویری از لایه‌های نهشته‌های پلیوسن را در منطقه مورد مطالعه نشان می‌دهد. محل این رخنمون این ایستگاه‌ها در نقشه زمین شناسی با عنوان FO<sub>۱۲</sub> و FO<sub>۱۴</sub> تعیین شده است (شکل ۲۲-۲). داده‌های اندازه گیری شده از این ایستگاه‌ها در (پیوست ۳۲- ۳۳) آورده شده است. استریوگرام (شکل ۱۰۳-۳-ب و ۱۰۴-۳-ب) موقعیت میانگین سطح لایه بندی این سازند را در ایستگاه اول به صورت N<sup>۱۱</sup>NE, ۱۱W و در ایستگاه دوم به صورت N<sup>۰۴</sup>E, ۲۳E نشان می‌دهد.

### فصل سوم : زمین شناسی ساختمانی



شکل ۳-۱۰-۳- تصویر صحرایی چین FO<sub>12</sub> در نهشته‌های پلیوسن ایستگاه اول (دید به سمت خاور). ب: تصویر سیکلوگرافیک لایه‌بندی؛ میانگین سطوح لایه بندی نهشته‌های پلیوسن به صورت N<sub>27</sub>W, 11NE می‌باشد.



شکل ۳-۱۰-۴- تصویر صحرایی چین FO<sub>14</sub> در نهشته‌های پلیوسن ایستگاه دوم (دید به سمت جنوب خاوری). ب: تصویر سیکلوگرافیک لایه‌بندی؛ میانگین سطوح لایه بندی نهشته‌های پلیوسن به صورت N<sub>04</sub>E, 23E می‌باشد.



## فصل چهارم

بحث و نتیجه‌گیری

### الگوی گسلش در منطقه

#### ۱-۱-۱- گسل تیل آباد

گسل تیل آباد با طول ۷ کیلومتر با راستای شمال خاوری – جنوب باختری و شیب به سمت شمال باختری (NW<sup>۷۳E, ۴۷N</sup>) یکی از گسل‌های اصلی محدوده مورد مطالعه می‌باشد. با توجه به برداشت‌های صحرایی در ایستگاه‌های مختلف چهار دسته خراش گسلی بر روی سطح گسل مشاهده شده است. در هیچ کدام از ایستگاه‌ها خراش‌های گسلی مشاهده شده به ترتیب همدیگر را قطع نکرده‌اند، تا بتوانیم به ترتیب زمانی فازهای رخ داده بر روی گسل پی‌ببریم. ولی با توجه به وجود دو گسل دیگر (گسل زردابه و گسل F1) که تقریباً هم‌راستا با گسل تیل آباد و با فاصله اندکی از یکدیگر قرار دارند، در این گسل‌ها هم دسته خراش‌های گسلی مشابه، گسل تیل آباد مشاهده شده است، که در این گسل‌ها خراش‌ها همدیگر را در برخی ایستگاه‌ها قطع کرده‌اند. در نتیجه با استناد به این گسل‌ها سه فاز بر روی گسل تیل آباد رخ داده است. جدیدترین فاز حرکتی بر روی این گسل به صورت مورب‌لغز چپ‌بر با کمی مولفه شیب‌لغز معکوس می‌باشد.

#### ۱-۱-۲- گسل زردابه

گسل زردابه با طول ۸.۵ کیلومتر تقریباً هم‌راستا با گسل تیل آباد با راستای شمال خاوری – جنوب باختری و شیب به سمت شمال باختری (NW<sup>۷۰E, ۴۰N</sup>) می‌باشد. با توجه به قطع شدن رسوبات کواترنری در شرق رستای تیل آباد، گسل مورد بحث یکی از شرایط فعال بودن در بازه نوزمین ساختی را دارا می‌باشد. در قسمت‌های جنوبی این گسل باعث برخاستگی سازند الیکا در مقابل آهک‌های کرتاسه بالایی گردیده است، که نشان از معکوس بودن مولفه شیب‌لغز گسل می‌باشد. برداشت‌های صحرایی وجود سه دسته خراش گسلی بر روی گسل زردابه را نمایان می‌کنند. با توجه به قاعده برش که خراش‌هایی که

## فصل چهارم: بحث و نتیجه گیری

خرash‌های دیگر را قطع کرده است، جدیدترین فاز رخ داده بر روی گسل می‌باشد. این فازهای رخ داده بر روی گسل عبارتند از: راستالغز چپبر، مورب‌لغز راستبر با کمی مولفه شیب‌لغز معکوس و مورب‌لغز چپبر با کمی مولفه شیب‌لغز معکوس می‌باشند.

### F<sub>1</sub>-۳- گسل

گسل F<sub>1</sub> با طول ۱۲ کیلومتر با راستای شمال خاوری - جنوب باختری و شیب به سمت جنوب خاوری (N<sup>۵۰</sup>E, ۷۰SE) حد فاصل روستای تیلآباد و غزنوی می‌باشد. طی بررسی و مشاهدات صحرایی بر روی سطح گسل حضور سه نسل خراش گسلی با ریک‌های متفاوت حاکی از تاثیر سه فاز حرکتی بر روی این گسل می‌باشد. این فازهای رخ داده با توجه به قاعده برش بر روی این گسل از قدیم به جدید عبارتند از: راستالغز چپبر، مورب‌لغز راستبر با کمی مولفه شیب‌لغز معکوس و مورب‌لغز چپبر با کمی مولفه شیب‌لغز معکوس می‌باشند.

### F<sub>2</sub>-۴- گسل

گسل F<sub>2</sub> به طول ۳ کیلومتر در شمال روستای غزنوی در داخل دره منتهی به معدن زغال سنگ با راستای شمال خاوری - جنوب باختری می‌باشد. علیرغم عدم مشاهده سطح گسل، با توجه هم راستا و نزدیک بودن، گسل F<sub>2</sub> با گسل‌های طولی محدوده مورد مطالعه انتظار می‌رود که مولفه شیب‌لغزی مشابهی داشته باشند. با توجه به جابجایی ایجاد شده در واحدهای سنگی در طرفین این گسل، می‌توان به سازوکار امتدادی این گسل پی‌برد، که این جابجایی به صورت چپبر می‌باشد.

### ۱-۵- گسل غزنوی:

گسل غزنوی به صورت یک پهنه گسلی با عرض ۲۰۰ متر و با طول ۴ کیلومتر تقریباً با راستای شمالی - جنوبی و شیب به سمت خاوری (N<sup>۳۰</sup>E, ۸۱E) می‌باشد. طی بررسی و مشاهدات صحرایی بر روی پهنه گسلی حضور سه نسل خراش گسلی با ریک‌های متفاوت حاکی از تاثیر سه فاز حرکتی بر روی این گسل

## فصل چهارم: بحث و نتیجه گیری

می باشد. با توجه به قاعده برش جدیدترین فاز حرکتی زاویه ریک ۱۷ درجه ساعتگرد دارد. به علاوه وجود چین کشیده (Drag Fold) در مجاورت سطح گسل و جابجایی های رخ داده در واحدهای سنگی طرفین سطح گسل می توان به سازوکار گسل که به صورت مورب لغز چپ بر با کمی مولفه شیب لغز معکوس می باشد، پی برد.

### ۱-۶-۲- گسل F<sub>۲</sub>

گسل F<sub>۲</sub> به صورت پهنه گسلی یکی دیگر از گسل های عرضی منطقه به طول ۲.۵ کیلومتر با راستای شمال باختری - جنوب خاوری و شیب به سمت شمال خاوری (N<sup>۳۶</sup>W, ۸۰NE) می باشد. با توجه به جابه جایی های رخ داده در آبراهه ها و واحدهای سنگی طرفین سطح گسل می توان به مولفه امتدادی این دسته گسل به صورت راستبر می باشد، پی برد.

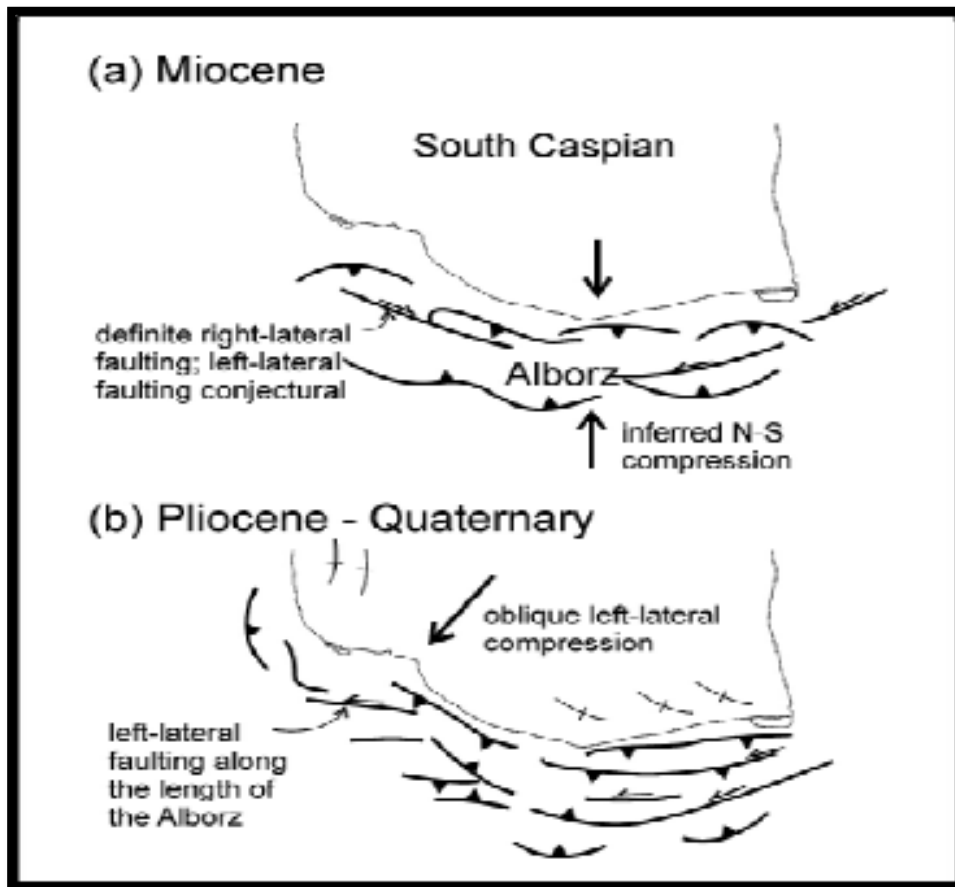
### ۱-۷-۱- گسل F<sub>۱</sub>

یکی دیگر از گسل های عرضی منطقه با راستای شمال باختری - جنوب خاوری و تقریباً به طول ۲ کیلومتر در شمال خاوری روستای تیل آباد قرار دارد. علیرغم عدم مشاهده سطح گسل، با توجه به قطع شدگی تاقدیس تیل آباد توسط این گسل و جابجایی که در سطح محوری تاقدیس و واحدهای سنگی که در طرفین سطح گسل ایجاد کرده است، می توان به مولفه امتدادی راستبر این گسل پی برد.

با استناد به مطالعات آلن و همکاران (۲۰۰۳)، در دوران سنوزوئیک تغییر شکل فشارشی حاکم بر البرز از زمان میوسن (یا کمی پیشتر) بر اثر اولین برخورد صفحات عربستان و اوراسیا آغاز گشته است که در آن زمان جهت گیری حداکثر تنش در البرز شمالی - جنوبی بوده و این منطقه تحت تنش فشارشی قرار داشته است. با گذشت زمان و غلبه تنش اعمال شده از صفحه عربی و در زمان پلیوسن با شروع حرکت پی سنگ خزر جنوبی به سمت باختر نسب به ایران جهت تنش حداکثر ناحیه ای از حالت شمالی - جنوبی

## فصل چهارم: بحث و نتیجه گیری

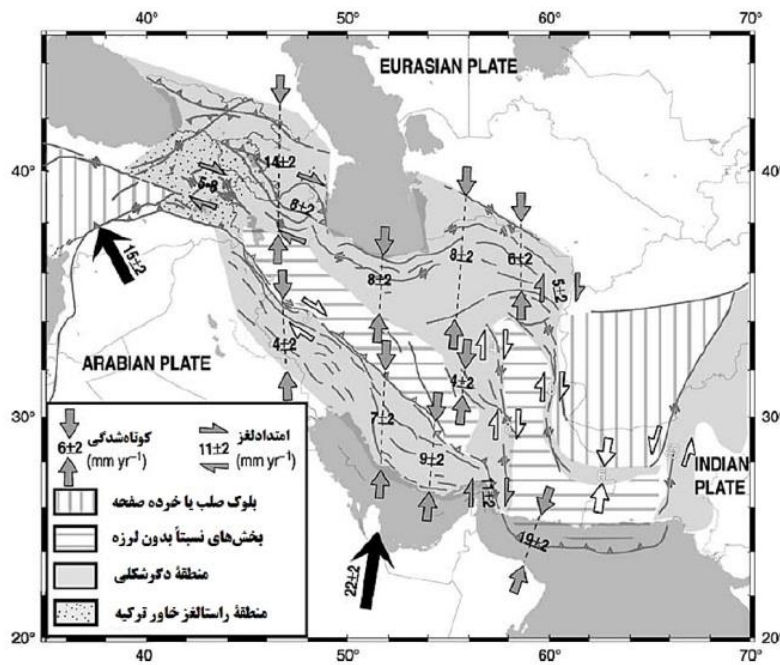
به حالت شمال خاوری - جنوب باختری تغییر جهت داده است (شکل ۴-۱-الف) این تغییر جهت باعث فراهم شدن شرایط دگرشکلی فشارشی به چپلغز شده است (شکل ۴-۱-ب).



شکل ۴-۱- تکامل ساختاری البرز در اواخر دوران سنوزوئیک، تغییر شکل در میوسن بیشتر به صورت فشارشی همراه با حرکات راستالغز و بعد از میوسن به سبب جابجایی به سمت باختر خزر جنوبی، حرکات به طور عمدۀ از نوع چپبر می‌باشد (برگرفته از آلن و همکاران، ۲۰۰۳).

با اندازه‌گیری‌های GPS که بر روی البرز توسط ورنانت و همکاران (۲۰۰۴) صورت گرفته است، میزان کوتاه شدگی را برای این ناحیه (البرز خاوری) به مقدار  $8 \pm 2$  میلی‌متر در سال برآورد شده است (شکل ۴-۲).

## فصل چهارم: بحث و نتیجه گیری



شکل ۲-۴- نتایج بررسی‌های ورنانت و همکاران (۲۰۰۴)، پیکان‌های سیاه رنگ میزان حرکت صفحه عربستان نسبت به اوراسیا می‌باشد. پیکان‌های خاکستری رنگ میزان دگرشکلی اندازه گیری شده توسط GPS را نشان می‌دهد. پیکان‌های سفید رنگ نشان دهنده میزان برآورد شده توسط GPS، زلزله شناسی و شواهد زمین شناسی می‌باشند. تمامی داده‌های بدست آمده بر حسب میلی متر در سال می‌باشد.

با توجه به مطالعات جمور و بایر<sup>۱</sup> (۲۰۰۵) که بر اساس اندازه گیرهای ژئودرزی در البرز صورت گرفته است و نتایج آنها به این صورت می‌باشد که کوتاه شدگی‌های کنونی را عمدتاً مربوط به قسمت‌های دامنه شمالی و حرکت‌های امتدادی چپ‌بر نیز در دامنه جنوبی بروی گسل‌های اصلی مرکز می‌باشد. امیدی و همکاران (۱۳۸۱) با مطالعه در نیمه جنوبی البرز خاوری در بازسازی تنش کواترنری، جهت تنش بیشنه حاکم بر منطقه را به سمت شمال - شمال خاوری معرفی کرده‌اند.

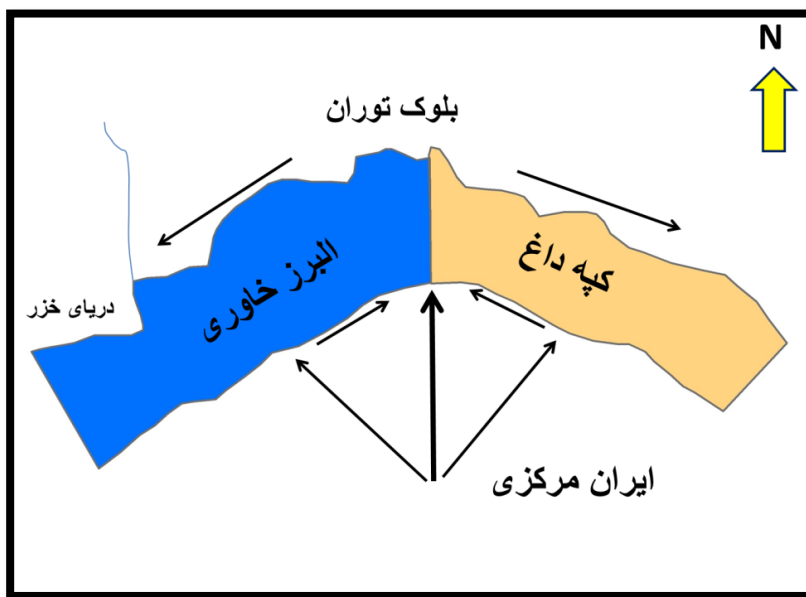
جاویدفخر و همکاران<sup>۲</sup> (۲۰۱۱) در جنوب منطقه تیل‌آباد به مطالعه زمین ساخت فعال در البرز خاوری پرداخته‌اند. نتایج آنها نیز وجود گسل‌های امتدادلغز چپ‌بر با راستای شمال خاوری - جنوب باختری در البرز خاوری را تایید می‌نمایند. جهت تنش بیشنه حاکم بر منطقه را در راستای شمال خاوری - جنوب باختری برآورد کرده‌اند.

<sup>۱</sup> Djamour and Bayer

<sup>۲</sup> Javidfakhr

## ۱-۲- الگوی چین خورده‌گی و گسلش در منطقه مورد مطالعه:

فرم ساختاری البرز خاوری و کپه‌داغ در شمال ایران حالت قوس مانند و بصورت تاقدیس می‌باشد. با توجه به حرکت روبه سمت شمال صفحه عربستان و همگرایی آن با صفحه توران را می‌توان اینطور بیان کرد که بردار حرکتی رو به شمال صفحه ایران را می‌توان به دو مولفه عمودی و مماسی تجزیه نمود (شکل ۳-۴). جهت بردار مماسی (برشی) در این بخش از البرز رو به سمت شمال خاوری می‌باشد.



شکل ۳-۴- طرح شماتیک تجزیه بردار حرکتی صفحه ایران در زون رسوبی - ساختاری البرز خاوری و کپه داغ در زون برشی امتدادلغز همگرا

زون برشی امتدادلغز همگرا<sup>۱</sup> قابل انطباق با منطقه مورد مطالعه می‌باشد، این مدل در آزمایشگاه با استفاده از رس شبیه سازی شده است (ویلکاکس و همکاران<sup>۲</sup>، ۱۹۷۳). نتایج این مدل را می‌توان اینطور بیان کرد، در مراحل اولیه این آزمایش چین‌ها ایجاد می‌شوند که تجمع این چین‌ها بیشتر در بخش مرکزی می‌باشند (والدرون<sup>۳</sup>، ۲۰۰۵ و مک‌کلای و همکاران<sup>۴</sup>، ۲۰۰۱). چین‌های ایجاد شده در این مدل نسبت به هم

<sup>۱</sup> Stepover

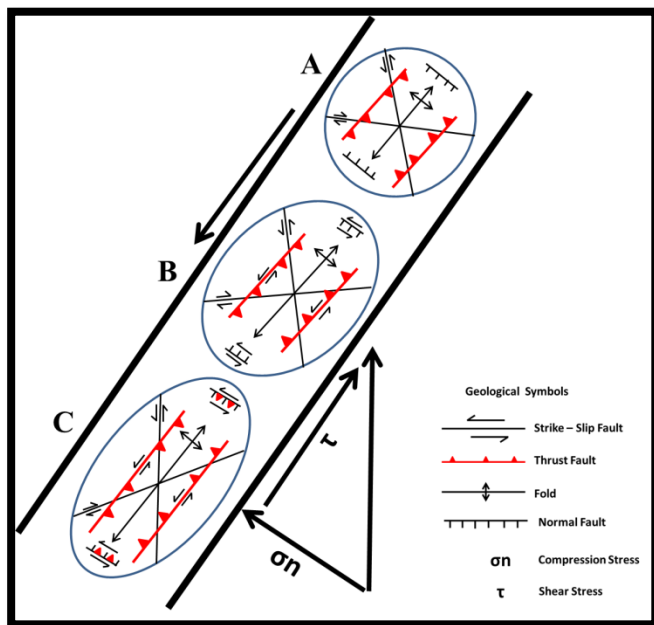
<sup>۲</sup> Wilcox

<sup>۳</sup> Waldron

<sup>۴</sup> McClay

## فصل چهارم: بحث و نتیجه گیری

تصویر موازی هستند. با جابجایی بیشتر مولفه برشی تعدادی شکستگی (گسل‌های Synthetic) ایجاد می‌گردند. با پیشروی زون برشی چین‌های ایجاد شده در مراحل قبلی توسط این گسل‌های Synthetic اولیه بریده و جابجا می‌شوند. با ادامه پیشروی تعداد کمی گسل‌های Antithetic (Antithetic) نیز شکل می‌گیرند که این نوع گسل‌ها در این مدل از اهمیت کمتری قرار دارند (ویلکاکس و همکاران، ۱۹۷۳). در ناحیه مورد مطالعه محور چین‌ها توسط گسل‌های امتدادلغز بریده شده است. چرخش محور چین‌ها با توجه به جابجایی گسل‌ها و اعمال زون برشی چپ‌بر در کل منطقه، در جهت خلاف عقربه‌های ساعت صورت می‌گیرد. با این شرایط می‌توان مدل تکتونیکی ساختارهای زمین شناسی برای البرز خاوری به صورت ذیل ارائه کنیم (شکل ۴-۴).



شکل ۴-۴- مدل پیشنهادی برای تشکیل چین‌ها، گسل‌های معکوس و امتدادلغز در منطقه البرز خاوری  
عارضه‌های همراه با گسلهای راستالغز:

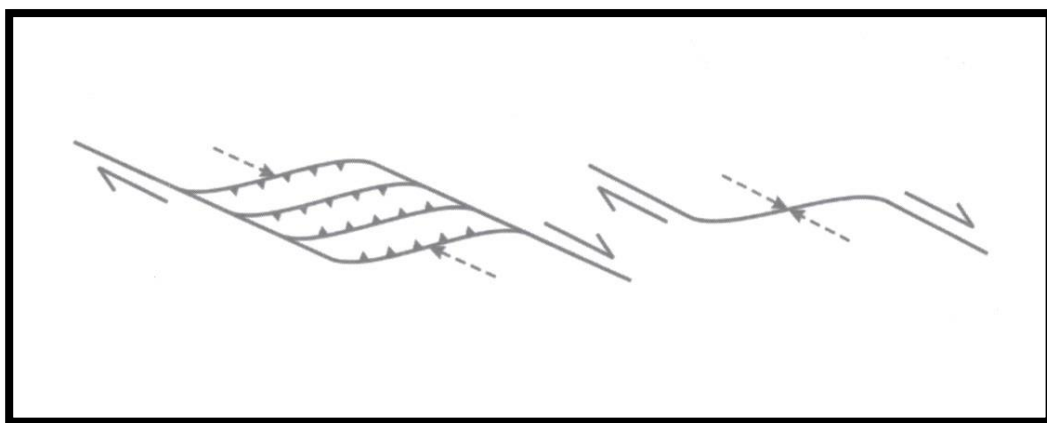
به طور کلی سه نوع جایگاه برای گسلهای راستالغز می‌توان در نظر گرفت: همگرا (Convergent)، واگرا (Parallel) و موازی (Divergent) که هریک با دسته‌ای از ساختارهای ویژه‌ای همراه هستند. با توجه به ساختارهای مشاهده شده در منطقه مورد مطالعه مدل راستالغز با جایگاه همگرا سازگاری

## فصل چهارم: بحث و نتیجه گیری

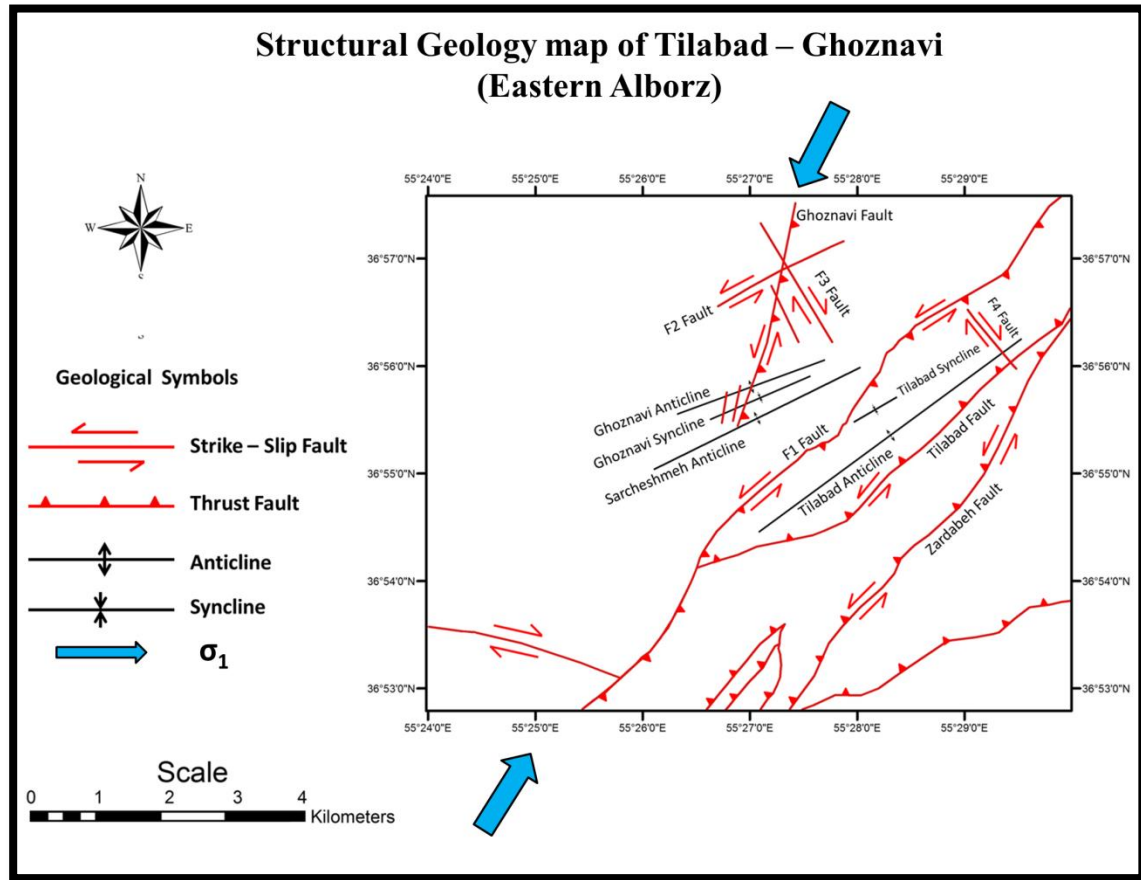
بیشتری با این ناحیه دارد. در این گونه جایگاه، گسلهای راستالغز علاوه بر ویژگی‌های راستالغز مخصوص، از خود ویژگی‌های گسلش‌های معکوس را نیز نشان می‌دهند، از همین رو این گونه جایگاه را گاهی جایگاه ترافشارشی (transpressional) نیز می‌خوانند.

ساختهایی که در جایگاه گسلهای راستالغز همگرا می‌توان مشاهده نمود به شرح ذیل می‌باشد. شکستگی‌های ریدل، گسلهای معکوس به صورت به تقریب موازی با محور چین‌ها و تشکیل گل ساخت مثبت (Positive flower structure) و ... می‌باشند (قاسمی، ۱۳۸۷).

با توجه به وجود گسل‌های طولی در منطقه مورد مطالعه با راستای شمال خاوری – جنوب باختری (گسل‌های تیل‌آباد، زردابه و  $F^1$ ) ولی جهت شیب آنها (گسل‌های تیل‌آباد و زردابه به سمت شمال باختری – گسل  $F^1$  به سمت جنوب خاوری) با یکدیگر  $180^\circ$  درجه اختلاف دارد. این اختلاف در جهت شیب گسل‌های منطقه را می‌توان به مدل گل ساخت مثبت که در مناطق ترافشارشی ایجاد می‌شود ارتباط داد (شکل ۴-۵). در محدوده مورد مطالعه گسل‌های طولی که سازوکار معکوس دارند تقریباً به موازات سطح محوری چین‌ها تشکیل شده‌اند، علاوه بر این شکستگی‌های ریدل که یکی از ویژگی‌های مناطق ترافشارشی می‌باشد در این منطقه قابل مشاهده می‌باشد.



شکل ۴-۵- شکل گیری ساختهای فشارشی در بخش‌هایی از گسلهای راستالغز که حالت همگرا دارند (برگرفته از قاسمی، ۱۳۸۷).



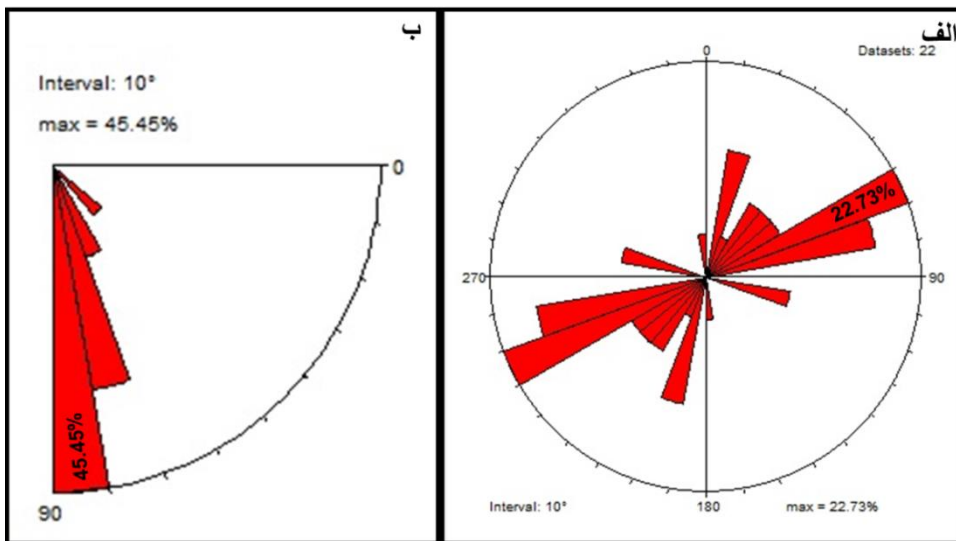
شکل ۴-۶- نقشه ساختاری تهیه شده از منطقه مورد مطالعه

### ۱-۳- الگوی چین خورده‌گی

با توجه به بررسی وضعیت چین‌های منطقه مورد مطالعه، اکثر چین‌ها موجود در منطقه به طور میانگین دارای سطح محوری شمال خاوری - جنوب باختری می‌باشند. با توجه به ترسیم نمودار گل سرخی برای سطح محوری چین‌ها نشان می‌دهد که ۲۲.۷۳ درصد داده‌های اندازه‌گیری شده از سطح محوری چین‌ها دارای امتدادی ۷۰ - ۶۰ می‌باشد، که این نشان دهنده پیروی کردن روند غالب آنها از روند ساختاری البرز خاوری (شمال خاوری - جنوب باختری) می‌باشد (شکل ۴-۷-الف). با توجه به رزدیاگرام شبیبی بدست آمده برای سطح محوری چین‌های مطالعه شده، بیشتر سطح محوری‌ها چین‌ها دارای شیب ۸۰ تا ۹۰

## فصل چهارم: بحث و نتیجه گیری

درجه می باشند، میزان ۴۵.۴۵ درصد سطح محوری چین های منطقه دارای شیبی در بازه ۸۰ تا ۹۰ می باشد (شکل ۷-۴- ب).



شکل ۷-۴- نمودار گل سرخی مربوط به سطح محوری چین ها؛ الف - نمودار گل سرخی امتدادی که روند غالب شمال خاوری-جنوب باختり را نشان می دهد؛ ب- نمودار گل سرخی شیبی؛ اغلب سطح محوری چین ها دارای شیب بین ۸۰ تا ۹۰ درجه می باشد.

با توجه به رده بندی دیگری که بر مبنای زاویه بین دو یال صورت می گیرد (Fleuty, ۱۹۶۴)، چین های منطقه مورد مطالعه به طور عمده در رده باز (Open)، تعداد محدودتری در رده های ملایم (Gentle) و بسته (Close) قرار می گیرند (جدول ۱-۴).

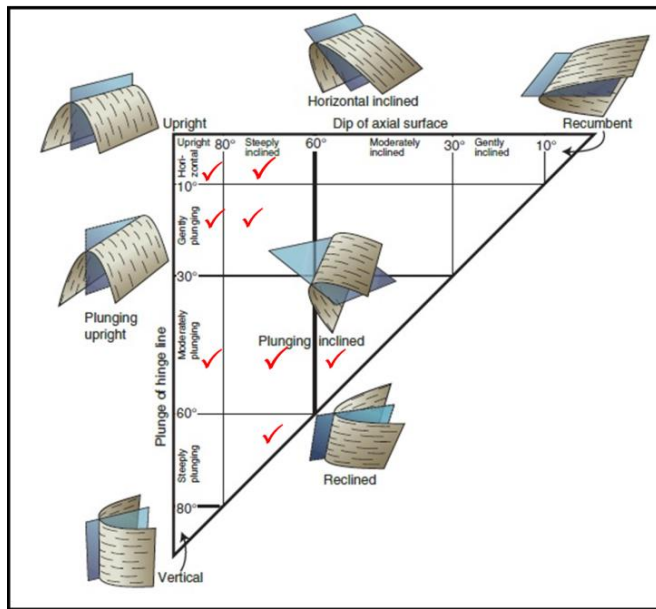
جدول ۱-۴- طبقه بندی چین ها بر اساس زاویه بین یال ها (Fleuty, ۱۹۶۴)

frequency	Formation	Description of fold	Interlimd angle
۴	Mobarak – Ruteh	Gentle	۱۲۰ - ۱۸۰
۱۲	Khoshyeilagh – Mobarak - Erika	Open	۷۰ - ۱۲۰
۵	Mobarak – Erika	Close	۳۰ - ۷۰
۱	-	Tight	۰ - ۳۰
-	-	Isoclinal	۰

بررسی وضعیت هندسی چین خوردگی ها نشان می دهد که طبق رده بندی فلوتی (Fleuty, ۱۹۶۴)، بر اساس شیب سطح محوری و میل لولا، چین های منطقه به طور عمده در دو رده قرار می گیرد که عبارتند

## فصل چهارم: بحث و نتیجه گیری

از: ۱ - چین ایستاده و با میل ملایم (Upright – Gently Plunging)، ۲ - چین پرشیب با میل ملایم (Steeply Inclined - Gently Plunging) قرار می گیرند (شکل ۴-۱۰) و بقیه چین ها مطالعه شده نیز در رده های دیگر این رده بندی قرار می گیرد که در (جدول ۴-۲) آورده شده است.



شکل ۴-۸-۴- رده بندی چین ها بر اساس شیب سطح محوری و میل لوای چین (فلوتوی، ۱۹۶۴) (برگرفته از فوزن، ۲۰۱۰)، جایگاه چین های منطقه مورد مطالعه در این رده بندی بر روی شکل نشان داده شده است.

جدول ۴-۱-۴ - مقدار فراوانی چین ها بر اساس شیب سطح محوری و میل لوای چین (Fleuty, 1964) در منطقه مورد مطالعه.

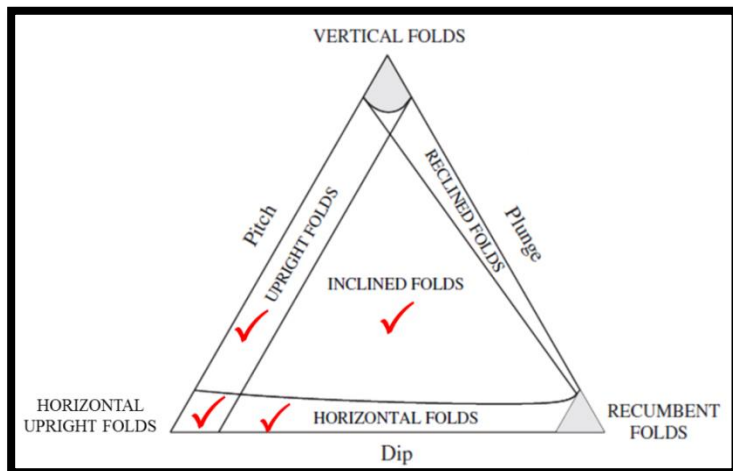
frequency	Description of fold
۵	Upright – Gently Plunging
۴	Steeply Inclined - Gently Plunging
۳	Upright - Moderately Plunging
۳	Steeply Inclined – Horizontal
۳	Steeply Inclined - Moderately Plunging
۲	Upright - Horizontal
۱	Steeply Inclined - Steeply Plunging

بر اساس طبقه بندی ریکارد که بر پایه شیب محور، سطح محوری و ریک (زاویه بین امتداد و خط روی صفحه مایل) محور روی سطح محوری طراحی شده است. بیشتر چین خوردگی های مطالعه شده در رده چین های کج شده (Inclined Fold)، در رده دوم نیز چین های ایستاده (Upright Fold) و اندکی نیز در

## فصل چهارم: بحث و نتیجه گیری

رده چین‌های افقی (Horizontal Fold) و ایستاده افقی (Upright Horizontal Fold) قرار می‌گیرد (شکل

۴-۹). در (جدول ۳-۴) مقدار فراوانی این تقسیم‌بندی را می‌توان مشاهده نمود.



شکل ۴-۹- طبقه بندی چین‌ها از دیدگاه ریکارد (۱۹۷۱) در منطقه مورد مطالعه

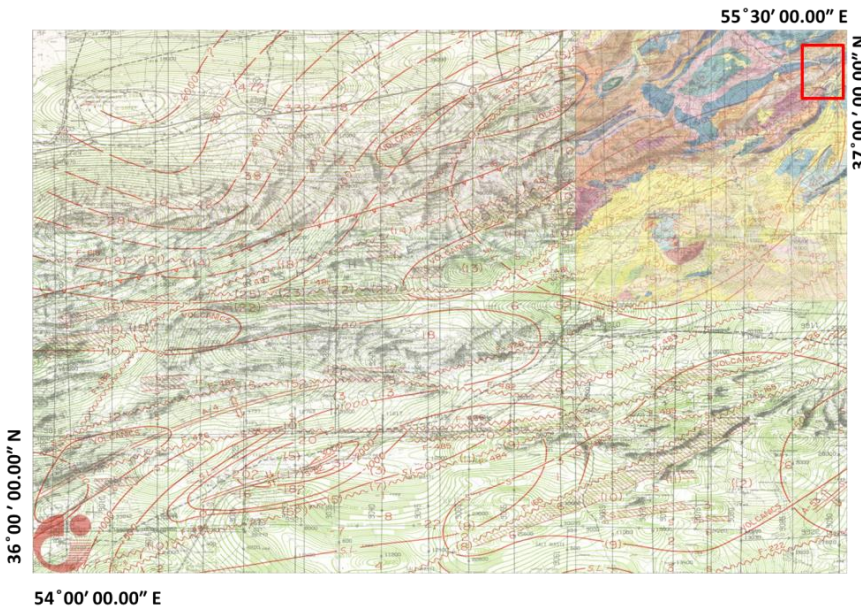
جدول ۳-۴- مقدار فراوانی چین‌ها از دیدگاه ریکارد در منطقه مورد مطالعه

frequency	Description of fold
۸	<b>Upright Fold</b>
۹	<b>Inclined Fold</b>
۳	<b>Horizontal Fold</b>
۲	<b>Horizontal Upright Fold</b>
-	<b>Reclined Fold</b>
-	<b>Recumbent Fold</b>
-	<b>Vertical Fold</b>

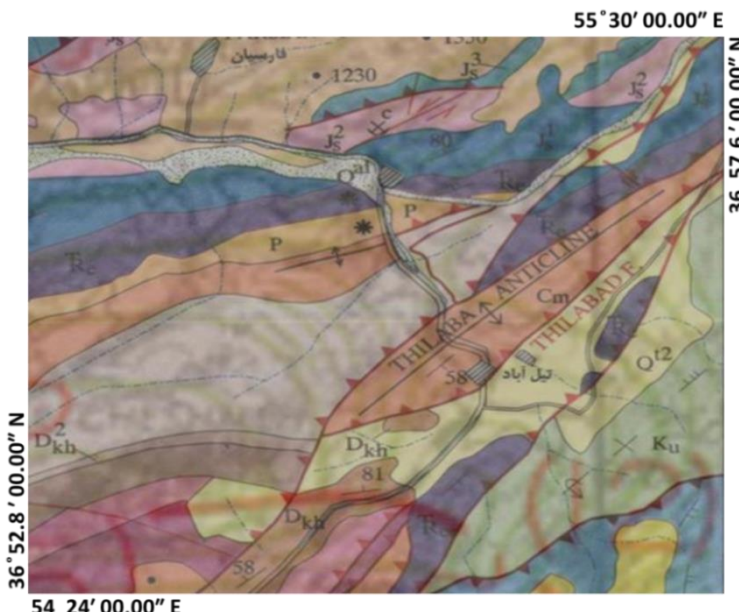
یکی از کارهایی دیگری که در این پژوهش انجام شده، با استفاده از نرم‌افزار ۱۲ Global Mapper با زمین مرجع کردن نقشه‌های هومگناتیس ورقه گرگان با مقیاس ۱:۲۵۰۰۰۰ و انطباق آن با نقشه زمین‌شناسی محدوده مورد مطالعه برای شناسایی گسل‌های پی‌سنگی صورت گرفته است (شکل ۴-۱۰). همانطور که در نقشه محدوده مورد مطالعه گسل‌ها و چین‌هایی مشاهده می‌شود که در برداشت‌های صحرایی نیز وجود آنها مشخص شده است، با هیچ کدام از خطواره‌های مغناطیسی که در نقشه هومگناتیس ورقه گرگان مشخص شده است، بر روی یکدیگر نیفتاده‌اند و با این شرایط به این نتیجه می‌رسیم که هیچ کدام از

## فصل چهارم: بحث و نتیجه گیری

ساختارهای منطقه مورد مطالعه پیسنگی نمی‌باشد (شکل ۱۱-۴). با توجه به نبود خطواره‌های مغناطیسی همراستا با گسل‌های عرضی منطقه با راستای تقریباً شمالی - جنوبی و شمال باختری - جنوب خاوری می‌توان به این نتیجه برسیم که این گسل‌ها نیز پیسنگی نمی‌باشند.



شکل ۱۰-۴- تلفیق نقشه مغناطیس هوایی گران با مقیاس ۱:۲۵۰۰۰۰ و نقشه زمین شناسی خوش بیلاق با مقیاس ۱:۱۰۰۰۰۰ و محدوده مورد مطالعه با کادر مشخص شده است.



شکل ۱۱-۴- تلفیق نقشه مغناطیس هوایی و نقشه زمین شناسی محدوده مورد مطالعه که در شکل با کادر مشخص شده است.

### ۴-۱- پیشنهادات

- ادامه مطالعات ساختاری به سمت بخش‌های شمالی و شمال خاوری منطقه مورد مطالعه جهت شناسایی فعالیت و ادامه روند گسل‌های تیلآباد، زردابه، F1 و غزنوی.
- انجام مطالعات تنش دیرین (Paleostress) بر مبنای لغزش گسل‌ها جهت شناخت میدان تنش حاکم بر منطقه و تفکیک فازهای رخ داده در منطقه.
- با توجه به اینکه ساختارهای موجود در منطقه سازندهای سنوزوئیکی را قطع کرده‌اند انجام مطالعات نو زمین ساختی.

## فصل چهارم: بحث و نتیجه گیری

---

## پیوست

پیوست ۱- داده‌های برداشت شده از سطح گسل تیل آباد.

\* جهت حرکت فرادیواره: ۱: رو به بالا (معکوس); ۲: رو به پایین (نرمال); ۳: راست بر؛ ۴: چپ بر

Fault Plane		Slicken Lines			Station	Geographic Setting	
Dip.	Dip.Dir	Azimuth	Plungs	Sense *		Latitude	Longitude
۸۷	۳۲۲	۲۳۳	۰۸	۴	۲	۳۶° ۵۵' ۵۶.۶۳"	۵۵° ۲۹' ۱۵.۲۹"
۵۵	۲۹۰	۰۰۲	۲۴	۳	۱	۳۶° ۵۶' ۱۵.۱۷"	۵۵° ۲۹' ۵۱.۰۰"
۶۵	۳۰۰	۰۱۶	۲۸	۳	۱	۳۶° ۵۶' ۱۵.۱۷"	۵۵° ۲۹' ۵۱.۰۰"
۷۰	۳۱۰	۲۳۷	۳۹	۴	۱	۳۶° ۵۶' ۱۵.۱۷"	۵۵° ۲۹' ۵۱.۰۰"
۷۳	۳۱۵	۲۲۷	۰۷	۴	۱	۳۶° ۵۶' ۱۵.۰۵"	۵۵° ۲۹' ۵۱.۴۰"
۷۰	۲۹۸	۲۴۵	۶۲	۱	۱	۳۶° ۵۶' ۱۵.۰۲"	۵۵° ۲۹' ۵۱.۴۰"
۷۲	۳۰۵	۰۳۵	۰۰	۴	۲	۳۶° ۵۵' ۴۷.۰۰"	۵۵° ۲۹' -۰.۷۳۸"
۷۶	۳۱۲	۰۴۲	۰۰	۴	۲	۳۶° ۵۵' ۴۷.۰۰"	۵۵° ۲۹' -۰.۷۹۰"
۸۴	۳۰۹	۰۳۶	۲۹	۳	۲	۳۶° ۵۵' ۵۶.۳۲"	۵۵° ۲۹' ۱۵.۱۰"
۶۳	۳۳۰	۰۲۶	۴۸	۱	۳	۳۶° ۵۵' ۰۰.۷۸"	۵۵° ۲۸' ۱۶.۶۵"
۶۵	۳۱۶	۳۵۲	۶۰	۱	۳	۳۶° ۵۵' ۰۰.۹۰"	۵۵° ۲۸' ۱۷.۲۰"
۶۰	۳۰۰	۲۳۵	۳۶	۴	۳	۳۶° ۵۵' ۰۰.۷۲"	۵۵° ۲۸' ۲۰.۱۰"
۷۰	۰۱۴	۲۸۹	۱۳	۴	۴	۳۶° ۵۴' ۲۹.۶۶"	۵۵° ۲۸' ۵۷.۴۴"
۶۳	۰۰۵	۲۷۹	۰۸	۴	۴	۳۶° ۵۴' ۲۹.۶۶"	۵۵° ۲۸' ۵۷.۴۴"
۶۵	۰۱۰	۲۸۹	۱۹	۴	۴	۳۶° ۵۴' ۲۹.۶۶"	۵۵° ۲۸' ۵۷.۴۴"
۵۳	۳۴۰	۲۵۱	۰۸	۴	۴	۳۶° ۵۴' ۳۰.۰۰"	۵۵° ۲۸' ۵۸.۷۰"
۸۰	۳۴۸	۲۶۲	۲۲	۴	۴	۳۶° ۵۴' ۳۰.۰۰"	۵۵° ۲۸' ۵۸.۷۰"

پیوست ۲- داده‌های برداشت شده از سطح گسل زردابه.

\* جهت حرکت فرادیواره: ۱: رو به بالا (معکوس); ۲: رو به پایین (نرمال); ۳: راست بر؛ ۴: چپ بر

Fault Plane		Slicken Lines			Station	Geographic Setting	
Dip.	Dip.Dir	Azimuth	Plungs	*Sense		Latitude	Longitude
۷۲	۳۰۸	۰۲۸	۲۹	۳	۱	۳۶° ۵۳' ۴۸.۱۲"	۵۵° ۲۸' ۱۶.۲۵"
۷۲	۳۰۸	۲۱۸	۰۰	۴	۱	۳۶° ۵۳' ۴۸.۱۲"	۵۵° ۲۸' ۱۶.۲۵"
۷۵	۳۱۲	۲۲۶	۲۰	۴	۱	۳۶° ۵۳' ۴۸.۱۲"	۵۵° ۲۸' ۱۶.۲۵"
۶۵	۳۰۰	۰۲۲	۱۵	۳	۱	۳۶° ۵۳' ۴۸.۶۰"	۵۵° ۲۸' ۱۶.۴۰"
۷۰	۳۱۵	۰۱۸	۵۱	۱	۱	۳۶° ۵۳' ۳۵.۸۸"	۵۵° ۲۸' ۵۴.۹۶"
۶۲	۳۱۵	۰۲۰	۳۹	۳	۱	۳۶° ۵۳' ۲۱.۶۲"	۵۵° ۲۷' ۴۴.۴۵"
۸۰	۳۰۰	۲۱۴	۱۸	۴	۲	۳۶° ۵۳' ۲۱.۷۰"	۵۵° ۲۷' ۴۶.۲۲"
۸۷	۳۳۰	۲۴۲	۳۱	۴	۲	۳۶° ۵۳' ۱۹.۴۱"	۵۵° ۲۷' ۴۳.۳۳"
۶۰	۳۱۵	۰۲۱	۳۶	۳	۲	۳۶° ۵۳' ۲۱.۳۰"	۵۵° ۲۷' ۴۴.۸۳"
۴۲	۳۲۵	۲۵۵	۱۷	۴	۲	۳۶° ۵۳' ۲۱.۲۵"	۵۵° ۲۷' ۴۳.۵۰"
۶۰	۳۳۰	۲۴۴	۰۹	۴	۲	۳۶° ۵۳' ۱۹.۷۷"	۵۵° ۲۷' ۴۴.۳۰"
۵۸	۳۳۰	۰۱۶	۴۸	۱	۲	۳۶° ۵۳' ۱۵.۳۰"	۵۵° ۲۷' ۳۸.۱۱"

## پیوست

پیوست ۳-داده‌های برداشت شده از سطح گسل F1

\* جهت حرکت فرادیواره: ۱: رو به بالا (معکوس); ۲: رو به پایین (نرمال); ۳: راستبر؛ ۴: چپبر

Fault Plane		Slicken Lines			Station	Geographic Setting	
Dip.	Dip.Dir	Azimuth	Plungs	*Sense		Latitude	Longitude
۷۵	۱۴۵	۰۵۷	..	۴	۱	۳۶° ۵۵' ۲۵.۸۲"	۵۵° ۲۷' ۳۷.۳۵"
۷۵	۱۴۵	۰۶۴	۲۵	۳	۱	۳۶° ۵۵' ۲۵.۸۲"	۵۵° ۲۷' ۳۷.۳۵"
۷۸	۱۵۱	۲۳۸	۱۵	۴	۱	۳۶° ۵۵' ۲۵.۸۲"	۵۵° ۲۷' ۳۷.۳۵"
۸۰	۱۴۸	-	-	-	۱	۳۶° ۵۵' ۲۶.۴۶"	۵۵° ۲۷' ۳۶.۱۹"
۴۰	۱۴۰	۱۸۶	۲۴	۳	۲	۳۶° ۵۵' ۴۲... "	۵۵° ۲۷' ۵۴.۱۲"
۵۰	۱۳۸	۰۴۹	..	۴	۲	۳۶° ۵۵' ۴۲... "	۵۵° ۲۷' ۵۲.۴۰..."
۶۶	۱۳۵	۰۶۶	۳۸	۴	۲	۳۶° ۵۵' ۴۱.۴۴"	۵۵° ۲۷' ۵۲.۵۱"
۶۶	۱۳۵	۲۲۲	۰۸	۳	۲	۳۶° ۵۵' ۴۱.۴۴"	۵۵° ۲۷' ۵۲.۵۱"
۶۰	۱۲۷	۰۴۵	۱۵	۴	۲	۳۶° ۵۵' ۲۵.۸۲"	۵۵° ۲۷' ۳۷.۳۳"
۶۰	۱۲۷	۰۳۶	..	۴	۲	۳۶° ۵۵' ۲۵.۸۲"	۵۵° ۲۷' ۳۷.۳۳"

پیوست ۴-داده‌های برداشت شده از سطح گسل غزنوی.

\* جهت حرکت فرادیواره: ۱: رو به بالا (معکوس); ۲: رو به پایین (نرمال); ۳: راستبر؛ ۴: چپبر

Fault Plane		Slicken Lines			Station	Geographic Setting	
Dip.	Dip.Dir	Azimuth	Plungs	*Sense		Latitude	Longitude
۸۲	.۹۰	۱۷۳	۴۱	۳	۱	۳۶° ۵۳' ۴۸.۱۲"	۵۵° ۲۸' ۱۶.۲۵"
۸۰	.۹۳	۱۸۰	۱۶	۳	۱	۳۶° ۵۳' ۴۸.۱۲"	۵۵° ۲۸' ۱۶.۲۵"
۸۳	.۸۸	۱۷۴	۲۹	۳	۱	۳۶° ۵۳' ۴۸.۱۲"	۵۵° ۲۸' ۱۶.۲۵"
۸۲	.۹۰	۱۸۰	..	۴	۱	۳۶° ۵۳' ۴۸.۶۰..."	۵۵° ۲۸' ۱۶.۴۰..."
۸۳	.۸۹	۰۰۲	۱۹	۴	۱	۳۶° ۵۳' ۳۵.۸۸"	۵۵° ۲۸' ۵۴.۹۶"
۸۰	.۸۶	۳۵۹	۱۶	۴	۱	۳۶° ۵۳' ۲۱.۶۲"	۵۵° ۲۷' ۴۴.۴۵"
۷۸	۱۰۵	۱۸۷	۳۵	۳	۲	۳۶° ۵۳' ۲۱.۷۰..."	۵۵° ۲۷' ۴۶.۲۲"
۸۰	۱۰۰	۰۱۸	۴۰	۴	۲	۳۶° ۵۳' ۱۹.۴۱"	۵۵° ۲۷' ۴۴.۳۳"
۸۲	.۹۸	۱۸۳	۳۱	۳	۲	۳۶° ۵۳' ۲۱.۳۰..."	۵۵° ۲۷' ۴۴.۸۳"
۸۰	.۹۲	-	-	-	۲	۳۶° ۵۳' ۲۱.۲۵"	۵۵° ۲۷' ۴۳.۵۰..."
۸۳	.۸۸	-	-	-	۲	۳۶° ۵۳' ۱۹.۷۷"	۵۵° ۲۷' ۴۴.۳۰..."

پیوست ۵-داده‌های گسل‌های عرضی با امتداد شمال باختری

Fault Plane		Station	Geographic Setting	
Dip.	Dip.Dir		Latitude	Longitude
۷۰	.۵۵	۲	۳۶° ۵۷' ۲۱.۹۴"	۵۵° ۲۷' ۱۲.۴۸"
۸۲	.۳۸	۲	۳۶° ۵۷' ۲۷.۷۴"	۵۵° ۲۷' ۱۰.۳۵.۰۲"
۷۵	.۴۶	۲	۳۶° ۵۷' ۲۷.۷۵"	۵۵° ۲۷' .۸.۲۷"
۷۴	.۵۳	۲	۳۶° ۵۷' ۲۷.۷۵"	۵۵° ۲۷' .۸.۲۷"
۸۰	.۴۵	۱	۳۶° ۵۶' ۱۲.۵۸"	۵۵° ۲۷' ۴۴.۹۰..."
۷۸	.۴۳	۱	۳۶° ۵۶' ۱۲.۵۸"	۵۵° ۲۷' ۴۴.۹۰..."
۸۳	.۴۸	۱	۳۶° ۵۶' ۱۲.۵۸"	۵۵° ۲۷' ۴۴.۹۰..."

## پیوست

---

پیوست ۶ - داده‌های برداشت شده از تاقدیس سرچشمه در پیمایش  $T_1 T_2$

N o.	Dip. Dir	Dip	Latitude	longitude	N o.	Dip. Dir	Dip.	Latitude	Longitude
۱	۱۶۵	۸۵	۳۶° ۵۵' +۰.۴۸"	۵۵° ۲۶' +۰.۰۳"	۱	۳۲۵	۴۵	۳۶° ۵۵' +۱۲.۵۶"	۵۵° ۲۶' +۰.۲۴"
۲	۱۷۰	۷۵	۳۶° ۵۵' +۰.۴۸"	۵۵° ۲۶' +۰.۰۳"	۲	۳۱۵	۵۰	۳۶° ۵۵' +۱۲.۵۶"	۵۵° ۲۶' +۰.۲۴"
۳	۱۶۴	۷۰	۳۶° ۵۵' +۰.۴۸"	۵۵° ۲۶' +۰.۰۳"	۳	۳۱۸	۵۸	۳۶° ۵۵' +۱۲.۵۶"	۵۵° ۲۶' +۰.۲۴"
۴	۱۶۲	۸۳	۳۶° ۵۵' +۰.۴۸"	۵۵° ۲۶' +۰.۰۳"	۴	۳۲۴	۴۸	۳۶° ۵۵' +۱۲.۵۶"	۵۵° ۲۶' +۰.۲۴"
۵	۱۵۰	۸۰	۳۶° ۵۵' +۰.۴۸"	۵۵° ۲۶' +۰.۰۳"	۵	۳۲۲	۵۳	۳۶° ۵۵' +۱۲.۵۶"	۵۵° ۲۶' +۰.۲۴"
۶	۱۳۸	۴۳	۳۶° ۵۴' +۴۶.۱۲"	۵۵° ۲۶' +۳۹.۲۶"	۶	۳۲۵	۵۸	۳۶° ۵۵' +۴۰.۲۴"	۵۵° ۲۶' +۳۷.۸۹"
۷	۱۴۹	۵۸	۳۶° ۵۴' +۴۶.۱۲"	۵۵° ۲۶' +۳۹.۲۶"	۷	۳۴۱	۷۷	۳۶° ۵۵' +۴۰.۲۴"	۵۵° ۲۶' +۳۷.۸۹"
۸	۱۳۴	۶۳	۳۶° ۵۴' +۴۶.۱۲"	۵۵° ۲۶' +۳۹.۲۶"	۸	۳۴۸	۶۹	۳۶° ۵۵' +۴۰.۲۴"	۵۵° ۲۶' +۳۷.۸۹"
۹	۱۴۷	۵۵	۳۶° ۵۴' +۴۶.۱۲"	۵۵° ۲۶' +۳۹.۲۶"	۹	۳۲۴	۶۶	۳۶° ۵۵' +۴۰.۲۴"	۵۵° ۲۶' +۳۷.۸۹"
۱۰	۱۲۵	۴۱	۳۶° ۵۴' +۴۶.۱۲"	۵۵° ۲۶' +۳۹.۲۶"	۱	۳۱۸	۶۳	۳۶° ۵۵' +۴۰.۲۴"	۵۵° ۲۶' +۳۷.۸۹"
					.				

پیوست ۷ - داده‌های برداشت شده از تاقدیس سرچشمه در پیمایش  $T_۳ T_۴$

No . .	Dip. Dir	Dip	Latitude	longitude	No.	Dip. Dir	Dip	Latitude	Longitude
۱	۳۴۰	۵۲	۳۶° ۵۵' +۴۷.۲۶"	۵۵° ۲۷' +۴۷.۲۳"	۱	+۷۵	۳۰	۳۶° ۵۵' +۴۱.۴۴"	۵۵° ۲۸' +۱۷.."
۲	۳۴۵	۴۷	۳۶° ۵۵' +۴۷.۲۶"	۵۵° ۲۷' +۴۷.۲۳"	۲	+۷۰	۳۸	۳۶° ۵۵' +۴۱.۴۴"	۵۵° ۲۸' +۱۷.."
۳	۳۳۸	۵۰	۳۶° ۵۵' +۴۷.۲۶"	۵۵° ۲۷' +۴۷.۲۳"	۳	+۶۸	۴۱	۳۶° ۵۵' +۴۱.۴۴"	۵۵° ۲۸' +۱۷.."
۴	۳۳۲	۵۷	۳۶° ۵۵' +۴۷.۲۶"	۵۵° ۲۷' +۴۷.۲۳"	۴	+۸۳	۶۳	۳۶° ۵۵' +۴۶.۸۵"	۵۵° ۲۸' +۰.۲۳"
۵	۳۳۸	۵۳	۳۶° ۵۵' +۴۷.۲۶"	۵۵° ۲۷' +۴۷.۲۳"	۵	+۸۴	۴۸	۳۶° ۵۵' +۴۶.۸۵"	۵۵° ۲۸' +۰.۲۳۲"
۶	۳۲۴	۴۲	۳۶° ۵۵' +۴۴.۲۰"	۵۵° ۲۷' +۴۵.۷۱"	۶	+۶۵	۵۹	۳۶° ۵۵' +۴۶.۸۵"	۵۵° ۲۸' +۰.۲۳۲"
۷	۳۳۰	۴۵	۳۶° ۵۵' +۴۴.۲۰"	۵۵° ۲۷' +۴۵.۷۱"	۷	+۶۱	۴۷	۳۶° ۵۵' +۴۶.۱۱"	۵۵° ۲۷' +۵۳.۳۳"
۸	۳۱۹	۴۰	۳۶° ۵۵' +۴۴.۲۰"	۵۵° ۲۷' +۴۵.۷۱"	۸	+۵۸	۴۲	۳۶° ۵۵' +۴۶.۱۱"	۵۵° ۲۷' +۵۳.۳۳"
۹	۳۲۵	۵۲	۳۶° ۵۵' +۴۴.۲۰"	۵۵° ۲۷' +۴۵.۷۱"	۹	+۵۲	۳۹	۳۶° ۵۵' +۴۶.۱۱"	۵۵° ۲۷' +۵۳.۳۳"
۱۰	۳۲۲	۳۷	۳۶° ۵۵' +۴۴.۲۰"	۵۵° ۲۷' +۴۵.۷۱"	۱۰	+۹۰	۵۸	۳۶° ۵۵' +۴۲.۹۸"	۵۵° ۲۷' +۵۰.۸۵"
۱۱	+۸۸	۵۰	۳۶° ۵۵' +۴۲.۹۸"	۵۵° ۲۷' +۵۰.۸۵"	۱۱	+۷۸	۵۳	۳۶° ۵۵' +۴۲.۹۸"	۵۵° ۲۷' +۵۰.۸۵"

## پیوست

---

**پیوست ۸ - داده‌های برداشت شده از تاقدیس تیلآباد در پیمایش  $T_5 T_6$**

No.	Dip.Dir	Dip	Latitude	longitude	N o.	Dip.Dir	Dip	Latitude	Longitude
۱	۲۹۸	۲۵	۳۶° ۵۵' +۰.۶۳۰"	۵۵° ۲۷' ۳۳.۰۰"	۱	۱۱۴	۴۰	۳۶° ۵۵' +۱.۱۲"	۵۵° ۲۷' ۳۳.۲۵"
۲	۳۱۷	۴۹	۳۶° ۵۵' +۰.۶۳۰"	۵۵° ۲۷' ۳۳.۰۰"	۲	۱۲۰	۴۵	۳۶° ۵۵' +۱.۱۲"	۵۵° ۲۷' ۳۳.۲۵"
۳	۳۰۵	۳۰	۳۶° ۵۵' +۰.۶۳۰"	۵۵° ۲۷' ۳۳.۰۰"	۳	۱۰۰	۳۵	۳۶° ۵۵' +۱.۱۲"	۵۵° ۲۷' ۳۳.۲۵"
۴	۳۵۰	۵۰	۳۶° ۵۵' +۰.۳.۷۱"	۵۵° ۲۷' ۵۹.۶۸"	۴	۱۱۵	۳۸	۳۶° ۵۵' ۵۷.۱۸"	۵۵° ۲۷' ۳۵.۵۲"
۵	۳۳۰	۷۰	۳۶° ۵۵' +۰.۳.۷۱"	۵۵° ۲۷' ۵۹.۶۸"	۵	۱۲۰	۵۰	۳۶° ۵۵' +۹.۷۲"	۵۵° ۲۷' ۵۵.۷۹"
۶	۳۵۵	۵۸	۳۶° ۵۵' +۰.۳.۷۱"	۵۵° ۲۷' ۵۹.۶۸"	۶	۱۱۶	۶۵	۳۶° ۵۵' +۹.۷۲"	۵۵° ۲۷' ۵۵.۷۹"
۷	۳۱۴	۶۲	۳۶° ۵۵' +۹.۷۰"	۵۵° ۲۷' ۵۵.۷۹"	۷	۱۳۵	۸۰	۳۶° ۵۵' +۹.۷۲"	۵۵° ۲۷' ۵۵.۷۹"
۸	۳۰۸	۳۸	۳۶° ۵۵' +۹.۷۰"	۵۵° ۲۷' ۵۵.۷۹"	۸	۰۴۰	۳۵	۳۶° ۵۴' ۵۷.۳۱"	۵۵° ۲۷' ۵۶.۸۹"
۹	۳۰۴	۵۰	۳۶° ۵۵' +۹.۷۰"	۵۵° ۲۷' ۵۵.۷۹"	۹	۳۵۶	۵۰	۳۶° ۵۴' ۵۷.۳۱"	۵۵° ۲۷' ۵۶.۸۹"
۱۰	۳۲۱	۲۵	۳۶° ۵۵' ۴۶.۷۴"	۵۵° ۲۷' ۴۸.۴۸"	۱۰	۰۶۵	۴۸	۳۶° ۵۴' ۵۷.۳۱"	۵۵° ۲۷' ۵۶.۸۹"
۱۱	۳۲۸	۲۶	۳۶° ۵۵' ۴۶.۷۴"	۵۵° ۲۷' ۴۸.۴۸"	۱۱	۱۰۳	۳۰	۳۶° ۵۴' ۵۲.۱۵"	۵۵° ۲۷' ۳۵.۶۰"
۱۲	۳۱۵	۳۰	۳۶° ۵۵' ۴۶.۷۴"	۵۵° ۲۷' ۴۸.۴۸"	۱۲	۱۰۵	۱۵	۳۶° ۵۴' ۵۲.۱۵"	۵۵° ۲۷' ۳۵.۶۰"
۱۳					۱۳	۰۹۸	۲۰	۳۶° ۵۴' ۵۲.۱۵"	۵۵° ۲۷' ۳۵.۶۰"

**پیوست ۹ - داده‌های برداشت شده از تاقدیس تیلآباد در پیمایش  $T_7 T_8$**

N o.	Dip. Dir	Dip	Latitude	longitude	N o.	Dip. Dir	Dip	Latitude	Longitude
۱	۱۲۵	۸۲	۳۶° ۵۶' ۱۲.۱۲"	۵۵° ۲۹' ۱۹.۸۰"	۱	۱۵۵	۸۵	۳۶° ۵۶' ۱۴.۰۰"	۵۵° ۲۹' ۱۶.۳۰"
۲	۱۳۴	۶۷	۳۶° ۵۶' ۱۲.۱۲"	۵۵° ۲۹' ۱۹.۸۰"	۲	۱۵۸	۸۴	۳۶° ۵۶' ۱۴.۰۰"	۵۵° ۲۹' ۱۶.۳۰"
۳	۱۲۳	۷۵	۳۶° ۵۶' ۱۰.۹۰"	۵۵° ۲۹' ۲۰.۶۰"	۳	۱۶۰	۸۰	۳۶° ۵۶' ۱۵.۱۲"	۵۵° ۲۹' ۱۴.۸۱"
۴	۱۲۲	۸۳	۳۶° ۵۶' ۱۰.۹۰"	۵۵° ۲۹' ۲۰.۶۰"	۴	۱۶۲	۸۴	۳۶° ۵۶' ۱۵.۱۲"	۵۵° ۲۹' ۱۴.۸۱"
۵	۱۱۳	۶۳	۳۶° ۵۶' +۰.۹۳۲"	۵۵° ۲۹' ۲۲.۴۲"	۵	۱۴۵	۷۸	۳۶° ۵۶' ۱۵.۲۹"	۵۵° ۲۹' ۱۴.۴۵"
۶	۱۲۵	۸۵	۳۶° ۵۶' +۰.۹۳۲"	۵۵° ۲۹' ۲۲.۴۲"	۶	۱۵۳	۷۵	۳۶° ۵۶' ۱۵.۲۹"	۵۵° ۲۹' ۱۴.۴۵"
۷	۱۳۴	۸۰	۳۶° ۵۶' +۰.۹۳۲"	۵۵° ۲۹' ۲۲.۴۲"	۷	۱۶۷	۷۹	۳۶° ۵۶' ۱۵.۲۹"	۵۵° ۲۹' ۱۴.۴۵"
۸	۱۵۷	۴۵	۳۶° ۵۶' ۱۳.۰۲"	۵۵° ۲۸' ۴۶.۳۴"	۸	۱۴۶	۶۲	۳۶° ۵۶' ۱۶.۵۸"	۵۵° ۲۹' +۹.۰۷"
۹	۱۵۶	۵۱	۳۶° ۵۶' ۱۳.۰۲"	۵۵° ۲۸' ۴۶.۳۴"	۹	۱۳۹	۵۸	۳۶° ۵۶' ۱۶.۵۸"	۵۵° ۲۹' +۹.۰۷"
۱۰	۱۴۸	۴۸	۳۶° ۵۶' ۱۳.۰۲"	۵۵° ۲۸' ۴۶.۳۴"	۱۰	۱۴۱	۶۱	۳۶° ۵۶' ۱۶.۵۸"	۵۵° ۲۹' +۹.۰۷"

## پیوست

---

**پیوست ۱۰ – داده‌های برداشت شده از ناودیس تیلآباد در پیمایش T<sub>۹</sub>T<sub>۱۰</sub>**

No.	Dip.	Dip.	Latitude	longitude	No.	Dip.	Dip.	Latitude	Longitude
.	Dir	Dir			.	Dir	Dir		
۱	-۹۵	۳۰	۳۶° ۵۵' ۴۲.۹۹"	۵۵° ۲۸' ۱۷.۱۸"	۱	۳۴۵	۸۰	۳۶° ۵۵' ۳۹.۴۴"	۵۵° ۲۸' ۲۷.۶۲"
۲	-۸۰	۳۸	۳۶° ۵۵' ۴۲.۹۹"	۵۵° ۲۸' ۱۷.۱۸"	۲	۳۴۲	۷۵	۳۶° ۵۵' ۳۹.۴۴"	۵۵° ۲۸' ۲۷.۶۲"
۳	-۷۸	۴۱	۳۶° ۵۵' ۴۲.۹۹"	۵۵° ۲۸' ۱۷.۱۸"	۳	۳۴۰	۷۱	۳۶° ۵۵' ۳۹.۴۴"	۵۵° ۲۸' ۲۷.۶۲"
۴	-۷۵	۳۵	۳۶° ۵۵' ۴۲.۹۹"	۵۵° ۲۸' ۱۷.۱۸"	۴	۳۵۵	۸۵	۳۶° ۵۵' ۳۹.۴۴"	۵۵° ۲۸' ۲۷.۶۲"
۵	-۶۵	۴۲	۳۶° ۵۵' ۴۲.۹۹"	۵۵° ۲۸' ۱۷.۱۸"	۵	۳۵۹	۷۵	۳۶° ۵۵' ۳۹.۴۴"	۵۵° ۲۸' ۲۷.۶۲"
۶	-۸۳	۶۳	۳۶° ۵۵' ۳۵.۹۷"	۵۵° ۲۸' ۰۲.۴۹"	۶	۳۵۲	۳۸	۳۶° ۵۵' ۲۸.۹۸"	۵۵° ۲۸' ۱۲.۵۸"
۷	-۶۰	۶۰	۳۶° ۵۵' ۳۵.۹۷"	۵۵° ۲۸' ۰۲.۴۹"	۷	۳۴۲	۳۹	۳۶° ۵۵' ۲۸.۹۸"	۵۵° ۲۸' ۱۲.۵۸"
۸	-۴۸	۷۲	۳۶° ۵۵' ۳۵.۹۷"	۵۵° ۲۸' ۰۲.۴۹"	۸	۳۵۸	۴۵	۳۶° ۵۵' ۲۸.۹۸"	۵۵° ۲۸' ۱۲.۵۸"
۹	-۸۴	۴۸	۳۶° ۵۵' ۳۵.۹۷"	۵۵° ۲۸' ۰۲.۴۹"	۹	۳۴۳	۴۸	۳۶° ۵۵' ۲۸.۹۸"	۵۵° ۲۸' ۱۲.۵۸"
۱۰	-۶۵	۵۹	۳۶° ۵۵' ۳۵.۹۷"	۵۵° ۲۸' ۰۲.۴۹"	۱۰	۳۳۸	۴۲	۳۶° ۵۵' ۲۸.۹۸"	۵۵° ۲۸' ۱۲.۵۸"
۱۱	-۲۵	۴۵	۳۶° ۵۵' ۳۲.۸۰"	۵۵° ۲۷' ۵۵.۵۴"	۱۱	۳۵۵	۴۲	۳۶° ۵۵' ۲۵.۰۲"	۵۵° ۲۸' -۰.۵۷"
۱۲	-۵۱	۴۷	۳۶° ۵۵' ۳۲.۸۰"	۵۵° ۲۷' ۵۵.۵۴"	۱۲	۳۵۰	۵۱	۳۶° ۵۵' ۲۵.۰۲"	۵۵° ۲۸' -۰.۵۷"
۱۳	-۳۰	۵۵	۳۶° ۵۵' ۳۲.۸۰"	۵۵° ۲۷' ۵۵.۵۴"	۱۳	۳۴۲	۴۵	۳۶° ۵۵' ۲۵.۰۲"	۵۵° ۲۸' -۰.۵۷"
۱۴	-۴۸	۴۲	۳۶° ۵۵' ۳۲.۸۰"	۵۵° ۲۷' ۵۵.۵۴"	۱۴	۳۳۷	۷۰	۳۶° ۵۵' ۲۵.۰۲"	۵۵° ۲۸' -۰.۵۷"
۱۵	-۳۷	۳۹	۳۶° ۵۵' ۳۲.۸۰"	۵۵° ۲۷' ۵۵.۵۴"	۱۵	۳۳۴	۲۵	۳۶° ۵۵' ۲۵.۰۲"	۵۵° ۲۸' -۰.۵۷"

**پیوست ۱۱ – داده‌های برداشت شده از ناودیس غزنوی در برش A**

No.	Dip.Dir	Dip	No.	Dip.Dir	Dip
۱	۱۱۰	۲۲	۱	۰۱۰	۱۲
۲	۱۲۱	۲۵	۲	۳۵۰	۴۵
۳	-۰.۸۵	۲۰	۳	۳۳۵	۵۲
۴	۱۵۰	۲۵	۴	۳۴۰	۷۵
۵	۱۰۰	۳۲	۵	۳۴۶	۶۸

**پیوست ۱۲ – داده‌های برداشت شده از ناودیس غزنوی در برش B**

No.	Dip.Dir	Dip	No.	Dip.Dir	Dip
۱	۱۴۵	۳۰	۱	۳۲۵	۸۰
۲	۱۵۲	۴۲	۲	۳۳۰	۷۵
۳	۱۷۰	۲۲	۳	۳۳۸	۷۲
۴	۱۶۸	۲۵	۴	۳۴۱	۷۷
۵	۱۵۶	۳۲	۵	۳۵۰	۶۹
۶	۱۴۸	۲۸	۶	۳۴۳	۶۸
۷	۱۷۶	۴۹	۷	۳۴۶	۶۱

## پیوست

T<sub>11</sub> - داده‌های برداشت شده از تاقدیس غزنوی در پیمایش

No.	Dip.	Dip	Latitude	longitude	No.	Dip.	Dip	Latitude	Longitude
.	Dir				.	Dir			
۱	۳۵۰	۴۵	۳۶° ۵۶' ۱۱.۷۰"	۵۵° ۲۶' ۳۸.۴۳"	۱	۳۳۰	۷۴	۳۶° ۵۵' ۴۴.۷۰"	۵۵° ۲۷' ۰.۳۶"
۲	۳۵۸	۴۲	۳۶° ۵۶' ۱۱.۷۰"	۵۵° ۲۶' ۳۸.۴۳"	۲	۳۴۰	۷۸	۳۶° ۵۵' ۴۴.۷۰"	۵۵° ۲۷' ۰.۳۶"
۳	۰۰۲	۴۸	۳۶° ۵۶' ۱۱.۷۰"	۵۵° ۲۶' ۳۸.۴۳"	۳	۳۴۳	۷۵	۳۶° ۵۵' ۴۴.۷۰"	۵۵° ۲۷' ۰.۳۶"
۴	۰۰۴	۶۰	۳۶° ۵۶' ۰.۵۸۲"	۵۵° ۲۷' ۰.۳۸۰"	۴	۳۴۰	۷۰	۳۶° ۵۵' ۴۴.۷۰"	۵۵° ۲۷' ۰.۳۶"
۵	۰۰۵	۵۸	۳۶° ۵۶' ۰.۵۸۲"	۵۵° ۲۷' ۰.۳۸۰"	۵	۳۳۷	۷۹	۳۶° ۵۵' ۴۴.۷۰"	۵۵° ۲۷' ۰.۳۶"
۶	۰۰۷	۶۱	۳۶° ۵۶' ۰.۵۸۲"	۵۵° ۲۷' ۰.۳۸۰"	۶	۳۳۵	۷۲	۳۶° ۵۵' ۴۴.۷۰"	۵۵° ۲۷' ۰.۳۶"
۷	۳۵۶	۵۰	۳۶° ۵۵' ۵۷.۵۷"	۵۵° ۲۷' ۰.۳۸۸"	۷	۱۴۵	۳۰	۳۶° ۵۵' ۴۳.۶۱"	۵۵° ۲۷' ۰.۴۴"
۸	۳۵۳	۵۷	۳۶° ۵۵' ۵۷.۵۷"	۵۵° ۲۷' ۰.۳۸۸"	۸	۱۵۲	۴۲	۳۶° ۵۵' ۴۳.۶۱"	۵۵° ۲۷' ۰.۴۴"
۹	۳۵۷	۶۰	۳۶° ۵۵' ۵۷.۵۷"	۵۵° ۲۷' ۰.۳۸۸"	۹	۱۷۰	۲۲	۳۶° ۵۵' ۴۳.۶۱"	۵۵° ۲۷' ۰.۴۴"
۱۰	۳۴۹	۵۰	۳۶° ۵۵' ۵۱.۳۷"	۵۵° ۲۶' ۵۵.۵۹"	۱۰	۱۶۸	۲۵	۳۶° ۵۵' ۴۳.۶۱"	۵۵° ۲۷' ۰.۴۴"
۱۱	۳۵۸	۵۲	۳۶° ۵۵' ۵۱.۳۷"	۵۵° ۲۶' ۵۵.۵۹"	۱۱	۱۵۶	۳۲	۳۶° ۵۵' ۴۳.۶۱"	۵۵° ۲۷' ۰.۴۴"
۱۲	۳۵۴	۴۵	۳۶° ۵۵' ۵۱.۳۷"	۵۵° ۲۶' ۵۵.۵۹"	۱۲	۱۴۸	۲۸	۳۶° ۵۵' ۴۳.۶۱"	۵۵° ۲۷' ۰.۴۴"
۱۳	۳۳۵	۷۰	۳۶° ۵۵' ۴۴.۷۰"	۵۵° ۲۷' ۰.۳۶"	۱۳	۱۷۹	۴۹	۳۶° ۵۵' ۴۳.۶۱"	۵۵° ۲۷' ۰.۴۴"

T<sub>12</sub> - داده‌های برداشت شده از تاقدیس غزنوی در پیمایش

No.	Dip.	Dip	Latitude	longitude	No.	Dip.	Dip	Latitude	Longitude
.	Dir				.	Dir			
۱	۳۵۸	۵۲	۳۶° ۵۶' ۲۹.۵۶"	۵۵° ۲۸' ۰.۹۳۳"	۱	۱۶۰	۴۹	۳۶° ۵۵' ۵۵.۹۶"	۵۵° ۲۸' ۰.۹۳۱"
۲	۳۵۷	۵۷	۳۶° ۵۶' ۲۹.۵۶"	۵۵° ۲۸' ۰.۹۳۳"	۲	۱۵۸	۴۰	۳۶° ۵۵' ۵۵.۹۶"	۵۵° ۲۸' ۰.۹۳۱"
۳	۰۰۲	۴۸	۳۶° ۵۶' ۲۹.۵۶"	۵۵° ۲۸' ۰.۹۳۳"	۳	۱۶۵	۳۵	۳۶° ۵۵' ۵۵.۹۶"	۵۵° ۲۸' ۰.۹۳۱"
۴	۰۰۴	۵۵	۳۶° ۵۶' ۲۹.۵۶"	۵۵° ۲۸' ۰.۹۳۳"	۴	۱۵۲	۳۸	۳۶° ۵۵' ۵۵.۹۶"	۵۵° ۲۸' ۰.۹۳۱"
۵	۰۰۵	۵۰	۳۶° ۵۶' ۲۹.۵۶"	۵۵° ۲۸' ۰.۹۳۳"	۵	۱۶۰	۵۴	۳۶° ۵۵' ۵۵.۹۶"	۵۵° ۲۸' ۰.۹۳۱"
۶	۳۵۰	۷۰	۳۶° ۵۶' ۱۶.۲۳"	۵۵° ۲۸' ۲۳.۶۱"	۶	۱۲۵	۴۲	۳۶° ۵۵' ۵۳.۷۶"	۵۵° ۲۸' ۱۳.۶۱"
۷	۳۵۳	۶۷	۳۶° ۵۶' ۱۶.۲۳"	۵۵° ۲۸' ۲۳.۶۱"	۷	۱۳۸	۵۰	۳۶° ۵۵' ۵۳.۷۶"	۵۵° ۲۸' ۱۳.۶۱"
۸	۳۴۸	۶۲	۳۶° ۵۶' ۱۶.۲۳"	۵۵° ۲۸' ۲۳.۶۱"	۸	۱۳۳	۴۷	۳۶° ۵۵' ۵۳.۷۶"	۵۵° ۲۸' ۱۳.۶۱"
۹	۳۴۲	۶۰	۳۶° ۵۶' ۱۶.۲۳"	۵۵° ۲۸' ۲۳.۶۱"	۹	۱۲۸	۴۱	۳۶° ۵۵' ۵۳.۷۶"	۵۵° ۲۸' ۱۳.۶۱"
۱۰	۳۴۶	۷۲	۳۶° ۵۶' ۱۶.۲۳"	۵۵° ۲۸' ۲۳.۶۱"	۱۰	۱۳۰	۵۳	۳۶° ۵۵' ۵۳.۷۶"	۵۵° ۲۸' ۱۳.۶۱"
۱۱	۳۴۴	۷۰	۳۶° ۵۶' ۰.۹۰۷"	۵۵° ۲۸' ۱۷.۶۵"	۱۱	۱۶۳	۵۰	۳۶° ۵۵' ۵۴.۶۳"	۵۵° ۲۸' ۱۴.۰۵"
۱۲	۳۳۵	۵۸	۳۶° ۵۶' ۰.۹۰۷"	۵۵° ۲۸' ۱۷.۶۵"	۱۲	۱۵۹	۴۵	۳۶° ۵۵' ۵۴.۶۳"	۵۵° ۲۸' ۱۴.۰۵"
۱۳	۳۳۹	۶۲	۳۶° ۵۶' ۰.۹۰۷"	۵۵° ۲۸' ۱۷.۶۵"	۱۳	۱۶۸	۴۸	۳۶° ۵۵' ۵۴.۶۳"	۵۵° ۲۸' ۱۴.۰۵"
۱۴	۳۵۱	۵۹	۳۶° ۵۶' ۰.۹۰۷"	۵۵° ۲۸' ۱۷.۶۵"	۱۴	۱۶۴	۶۰	۳۶° ۵۵' ۵۴.۶۳"	۵۵° ۲۸' ۱۴.۰۵"
۱۵	۳۴۲	۵۷	۳۶° ۵۶' ۰.۹۰۷"	۵۵° ۲۸' ۱۷.۶۵"	۱۵	۱۶۲	۵۳	۳۶° ۵۵' ۵۴.۶۳"	۵۵° ۲۸' ۱۴.۰۵"

پیوست ۱۵ - داده‌های برداشت شده از چین خوردگی سازند پادها

No.	Dip.Dir	Dip
۱	۰۳۸	۴۰
۲	۰۴۲	۴۵
۳	۰۴۷	۴۲
۴	۰۴۰	۵۰
۵	۰۴۶	۴۵

## پیوست

---

پیوست ۱۶ - داده‌های برداشت شده از چین ۲ FO

No.	Dip.Dir	Dip.	No.	Dip.Dir	Dip.
۱	۳۲۰	۸۰	۱	۲۵۰	۵۸
۲	۳۱۵	۶۵	۲	۲۴۵	۶۰
۳	۳۱۸	۷۵	۳	۲۲۱	۵۵
۴	۳۲۲	۸۲	۴	۲۴۲	۵۸
۵	۳۰۹	۶۳	۵	۲۳۸	۶۲

پیوست ۱۷ - داده‌های برداشت شده از چین ۳ FO

No.	Dip.Dir	Dip.	No.	Dip.Dir	Dip.
۱	۱۹۸	۴۰	۱	۳۱۲	۸۰
۲	۱۸۰	۳۰	۲	۳۱۰	۷۵
۳	۱۹۰	۱۹	۳	۳۱۲	۷۰
۴	۱۹۴	۳۵	۴	۳۰۷	۷۳
۵	۱۹۶	۳۲	۵	۳۱۸	۸۰
۶	۱۸۶	۲۷	۶	۳۰۹	۸۹
۷	۱۸۶	۳۲	۷	۳۲۵	۷۷
۸	۲۰۰	۳۲	۸	۳۱۵	۸۱

پیوست ۱۸ - داده‌های برداشت شده از تاقدیس غزنوی در برش A

No.	Dip.Dir	Dip	No.	Dip.Dir	Dip
۱	۱۷۵	۷۳	۱	۱۱۰	۲۳
۲	۱۷۲	۷۰	۲	۱۲۱	۲۵
۳	۱۶۸	۶۵	۳	۰۸۵	۲۰
۴	۱۶۵	۸۰	۴	۱۵۰	۲۵
۵	۱۶۶	۷۴	۵	۱۰۰	۳۲

پیوست ۱۹ - داده‌های برداشت شده از تاقدیس غزنوی در برش B

No.	Dip.Dir	Dip	No.	Dip.Dir	Dip
۱	۱۴۵	۳۰	۱	۳۲۵	۸۰
۲	۱۵۲	۴۲	۲	۳۳۰	۷۵
۳	۱۷۰	۲۲	۳	۳۳۸	۷۲
۴	۱۶۸	۲۵	۴	۳۴۱	۷۷
۵	۱۵۶	۳۲	۵	۳۵۰	۶۹
۶	۱۴۸	۲۸	۶	۳۴۳	۶۸
۷	۱۷۶	۴۹	۷	۳۲۶	۶۱

## پیوست

---

پیوست ۲۰ - داده‌های برداشت شده از تاقدیس غزنوی در برش C

NO.	Dip	Dip.Dir	NO.	Dip	Dip.Dir
۱	۵۱	۳۴۰	۱	۴۰	۱۵۵
۲	۶۵	۳۵۰	۲	۳۸	۱۵۸
۳	۴۵	۳۵۵	۳	۳۲	۱۴۵
۴	۴۰	۳۴۰	۴	۲۳	۱۵۳
۵	۴۵	...	۵	۳۰	۱۴۸
۶	۴۶	۳۴۸	۶	۲۵	۱۶۲
۷	۴۰	۳۵۰	۷	۴۵	۱۴۰

پیوست ۲۱ - داده‌های برداشت شده از تاقدیس غزنوی در برش D

NO	Dip	Dip.Dir	NO	Dip	Dip.Dir
۱	۵۸	...	۱	۴۵	۱۳۵
۲	۴۵	۳۴۵	۲	۳۸	۱۵۵
۳	۴۸	۳۵۸	۳	۲۵	۱۳۰
۴	۵۱	۳۴۸	۴	۳۲	۱۵۰
۵	۵۰	۳۴۲	۵	۴۸	۶۰
۶	۴۰	...	۶	۴۱	۱۴۰
۷	۳۵	۰۰۵	۷	۴۴	۱۳۸
۸	۳۹	۳۴۰	۸	۲۸	۱۳۵
۹	۴۰	۳۵۰	۹	۳۰	۱۳۲
۱۰	۳۸	۳۵۲	۱۰	۲۵	۱۲۸

پیوست ۲۲ - داده‌های برداشت شده از تاقدیس غزنوی در برش E

NO	Dip	Dip.Dir	NO	Dip	Dip.Dir
۱	۳۸	۰۰۶	۱	۱۵	۳۲۰
۲	۵۱	۳۴۶	۲	۱۷	۲۴۸
۳	۴۵	۰۰۲	۳	۱۰	۳۱۰
۴	۴۳	۰۰۷	۴	۲۵	۳۲۰
۵	۴۰	۳۵۸	۵	۳۰	۲۲۵
۶	۴۴	۰۰۳	۶	۱۷	۲۲۱
۷	۳۵	۰۱۰	۷	۱۹	۲۲۵

## پیوست

---

۸	۴۲	۳۵۲	۸	۲۸	۲۵۸
۹	۴۵	۳۴۵	۹	۱۴	۳۰۰
۱۰	۳۸	۰۰۲	۱۰	۱۲	۲۳۸

پیوست ۲۳ - داده‌های برداشت شده از چین ۴ FO

No.	Dip	Dip.Dir	No	Dip	Dip.Dir
۱	۶۴	۳۴۲	۱	۴۲	۰۳۵
۲	۵۱	۳۵۰	۲	۵۰	۰۶۰
۳	۶۰	۳۴۵	۳	۵۲	۰۵۵
۴	۵۸	۳۳۸	۴	۳۲	۰۳۵
۵	۵۹	۳۴۰	۵	۴۸	۰۵۸

پیوست ۲۴ - داده‌های برداشت شده از چین ۵ FO

NO.	Dip	Dip.Dir	NO.	Dip	Dip.Dir
۱	۳۷	۰۲۵	۱	۵۲	۳۳۰
۲	۳۵	۰۲۸	۲	۴۲	۳۴۰
۳	۳۰	۰۳۰	۳	۴۸	۳۳۶
۴	۴۱	۰۲۲	۴	۵۰	۳۴۵
۵	۳۸	۰۰۵	۵	۴۰	۳۴۸
۶	۳۷	۰۰۸	۶	۵۵	۳۳۵

پیوست ۲۵ - داده‌های برداشت شده از چین ۶ FO

No	Dip	Dip.Dir	No	Dip	Dip.Dir
۱	۶۵	۱۱۰	۱	۵۵	۰۳۱
۲	۶۳	۱۲۶	۲	۳۵	۰۴۲
۳	۴۵	۱۰۹	۳	۷۴	۰۱۰
۴	۵۵	۱۲۳	۴	۵۸	۰۲۸
۵	۵۸	۱۱۸	۵	۶۵	۰۵۵
۶	۴۵	۱۱۵	۶	۸۱	۰۱۲

## پیوست

---

پیوست ۲۶ - داده‌های برداشت شده از چین ۷ FO

No	Dip	Dip.Dir	No	Dip	Dip.Dir
۱	۱۵۸	۵۶	۶	۰۶۰	۴۵
۲	۱۸۰	۴۲	۷	۰۵۸	۳۵
۳	۱۷۰	۶۰	۸	۰۵۲	۳۲
۴	۱۶۸	۵۳	۹	۰۵۶	۳۸
۵	۱۷۵	۴۹	۱۰	۰۶۵	۴۰

پیوست ۲۷ - داده‌های برداشت شده از چین ۸ FO

No.	Dip	Dip.Dir	No.	Dip	Dip.Dir
۱	۷۲	۱۱۲	۱	۵۰	۳۳۵
۲	۶۵	۱۱۸	۲	۶۰	۳۴۰
۳	۵۸	۱۰۰	۳	۶۱	۳۵۰
۴	۶۴	۱۰۹	۴	۵۵	۳۴۲

پیوست ۲۸ - داده‌های برداشت شده از چین ۹ FO

No.	Dip	Dip.Dir	No.	Dip	Dip.Dir
۱	۳۳۳	۸۱	۱	۱۰۹	۸۶
۲	۳۴۰	۷۶	۲	۱۱۲	۸۱
۳	۳۳۸	۶۵	۳	-۹۹	۷۹
۴	۳۳۱	۷۰	۴	-۹۵	۷۵
۵	۳۲۸	۷۲	۵	۱۰۵	۷۲

پیوست ۲۹ - داده‌های برداشت شده از لایه بندي سازند شمشک چین ۱۰ FO

No.	Dip.Dir	Dip	No.	Dip.Dir	Dip
۱	۳۵۰	۳۵	۶	۳۳۴	۳۵
۲	۳۳۵	۳۲	۷	۳۵۰	۳۷
۳	۳۴۸	۴۰	۸	۳۴۶	۴۲
۴	۳۴۱	۳۸	۹	۳۳۶	۳۰
۵	۳۵۲	۴۳	۱۰	۳۴۲	۳۶

## پیوست

---

پیوست ۳۰ - داده‌های برداشت شده از لایه بندی سازند فارسیان چین ۱۱ FO

No.	Dip.Dir	Dip
۱	۰۲۸	۳۸
۲	۰۳۲	۵۰
۳	۰۴۰	۴۰
۴	۰۲۲	۴۸
۵	۰۳۵	۴۶
۶	۰۱۰	۴۵
۷	۰۱۸	۵۵
۸	۰۲۹	۴۷
۹	۰۲۸	۵۲
۱۰	۰۱۷	۴۲

پیوست ۳۱ - داده‌های برداشت شده از لایه بندی آهک‌های کرتاسه بالای چین ۱۲ FO

No.	Dip.Dir	Dip
۱	۱۰۵	۶۵
۲	۰۹۵	۷۵
۳	۰۹۸	۸۰
۴	۱۰۰	۷۸
۵	۱۱۰	۱۰۰

پیوست ۳۲ - داده‌های برداشت شده از لایه بندی نهشته‌های پلیوسن چین ۱۳ FO

No.	Dip.Dir	Dip	No.	Dip.Dir	Dip
۱	۰۶۰	۱۴	۶	۰۷۸	۱۳
۲	۰۷۰	۱۲	۷	۰۶۸	۰۶
۳	۰۷۴	۱۰	۸	۰۸۱	۱۰
۴	۰۶۵	۸	۹	۰۸۳	۰۹
۵	۰۶۳	۱۴	۱۰	۰۶۵	۱۵

پیوست ۳۳ - داده‌های برداشت شده از لایه بندی نهشته‌های پلیوسن چین ۱۴ FO

No.	Dip.Dir	Dip	No.	Dip.Dir	Dip
۱	۰۹۵	۲۴	۶	۰۸۳	۱۷
۲	۰۸۷	۲۳	۷	۰۹۰	۳۰
۳	۱۰۳	۲۵	۸	۱۰۰	۲۸
۴	۱۰۹	۱۵	۹	۰۹۸	۲۵
۵	۰۹۴	۱۸	۱۰	۱۱۲	۲۴

## منابع

- آقانباتی، س.ع.، (۱۳۸۳)، "زمین شناسی ایران"، انتشارات سازمان زمین شناسی و اکتشافات معدنی کشور، ۴۵۵ ص.
- آقانباتی، س.ع.، (۱۳۷۷)، "چینه شناسی ژوراسیک در ایران"، جلد دوم، انتشارات سازمان زمین شناسی و اکتشافات معدنی، ۳۵۵ ص.
- الیاسی، م.، (۱۳۹۲)، "مبانی زمین شناسی ساختمانی"، انتشارات دانشگاه تهران، ۱۲۰ ص.
- امیدی، پ.، نوگل سادات، م.، قریشی، م.، (۱۳۸۱)، "بازسازی تنش کواترنری بر اساس تحلیل لغزش در نیمه جنوبی البرز خاوری"، فصلنامه علوم زمین، شماره ۴۵-۴۶، ص ۴۸-۶۳.
- جعفریان، م.ب.، جلالی، ع.، (۱۳۸۳)، "نقشه زمین شناسی خوش بیلاق به مقیاس ۱:۱۰۰۰۰۰"، سازمان زمین شناسی و اکتشافات معدنی.
- حسنی، ر.، موسوی، م.، لنکرانی، م.، اهریپور، ر.، (۱۳۹۱)، "رخسارهای، محیط‌های رسوب‌گذاری و چینه‌نگاری سکانسی توالی رسوبی پرمین در ناحیه خوش بیلاق"، فصلنامه زمین شناسی ایران، شماره ۲۴، ص ۱۹-۳۲.
- درویش‌زاده، ع.، (۱۳۷۰)، "زمین شناسی ایران"، انتشارات نشر دانش امروز، ص ۸۷۳.
- درویش‌زاده، ع.، (۱۳۸۳)، "زمین شناسی ایران"، انتشارات امیرکبیر.
- درخشان، ا.، خاکسار، ک.، محمدی، م.، (۱۳۹۱)، "محیط رسوبی دیرین سازند الیکا در برش تیلآباد (شمال شرق شاهروド - البرز شرقی)", ششمین همایش ملی زمین‌شناسی دانشگاه پیام نور، کرمان

- رحیمی، ب.، (۱۳۸۱)، پایان نامه دکتری: " مطالعات ساختاری رشته کوه البرز در شمال دامغان "، دانشگاه شهید بهشتی.
- سعیدی، ز.، مصدق ح.، بابازاده ا.، کبریاییزاده م.ر.، (۱۳۹۱)، " تحلیل رخساره‌های رسوبی سازند مبارک در برش تیلآباد (البرز شرقی)" ، شانزدهمین همایش انجمن زمین‌شناسی ایران، شیراز.
- شهربازی، ح.، (۱۳۹۳)، " تحلیل هندسی و جنبشی چین‌خوردگی در منطقه تیلآباد (البرز شرقی)" ، پایان نامه کارشناسی ارشد، دانشگاه دامغان، ۱۶ ص.
- شهریاری، س.، موسوی‌حرمی، ر.، رحیمی، ب.، (۱۳۸۲)، " توکین و تکامل ساختاری البرز و تحولات رسوبگذاری مرتبط با آن "، فصلنامه علوم دانشگاه تربیت معلم، شماره ۴-۳، ص ۱۴۱-۱۶۲.
- قاسمی، م.ر.، (۱۳۸۷)، " پایه‌های زمین‌شناسی ساختمانی "، سازمان زمین‌شناسی و اکتشافات معدنی، ۳۲۰ ص.
- قرشی، م.، آرین، م.، (۱۳۸۹)، " تکتونیک ایران "، انتشارات مریع آبی، ۳۱۵ ص.
- لاسمی، ی.، جهانی، د.، کهن‌سال قدیم‌وند، ن.، (۱۳۷۹)، " بررسی سازند الیکا در غرب البرز شرقی (ناحیه غزنوی): رخساره‌ها محیط‌های رسوبی و چینه‌نگاری سکانسی "، چهارمین همایش انجمن زمین‌شناسی ایران، تبریز.
- مختارپور، ح.، (۱۳۷۶)، " سنگ‌شناسی و محیط رسوبی سنگ‌های آواری پرمین زیرین (سازند دورود) در ناحیه البرز "، فصلنامه علوم زمین، شماره ۲۵-۲۶، ص ۷۲-۹۰.
- میرباقری، س.ر.، (۱۳۸۶)، " مشخصات سنگ‌شناسی، محیط رسوبی و سکانس استراتیگرافی سازند شمشک در ناحیه خوش‌بیلاق "، پایان نامه کارشناسی ارشد، دانشگاه تهران، ۱۱۴ ص.

- نورافکن، ا.، (۱۳۹۰)، " تحلیل ساختاری چین‌خوردگی و گسلش در ناحیه چهل دختر (شمال خاوری شهرود)"، پایان نامه کارشناسی ارشد، دانشگاه شهرود، ۱۳۶ ص.
- تصاویر ماهواره‌ای لندست (برگرفته از Google earth, 2014).
- Aharipour, R., Moussavi, M.R., Mosaddegh, H., Mistiaen, B., (2010), "Facies features and paleoenvironmental reconstruction of the Early to Middle Devonian syn-rift volcano-sedimentary succession (Padeha formation) in the Eastern- Alborz Mountain, NE Iran", Facies 56: 279-294.
- Alavi, M., (1996), "Tectonostratigraphy synthesis and structural style of the Alborz mountain system in Northern Iran", Geodynamic, 21(1), 1-33.
- Allen, M.B., Ghassemi, M.R., Shahrabi, M., Qorashi, M., (2003), "Accommodation of late Cenozoic oblique shortening in the Alborz range, northern Iran", Journal of Structural Geology, v.25, pp. 659-627.
- Berberian, M., King, G.G., (1981), "Towards a paleogeography and tectonic evolution of Iran", Canadian Journal Earth Science, 18: 210-265.
- Bozorgnia, F., (1973), "Paleozoic foraminiferal biostratigraphy of central and east Alborz Mountains, Iran". NIOC, Geological laboratories, 4:1-185.
- Davis G.H., (1984), "Structural geology of rocks and regions", Jhon Wiley and Sons. New york, P 492.
- Doblas M., (1998), "Slickensid kinematic indicators", Journal of Tectonophysics, Vol 295, PP 187–197.

- Djamour, Y., Bayer, R., (2005), "Contribution of the geodetic observations (GPS and Leveling) to study the tectonic deformation and seismic hazard on the Central Alborz, Iran", Geophys. Res. Abstracts, Vol. 7, 1P.
- Ehteshami Moinabadi M., Yassaghi A., (2006), "Geometry and kinematics of the Mosha fault, south central Alborz Range, Iran: An example of basement involved thrusting", Journal of Asian Earth Sciences, doi: 10.1016,
- Fleuty, M.J., (1964), "The description of fold, Proceedings of the Geologist Association", vol. 35, pp. 461-492.
- Fossen, H., (2010), "Structural Geology", Cambridge University Press, New York.
- Jackson, J., Priestly, K., Allen, M., Berberian, M., (2002), "Active tectonic of the South Caspian Basin", Geophysical Journal International, v.148, p. 214-245.
- Javidfakhr, B., Bellier, O., Shabanian, E., Siame, L., Leanni, L., Bourles, D., Ahmadian, S., (2011a), "Fault kinematics and active tectonics at the southeastern boundary of the eastern Alborz (Abr and Khij fault zones)", Geodynamic implications for NNE Iran, Journal of Geodynamics, doi: 10.1016.
- Javidfakhr, B., Bellier, O., Shabanian, E., Ahmadian, S., Saidi, A., (2011b), "Plio-Quaternary tectonic regime changes in the transition zone between Alborz and Kopeh Dagh mountain ranges (NE Iran)", Journal of Tectonophysics, doi: 10.1016.
- McClay, K., Bonora, M., 2001, Analog models of restraining stepover in strike-slip fault systems, AAPG, Vol.85, NO.2, pp233-260.

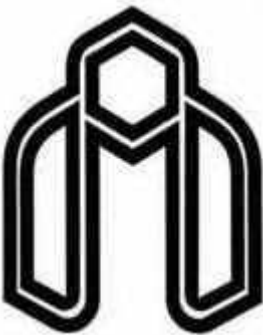
- Marshak, S., Mitra, G., (1988), "Basic methods of structural geology", New Jersey: prentice Hall, Englewood Cliffs.
- Ramsay, J.G., Huber, M.I., (1987), "The techniques of modern structural geology", Volume 2: Fold and Fractures, London: Academic Press.
- Stocklin, J., (1968), "Structural history and tectonics of Iran, A review", American Association of petroleum Geologists Bulletin. v. 52, pp. 1229-1258.
- Tatar, M., (2001), "Etude seismotectonique de deux zones de collision continental: Le Zagros Central et l' Alborz (Iran)", PhD. Thesis, University de Joseph Fourier.
- Petit J.P., (1987), "Criteria for the sense of movement on fault surfaces in brittle rocks", Journal of structural geology, 9, No.5/6, PP 597-608.
- Ritz, J. F., Nazari, H., Ghassemi, A., Salamati, R., Shafei, A., Solaymani, S. Vernant, P. (2006). "Active transtension inside Central Alborz: a new insight into the northern Iran-southern Caspian geodynamics." Geology, 34(6), pp. 477-480.
- Stampfli, G.M., (1978), "Etude geologique generale de Elburz oriental au S.Gonbad -e - qabus, (Iran, NE)", these fac. Sei. Univ. Geneve, 1-315.
- Twiss R.J., and Moores E.M., (1992), "Structural Geology", W. H. Freeman and company New York, PP 532.
- Vail P. R., Mitchum R. M. and Thompson III. S., (1977), "Seismic stratigraphy and global changes of sea level", part 4. In: Global cycles of relative changes of sea level. AAPG Mem. Vol 26, PP 83-97.
- Vernant, Ph., Nilforoushan, F., Hatzfeld, D., Abbassi, M.R., Vigny, C., Masson. F., Nankali, H., Martinod, J., Ashtiani, A., Bayer, R, Tavakoli,

- F., Chery, J., (2004), "Present-day crustal deformation and plate kinematics in the Middle East constrained by GPS measurements in Iran and northern Oman, Geophys. J. Int., Vol. 157, PP. 381-398.
- Waldron, J.W.F., 2005, External fault arrays in strike-slip and transtension, journal of Structural Geology, No. 25, pp 23-34.
  - Wilcox, R. E., T.P., Harding, Seely, D.R., 1973, Basic Wrench Tectonics, AAPG Vol.57, NO.1.

## **Abstract**

The study area is located in the Northern part of Eastern Alborz. This area located in the golestan province in 45 km South East of Azadshahr city. In this area paleozoic, mezozoic and Mesozoic formation affected by folding and faulting tectonic activity. The faults that their strikes are northeast-southwest such as Tilabad, Zardabeh , F<sub>1</sub> and F<sub>2</sub> have left lateral reverse mechanism. Transverse faults in the region are in two groups. Faults with an almost north - south strike-slip mechanism and handle faults left on NW - SE also have a right-lateral mechanism. This geometrical arrangement and kinematics of faults is compatible with regional left lateral transpression. Based on interlimb angle of fold (Fleuty 1964), most of the fold have taken place in open field and with less frequently is gentle, Close and Tight. Based on the dip of axial plane and plunge of hinge line, the studied fold are classified into two domains: 1- Upright – Gently Plunging, 2- Steeply Inclined - Gently Plunging. Classification of Folds in the region, according to ricard in the classes (Upright Fold) and (Inclined Fold) are placed. Geomorphologic features of studied area highly affected by tectonic elements such as folds and faults.

**Key Word:** Eastern Alborz, Tilabad, Ghoznavi, Zardabeh



**Shahrood University  
Faculty of Earth Sciences  
Tectonic Group**

**Geometric and kinematic analysis of geological structures in the area of  
Tilabad – Ghoznavi ( Eastern Alborz)**

**Omid basham**

**Supervisor:**

**Dr. R. Ramazani Oomali**

**Advisor:**

**Dr. A. Taheri**

**February 2015**